Pz-P

84.5

HARVARD UNIVERSITY.

LIBRARY

OF THE

MUSEUM OF COMPARATIVE ZOÖLOGY.

No 2331

GIFT OF

THEODORE LYMAN

OF THE

Class of 1855.

May 5, 1898
In place of set previously in Library

Theodore Lyman

Brookline

Sep. 1857

TRAITÉ

DE

PALÉONTOLOGIE

OU

HISTOIRE NATURELLE DES ANIMAUX FOSSILES

CONSIDÉRÉS DANS LEURS RAPPORTS

ZOOLOGIQUES ET GÉOLOGIQUES

PAR

F.-J. PICTET,

Professeur de zoologie et d'anatomie comparée à l'Académie de Genève.

ATLAS DE 110 PLANCHES.

PARIS

J.-B. BAILLIÈRE ET FILS

LIBRAIRES DE L'ACADÉMIE IMPÉRIALE DE MÉDECINE

Rue Hautefeuille, 19

LONDRES
H. BAILLIÈRE, 219, REGENT-STREET

NEW-YORK
H. BAILLIÈRE, 290, BROADWAY

MADRID, C. BAILLY-BAILLIÈRE, CALLE DEL PRINCIPE, 11

1853 — 1857

Paris. — Imprimerie de L. Martinet, rue Mignon, 2.

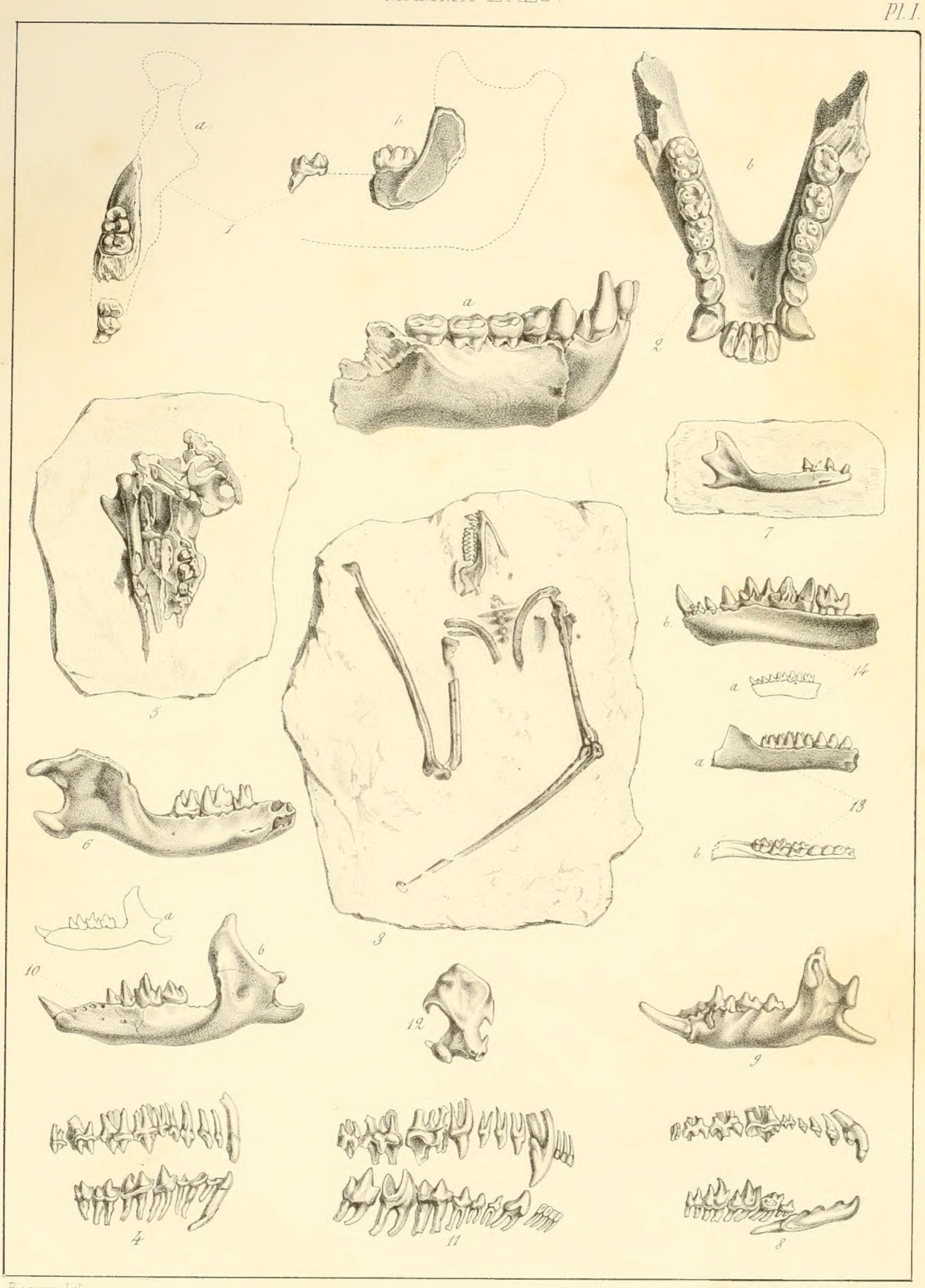

Riocreux lith.

Imp. Lemercier, r. de Seine 57 Paris

Quadrumanes, Cheiroptères et Insectivores.

Publié par J.B. Baillière, Libraire à Paris.

TRAITÉ

DE PALÉONTOLOGIE.

EXPLICATION DES PLANCHES.

PLANCHE I.

MAMMIFÈRES. — QUADRUMANES, CHEIROPTÈRES ET INSECTIVORES.

Fig. 1. — Fragment de la mâchoire inférieure du *Macacus eocænus*, Owen, p. 158, de l'argile de Londres : 1 *a*, vue par sa surface triturante ; 1 *b*, vue de profil. De grandeur naturelle.

Fig. 2. — Mâchoire inférieure du *Pliopithecus antiquus*, Gervais, p. 159, du terrain miocène de Sansan : 2 *a*, vue de profil ; 2 *b*, par sa surface de trituration. De grandeur naturelle.

Fig. 3. — Portion de squelette du *Vespertilio parisiensis*, Cuv., p. 166, des gypses de Montmartre. De grandeur naturelle.

Fig. 4. — Dentition de l'*Erinaceus europæus* vivant. De grandeur naturelle.

Fig. 5. — Crâne mutilé, vu en dessous, de l'*Erinaceus arvernensis*, Pomel, p. 170, des terrains miocènes d'Auvergne. De grandeur naturelle.

Fig. 6. — Mâchoire inférieure de l'*Erinaceus fossilis*, Schmerling, p. 171, des cavernes de Belgique.

Fig. 7. — Mâchoire inférieure du *Galerix viverroïdes*, Pomel, p. 171, de Sansan. De grandeur naturelle.

Fig. 8. — Dentition de la musaraigne (*Sorex tetragonurus*) vivante, p. 173, grossie.

Fig. 9. — Mâchoire inférieure d'une musaraigne des cavernes (Schmerling, pl. V, fig. 10), grossie.

Fig. 10. — Mâchoire inférieure du *Plesiosorex soricinoïdes*, Pomel, p. 175, des terrains miocènes d'Auvergne. La figure au trait indique la grandeur naturelle.

Fig. 11. — Dentition de la taupe commune (*Talpa europæa*, L.) vivante, grossie.

Fig. 12. — Humérus de la taupe de Sansan, rapporté à l'espèce commune par M. de Blainville, et à l'*Hyporyssus telluris*, p. 179, par M. Pomel. De grandeur naturelle.

Fig. 13. — Mâchoire inférieure du *Palæospalax magnus*, Owen, p. 178, des terrains diluviens d'Angleterre : 13 *a*, vue de profil ; 13 *b*, par la surface triturante. De grandeur naturelle.

Fig. 14. — Mâchoire inférieure du *Geotrypus antiquus*, Pomel (*Talpa acutidentata*, Blainv.), p. 178, des terrains miocènes d'Auvergne. La figure au trait indique la grandeur naturelle.

PLANCHE II.

MAMMIFÈRES CARNASSIERS. — URSIDES.

Fig. 1. — Tête de l'ours des cavernes (*Ursus spelæus*, Blum.), p. 187. Un sixième de la grandeur naturelle.
Fig. 2. — Humérus de la même espèce.
Fig. 3. — Fémur de la même espèce.
Fig. 4. — Tête de l'ours brun d'Europe (*Ursus arctos*, Lin.) trouvée fossile dans Cambridgeshire, p. 189. Un quart de la grandeur naturelle.
Fig. 5. — Dents de la mâchoire supérieure de l'ours brun d'Europe, vues en dessus et de profil. Moitié de la grandeur naturelle.
Fig. 6. — Dents de la mâchoire inférieure de la même espèce, vues de même et au même grossissement.
Fig. 7. — Mâchoire supérieure de l'*Hyænarctos sivalensis*, Owen, p. 189. Un tiers de la grandeur naturelle.
Fig. 8. — Portion de la mâchoire inférieure de la même espèce; à la même réduction.

PLANCHE III.

MAMMIFÈRES CARNASSIERS. — URSIDES ET CANIDES.

Fig. 1. — Tête de l'*Artocyon primævus*, Bl., p. 193, du terrain suessonien de la Fère, vue en dessus. Un tiers de la grandeur naturelle
Fig. 2. — Dentition de la mâchoire supérieure de la même espèce, vue par la surface de trituration. Moitié de la grandeur naturelle.
Fig. 3 — Humérus de la même espèce. Un quart de la grandeur naturelle.
Fig. 4. — Fragment de la tête de l'*Amphicyon major*, Lartet, de Sansan, p. 195 : *a*, vue de profil; *b*, dentition vue par la surface de trituration. Un quart de la grandeur naturelle.
Fig. 5. — Humérus de la même espèce. Un quart de la grandeur naturelle.
Fig. 6. — Cubitus de la même espèce. Un quart de la grandeur naturelle.
Fig. 7. — Tibia de la même espèce. Un quart de la grandeur naturelle.
Fig. 8 — Tête du *Hyænodon brachyrhynchus*, Bl., p. 196, du terrain miocène inférieur du département du Tarn. Moitié de la grandeur naturelle.
Fig. 9. — Mâchoire inférieure du *Hyænodon leptorhynchus*, de Laiser et de Parieu, p. 200, du terrain miocène inférieur d'Auvergne. Moitié de la grandeur naturelle.
Fig. 10. — Molaires de la mâchoire supérieure du *Hyænodon* (*Taxotherium*) *Cuvierii*, Pom., p. 200, de Montmartre. Moitié de la grandeur naturelle.
Fig. 11. — Cubitus rapporté à la même espèce, de Montmartre. Moitié de la grandeur naturelle.
Fig 12. — Dentition du chien, pris comme type de la tribu des canides : *a*, dents de la mâchoire supérieure; *b*, dents de la mâchoire inférieure.
Fig. 13. — Mâchoire inférieure du *Cynodon lacustris*, p. 207, des lignites de la Débruge (sous-genre CYNODICTIS). De grandeur naturelle.
Fig. 14 — La même, vue par la surface de trituration.
Fig. 15. — Les deux molaires tuberculeuses de la mâchoire supérieure, vues par leur surface de trituration De grandeur naturelle.

Ursides.

Ursides et Canides.

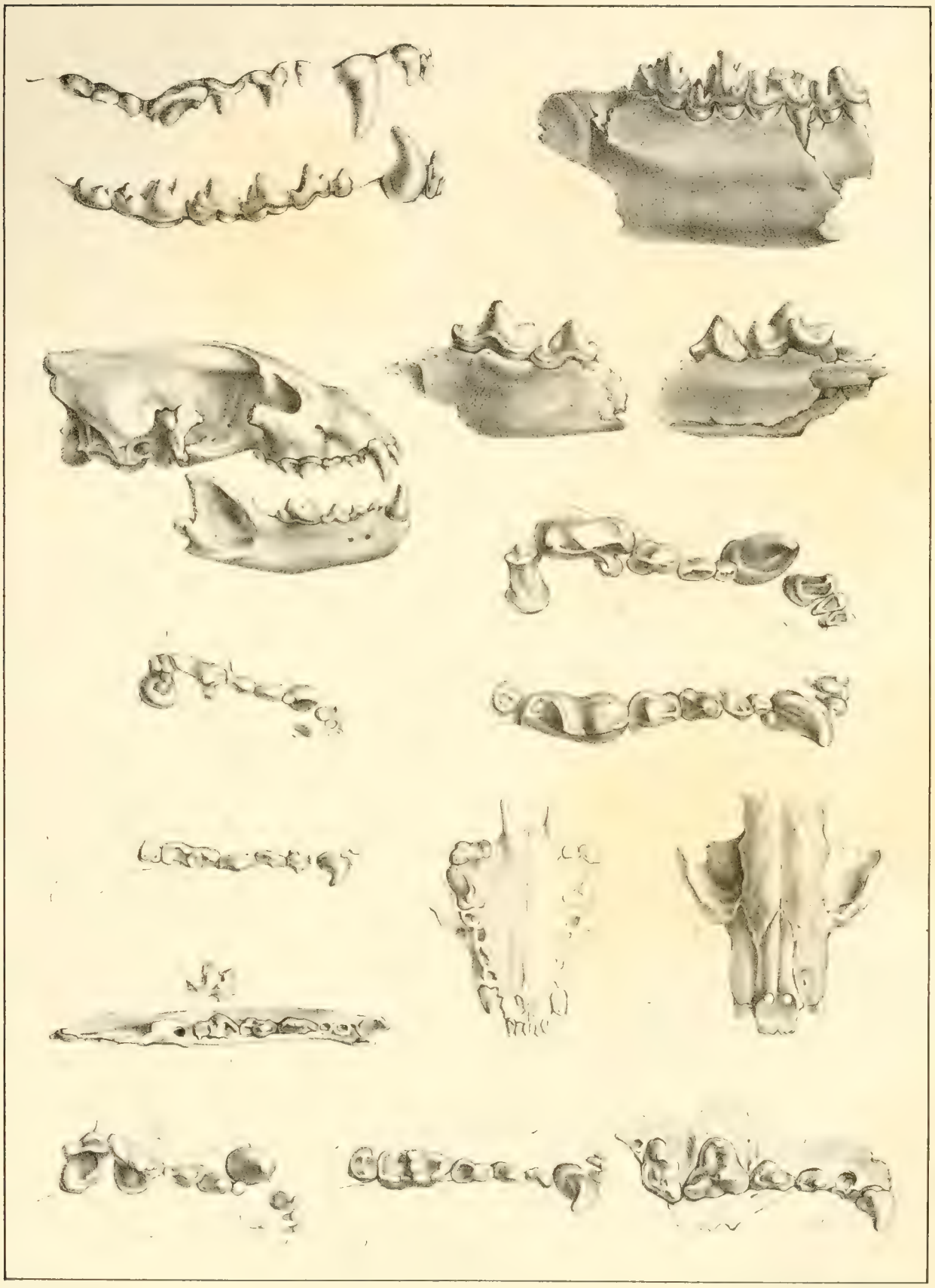

Viverrides et Vermiformes.

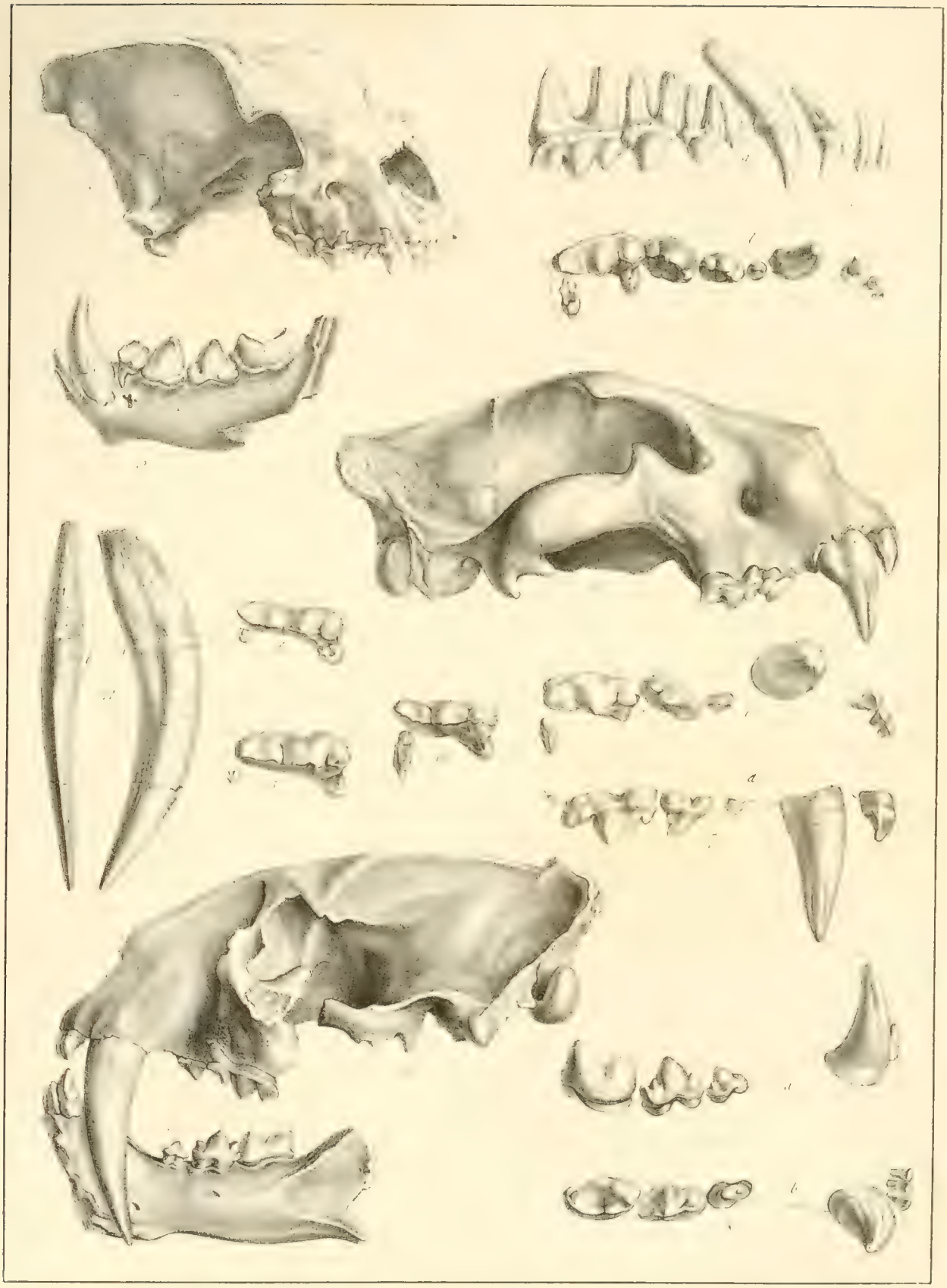

Lackerbauer lith

Imp. Lemercier, r de Seine 57 Paris

Hyénides et Félides.

Publié par J B Baillière, Libraire à Paris

PLANCHE IV.

MAMMIFÈRES CARNASSIERS. — VIVERRIDES ET VERMIFORMES.

Fig. 1. — Dentition de la civette commune (*Viverra civetta*, Lin.), vue de profil, p. 211, représentée pour servir de type à la famille des viverrides. De grandeur naturelle.

Fig. 2. — Fragment de la mâchoire inférieure de la *Viverra zibethoïdes*, p. 211. De grandeur naturelle.

Fig. 3. — Fragment de la mâchoire inférieure de la *Palæonictis gigantea*, p. 212. De grandeur naturelle.

Fig. 4. — Dentition du glouton commun (*Gulo luscus*, L.), comme un des types de la famille des vermiformes : *a*, mâchoire supérieure; *b*, mâchoire inférieure. Les dents sont vues par leur surface de trituration.

Fig. 5. — Tête du *Gulo spelæus*, p. 214, des cavernes d'Allemagne. Un tiers de la grandeur naturelle.

Fig. 6. — Dentition de la fouine commune (*Mustela foina*, L.), comme type du genre des martes : *a*, mâchoire supérieure; *b*, mâchoire inférieure. Les dents sont vues par leur surface de trituration.

Fig. 7. — Portion antérieure de la tête du *Plesiogale angustifrons*, Pomel, p. 217, des terrains miocènes d'Auvergne : *a*, vue en dessus; *b*, vue en dessous.

Fig. 8. — Mâchoire inférieure du *Plesictis Croizeti*, p. 218, des mêmes gisements; de grandeur naturelle : *a*, la carnassière vue de profil.

Fig. 9. — Dentition de la loutre commune (*Lutra vulgaris*, L.), comme type du genre : *a*, mâchoire supérieure; *b*, mâchoire inférieure. Les dents sont vues par leur surface de trituration.

Fig. 10. — Mâchoire supérieure du *Potamotherium* ou (*Lutrictis?*) *Valletoni*, Pomel, p. 220, des terrains tertiaires miocènes d'Auvergne. Cette figure montre en arrière de la tuberculeuse la petite alvéole qui indique l'existence d'une fort petite dent qui manque aux loutres, et qui est le caractère différentiel de ce genre perdu. Les dents sont vues par leur surface de trituration.

PLANCHE V.

MAMMIFÈRES CARNASSIERS. — HYÉNIDES ET FÉLIDES.

Fig. 1. — Dentition de l'hyène commune, comme type du genre. Moitié de la grandeur naturelle.

Fig. 2. — Tête de la *Hyæna spelæa*, Goldf., p. 223, de la caverne de Kent. Un quart de la grandeur naturelle.

Fig. 3. — Mâchoire inférieure de la même espèce. Moitié de la grandeur naturelle.

Fig. 4. — Carnassière et tuberculeuse supérieures de la *Hyæna crocata*, p. 224. Moitié de la grandeur naturelle.

Fig. 5. — Les mêmes dents de la *Hyæna spelæa*, Goldf., p. 223. Même réduction.

Fig. 6. — Les mêmes dents de la *Hyæna arvernensis*, Croiz. et Job, p. 223. Même réduction.

Fig. 7. — Dentition du lion, mâchoire supérieure (*Felis leo*, Lin.), pris comme type du genre des chats, p. 225. Moitié de la grandeur naturelle.

Fig. 8. — Mâchoire inférieure de la même espèce. Même réduction.

Fig. 9. — Tête du *Felis spelæa*, Goldf., des cavernes d'Allemagne, p. 228. Moitié de la grandeur naturelle.

Fig. 10. — Tête du *Machairodus cultridens*, p. 230, des terrains pliocènes d'Auvergne. Moitié de la grandeur naturelle.

Fig. 11. — Dent canine de la même espèce, vue par son diamètre antéro-postérieur et par son diamètre transversal. Même réduction.

PLANCHE VI.

MAMMIFÈRES CARNASSIERS ET RONGEURS. — PHOQUES ET RONGEURS.

Fig. 1. — Dents molaires du *Phoca ambigua*, H. de Meyer, p. 233 : 1, *a*, et 1, *a*, dent vue de profil et en dessus ; 1, *b*, 1, *c*, deux autres dents ; de grandeur naturelle.

Fig. 2 et 3. — Dents canines de la même espèce ; de grandeur naturelle.

Fig. 4. — Dents de la mâchoire supérieure de la marmotte des Alpes, *Arctomys alpinus*, Lin, p. 237, prise comme type des rongeurs à 5 molaires.

Fig. 5. — Dents de la mâchoire supérieure de la marmotte des terrains pliocènes d'Auvergne, *Arctomys arvernensis*, Gervais, p. 236 ; de grandeur naturelle.

Fig. 6. — Dents de la mâchoire supérieure de l'*Issiodoromys pseudanœma*, Gervais, p. 240, du terrain miocène d'Auvergne ; grandeur triple.

Fig. 7. — Dents de la mâchoire inférieure de l'*Archæomys chinchilloïdes*, Gervais, p. 241, du terrain miocène d'Auvergne ; grandeur double.

Fig. 8. — Dents de la mâchoire supérieure du *Theridomys Lembronica*, Gervais, p. 243, du terrain miocène d'Auvergne ; grandeur triple.

Fig. 9. — Dents de la mâchoire inférieure du *Theridomys aquatilis*, Gervais, p. 243, du terrain miocène inférieur des environs du Puy ; grandeur triple.

Fig. 10. — Dents de la mâchoire supérieure du *Theridomys Blainvillei*, Gervais, du terrain miocène d'Auvergne, grandeur triple.

Fig. 11. — Dents de la mâchoire inférieure de la même espèce, et au même grossissement.

Fig. 12. — Dents de la mâchoire inférieure du *Mus Gergovianus*, Gervais, p. 247 , du terrain, miocène d'Auvergne ; grandeur triple.

Fig. 13. — Tête vue en dessus, du castor commun, p. 251, *Castor fiber*, Lin., trouvée fossile dans le Cambridgeshire (diluvien) ; deux tiers de la grandeur naturelle.

Fig. 14. — La même tête vue en dessous ; même réduction.

Fig. 15. — Mâchoire inférieure de la même espèce trouvée près de Newbury (diluvien), de grandeur naturelle.

Fig. 16. — Mâchoire inférieure du *Castor Trogontherium*, p. 252, trouvée fossile à Bacton (diluvien) ; moitié de la grandeur naturelle.

Fig. 17. — Dents de la mâchoire supérieure du *Castor Issiodorensis*, Gervais, p. 251, du terrain pliocène d'Auvergne ; de grandeur naturelle.

Fig. 18. — Dents du *Castor subpyrenaicus*, Gervais, p. 253, du terrain miocène ; de grandeur naturelle. (Genre Chalicomys, Gervais.)

Fig. 19. — Tête du *Steneofiber Viciacensis*, Gervais, vue en dessous, p. 252 (miocène d'Auvergne) ; de grandeur naturelle.

Fig. 20. — Mâchoire inférieure de la même espèce ; de grandeur naturelle.

Fig. 21. — Dents de la mâchoire inférieure du *Chalichomys Jaegeri* ; p. 253 (miocène d'Allemagne).

Fig. 22. — Dent de l'*Hystrix refossa*, Gervais, p. 255 (pliocène d'Auvergne).

Fig. 23. — Dents du *Lepus loxodus*, Gervais, p. 256 (pliocène de Montpellier).

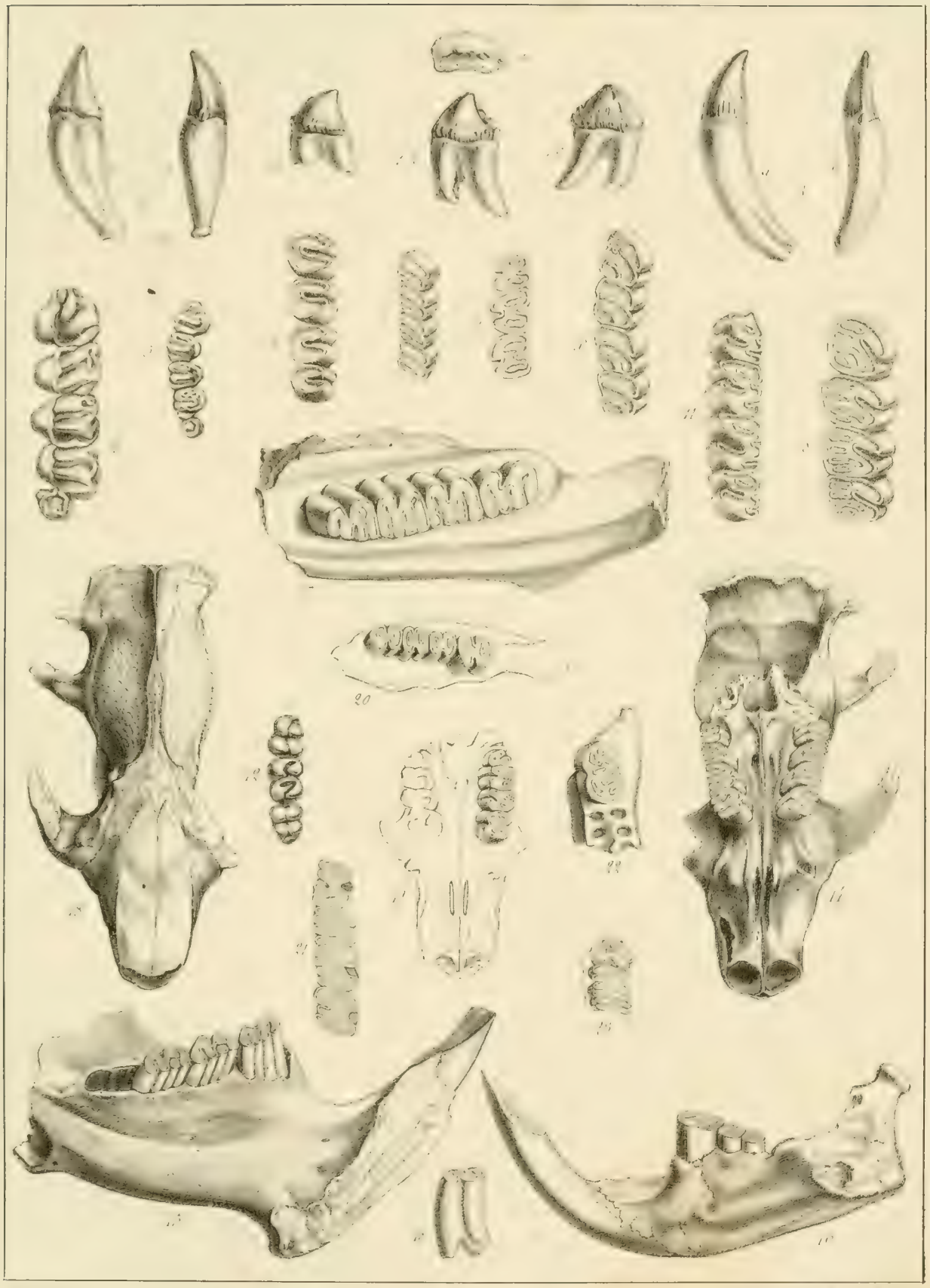

Phoques et Rongeurs.

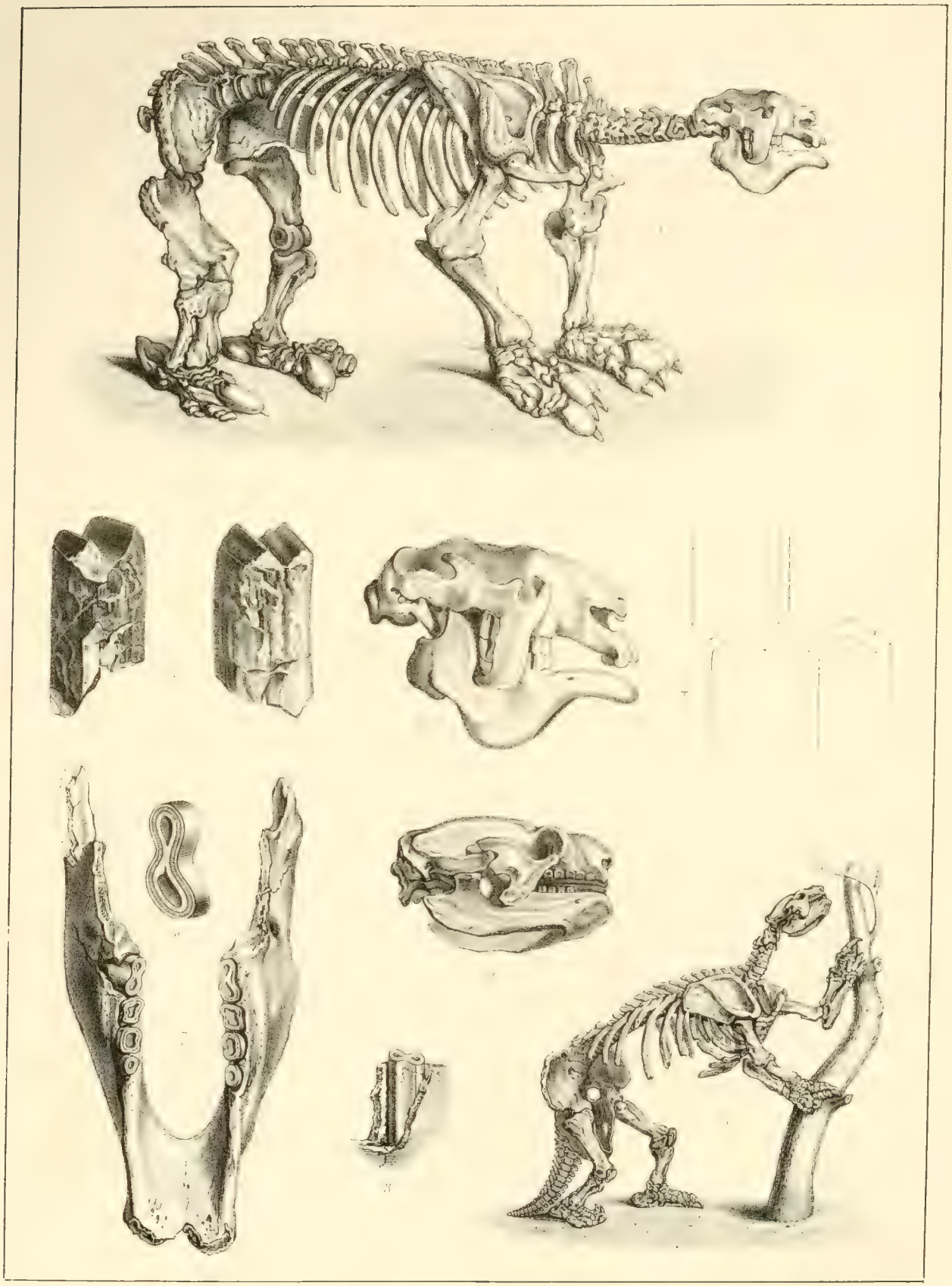

Riocreux lith

Imp. Lemercier, r. de Seine 57 Paris

Mégathérium et Mylodon

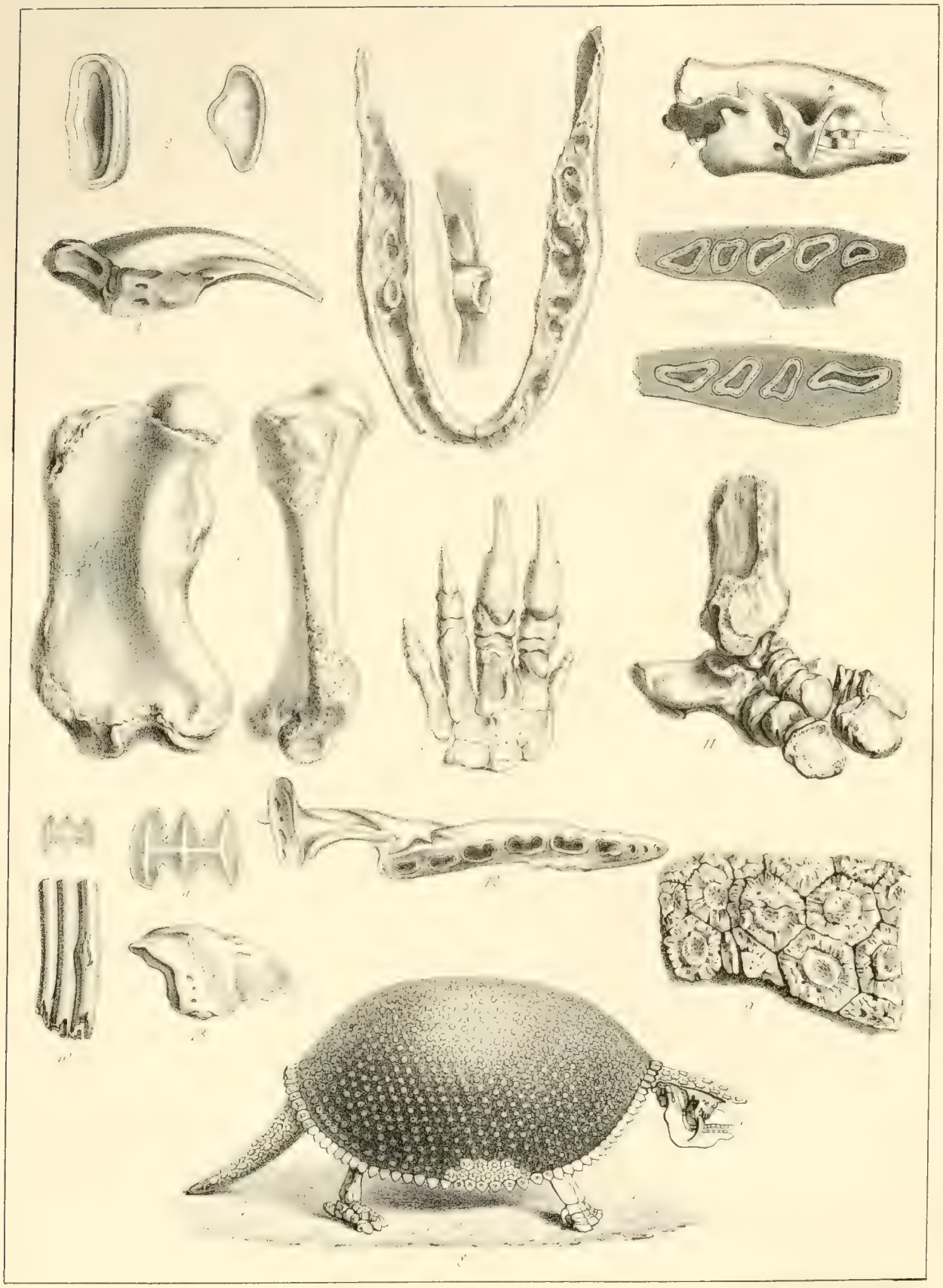

Megalonyx, Scelidotherium, Glyptodon.

PLANCHE VII.

MAMMIFÈRES ÉDENTÉS. — MEGATHERIUM ET MYLODON.

Fig. 1. — Squelette du *Megatherium Cuvieri*, p. 264, de l'Amérique méridionale, un trente-sixième de la grandeur naturelle.
Fig. 2. — Tête de la même espèce réduite à un dix-huitième de la grandeur naturelle.
Fig. 3. — Dents molaires de la même espèce.
Fig. 4. — Coupe théorique destinée à montrer la manière dont les dents molaires se rencontrent dans la mastication.
Fig. 5. — Squelette du *Mylodon robustus*, Owen, p. 270, de l'Amérique méridionale, réduit à un trente-sixième de la grandeur naturelle. On a adopté la même réduction que pour le megatherium afin de montrer le rapport de taille de ces deux espèces.
Fig. 6. — Tête de la même espèce ; un douzième de la grandeur naturelle.
Fig. 7. — Mâchoire inférieure du *Mylodon Darwinii*, Owen, p. 270, de l'Amérique méridionale. Un cinquième de la grandeur naturelle. 7, *a*, dernière molaire moins réduite.
Fig. 8. — Dernière molaire de la même mâchoire, vue de profil. Un cinquième de la grandeur naturelle.

PLANCHE VIII.

MAMMIFÈRES ÉDENTÉS. — MEGALONYX, SCELIDOTHERIUM ET GLYPTODON.

Fig. 1. — Mâchoire inférieure du *Megalonyx Jeffersonii*, Cuv., p. 269, d'Amérique. Deux neuvièmes de la grandeur naturelle.
Fig 2. — Surface de trituration des molaires de la même espèce.
Fig. 3. — Une des phalanges unguéales antérieures de la même espèce.
Fig. 4. — Tête du *Scelidotherium Brongniarti*, Lund, p. 271, de l'Amérique méridionale. Un huitième de la grandeur naturelle.
Fig. 5. — Surface de trituration des dents du *Scelidotherium leptocephalum*, Owen, p. 271, d'Amérique méridionale. Deux cinquièmes de la grandeur naturelle. *a*, mâchoire supérieure ; *b*, mâchoire inférieure.
Fig. 6. — Pied antérieur restauré du *Scelidotherium Cuvieri*, Lund, p. 271. Un sixième de la grandeur naturelle.
Fig. 7. — Fémur du *Scelidotherium leptocephalum*, Owen. Un sixième de la grandeur naturelle.
Fig. 8. — Carapace et portion du squelette restauré du *Glyptodon clavipes*, Owen, p. 273, d'Amérique méridionale.
Fig. 9. — Une portion de carapace du Glyptodon, vue à une réduction moindre.
Fig. 10. — Dent du *Glyptodon clavipes*. Moitié de la grandeur naturelle. — *a*. Surface de trituration de grandeur naturelle.
Fig. 11. — Pied postérieur du *Glyptodon clavipes*. Un sixième de la grandeur naturelle.
Fig. 12. — Mâchoire inférieure du *Chlamydotherium Humboldtii*, Lund ; p. 274, d'Amérique méridionale, montrant les alvéoles des dents ; un tiers de la grandeur naturelle.
Fig. 13. — Phalange unguéale (d'après Cuvier) du *Macrotherium* d'Eppelsheim, p. 277.

PLANCHE IX.

MAMMIFÈRES PROBOSCIDIENS. — ÉLÉPHANTS ET MASTODONTES.

Fig. 1. — Copie souvent reproduite du squelette du grand mammouth (*Elephas primigenius*, Blum.), trouvé en 1799 dans les glaces de la Sibérie, p. 283.

Fig. 2. — Tête de la même espèce, montrant la longueur des alvéoles des défenses (os incisifs) et l'aplatissement du front, caractéristiques de l'éléphant fossile.

Fig. 3. — Sixième molaire supérieure du même éléphant : *a*, vue de profil ; *b*, vue par la surface triturante. Un sixième de la grandeur naturelle.

Fig. 4. — Cinquième molaire inférieure de l'éléphant d'Asie. Un sixième de la grandeur naturelle.

Fig. 5. — Sixième molaire inférieure de l'éléphant d'Afrique. Même réduction.

Fig. 6. — Mâchoire inférieure d'un jeune mastodonte de l'Ohio (*Mastodon giganteum*, Cuv.), p. 287. On y voit encore les deux petites défenses qui tombent avec l'âge. Un sixième de la grandeur naturelle. Cette même mâchoire montre la brièveté de la symphyse dans cette espèce.

Fig. 7. — Troisième molaire supérieure du même mastodonte adulte. Même réduction.

Fig. 8. — Mâchoire inférieure du *Mastodon longirostris*, Kaup, p. 289, des terrains miocènes européens, montrant l'allongement extraordinaire de la symphyse qui caractérise cette espèce : *a*, vue en dessus ; *b*, vue de profil. Un douzième de la grandeur naturelle.

Fig. 9. — Sixième molaire supérieure de la même espèce : *a*, vue de profil ; *b*, vue par la surface triturante. Un sixième de la grandeur naturelle.

Fig. 10. — Sixième molaire supérieure du *Mastodon tapiroïdes*, p. 289, des terrains miocènes d'Europe : *a*, vue de profil ; *b*, vue par la surface triturante. Un sixième de la grandeur naturelle.

PLANCHE X.

MAMMIFÈRES PACHYDERMES PERISSODACTYLES. — RHINOCÉROS ET TAPIROÏDES.

Fig. 1. — Tête du rhinocéros sans cornes et à quatre doigts aux pieds antérieurs, formant le genre ou sous-genre des *Acerotherium* (*A. incisivum*), p. 296 et 297, des terrains miocènes. Un neuvième de la grandeur naturelle.

Fig. 2. — Tête d'un rhinocéros à corne, à dents incisives persistantes, à trois doigts aux pieds antérieurs. Cette tête est celle qui a été décrite sous le nom de *Rhinoceros Schleyermacheri*, p. 297, espèce qui doit être réunie aux Rhinocéros des terrains miocènes. Un neuvième de la grandeur naturelle.

Fig. 3. — Tête du rhinocéros à narines cloisonnées (*R. tichorhinus*), p. 298, des terrains diluviens. Même réduction que les deux précédentes.

Fig. 4. — Dents de la mâchoire supérieure du *Rhinoceros megarhinus*, de Christol, p. 297, des terrains pliocènes. Un tiers de la grandeur naturelle.

Fig. 5. — Dents de la mâchoire inférieure de la même espèce, à la même réduction.

Fig. 6. — Une des dents de l'*Elasmotherium Fischeri*, p. 300, telle qu'elle a été reproduite par divers auteurs, d'après la figure originale de M. Fischer.

Fig. 7. — Mâchoire supérieure du *Tapirus priscus*, Kaup, p. 301, du terrain miocène d'Eppelsheim. Moitié de la grandeur naturelle.

Fig. 8. — Dents de la mâchoire inférieure de la même espèce, à la même réduction.

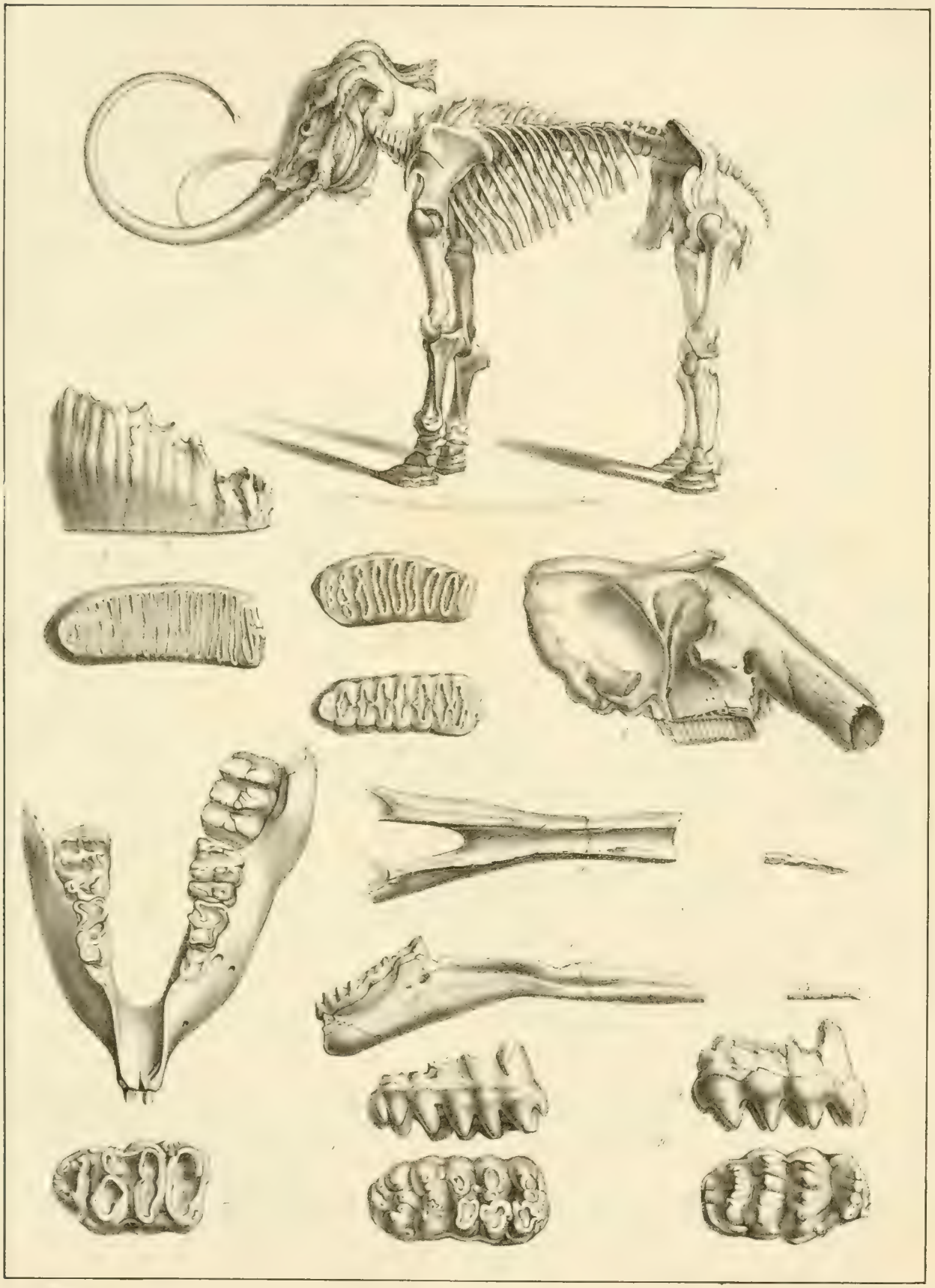

Eléphants et Mastodontes.

Lackerbauer lith.

Rhinocéros et Tapiroïdes.

Publié par J.B. Baillière Libraire à Paris

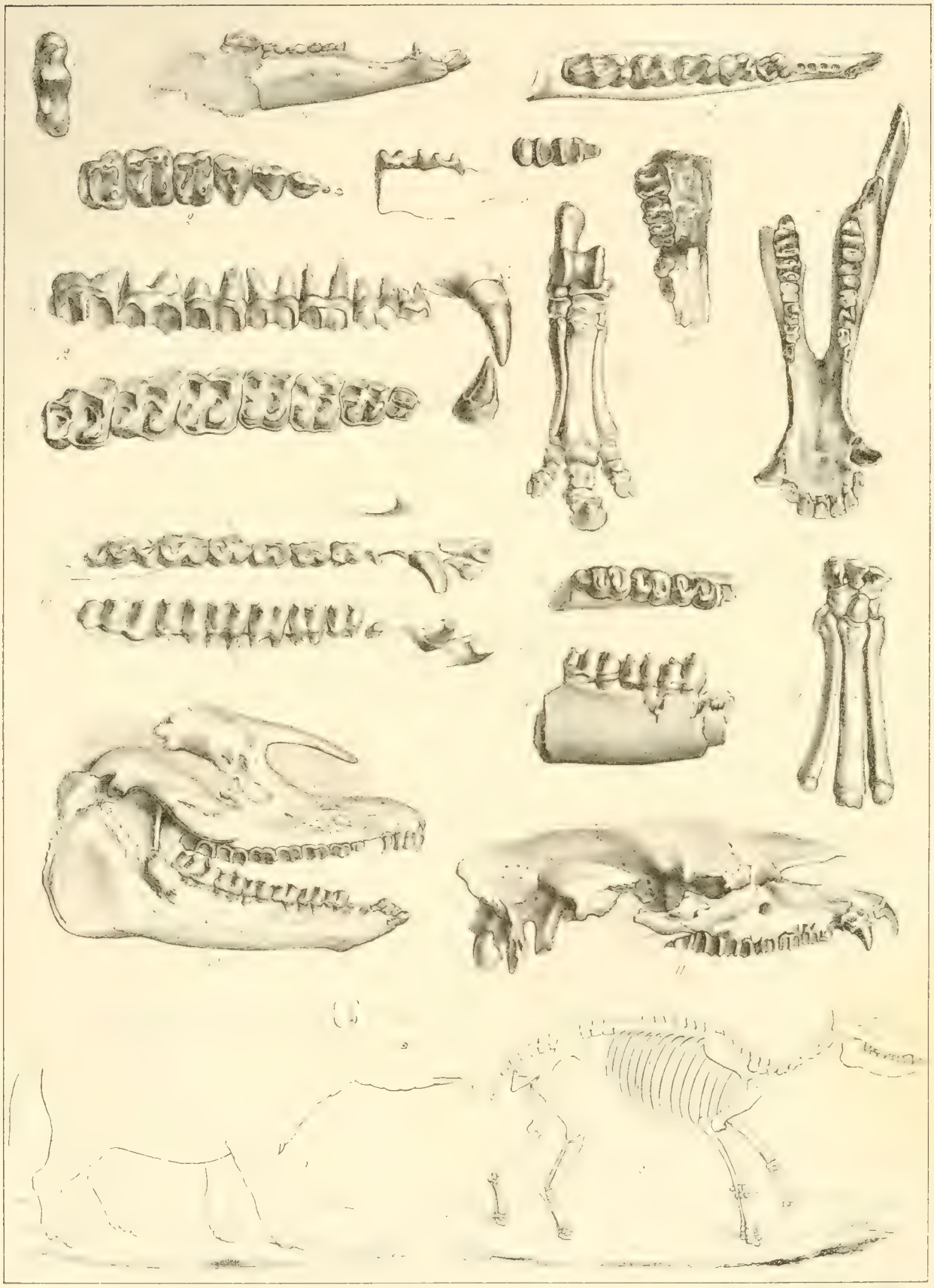

Tapiroïdes et Paléothérioïdes.

Solipèdes, Macrauchenia, Hippopotames

Fig. 9. — Mâchoire supérieure du *Tapirus Arvernensis*, Croiz. et Job., p. 301, du terrain pliocène d'Auvergne, à la même réduction.

Fig. 10. — Dents de la mâchoire inférieure de la même espèce, à la même réduction.

Fig. 11. — Fragment de mâchoire et dernières molaires du *Coryphodon eocænus*, Owen, p. 304, du terrain éocène d'Angleterre. Un quart de la grandeur naturelle.

Fig. 12. — Dentition de la mâchoire supérieure du grand *Lophiodon d'Issel*, Cuv., p. 305, du parisien inférieur. Moitié de la grandeur naturelle.

Fig. 13. — Mâchoire inférieure du *Lophiodon de Nanterre* (*Lophiodon parisiense*, Gervais), p. 305, du calcaire grossier. Un quart de la grandeur naturelle.

PLANCHE XI.

MAMMIFÈRES PACHYDERMES. — TAPIROÏDES ET PALÉOTHÉRIOÏDES.

Fig. 1. — Dernière dent molaire inférieure du *Pachynolophus cesseracicus*, Gervais, p. 307. De grandeur naturelle.

Fig. 2. — Dents molaires supérieures du *Pachynolophus Duvalii*, Pomel, p. 307, du calcaire grossier de Paris. La première molaire antérieure manque, on voit une double alvéole pour ses deux racines; de grandeur naturelle.

Fig. 3. — Mâchoire inférieure de la même espèce; moitié de la grandeur naturelle.

Fig. 4. — Dents de la mâchoire inférieure du *Lophiotherium cervulum*, Gervais, d'Alais, p. 308; de grandeur naturelle.

Fig. 5. — Fragments de mâchoire inférieure avec les deux dernières molaires du *Tapirulus hyracinus*, Gervais, des environs d'Apt, p. 308; de grandeur naturelle.

Fig. 6. — Fragments de mâchoire supérieure du Listriodon (*Tapirotherium*, Lartet), de Simorre (*L. splendens*, H. de Meyer), p. 308; un quart de la grandeur naturelle.

Fig. 7. — Mâchoire inférieure de la même espèce; même réduction.

Fig. 8. — Squelette restauré du *Palæotherium magnum*, d'après Cuvier.

Fig. 9. — Contour probable du même animal.

Fig. 10. — Tête du *Palæotherium medium*, des gypses de Montmartre, p. 310; de grandeur naturelle.

Fig. 11. — Tête du *Palæotherium crassum*, Cuvier, des mêmes gisements, et à la même réduction.

Fig. 12. — Dentition de la mâchoire supérieure du *Palæotherium girondicum*, Blainv., de la Grave (Dordogne), p. 311; un tiers de la grandeur naturelle.

Fig. 13. — Dentition de la mâchoire inférieure du *Palæotherium medium*, Cuv.; même réduction.

Fig. 14. — Tarse et métatarse de la même espèce; un quart de la grandeur naturelle.

Fig. 15. — Pied postérieur du *Palæotherium crassum*, Cuv.; un quart de la grandeur naturelle.

Fig. 16. — Fragment de mâchoire inférieure portant les trois dernières molaires du *Propalæotherium d'Issel*, Cuv., p. 312; moitié de la grandeur naturelle.

PLANCHE XII.

MAMMIFÈRES PACHYDERMES. — SOLIPÈDES, MACRAUCHENIA ET HIPPOPOTAMES.

Fig. 1, *a*. — Dentition de la mâchoire supérieure de l'*Anchitherium aurelianense*, Gervais (*Palæotherium hippoïdes*, Blainv.), p. 314; du terrain miocène; moitié de la grandeur naturelle.

— 1, *b*. — Dentition de la mâchoire inférieure de la même espèce; à la même réduction.

Fig. 2. — Os métacarpiens de la même espèce : *a*, métacarpien médian ; *b*, un des métacarpiens accessoires ou latéraux ; un quart de la grandeur naturelle.

Fig. 3. — Dentition de la mâchoire inférieure de l'*Hipparion prostylum*, Gervais, p. 315, du terrain pliocène de Cucuron ; de grandeur naturelle.

Fig. 4. — Trois molaires supérieures de la même espèce ; de grandeur naturelle.

Fig. 5. — Dents molaires supérieures de l'*Hipparion gracile* (*Hippotherium gracile*, Kaup.), p. 314, du terrain miocène d'Eppelsheim, de grandeur naturelle.

Fig. 6. — Dentition du cheval actuel (*Equus caballus*, Linné) ; moitié de la grandeur naturelle : *a*, mâchoire supérieure ; *b*, mâchoire inférieure.

Fig. 7. — Molaire du cheval trouvé fossile, par M. Darwin, dans l'Amérique méridionale, p. 318 ; de grandeur naturelle.

Fig. 8. — Avant-dernière molaire inférieure du *Macrauchenia patagonica*, Owen, p. 319, de Patagonie ; moitié de la grandeur naturelle.

Fig. 9. — Vertèbre cervicale de la même espèce ; un sixième de la grandeur naturelle.

Fig. 10. — Fémur de la même espèce ; même réduction.

Fig. 11. — Tibia de la même espèce ; même réduction.

Fig. 12. — Pied antérieur de la même espèce ; même réduction.

Fig. 13. — Dentition de la mâchoire supérieure de l'Hippopotame fossile du Val d'Arno, p. 321 ; moitié de la grandeur naturelle : *a*, dernière molaire, de grandeur naturelle.

Fig. 14. — Dentition de la mâchoire inférieure de la même espèce ; moitié de la grandeur naturelle.

Fig. 15. — Mâchoire inférieure de l'Hippopotame à six incisives, des montagnes Siwalik (*Hexaprotodon sivalensis*, Cautley et Falconer), p. 322 ; un quart de la grandeur naturelle.

PLANCHE XIII.

MAMMIFÈRES PACHYDERMES. — SUILLIENS (COCHONS, etc.).

Fig. 1. — Tête du *Sus priscus*, Marcel de Serres, des cavernes du midi de la France, p. 325. Un sixième de la grandeur naturelle.

Fig. 2. — Tête de la même espèce, vue en dessus.

Fig. 3. — Dentition de la mâchoire supérieure de la même espèce.

Fig. 4. — Dentition de la mâchoire inférieure de la même espèce.

Fig. 5. — Les deux dernières molaires inférieures du *Palæochœrus major*, p. 327, des terrains miocènes d'Auvergne ; de grandeur naturelle.

Fig. 6. — Mâchoire supérieure du *Palæochœrus typus*, p. 327, des terrains miocènes d'Auvergne : de grandeur naturelle.

Fig. 7. — Dentition du *Chœromorus mamillatus*, Gervais, p. 327, de Sansan ; de grandeur naturelle : *a*, les trois dernières molaires supérieures ; *b*, les trois dernières molaires inférieures.

Fig. 8. — Mâchoire supérieure de l'*Entelodon magnus*, Aymard, du Puy-en-Velay, p. 328 : un tiers de la grandeur naturelle : *a*, dents vues par leur surface de trituration.

Fig. 9. — Dentition de la mâchoire inférieure de la même espèce ; à la même réduction.

Fig. 10. — Dentition de la mâchoire supérieure du *Chœropotamus parisiensis*, Cuv., des gypses de Montmartre, p. 329 ; moitié de la grandeur naturelle.

Fig. 11. — Les quatre dernières molaires supérieures du *Hyotherium Sommeringii*, H. de Meyer, de Georgensgmund, p. 330 ; les deux tiers de la grandeur naturelle.

Fig. 12. — Dentition de la mâchoire supérieure du *Hyopotamus vectianus*, Owen, p. 332, des terrains éocènes d'Angleterre ; un quart de la grandeur naturelle.

Fig. 13. — Dentition de la mâchoire inférieure ; à la même réduction.

Fig. 14. — Dentition de la mâchoire supérieure de l'hyopotame du Puy (*Hyopotamus velaunus*), p. 331, type du genre *Bothriodon*, Aymard. Moitié de la grandeur naturelle.

Suilliens (Cochons &c.)

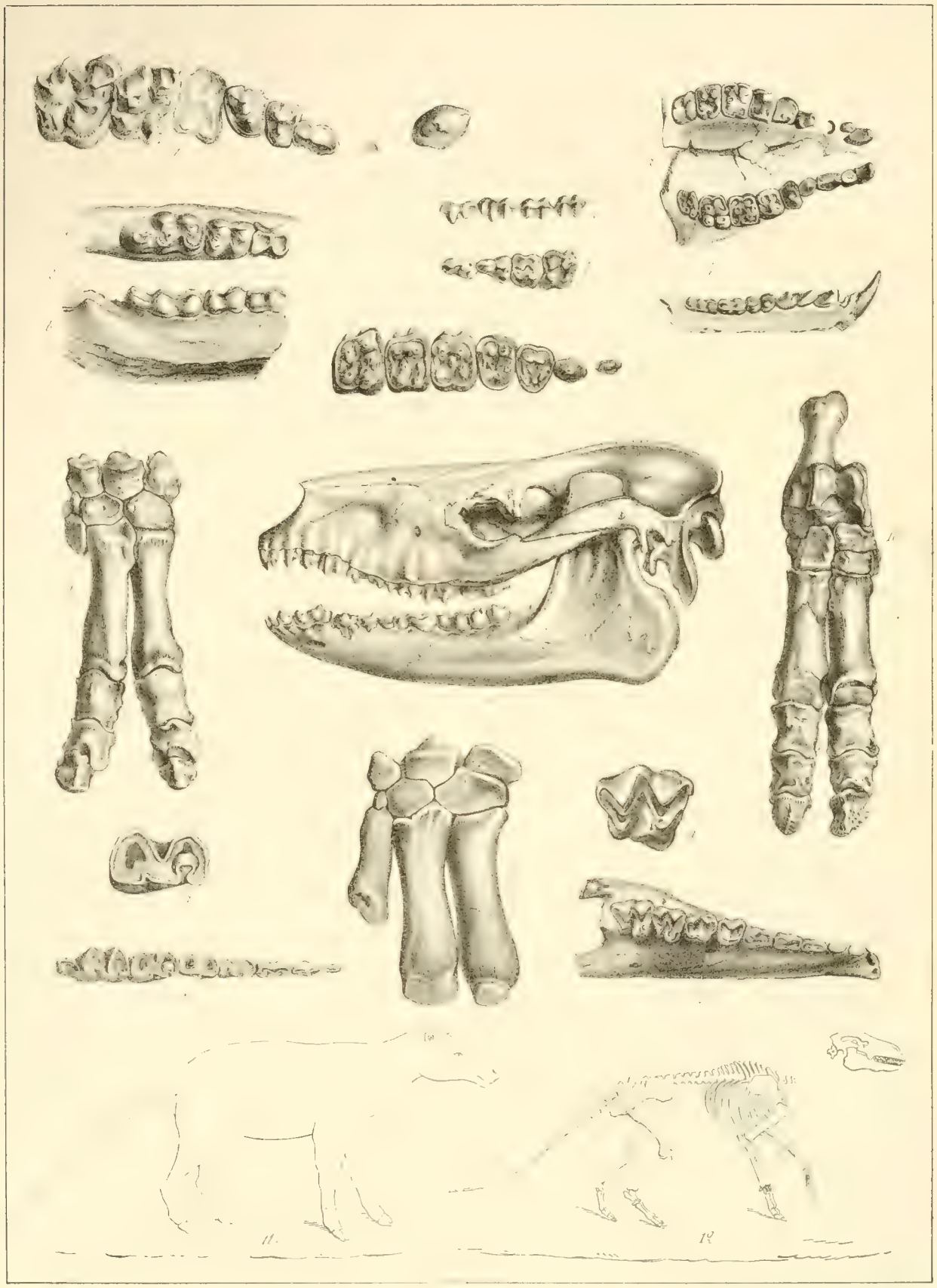

Imp. Lemercier, r. de Seine 57. Paris

Suilliens et Anoplothérioïdes.

Publié par J. B. Baillière, Libraire à Paris

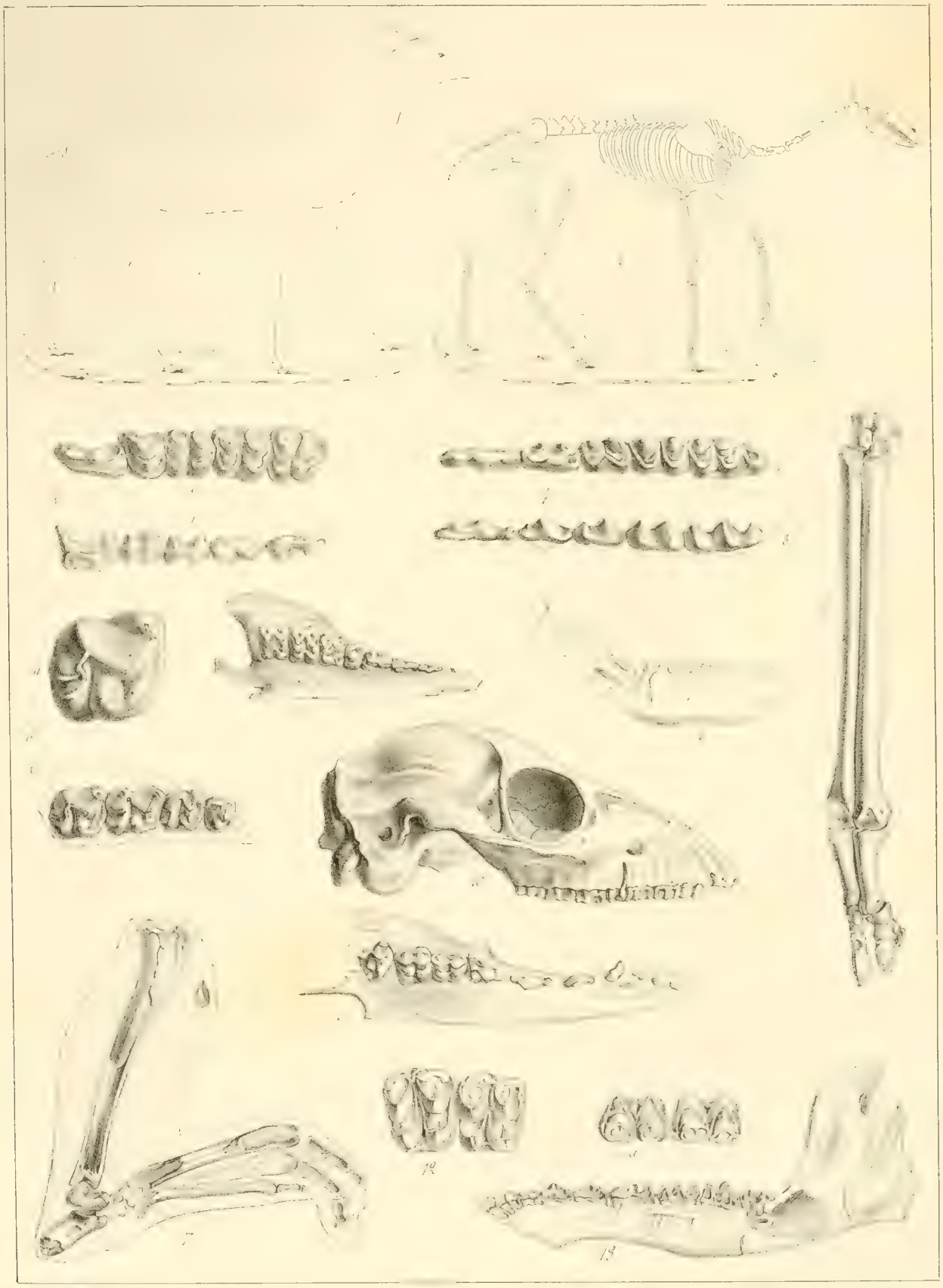

Imp Lemercier, r de Seine 57. Paris

Anoplothérioïdes

Publié par J B Baillière, Libraire à Paris

PLANCHE XIV.

MAMMIFÈRES PACHYDERMES. — SUILLIENS ET ANOPLOTHÉRIOÏDES.

Fig. 1. — Dentition de la mâchoire supérieure de l'*Anthracotherium magnum* de Digoin, p. 333. Un quart de la grandeur naturelle.

Fig. 2. — Dentition de la mâchoire inférieure de la même espèce, des lignites de Cadibona. A la même réduction.

Fig. 3. — Dentition de la mâchoire supérieure de l'*Hyracotherium leporinum*, Owen, p. 334, du terrain tertiaire éocène d'Angleterre. De grandeur naturelle.

Fig. 4. — Dentition du *Microchœrus erinaceus*, Wood., p. 334, du terrain éocène d'Angleterre. De grandeur naturelle : *a*, mâchoire supérieure; *b*, mâchoire inférieure.

Fig. 5. — Dentition de la mâchoire supérieure de l'*Acotherulum saturninum*, Gervais, p. 334, des lignites de la Débruge. De grandeur naturelle.

Fig. 6. — Tête de l'*Anoplotherium commune*, Cuv., p. 336, des gypses de Montmartre. Un quart de la grandeur naturelle.

Fig. 7. — Dentition de la mâchoire supérieure de la même espèce, à la même réduction : *a*, dernière molaire, moitié de la grandeur naturelle.

Fig. 8. — Dentition de la mâchoire inférieure de la même espèce. Un quart de la grandeur naturelle. *a*, pénultième molaire; moitié de la grandeur naturelle.

Fig. 9. — Pied antérieur de la même espèce. Un quart de la grandeur naturelle.

Fig. 10. — Pied postérieur de la même espèce, à la même réduction.

Fig. 11. — Forme probable de la même espèce, d'après Cuvier.

Fig. 12. — Squelette de la même espèce, d'après Cuvier.

Fig. 13. — Pied antérieur de l'*Eurytherium latipes*, Gervais, p. 337, des lignites de la Débruge.

PLANCHE XV.

MAMMIFÈRES PACHYDERMES. — ANOPLOTHÉRIOÏDES.

Fig. 1. — Forme probable du *Xiphodon gracile*, Cuv., p. 338, des gypses de Paris.

Fig. 2. — Squelette restauré de la même espèce.

Fig. 3. — Dentition de la mâchoire supérieure. De grandeur naturelle.

Fig. 4. — Dentition de la mâchoire inférieure. De grandeur naturelle.

Fig. 5. — Pied antérieur de la même espèce. Moitié de la grandeur naturelle.

Fig. 6. — Les quatre dernières molaires supérieures du *Chalicotherium grande*, Gervais, p. 337, de Sansan. Un quart de la grandeur naturelle. — *a*, la dernière molaire, moitié de la grandeur naturelle.

Fig. 7. — Pied postérieur du *Dichobune leporina*, Cuv., p. 338, des gypses de Montmartre. Moitié de la grandeur naturelle.

Fig. 8. — Mâchoire supérieure de la même espèce. De grandeur naturelle.

Fig. 9. — Mâchoire inférieure de l'*Aphelotherium Duvernoyi*, Gervais, p. 339, des gypses de Paris. De grandeur naturelle.

Fig. 10. — Tête de l'*Oplotherium commune* d'Auvergne, p. 340. De grandeur naturelle.

Fig. 11. — Dentition de la mâchoire supérieure de la même espèce.
Fig. 12. — Molaires supérieures du *Dichodon cuspidatus*, Owen, p. 342, des terrains éocènes d'Angleterre. De grandeur naturelle.
Fig. 13. — Mâchoire inférieure de la même espèce. Moitié de la grandeur naturelle. — *a*, les deux dernières molaires, de grandeur naturelle.

PLANCHE XVI.

MAMMIFÈRES RUMINANTS. — CERFS ET SIVATHERIUM.

Fig. 1. — Squelette du *Cerf à bois gigantesques*, d'Irlande, p. 355.
Fig. 2. — Tête de la même espèce. Un quatorzième de la grandeur naturelle : *a*, vue de face; *b*, vue de profil.
Fig. 3. — Molaire supérieure de cerf, montrant la petite colonnette et la brièveté du fût, caractéristiques de ce genre.
Fig. 4. — Bois du *Cervus pardinensis*, Croizet et Jobert, p. 354. Un sixième de la grandeur naturelle.
Fig. 5. — Tête du *Sivatherium giganteum*, p. 348, des tertiaires subhimalayens, d'après MM. Cautley et Falconer.
Fig. 6. — Dents molaires supérieures de la même espèce.

PLANCHE XVII.

MAMMIFÈRES RUMINANTS. — CERVIDES ET BOEUFS.

Fig. 1. — Dentition de la mâchoire inférieure de l'*Amphitragulus elegans*, Pomel, p. 348, des terrains miocènes d'Auvergne. De grandeur naturelle. — *a*, la dernière molaire vue en dessus.
Fig. 1*b*. — Dent canine de la mâchoire supérieure de la même espèce. De grandeur naturelle.
Fig. 2. — Dentition de la mâchoire inférieure du *Dremotherium Feignouxii*, Geoffroy, p. 349, des tertiaires miocènes d'Auvergne ; de grandeur naturelle. — *a*, la dernière molaire vue en dessus.
Fig. 3. — Surface triturante d'une molaire de mouton.
Fig. 4. — Une arrière-molaire de la mâchoire inférieure du bœuf, avant que la trituration ait atteint la colonnette.
Fig. 5. — La même, lorsque la colonnette fait partie de la surface triturante de la dent.
Fig. 6. — Surface triturante d'une molaire supérieure du bœuf.
Fig. 7. — Tête du *Bos priscus* ou Bison, p. 364, souche des Aurochs de Lithuanie.
Fig. 8. — Tête du *Bos Urus* de César, p. 364, souche probable de nos races domestiques.

Riocreux, lith

Imp Lemercier, r de Seine 57 Paris

Cerfs et Sivatherium

Publié par J.B. Baillière Libraire à Paris

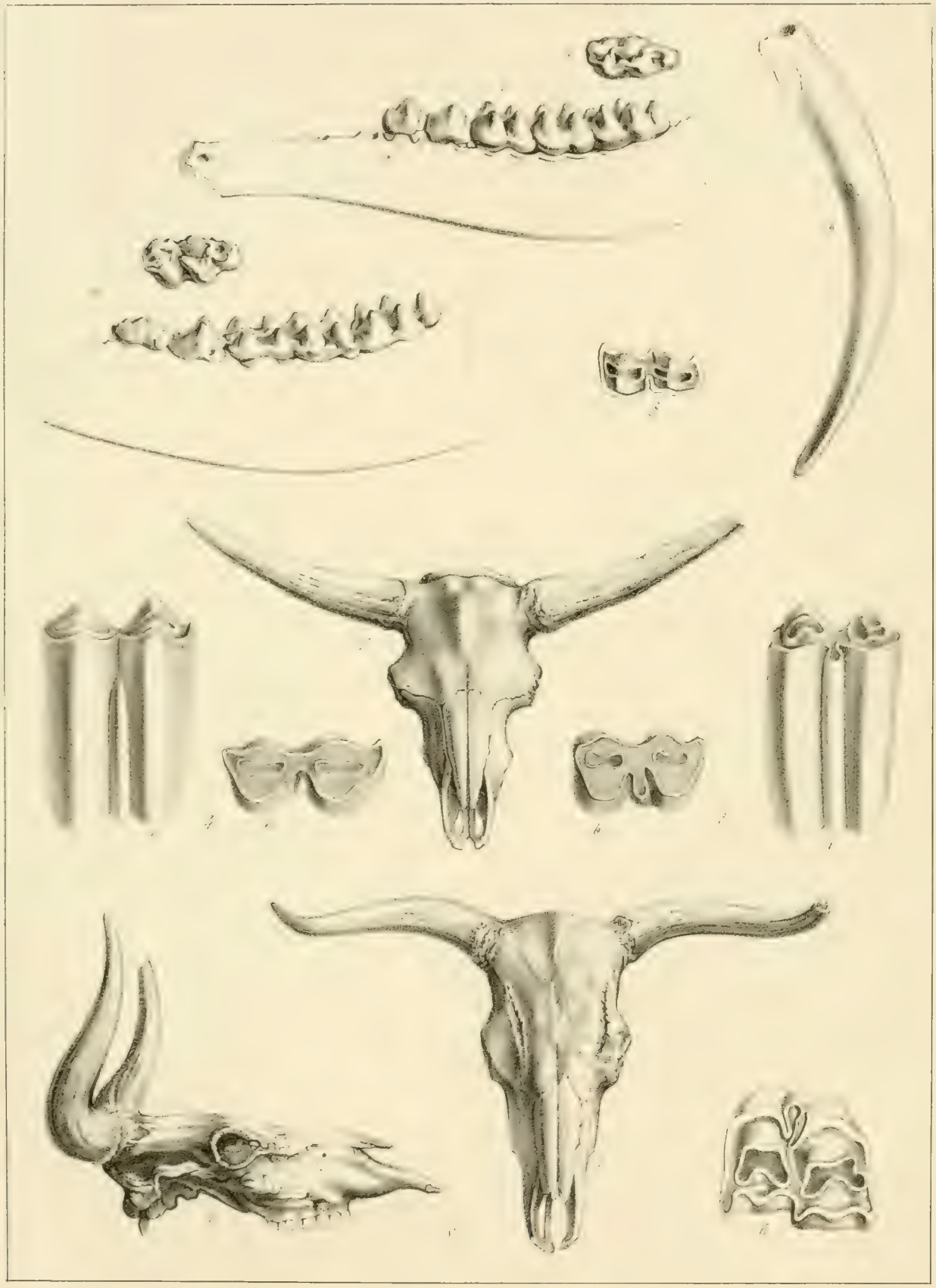

reux lith

Imp Lemercier de Seine 57 Paris

Cervides et Bœufs

Ancreux lith

Imp Lemercier r de Seine 57 Paris

Toxodon et Dinotherium.

Publié par J B Baillière, Libraire à Paris.

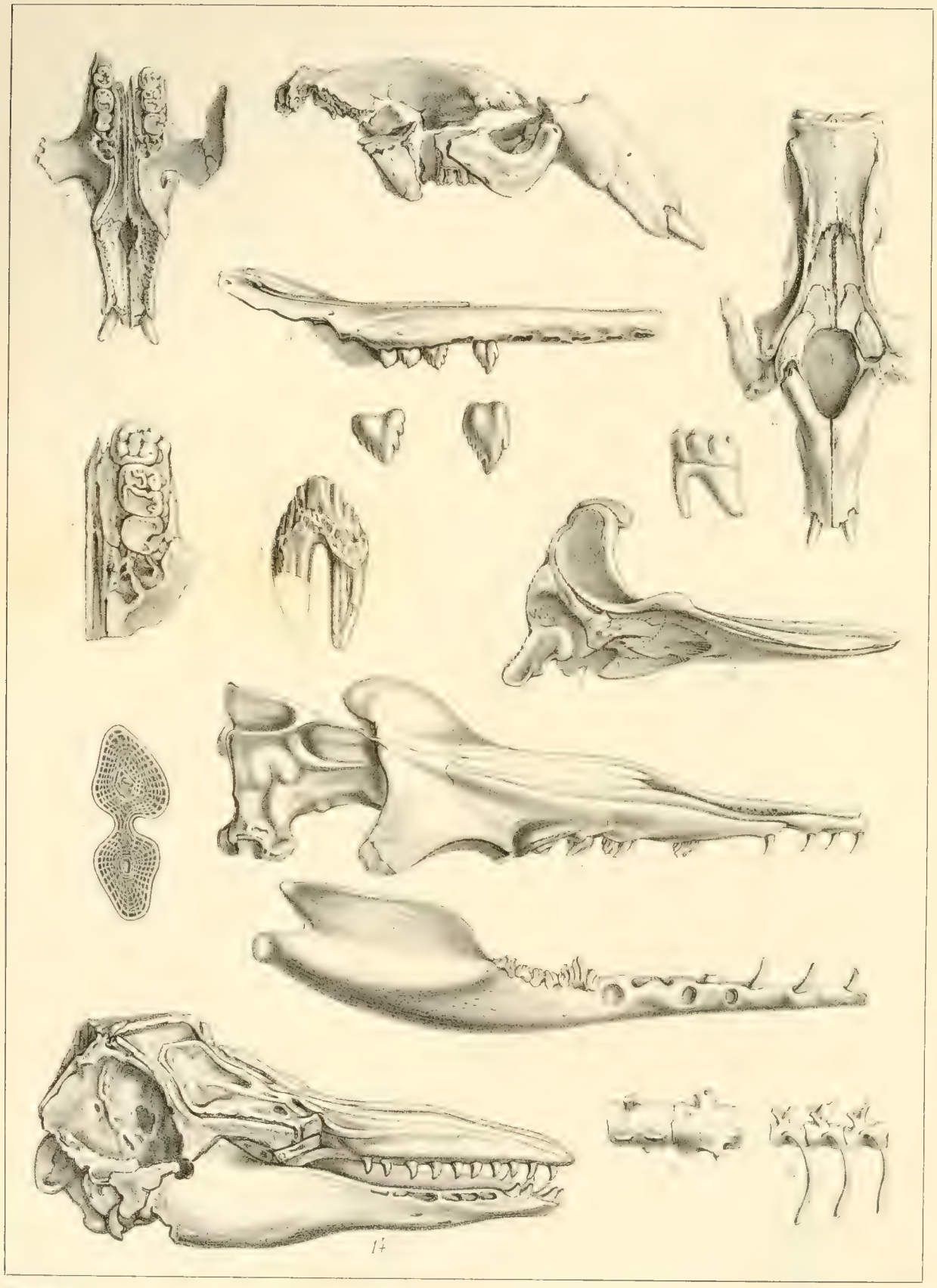

Sirénoïdes, Zeuglodontes, Cétacés.

Publié par J. B. Baillière Libraire à Paris.

PLANCHE XVIII.

MAMMIFÈRES INCERTAINS. — TOXODON ET DINOTHERIUM.

Fig. 1. — Tête du *Toxodon platensis*, Owen, p. 366, de l'Amérique méridionale, vue en dessous. Un neuvième de la grandeur naturelle.
Fig. 2. — La même, vue de profil. Même réduction.
Fig. 3. — Région occipitale de la même tête.
Fig. 4. — Sixième molaire supérieure, vue dans son diamètre antéro-postérieur. Un cinquième de la grandeur naturelle.
Fig. 5. — La même, vue par la face externe.
Fig. 6. — Fragment de la mâchoire inférieure de la même espèce ; même réduction : — *a*, une des arrière-molaires grossie.
Fig. 7. — Portion incisive de la mâchoire inférieure de la même espèce. Un quart de la grandeur naturelle.
Fig. 8. — Une des incisives vue de profil. Un cinquième de la grandeur naturelle.
Fig. 9. — Tête du *Dinotherium giganteum*, Kaup, p. 369, des terrains tertiaires d'Eppelsheim. Un quinzième de la grandeur naturelle.
Fig. 10. — La même tête vue en dessous, à la même réduction.
Fig. 11. — La même tête vue en dessus, à la même réduction.
Fig. 12. — Cinquième molaire supérieure. Un sixième de la grandeur naturelle.
Fig. 13. — Troisième molaire supérieure. Un sixième de la grandeur naturelle.

PLANCHE XIX.

MAMMIFÈRES AQUATIQUES. — SIRÉNOÏDES, ZEUGLODONTES ET CÉTACÉS.

Fig. 1. — Tête de l'*Halitherium Serresii*, Gervais, p. 374, vue de profil. Un cinquième de la grandeur naturelle.
Fig. 2. — La même tête vue en dessus, à la même réduction.
Fig. 3. — Région palatine et maxillaire de la même tête, à la même réduction.
Fig. 4. — Dent molaire de la même espèce. Deux cinquièmes de la grandeur naturelle.
Fig. 5. — Fragment de mâchoire supérieure du *Squalodon Grateloupii*, Gervais, p. 379, de Dax.
Fig. 6. — Une molaire du *Trachytherium Raulinii*, Gervais, p. 374. Moitié de la grandeur naturelle.
Fig. 7. — Tête du *Zeuglodon Hydrarchus*, Koch, p. 376, du terrain tertiaire de l'Amérique septentrionale, d'après les figures publiées par M. Koch, dans les mémoires de Haidinger.
Fig. 8. — Mâchoire inférieure de la même espèce.
Fig. 9. — Une des dents molaires de la même espèce. Un quart de la grandeur naturelle.
Fig. 10. — Coupe d'une dent de la même espèce, d'après M. Owen.
Fig. 11. — Deux vertèbres lombaires de la même espèce, d'après M. Koch.
Fig. 12. — Trois vertèbres dorsales et leurs côtes, d'après M. Koch.
Fig. 13. — Tête réduite du *Ziphius cavirostris*, Cuv., p. 385.
Fig. 14. — Tête du *Delphinus* (Phocæna) *crassidens*, Owen, p. 382, d'Angleterre.

PLANCHE XX.

MAMMIFÈRES DIDELPHES ET TRACES D'OISEAUX.

Fig. 1. *a* et *b*. — Mâchoire inférieure du *Thylacotherium Prevostii*, Cuv., p. 393, trouvée à Stonesfield. De grandeur double.

Fig. 2. — Mâchoire inférieure du *Thylacotherium Broderipii*, Cuv., p. 393, du même gisement. Au même grossissement.

Fig. 3. — Mâchoire inférieure du *Phascolotherium Bucklandii*, Brod., p. 394, du même gisement. Au même grossissement.

Fig. 4. — Dentition de la mâchoire inférieure du *Diprotodon australis*, Owen, p. 399 (les 5 dernières molaires), de la Nouvelle-Hollande. Moitié de la grandeur naturelle.

Fig. 5. *a* et *b*. — Mâchoire inférieure du *Nototherium inerme*, Owen, p. 400, de la Nouvelle-Hollande. Un quart de la grandeur naturelle.

Fig. 6. — Portion d'un squelette de sarigue découvert dans les gypses de Montmartre par Cuvier, p. 395 (*Didelphis Cuvieri*). De grandeur naturelle.

Fig. 7. — Impression de pas d'oiseau avec des empreintes de gouttes de pluie, du terrain triasique des États-Unis, p. 405.

Fig. 8. — Empreinte du pied de l'*Ornitichnites giganteus*, Hitchcock. Un huitième de la grandeur naturelle, p. 406.

Fig. 9. — Empreinte du pied de l'*O. tuberosus*, Hitchcock.

Fig. 10. — — — de l'*O. ingens*, —

Fig. 11. — — — de l'*O. diversus*, — (var. *clarus*).

Fig. 12. — — — de l'*O. diversus*, — (var. *platydactylus*).

Fig. 13. — — — de l'*O. tetradactylus*, —

Fig. 14. — — — de l'*O. palmatus*, —

Fig. 15. — — — de l'*O. minimus*, —

Les figures 8-15 ont toutes été réduites dans la même proportion (un huitième de leur grandeur naturelle).

PLANCHE XXI.

OISEAUX DES TERRAINS TERTIAIRES ET DE LA NOUVELLE-HOLLANDE.

Fig. 1. — Squelette d'un oiseau, p. 408, trouvé à Montmartre par Cuvier. Moitié de la grandeur naturelle.

Fig. 2. — Sternum du *Lithornis vulturinus*, Owen, p. 410, de l'argile de Londres. De grandeur naturelle.

Fig. 3. — Tête de *Dinornis* (*D. casuarinus?* Owen), p. 417, de la Nouvelle-Zélande. Moitié de la grandeur naturelle.

Fig. 4. — Membre postérieur du *Dinornis giganteus*, Owen, p. 417, réduit à peu près au douzième de sa grandeur naturelle.

Fig. 5. — Tête de *Palapteryx* (*P. geranioïdes*) Owen, p. 417, de la Nouvelle-Zélande. Moitié de la grandeur naturelle.

Fig. 6. — Tarse et pied du *Palapteryx robustus*, Owen, p. 417, de la Nouvelle-Zélande. Un sixième de la grandeur naturelle.

Fig. 7. — Membre postérieur et contour du corps du *Casoar à casque*, réduit dans la même proportion que la fig. 4, pour montrer ses rapports de taille avec le *Dinornis giganteus*.

Imp. Lemercier à Paris

Marsupiaux et traces d'Oiseaux.

Faucreux lith. Imp. Lemercier, Paris

Oiseaux des Terrains Tertiaires, Oiseaux de la Nouvelle Zélande.

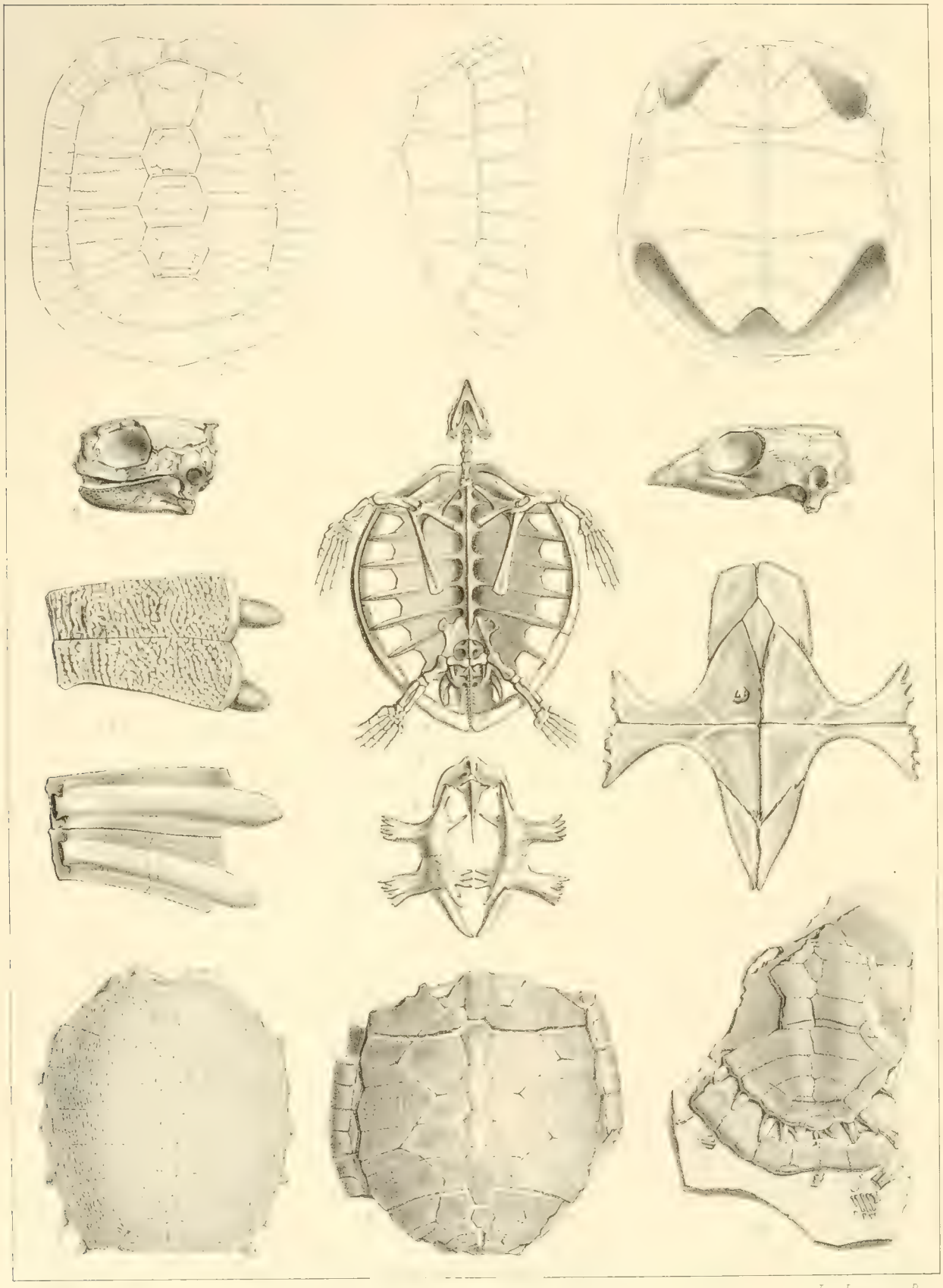

Rioreux lith. Imp. Lemercier Paris

Tortues.

Publié par J.B. Baillière, Libraire à Paris

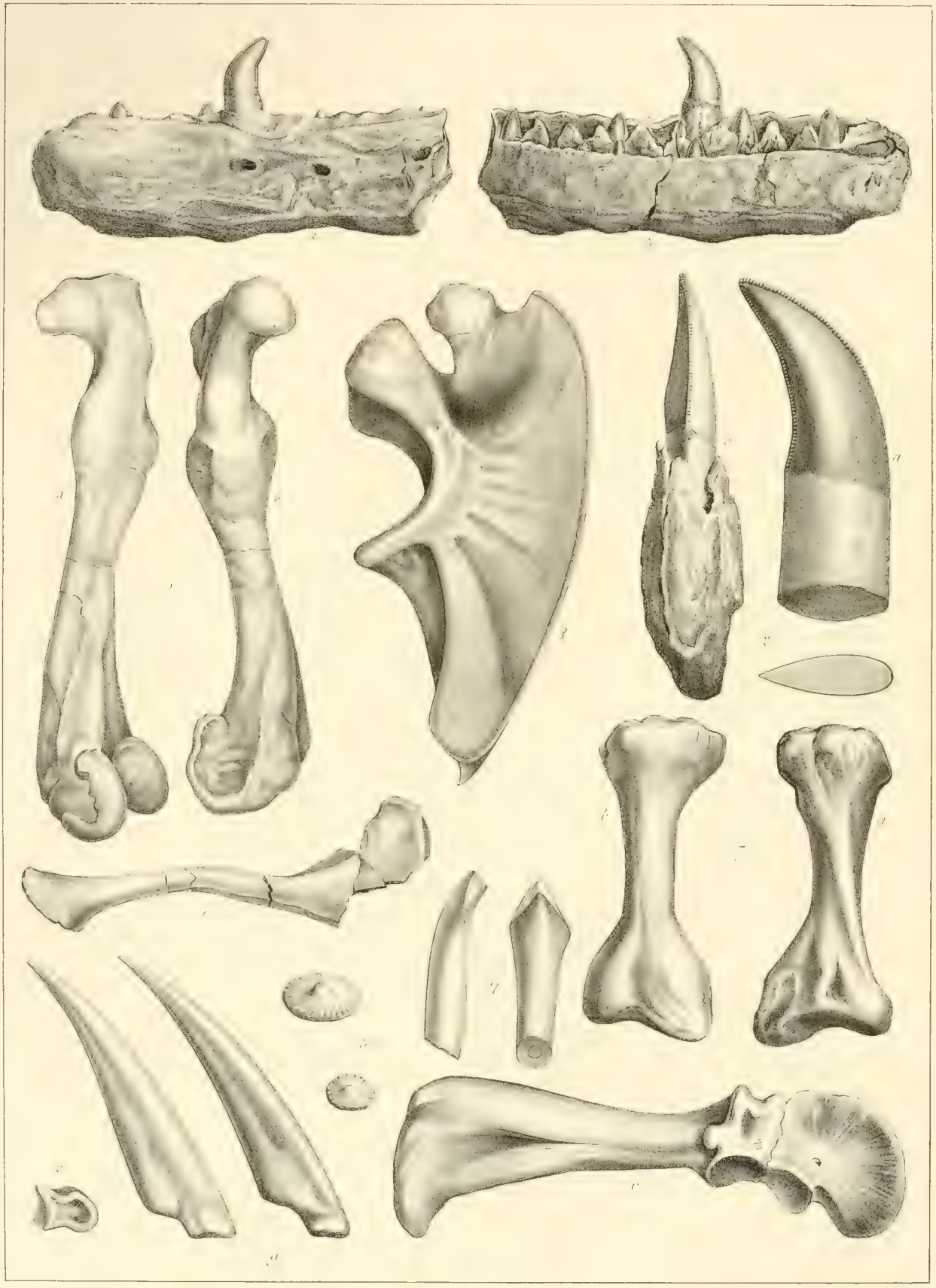

Imp Lemercier Paris

Megalosaurus et Hylœosaurus

PLANCHE XXII.

REPTILES CHÉLONIENS.

Fig. 1. — Carapace de la *Testudo antiqua*, Bronn, p. 443, comme type des tortues de terre. Un quart de la grandeur naturelle. — *a*, vue en dessus; *b*, vue de profil. Les lignes doubles représentent les sillons d'impressions formés par le bord des écailles, les lignes dentées les séparations des pièces osseuses.

Fig. 2. — Plastron de la même espèce. Même réduction.

Fig. 3. — Carapace de l'*Emys lævis*, Owen, p. 449, des terrains éocènes d'Angleterre, vue en dessus. Moitié de la grandeur naturelle.

Fig. 4. — Plastron de la *Chelydra Murchisoni*, Bell, p. 454, des schistes tertiaires d'OEningen. Un sixième de la grandeur naturelle.

Fig. 5. — Carapace du *Trionyx Barbaræ*, Owen, p. 457, des terrains éocènes d'Angleterre. Un sixième de la grandeur naturelle.

Fig. 6. — Deux pièces costales du *Trionyx rivosus*, Owen, p. 457, des mêmes gisements. Moitié de la grandeur naturelle. — *a*, face externe; *b*, face interne.

Fig. 7. — Squelette d'une tortue de mer vivante, comme type des Chélonées (*Chelonée caouane*): *a*, squelette vu en dessous, le plastron ayant été enlevé; *b*, le plastron.

Fig. 8. — Tête, vue de profil, de la *Chelone longiceps*, Owen, p. 461, des terrains éocènes d'Angleterre. Un tiers de la grandeur naturelle.

Fig. 9. — Tête, vue de profil, de la *Chelone breviceps*, Owen, p. 461, des mêmes gisements. Un tiers de la grandeur naturelle.

Fig. 10. — Portion de la carapace et fragments des pattes postérieures de l'*Idiochelys Wagneri*, H. de Meyer, p. 463, des schistes lithographiques de Kelheim. Un tiers de la grandeur naturelle.

PLANCHE XXIII.

REPTILES DINOSAURIENS. — MEGALOSAURUS ET HYLÆOSAURUS.

Fig. 1. — Mâchoire inférieure du *Megalosaurus Bucklandi*, Cuvier, p. 467, de l'oolithe de Stonesfield. Un quart de la grandeur naturelle. — *a*, vue en dedans; *b*, vue en dehors.

Fig. 2. — Dent du même animal : *a*, vue parallèlement à son diamètre antéro-postérieur ; *b*, vue transversalement. Deux tiers de la grandeur naturelle.

Fig. 3. — Os du même animal, qui est considéré comme un coracoïdien. Un huitième de la grandeur naturelle.

Fig. 4. — Clavicule probable de la même espèce. Même réduction.

Fig. 5. *a*, *b*. — Fémur de la même espèce. Même réduction.

Fig. 6. — Omoplate et os coracoïdien de l'*Hylæosaurus Mantelli*, p. 469, du terrain wealdien d'Angleterre. Un sixième de la grandeur naturelle.

Fig. 7. *a*, *b*. — Humérus de la même espèce. Même réduction.

Fig. 8. — Phalange des doigts de la même espèce. Même réduction.

Fig. 9. — Épines dorsales formant probablement dans le même animal une crête dorsale semblable à celle des iguanes. Même réduction.

Fig. 10. — Écusson osseux de la peau du même animal. Même réduction.

Fig. 11. — Dents attribuées à la même espèce. De grandeur naturelle.

PLANCHE XXIV.

REPTILES DINOSAURIENS. — IGUANODON ET PELOROSAURUS.

Fig. 1. — Mâchoire inférieure de l'*Iguanodon Mantelli*, p. 470, du terrain wealdien d'Angleterre; d'après le bel exemplaire figuré par M. Mantell, vue en dehors. Un quart de la grandeur naturelle.

Fig. 2. — La même, vue du côté interne.

Fig. 3 à 7. — Dents de l'*Iguanodon Mantelli*. Moitié de la grandeur naturelle. — Fig. 3. Dent de la mâchoire supérieure, côté gauche: *a*, vue en dehors; *b*, vue de côté; *c*, surface triturante. — Fig. 4. La même, plus usée. — Fig. 5. Dent de la mâchoire inférieure, côté gauche, vue en dedans, usée. — Fig. 6. Dent de la mâchoire inférieure, côté droit, non usée: *a*, vue en dedans; *b*, vue en dehors. — Fig. 7. Dent de la même mâchoire, côté gauche, commençant à s'user, vue en dehors.

Fig. 8. — Section d'une dent non usée, grossie quatre fois.

Fig. 9. — Vertèbre dorsale de l'*Iguanodon du Kentish rag*, p. 472. Un sixième de la grandeur naturelle.

Fig. 10. — Vertèbre caudale. A la même réduction.

Fig. 11. — Clavicule de la même espèce. Même réduction.

Fig. 12. — Humérus de la même espèce. Même réduction.

Fig. 13. — Fémur de la même espèce. Même réduction. Le fémur et l'humérus appartiennent au même individu et montrent la singulière disproportion qui existe entre ces deux os.

Fig. 14. — Phalanges des doigts des pieds postérieurs. Même réduction.

Fig. 15. — Phalanges unguéales des mêmes pieds. Même réduction.

Fig. 16. — Vertèbres du *Pelorosaurus Conybeari*, Mantell, p. 473. Un huitième de la grandeur naturelle.

Fig. 17. — Os en V, ou arc hæmal d'une vertèbre caudale du même animal. Même réduction.

Fig. 18. — Humérus de la même espèce, vu par sa face antérieure. Un douzième de la grandeur naturelle.

PLANCHE XXV.

REPTILES SAURIENS. — CROCODILIENS.

Fig. 1. — Tête du *Crocodilus Hastingsiæ*, Owen, p. 479, des terrains éocènes d'Angleterre. Un sixième de la grandeur naturelle. — *a*, vue en dessus; *b*, vue en dessous.

Fig. 2. — Extrémité du museau du *Crocodilus Hantoniensis*, Owen, p. 480 (sous-genre des Caïmans), des terrains éocènes d'Angleterre, vu en dessous. Un quart de la grandeur naturelle.

Fig. 3. — Tête du *Teleosaurus minimus*, Quenstedt, p. 486, du lias supérieur d'Allemagne. De grandeur naturelle.

Fig. 4. — Tête restaurée, vue de profil, du *Teleosaurus* (*Mystriosaurus Laurillardi*, Kaup), p. 484, du lias supérieur d'Allemagne. Deux septièmes de la grandeur naturelle.

Fig. 5. — Dents du *Teleosaurus Mandelslohi*, Kaup, p. 485, du lias supérieur d'Allemagne. Grandeur naturelle.

Fig. 6. — Écusson dermal du *Teleosaurus bollensis*, Jaeger, (*Macrospondylus*), p. 486, du lias supérieur d'Allemagne. Moitié de la grandeur naturelle.

Fig. 7. — Tête restaurée, vue de profil, du *Teleosaurus* (*Pelagosaurus*) *typus*, Bronn, p. 487, du lias supérieur d'Allemagne. Un tiers de la grandeur naturelle.

Iguanodon et Pelorosaurus.

Crocodiliens.

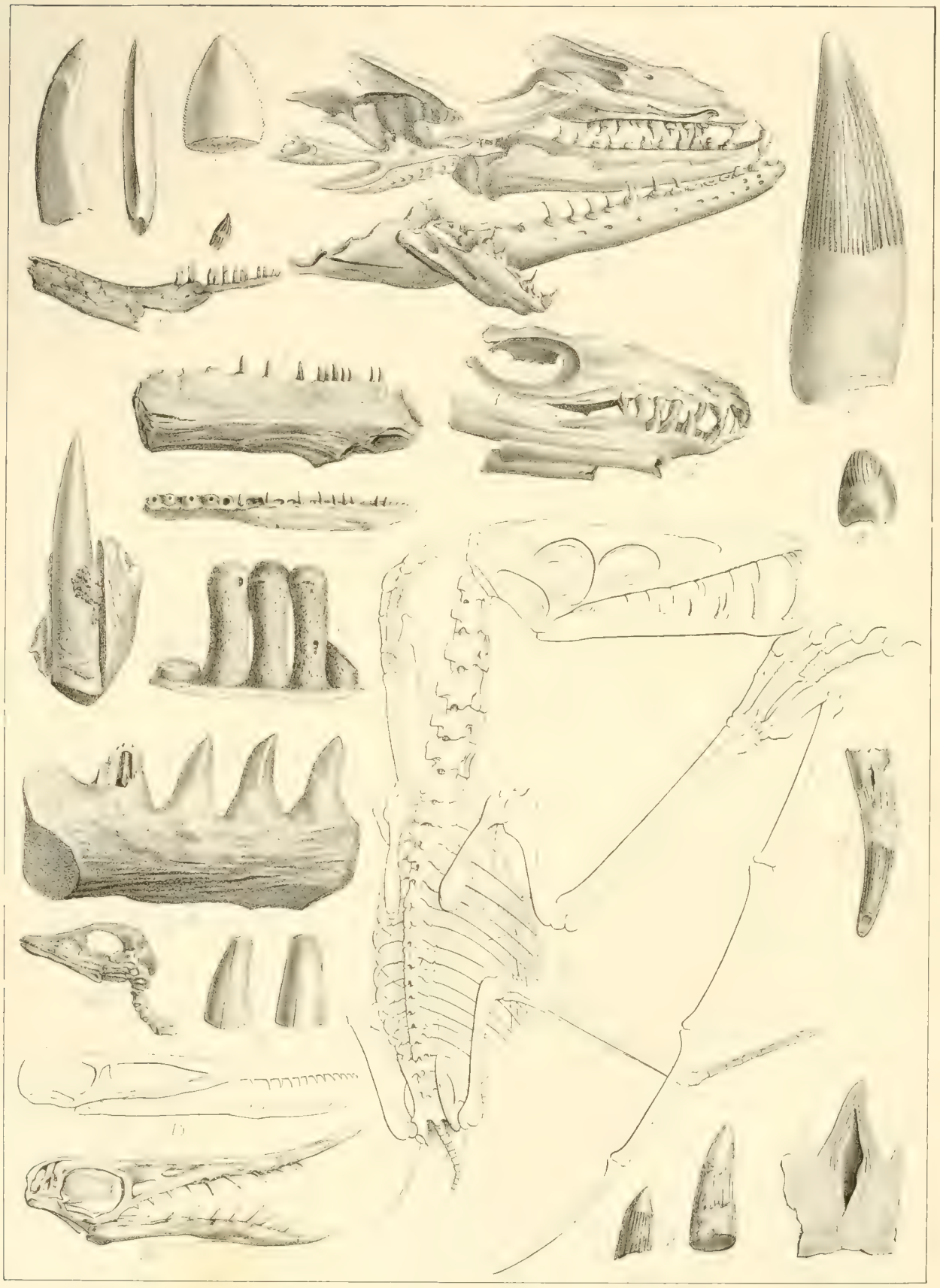

Lackerbauer lith. Imp. Lemercier Paris

Lacertiformes et Ptérodactyliens.

Baillière Libraire à Paris

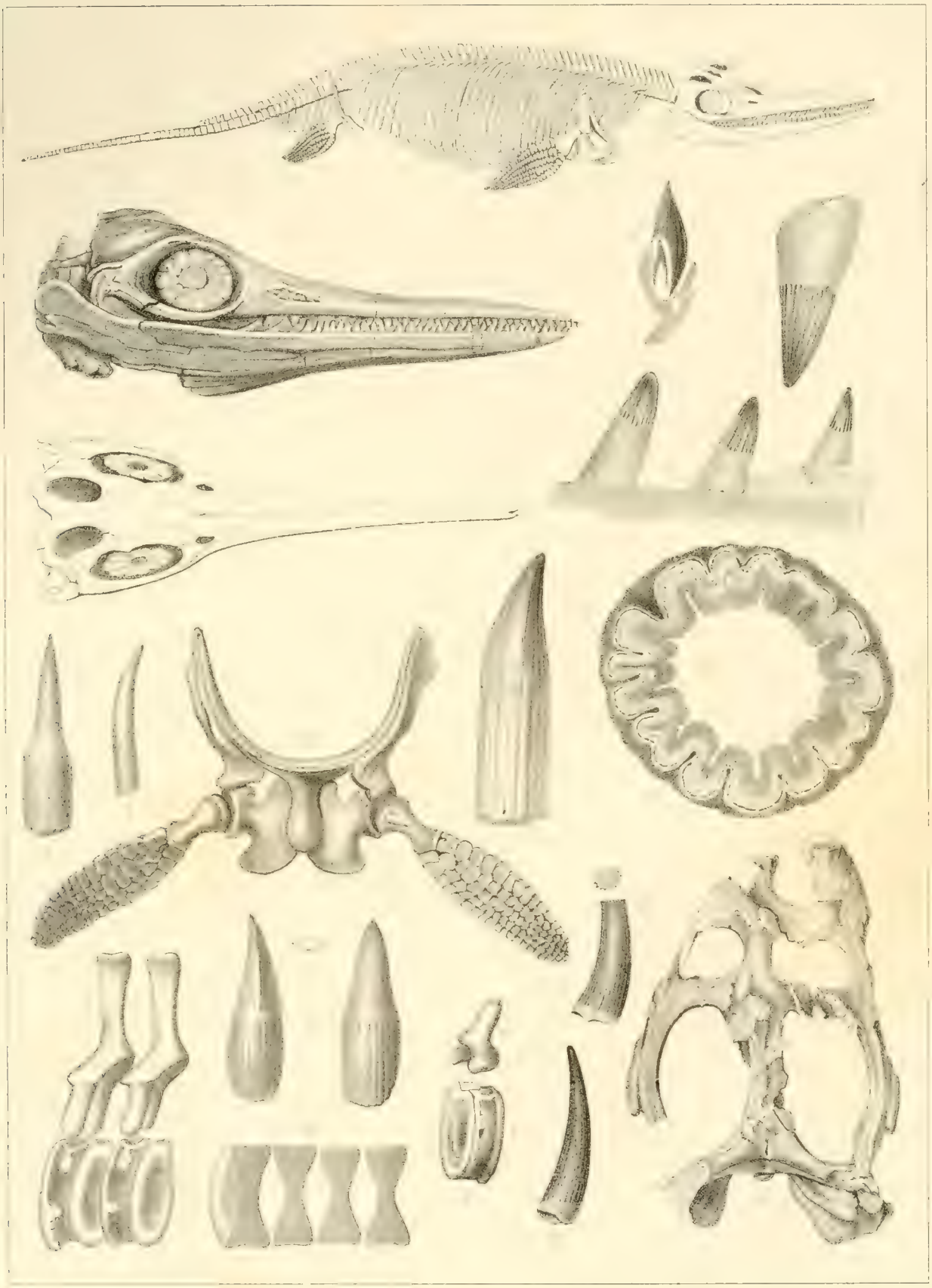

Leveillé lith. Imp. Lemercier, Paris

Ichthyosaurus et Simosaurus

et J. B. Baillière Libraire à Paris

Fig. 8. — Disposition des écailles ou écussons dermaux de l'abdomen, dans la même espèce. Même réduction.

Fig. 9. — Extrémité du museau du *Steneosaurus rostrominor*, Geoffr., p. 492, d'après l'exemplaire original du musée de Genève, provenant des marnes kimméridgiennes de Normandie. Un tiers de la grandeur naturelle. — *a*, vu en dessus ; *b*, vu en dessous ; *c*, de profil.

Fig. 10. — Dents du *Suchosaurus cultridens*, Owen, p. 494, du terrain wealdien d'Angleterre. De grandeur naturelle.

Fig. 11. — Dent du *Goniopholis crassidens*, Owen, p. 495, du même terrain. Grandeur naturelle.

PLANCHE XXVI.

REPTILES. — LACERTIFORMES ET PTÉRODACTYLIENS.

Fig. 1. — Dent du *Palæosaurus platyodon*, Riley et Stutch., p. 503, du terrain pénéen. De grandeur naturelle.

Fig. 2. — Dent du *Cladyodon Lloydii*, Owen, p. 503, du terrain triasique. De grandeur naturelle.

Fig. 3. — Tête du *Mosasaurus Camperi*, p. 504, du terrain crétacé supérieur de Maëstricht. Un douzième de la grandeur naturelle.

Fig. 4. — Tête du *Geosaurus Sœmmeringii*, p. 506, des schistes lithographiques de Bavière. Deux neuvièmes de la grandeur naturelle.

Fig. 5. — Dents du *Leiodon anceps*, Owen, p. 507, de la craie. Moitié de la grandeur naturelle.

Fig. 6. — Coupe d'une des mêmes dents pour montrer la cavité centrale.

Fig. 7. — Mâchoire inférieure du *Raphiosaurus subulidens*, Owen, p. 507, de la craie. De grandeur naturelle. — *a*, vue de profil ; *b*, vue par sa face dentaire.

Fig. 8. — Dent du *Coniosaurus crassidens*, Owen, p. 508, de la craie. Grossie cinq fois.

Fig. 9. — Dents du *Phytosaurus cylindricodon*, Jaeger, p. 514, du Keuper ; *a*, la vraie dent de grandeur naturelle ; *b*, remplissage des alvéoles que l'on avait anciennement confondu avec les dents.

Fig. 10. — Mâchoire inférieure du *Menodon plicatus*, H. de Meyer, p. 515, du grès bigarré. De grandeur naturelle. — *a*, une dent grossie.

Fig. 11. — Deux dents du *Termatosaurus Alberti*, Plieninger, p. 515, du Keuper. De grandeur naturelle.

Fig. 12. — Dents du *Brachytœnius perennis*, H. de Meyer, p. 519, du terrain jurassique. Moitié de la grandeur naturelle.

Fig. 13. — Dent du *Polyptychodon interruptus*, Owen, p. 522, de la craie. De grandeur naturelle.

Fig. 14. — Squelette restauré du *Pterodactylus crassirostris*, Goldf., p. 525, des schistes lithographiques de Bavière. Moitié de la grandeur naturelle.

Fig. 15. — Tête du *Pterodactylus longirostris*, Oken, p. 525, de Pappenheim.

Fig. 16. — Tête et cou du *Pterodactylus brevirostris*, Cuvier, p. 525, d'Eichstaedt. De grandeur naturelle.

Fig. 17. — Dent du *Pterodactylus compressirostris*, Owen, p. 527, de la craie. De grandeur naturelle.

Fig. 18. — Tête du *Ramphorhynchus Gemmingii*, H. de Meyer, p. 528, des schistes lithographiques de Bavière. Moitié de la grandeur naturelle.

PLANCHE XXVII.

REPTILES ENALIOSAURIENS. — ICHTHYOSAURUS ET SIMOSAURUS.

Fig. 1. — Squelette restauré de l'*Ichthyosaurus communis*, De la Bèche et Conyb., p. 531, d'après Conybeare.

Fig. 2. — Tête de l'*Ichthyosaurus platyodon*, De la Bèche et Conyb., p. 531, du lias de Lyme Regis; d'après sir Everard Home.
Fig. 3. — La même, vue en dessus, d'après Conybeare.
Fig. 4. — Coupe théorique destinée à montrer le mode de remplacement et de réabsorption des dents; *a*, l'ancienne dent; *b*, la nouvelle; *c*, coupe de la mâchoire.
Fig. 5. — Coupe horizontale d'une dent de l'*Ichthyosaurus communis*, faite près de la base, grossie au microscope, d'après Owen.
Fig. 6. — Dent de la même espèce. De grandeur naturelle.
Fig. 7. — Dent de l'*Ichthyosaurus intermedius*, De la Bèche et Conyb., p. 533. De grandeur naturelle.
Fig. 8. — Dent de l'*Ichthyosaurus tenuirostris*, *Id.*, p. 533. *Id.*
Fig. 9. — Dent de la mâchoire supérieure de l'*Ichthyosaurus campylodon*, Carter, p. 534, de la craie. De grandeur naturelle.
Fig. 10. — Dents de la mâchoire inférieure de la même espèce.
Fig. 11. — Dent de l'*Ichthyosaurus platyodon*, De la Bèche et Conyb., p. 533. Moitié de la grandeur naturelle.
Fig. 12. — Appareil sternal restauré d'un ichthyosaure, avec les pattes ou nageoires antérieures.
Fig. 13. — Vertèbres dorsales d'un ichthyosaure, figurées de manière à montrer la forme des corps et la manière dont ils s'unissent aux arcs neuraux; *a*, les corps; *b*, les arcs neuraux.
Fig. 14. — Coupe théorique, pour montrer le mode d'articulation des corps entre eux et les cavités qui les séparent.
Fig. 15. — Vertèbre caudale, disposée comme la figure 13.
Fig. 16. — Tête du *Simosaurus Gaillardoti*, p. 541, du terrain triasique. Un quart de la grandeur naturelle, d'après MM. H. de Meyer et Plieninger.
Fig. 17. — Dent de la même espèce de grandeur naturelle.
Fig. 18. — La même dent coupée, et sa tranche.

PLANCHE XXVIII.

REPTILES ENALIOSAURIENS. — PLESIOSAURUS ET NOTHOSAURUS.

Fig. 1. — Squelette restauré du *Plesiosaurus dolichodeirus*, Conyb., p. 534, d'après Conybeare.
Fig. 2. — Squelette de la même espèce, vu du côté du ventre. L'exemplaire original est long de 5 pieds 7 pouces anglais.
Fig. 3. — Squelette du *Plesiosaurus macrocephalus*, p. 535, d'après M. Buckland.
Fig. 4. — Dent de Plésiosaure, fortement grossie, d'après Conybeare.
Fig. 5. — Dent de Pliosaure, p. 537. Moitié de la grandeur naturelle.
Fig. 6. — Tête du *Nothosaurus mirabilis*, Münster, p. 539, du terrain triasique d'Allemagne; *a*, vue en dessus; *b*, vue de profil. Un quart de la grandeur naturelle.
Fig. 7. — Dent d'une espèce du même genre, de grandeur naturelle.
Fig. 8. — Coprolite du lias de Lyme Regis, p. 542, d'après M. Buckland.
Fig. 9. — Coupe transversale d'un autre coprolite du même gisement, montrant l'enroulement spiral.
Fig. 10. — Coprolite de la craie marneuse de Lewes.
Fig. 11. — Coupe longitudinale d'un coprolite du même gisement.

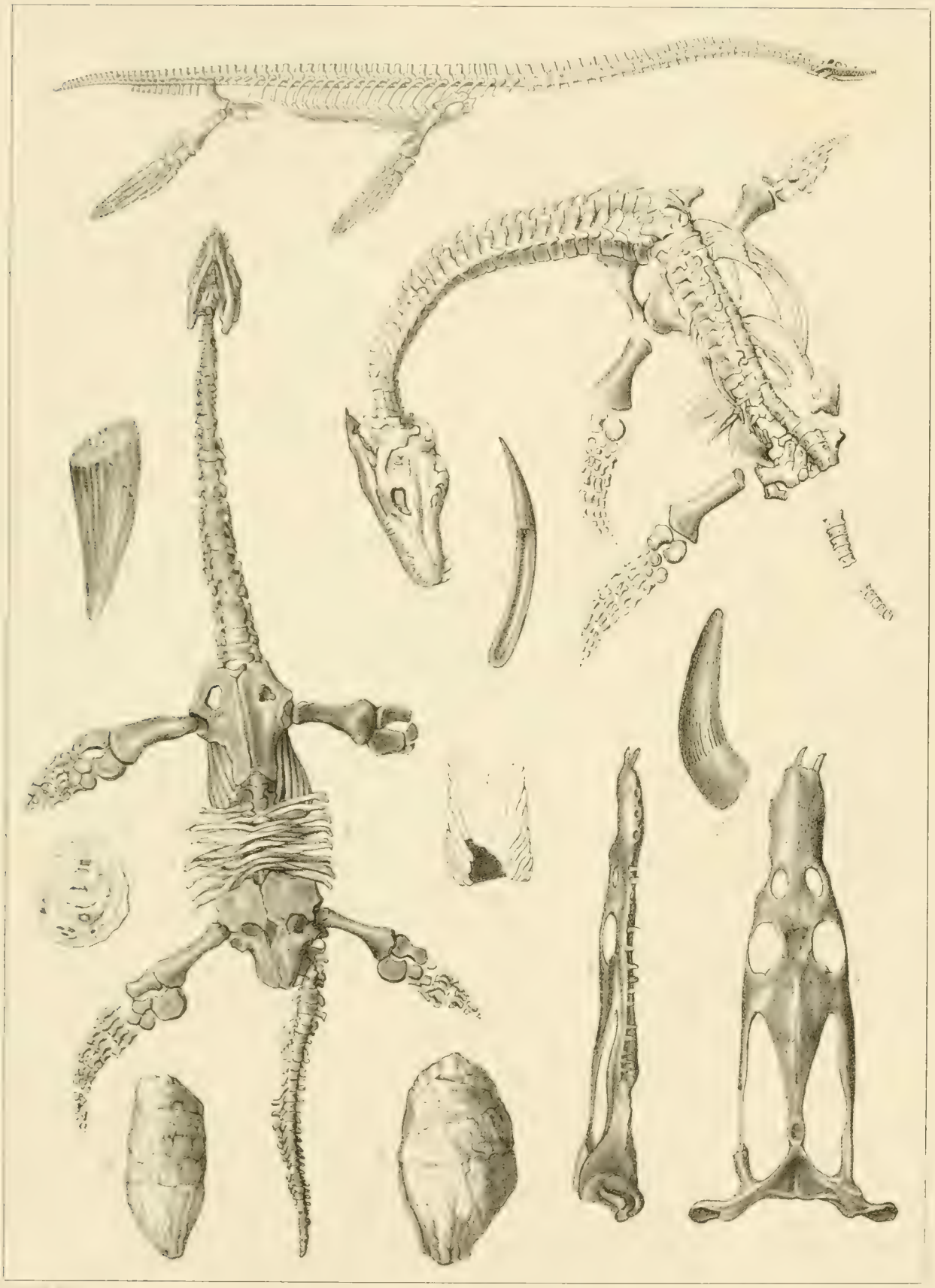

Imp. Lemercier Paris

Plesiosaurus et Nothosaurus.

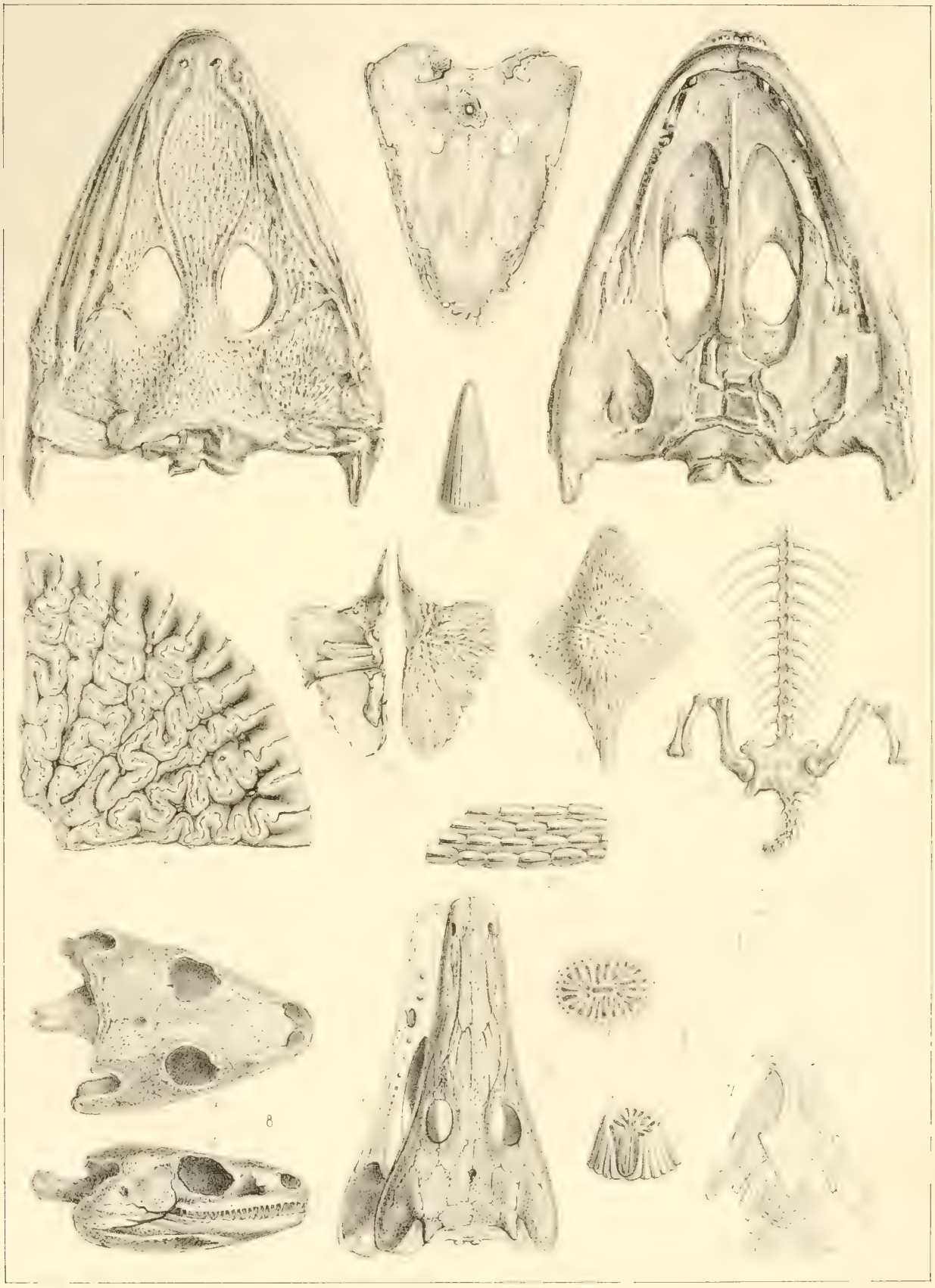

Imp. Lemercier Paris

Mastodonsosaurus Archegosaurus, & C.

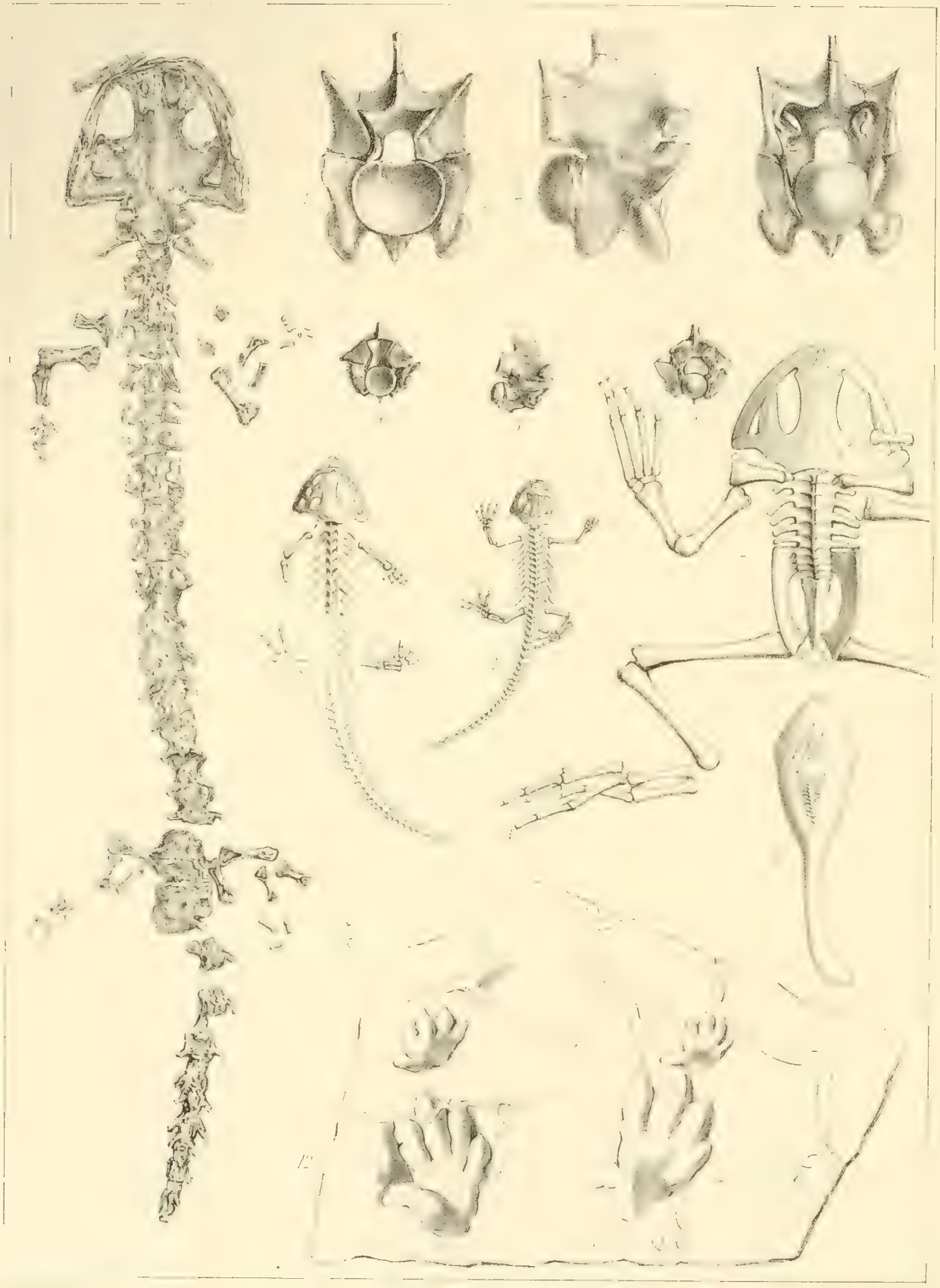

Serpents, Grenouilles, Salamandres et Traces de pas

Publié par J. B. Baillière Libraire à Paris

PLANCHE XXIX.

REPTILES. — LABYRINTHODONTES.

Fig. 1. — Tête du *Mastodonsaurus Jaegeri*, Alberti, du keuper inférieur du Wurtemberg, vue en dessus, tome I, p. 547. Un douzième de la grandeur naturelle.
Fig. 2. — La même, vue en dessous.
Fig. 3. — Dent de la même espèce.
Fig. 4. — Coupe transversale de cette même dent, grossie.
Fig. 5. — Bouclier pectoral d'un *Mastodonsaurus* de Saildorf. Un douzième de la grandeur naturelle.
Fig. 6. — Pièces scapulaires de la même espèce ; même réduction.
Fig. 7. — Tête vue en dessous du *Capitosaurus robustus*, H. de Meyer, du keuper de Stuttgard, tome I, p. 548. Un douzième de la grandeur naturelle.
Fig. 8. — Tête du *Rhinosaurus Jasikowii*, Fischer, tome I, p. 552, du lias de Russie. Moitié de la grandeur naturelle.
Fig. 9. — Tête de l'*Archegosaurus Dechenii*, Goldfuss, tome I, p. 551 ; du terrain carbonifère. Un tiers de la grandeur naturelle.
Fig. 10. — Coupe d'une dent : *a*, dent tronquée, *b*, coupe.
Fig. 11. — Restauration des écailles du tronc d'un *Archegosaurus*, d'après M. Goldfuss.
Fig. 12. — Quelques écailles grossies.
Fig. 13. — Tronc du *Telerpeton elginense*, Mantell, tome I, p. 554, des terrains dévoniens d'Écosse. De grandeur naturelle.

PLANCHE XXX.

REPTILES OPHIDIENS ET BATRACIENS, ET TRACES DE PAS.

Fig. 1. — Vertèbre du milieu du corps du *Palæophis typheus*, Owen, tome I, p. 557 ; de l'argile éocène de Braklesham (Sussex), vue par la face antérieure. De grandeur naturelle.
Fig. 2. — La même, vue de profil.
Fig. 3. — La même, vue par sa face postérieure.
Fig. 4. — Vertèbre du milieu du corps du *Paleryx rhombifer*, Owen, tome I, p. 557, du terrain éocène d'Hordwell-Cliff.
Fig. 5. — La même, vue de profil.
Fig. 6. — La même, vue par sa face postérieure.
Fig. 7. — Squelette du *Palæobatrachus Goldfussii*, Tschudi (*Rana diluviana*, Goldfuss), tome I, p. 562, des lignites des Siebengebirge. De grandeur naturelle.
Fig. 8. — Têtard probable de la même espèce. De grandeur naturelle.
Fig. 9. — Squelette de l'*Andrias Scheuchzeri*, Tschudi (*Homo diluvii testis*, Scheuchzer), tome I, p. 565, des schistes d'OEningen. Un tiers de la grandeur naturelle.
Fig. 10. — Squelette de la *Salamandra Ogygia*, Goldfuss, tome I, p. 566, des lignites des Siebengebirge. De grandeur naturelle.
Fig. 11. — Squelette du *Triton Noachicus*, Goldfuss, tome I, p. 566, du même gisement. De grandeur naturelle.
Fig. 12. — Empreintes de pas attribuées au genre *Cheiorotherium*, tome I, p. 569, du grès rouge de Hildburghausen. Un huitième de la grandeur naturelle.

PLANCHE XXXI.

POISSONS TÉLÉOSTÉENS. — CTÉNOIDES ET PLEURONECTES.

Fig. 1. — Squelette de la Perche commune, (*Perca fluviatilis*, Linné).—1, colonne épinière et arcs neuraux; 2, arcs hémaux; 3, côtes; 4, apophyses des côtes; 5, première nageoire dorsale, soutenue par des rayons épineux; 6, seconde dorsale, soutenue par des rayons mous; 7, nageoire caudale; 8, nageoire anale; 9, rayons porte-nageoires ou osselets interapophysaires supérieurs; 10, les mêmes, inférieurs; 11, nageoire pectorale; 12, nageoire ventrale.

Fig. 2. — Tête de la même espèce, dans laquelle les os sont numérotés par les mêmes chiffres qui ont été employés par MM. Cuvier, Meckel, Agassiz, etc. — 1, frontaux principaux; 2, frontaux antérieurs; 3, nasaux; 4, frontaux postérieurs; 7, pariétaux; 8, occipitaux supérieurs; 9, occipitaux externes; 12, écailles du temporal; 17, intermaxillaires; 18, maxillaires supérieurs; 19, jugaux ou sous-orbitaires; 20, os mobiles du nez; 21, surtemporaux; 23, mastoïdiens; 24, transverses; 26, os carrés; 27, caisse; 28, opercule; 30, préopercule; 31, tympanomalléal ou symplectique; 32, sous-opercule; 33, interopercule; 34, dentaire; 35, articulaire; 36, angulaire; 43, rayons branchiostéges; 46 et 47, scapulaires; 48, clavicule; 51 et 52, bras et avant-bras. Les numéros qui manquent correspondent à des os qui ne sont pas visibles dans la tête, telle que nous l'avons disposée.

Fig. 3. — Ecailles d'une jeune perche. 3 *a*, une écaille de la ligne latérale avec le canal muqueux; 3 *b*, écaille ordinaire.

Fig. 4. — *Smerdis minutus*, Agass., tome II, p. 45, d'Aix en Provence. De grandeur naturelle.

Fig. 5. — Ecailles du *Beryx microcephalus*, Agass., tome II, p. 49, de la craie blanche du Sussex.

Fig. 6. — *Cristiceps paradoxus*, Müller (*Pterygocephalus paradoxus*, Agass.), tome II, p. 61, du Monte Bolca. De grandeur naturelle.

Fig. 7. — *Semiophorus velicans*, Agass., tome II, p. 68, du Monte Bolca. De grandeur naturelle.

Fig. 8. — *Pygæus nobilis*, Agass., tome II, p. 68, du Monte Bolca. De grandeur naturelle.

Fig. 9. — *Rhombus minimus*, Agass., tome II, p. 76, du Monte Bolca. De grandeur naturelle.

PLANCHE XXXII.

POISSONS TÉLÉOSTÉENS ET GANOIDES. — CYCLOIDES ET HOPLOPLEURIDES.

Fig. 1. — Tête de truite (*Salmo trutta*, Linné). Les os du crâne sont marqués des mêmes numéros que dans la figure 2 de la planche XXXI.

Fig. 2-4. — Écailles de différents poissons cycloïdes : 2, *Osmeroides Lewesiensis*, Agassiz; 3, Brochet, *Esox lucius*, Linné; 4, *Tinca leptosoma*, Agassiz.

Fig. 5. — Mâchoire inférieure de l'*Enchodus halocyon*, Agass., tome II, p. 81, de la craie de Lewes.

Fig. 6. — Portion de la mâchoire du *Saurodon leanus*, Agass., tome II, p. 94, de la craie de Lewes. De grandeur naturelle.

Fig. 7. — Dents isolées du *Saurocephalus lanciformis*, Agass., tome II, p. 93, de la craie de New Jersey. De grandeur naturelle.

Fig. 8. — Portion d'une plaque calcaire contenant une accumulation de *Lebias cephalotes*, Agass., tome II, p. 107, des plâtrières d'Aix en Provence. De grandeur naturelle.

Fig. 9. — Tête du *Spaniodon Blondelii*, Pictet, tome II, p. 115, des terrains crétacés du Liban (calcaire tendre de Sach-el-Aalma). De grandeur naturelle.

Fig. 10. — Squelette de l'*Anguilla brevicula*, Agass., tome II, p. 118, du Monte Bolca. De grandeur naturelle.

Cténoides et Pleuronectes.

Publié par J. B. Baillière, Libraire à Paris

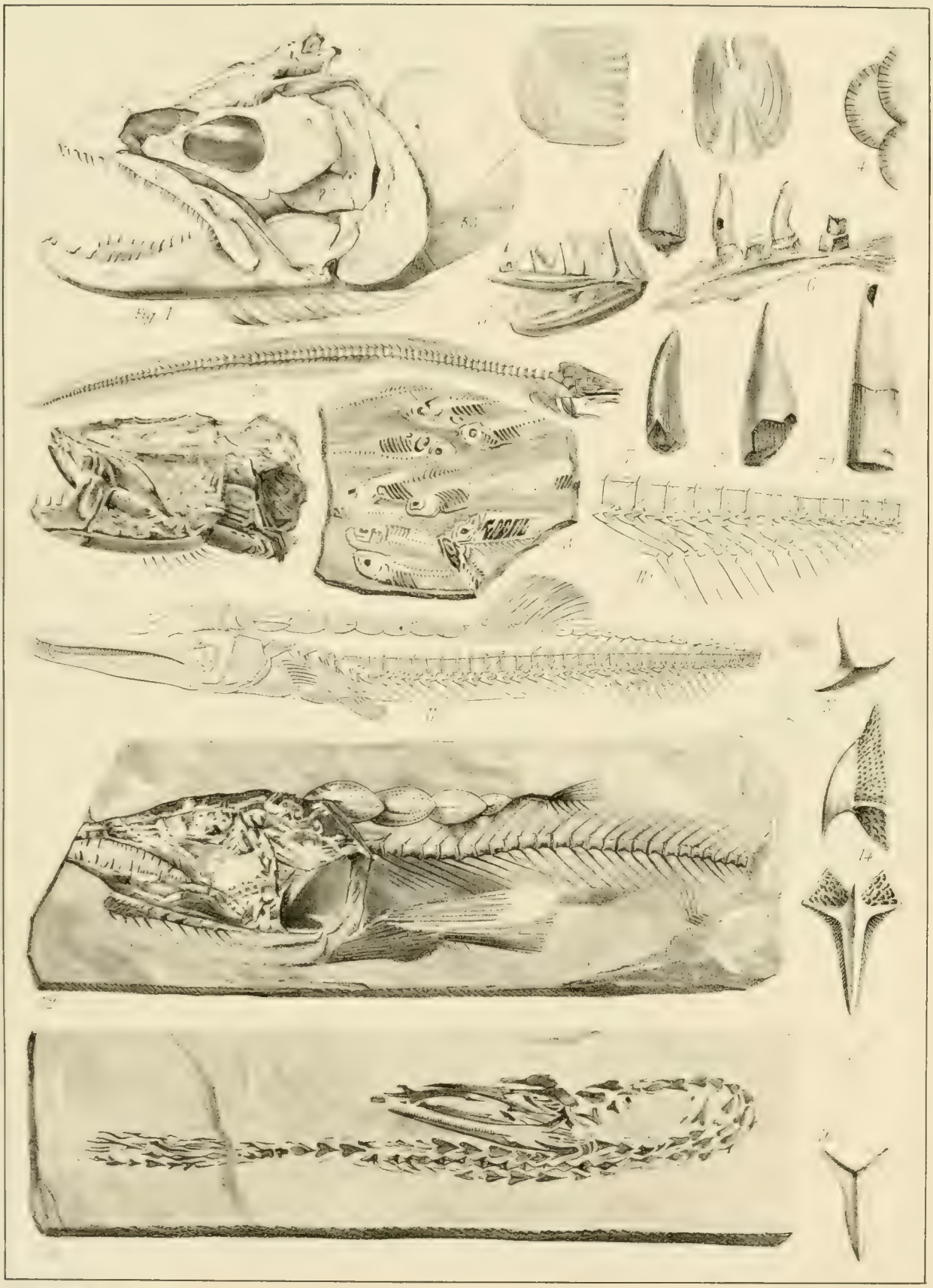

Imp. Lemercier, Paris

Cycloïdes et Hoplopleurides

Publié par J. B. Baillière, Libraire à Paris

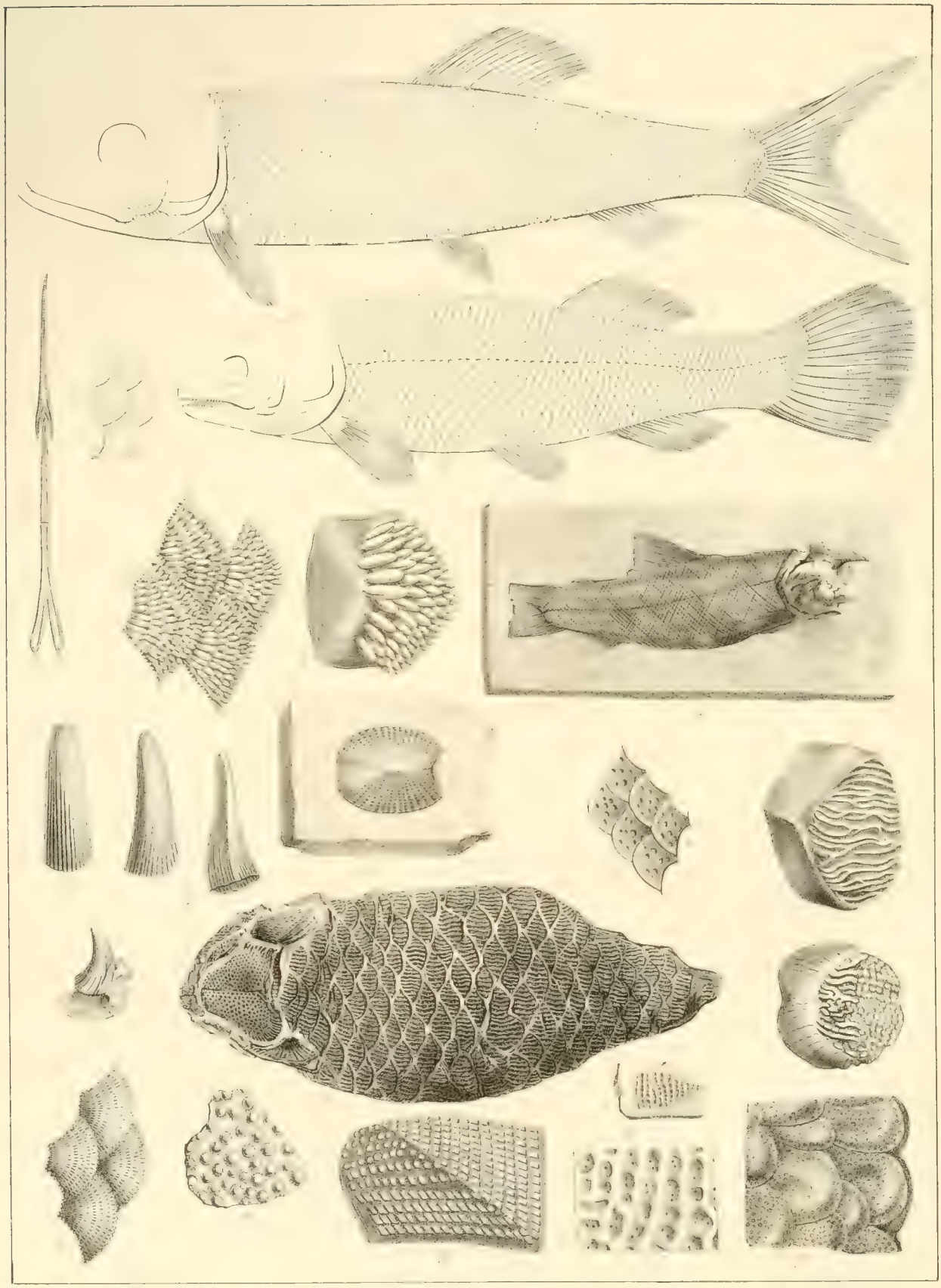

Imp. Lemercier, Paris

Ganoides Cycliferes.

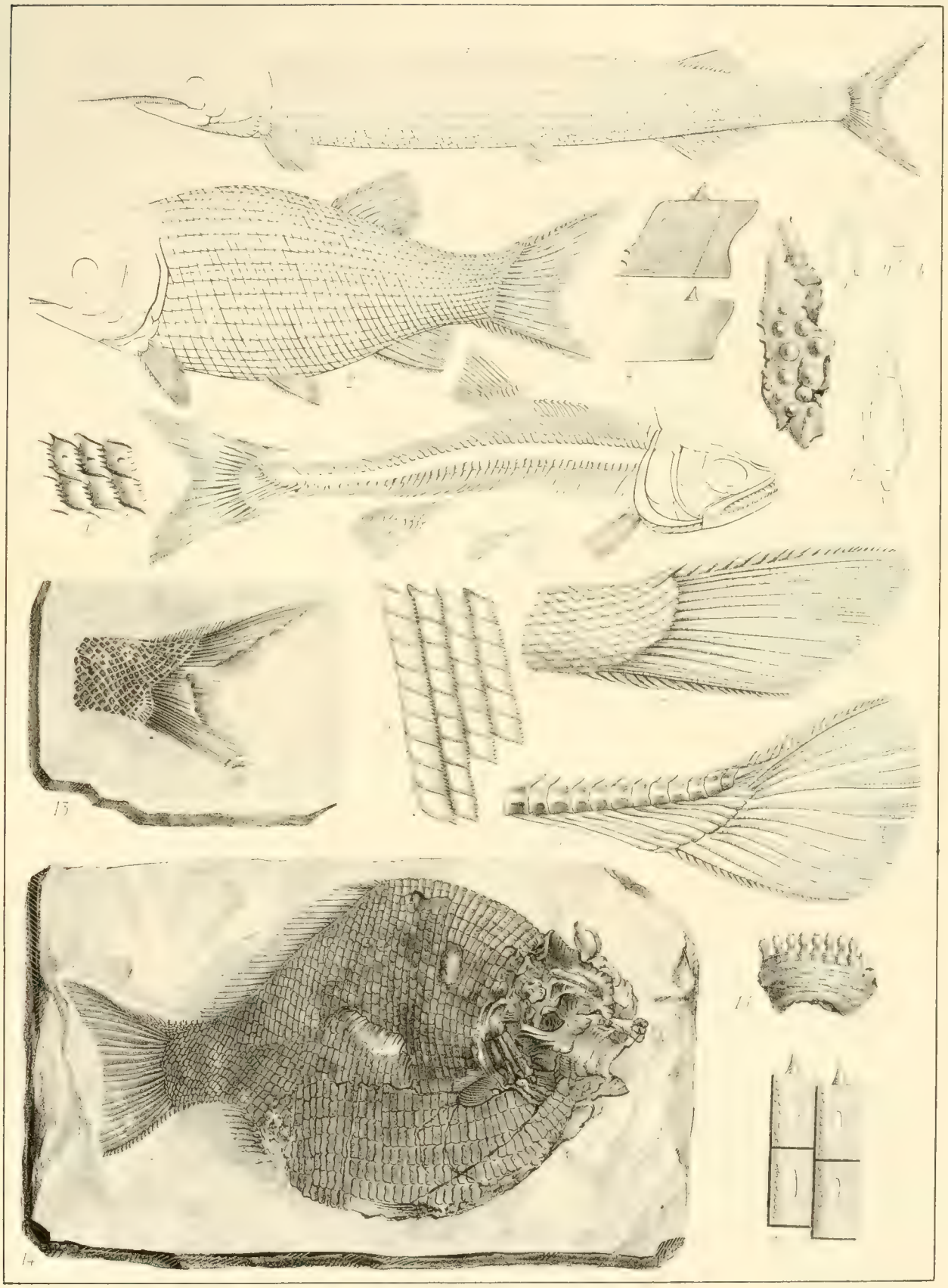

Lackerbauer lith

Lépidostéides homocerques.

Fig. 11. — Squelette du *Sauroramphus Freyeri*, Heckel, tome II, p. 215, du terrain crétacé de Comen. Un peu plus petit que nature. *a*, nageoire anale un peu grossie, pour montrer les osselets surapophysaires.

Fig. 12. — *Eurypholis Boissieri*, Pictet, tome II, p. 216, des terrains crétacés du mont Liban (calcaire de Hakel). De grandeur naturelle.

Fig. 13. — *Dercetis elongatus*, Agass., tome II, p. 217, de la craie de Lewes. De grandeur naturelle.

Fig. 14. — Écussons latéraux de la même espèce, grossis.

Fig. 15. — Écussons latéraux grossis du *Dercetis triqueter*, Pictet, tome II, p. 217, des calcaires tendres de Sach-el-Aalma.

Fig. 16. — Écussons latéraux grossis du *Dercetis linguifer*, Pictet, du même gisement.

PLANCHE XXXIII.

POISSONS GANOIDES. — GANOIDES CYCLIFÈRES.

Fig. 1. — Restauration du genre *Leptolepis*, Agass., tome II, p. 136.

Fig. 2. — Restauration du genre *Megalurus*, Agass., tome II, p. 139.

Fig. 3. — Écailles du *Megalurus lepidotus*, Agass.

Fig. 4. — *Coccolepis Bucklandi*, Agass., tome II, p. 140, de Solenhofen. De grandeur naturelle.

Fig. 5. — Écailles de la même espèce, grossies.

Fig. 6. — Coupe théorique d'un rayon de nageoire, d'un rayon porte-nageoire et d'un arc hémal du genre *Cœlacanthus*, Agass., tome II, p. 141.

Fig. 7-8. — Écailles du *Macropoma Mantelli*, Agass., tome II, p. 142, de la craie blanche d'Angleterre.

Fig. 9. — Écailles du *Glyptolepis microlepidotus*, Agass., tome II, p. 143, des vieux grès rouges d'Angleterre.

Fig. 10. — *Holoptychius Andersonii*, Agass., tome II, p. 145, vu par sa face ventrale. Moitié de la grandeur naturelle. Des mêmes grès rouges d'Angleterre.

Fig. 11. — Écailles de l'*Holoptychius giganteus*, Agass., tome II, p. 146, des mêmes gisements.

Fig. 12. — Écailles de l'*Actinolepis tuberculatus*, Agass., tome II, p. 146, du terrain dévonien des environs de Saint-Pétersbourg.

Fig. 13. — Dents du *Dendrodus strigatus*, Owen, tome II, p. 147, du terrain dévonien d'Elgin. De grandeur naturelle.

Fig. 14. — Dent du *Lamnodus biporcatus*, Agass., tome II, p. 148, du même gisement. De grandeur naturelle.

Fig. 15. — Dent du *Cricodus incurvus*, Agass., tome II, p. 149, des mêmes gisements. De grandeur naturelle.

Fig. 16. — Écailles de l'*Asterolepis ornata*, Eichwald, tome II, p. 149, des terrains dévoniens de Riga. De grandeur naturelle.

Fig. 17. — Une portion d'une autre écaille du même poisson, grossie.

Fig. 18. — Portion d'une écaille osseuse du *Bothriolepis favosa*, Agass., tome II, p. 151, des terrains dévoniens d'Elgin. *a*, de grandeur naturelle.

Fig. 19. — Écailles du *Psammosteus paradoxus*, Agass., tome II, p. 151, du terrain dévonien de Riga.

PLANCHE XXXIV.

POISSONS GANOIDES. — LÉPIDOSTÉIDÈS HOMOCERQUES.

Fig. 1. — Figure restaurée du genre *Aspidorhynchus*, Agass., tome II, p. 154.

Fig. 2. — Figure restaurée du genre *Lepidotus*, Agass., tome II, p. 160.

Fig. 3-4. — Écailles du *Lepidotus semiserratus*, Agass., grossie, du lias de Whitby.

Fig. 5. — Dents du *Lepidotus Mantelli*, Agass., des sables d'Hastings.

Fig. 6. — Écailles du *Pholidophorus limbatus*, Agass., tome II, p. 164, du Lias de Lyme-Regis.
Fig. 7. — Queue du *Lepidosteus osseus*, tome II, p. 170, vivant; pour montrer le mode de terminaison des écailles dans une queue hétérocerque et la disposition des fulcres sur la nageoire caudale.
Fig. 8. — Squelette de la même queue, représenté comme type de la terminaison la plus fréquente de la colonne épinière dans les ganoïdes homocerques.
Fig. 9. — Disposition des écailles dans la même espèce, prise comme type des Ganoïdes rhombifères.
Fig. 10. — Squelette restauré du genre *Caturus*, Agass., tome II, p. 170, comme type d'un Lépidostéide homocerque à corde dorsale persistante.
Fig. 11. — Demi-vertèbres (supérieure et inférieure) qui enveloppent la corde dorsale dans plusieurs Ganoïdes, tome II, p. 6.
Fig. 12. — Ces mêmes pièces dans leur position relative.
Fig. 13. — Queue de l'*Eugnathus orthostomus*, Agass., tome II, p. 176, du lias de Lyme-Regis. Un tiers de la grandeur naturelle.
Fig. 14. — *Dapedius Colei*, Agass., tome II, p. 168 du lias de Lyme-Regis. Un tiers de la grandeur naturelle.
Fig. 15. — Mâchoire du *Tetragonolepis mastodonteus*, Agass., tome II, p. 166, des sables d'Hastings.
Fig. 16. — Écailles du *Tetragonolepis monilifer*, Agass., du lias d'Angleterre.

PLANCHE XXXV.

POISSONS GANOIDES. — LÉPIDOSTÉIDES HÉTÉROCERQUES.

Fig. 1. — Tête du *Megalichthys Hibberti*, Agass., tome II, p. 179, du terrain carbonifère de Glascow, vue en dessus. Un huitième de la grandeur naturelle.
Fig. 2. — La même, vue en dessous.
Fig. 3. — La même, vue de profil.
Fig. 4. — Dent du *Saurichthys acuminatus*, Agass., tome II, p. 178, du muschelkalk d'Austclift.
Fig. 5. — Dent du *Saurichthys longidens*, Agass., id.
Fig. 6. — Dent du *Saurichthys apicalis*, Agass., du muschelkalk de Bayreuth.
Fig. 7. — *Saurichthys Mougeoti*, Agass., du muschelkalk de Lunéville. — Dans les figures 4, 5, 6 et 7, les petites dents figurées sous la lettre *a* indiquent la grandeur naturelle.
Fig. 8. — Écailles de l'*Acrolepis Sedgwicki*, Agass., tome II, p. 180, du terrain magnésien d'Angleterre.
Fig. 9. — Forme probable des poissons du genre *Amblypterus*, Agass., tome II, p. 181.
Fig. 10. — Écailles de l'*Amblypterus striatus*, Agass., du terrain carbonifère de New-Haven.
Fig. 11. — Écailles de l'*Amblypterus nemopterus*, Agass., du même gisement.
Fig. 12. — Forme d'une espèce allongée appartenant au genre *Palæoniscus*, Agass., tome II, p. 184.
Fig. 13. — Forme d'une espèce courte du même genre.
Fig. 14. — *Palæoniscus Vratislaviensis*, Agass., des schistes de Ruppersdorf en Bohême. De grandeur naturelle.
Fig. 15. — Écailles du *Palæoniscus glaphyrus*, Agass., du calcaire magnésien d'Angleterre.
Fig. 16. — Écailles du *Palæoniscus carinatus*, Agass., du terrain carbonifère de New-Haven.
Fig. 17. — Écailles du *Palæoniscus angustus*, Agass., des schistes carbonifères de Muse, près Autun.

PLANCHE XXXVI.

POISSONS GANOIDES. — ACANTHODIENS ET PYCNODONTES.

Fig. 1. — *Acanthodes* restauré, tome II, p. 189.
Fig. 2. — Écailles de l'*Acanthodes sulcatus*, Agass., du terrain carbonifère de New-Haven.

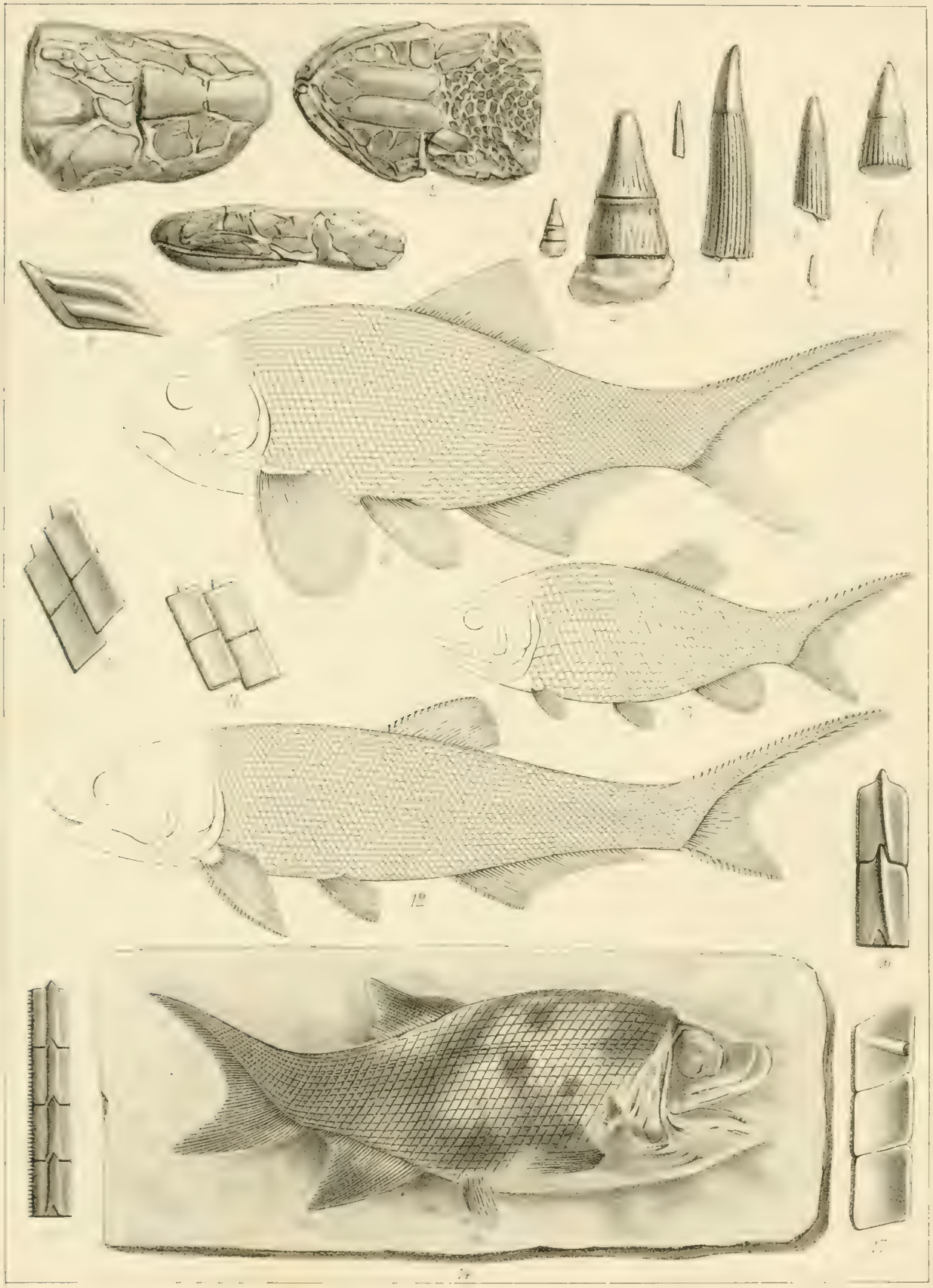

Imp. Lemercier, Paris

Lépidostéides hétérocerques.

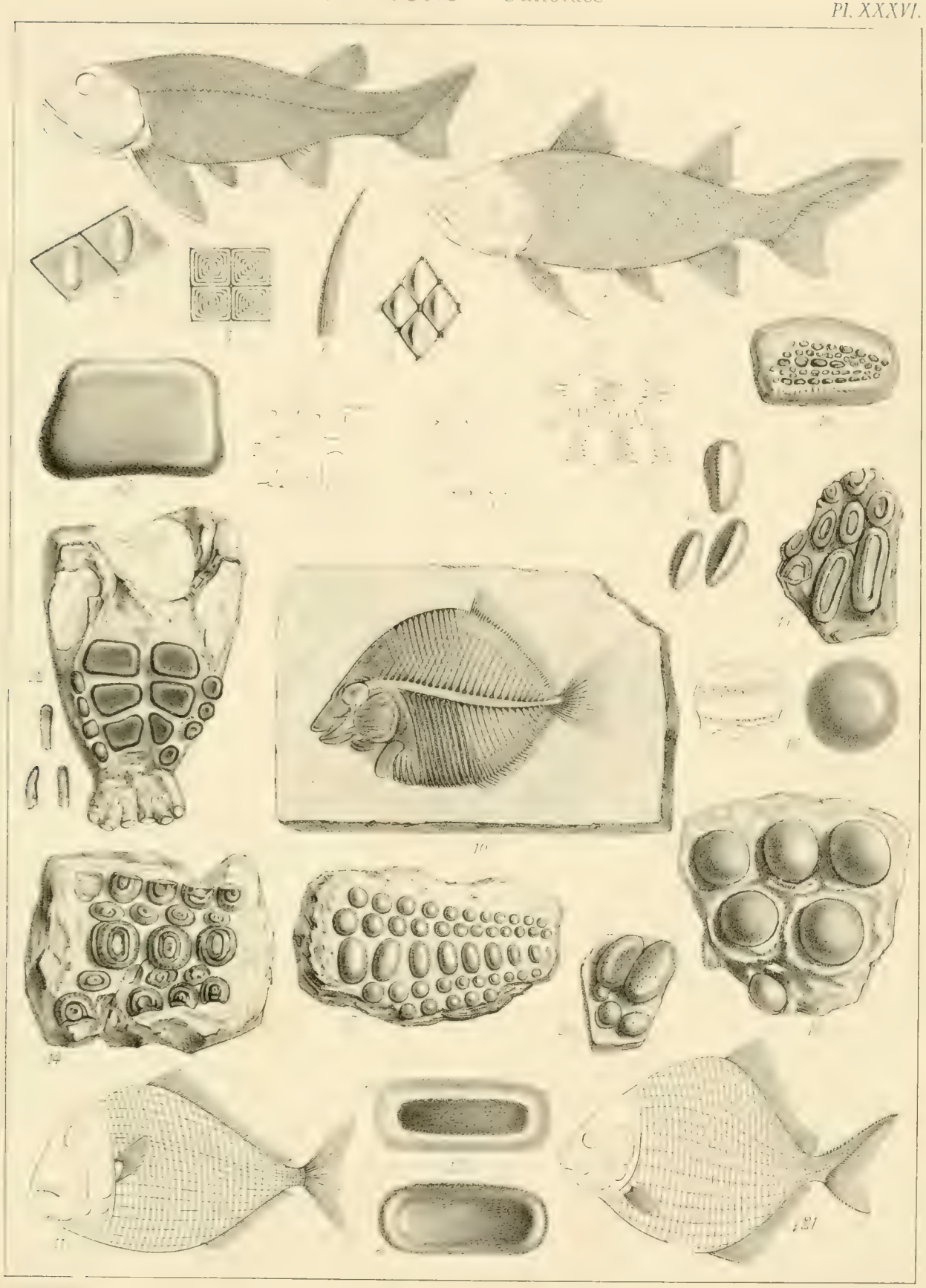

Imp. Lemercier à Paris

Acanthodiens et Pycnodontes.

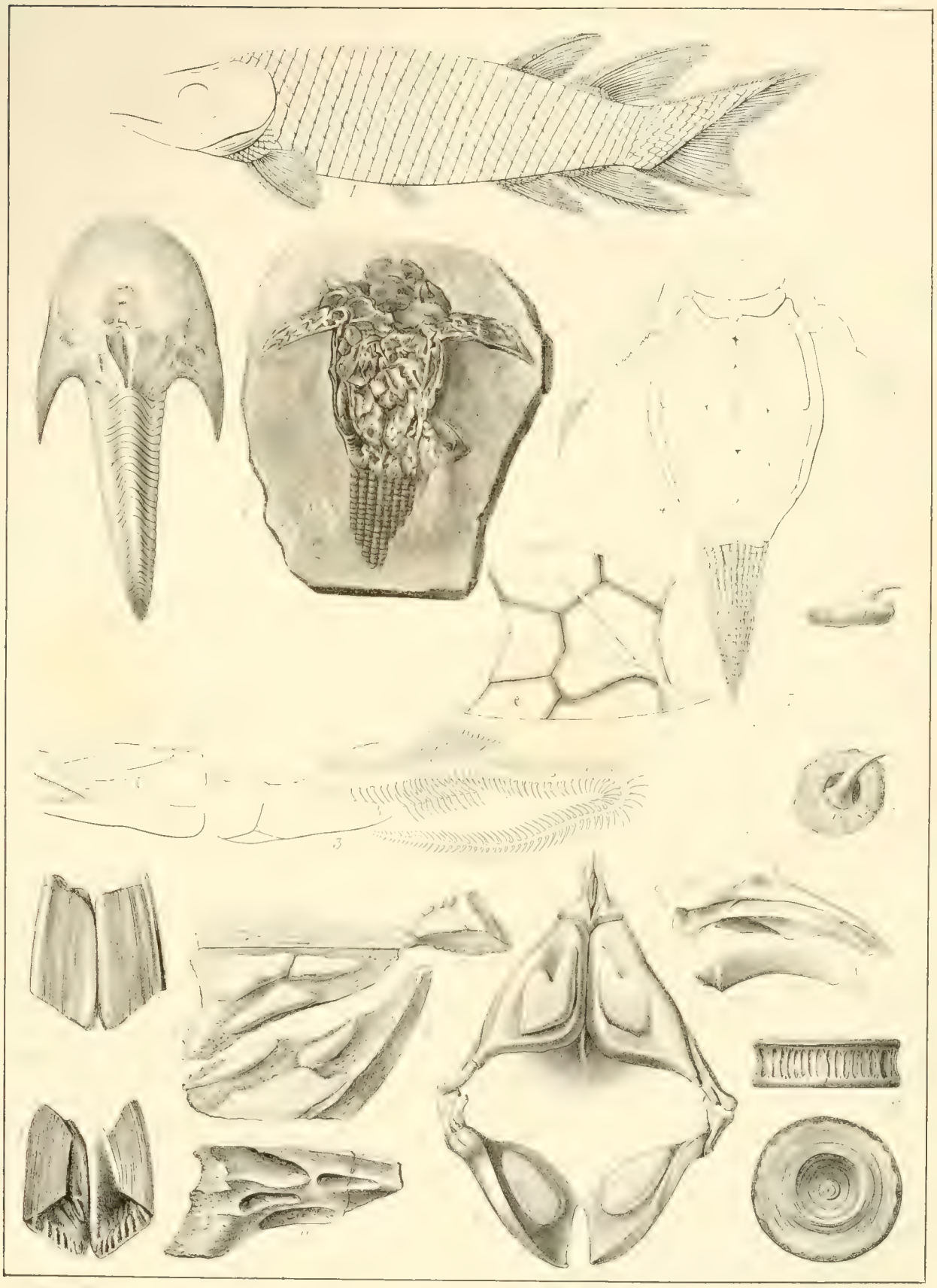

Imp Lemercier, Paris

Diptériens, Céphalaspides, Chimérides.

Publié par J B Baillière Libraire à Paris

Fig. 3. — Écailles de l'*Acanthodes Bronni*, Agass., de la houille de Saarbruck.
Fig. 4. — *Diplacanthus* restauré, tome II, p. 190.
Fig. 5. — Écailles du *Diplacanthus striatus*, Agass., du vieux grès rouge d'Angleterre.
Fig. 6. — Rayon qui soutient la nageoire dorsale dans la même espèce.
Fig. 7. — Manière dont les arcs neuraux et hémaux s'épatent à leur base pour protéger la corde dorsale, en formant ce que M. Heckel appelle des demi-vertèbres, tome II, p. 6 et 195.
Fig. 8. — Les mêmes demi-vertèbres dans une espèce où elles ont le bord dentelé.
Fig. 9. — Forme des mêmes demi-vertèbres dans les Pycnodontes tertiaires. Ces organes s'engrènent ensemble par une sorte de dentelure.
Fig. 10. — *Pycnodus rhombus*, Agass., tome II, p. 199, de Torre d'Orlando, près Naples. De grandeur naturelle, dessiné d'après un échantillon du musée de Genève.
Fig. 11. — *Pycnodus* restauré, tome II, p. 197.
Fig. 12. — Dent molaire d'un poisson du même genre. *a*, vue en dessus; *b*, vue en dessous. De grandeur naturelle.
Fig. 13. — Dents du *Pycnodus rugulosus*, Agass., tome II, p. 198, de l'oolithe sableuse du Northamptonshire. De grandeur naturelle.
Fig. 14. — Dents du *Gyrodus umbilicus*, Agass., tome II, p. 201, de l'oolithe de Durheim (grand-duché de Bade). De grandeur naturelle.
Fig. 15. — Dents du *Periodus Konigii*, Agass., tome II, p. 204, de l'argile de Sheppy. De grandeur naturelle.
Fig. 16. — Dents du *Gyronchus oblongus*, Agass., tome II, p. 204 du calcaire de Stonesfield. De grandeur naturelle.
Fig. 17. — Trois dents de l'*Acrotemnus faba*, Agass., tome II, p. 204, de la craie de Kent. De grandeur naturelle.
Fig. 18. — Dent du *Sphærodus gigas*, Agass., tome II, p. 205, des terrains kimméridgiens. De grandeur naturelle.
Fig. 19. — Portion de mâchoire du même genre, figuré, mais non décrit par M. Gervais. De grandeur naturelle.
Fig. 20. — Dent du *Phacodus punctatus*, Dixon, tome II, p. 208, de la craie de Lewes. De grandeur naturelle.
Fig. 21. — *Platysomus* restauré, tome II, p. 208.
Fig. 22. — Dentition de la mâchoire supérieure du *Placodus Andryani*, Münster, tome II, p. 210, du terrain triasique. Un tiers de la grandeur naturelle.
Fig. 23. — Une des dents de la même espèce, de grandeur naturelle.

PLANCHE XXXVII.

POISSONS GANOIDES ET PLACOIDES. — DIPTÉRIENS, CÉPHALASPIDES ET CHIMÉRIDES.

Fig. 1. — Restauration du genre *Dipterus*, tome II, p. 192.
Fig. 2. — *Cephalaspis Lyelli*, Agass., tome II, p. 219, du vieux grès rouge du pays de Galles. Moitié de la grandeur naturelle.
Fig. 3. — Restauration du genre *Coccosteus*, Agass., tome II, p. 220.
Fig. 4. — Restauration du genre *Pterichthys*, Agass., tome II, p. 221 (face ventrale). — *i*, première paire de plaques du bouclier ventral; *e*, seconde paire; *f*, troisième paire; *h*, quatrième paire; *g*, pièce impaire, désignée par M. Agassiz sous le nom de plaque centrale.
Fig. 5. — Restauration du profil de la région thoracique du même genre. *a*, plaque dorsale antérieure; *b*, plaque dorsale postérieure; *c*, plaque latérale antérieure; *d*, plaque latérale postérieure; *i*, *e*, *f* et *h*, les quatre paires de plaques ventrales, comme dans la figure précédente.

Fig. 6. — *Pterichthys productus*, Agass., du vieux grès rouge d'Angleterre. Moitié de la grandeur naturelle.

Fig. 7. — Boucle de *Raie* vivante, prise comme type des téguments de la sous-classe des Placoïdes : *a*, vue en dessus, *b*, vue de profil.

Fig. 8. — Mâchoire d'une *Chimère* vivante, prise comme type de l'organisation de la famillle des Chimérides, tome II, p. 230.

Fig. 9. — La même bouche, vue de face et largement ouverte.

Fig. 10. — Maxillaire antérieur de l'*Ischyodon Egertoni*, Buckland, tome II, p. 231, du terrain kimméridgien de Shotover : *a*, vue en dehors ; *b*, vue en dedans.

Fig. 11. — Surface de trituration de la plaque principale de la mâchoire supérieure dans le même genre.

Fig. 12. — Appareil maxillaire du genre *Edaphodon*, Egerton, tome II, p. 232 (*E. gigas*). *a*, maxillaire supérieur principal ; *b*, maxillaire inférieur ; *c*, maxillaire supérieur antérieur, qui a été décrit comme type du genre *Passalodon*, Buckland.

Fig. 13. — Vertèbre appartenant au genre des *Lamna*, tome II, p. 249.

PLANCHE XXXVIII.

POISSONS PLACOIDES. — SQUALIDES ET CESTRACIONTES.

(Toutes les figures de cette planche ont été dessinées de grandeur naturelle).

Fig. 1. — Dent du *Carcharodon heterodon*, Agass., du terrain tertiaire de Normandie, tome II, p. 237.

Fig. 2. — Dent du *Carcharodon auriculatus*, Agass., du terrain miocène de Dax.

Fig. 3. — Dent du *Carcharodon sulcidens*, Agass., de Soissons.

Fig. 4. — Dent du *Galeocerdo latidens*, Agass., tome II, p. 241, du terrain tertiaire du bassin de Vienne.

Fig. 5. — Dent du *Galeocerdo aduncus*, Agass., du terrain tertiaire miocène.

Fig. 6. — Dent du *Corax falcatus*, Agass., tome II, p. 240, de la craie blanche.

Fig. 7. — Dent du *Corax Kaupii*, Agass., des mêmes gisements.

Fig. 8. — Dent de l'*Hemipristis serra*, Agass., tome II, p. 242, des terrains miocènes.

Fig. 9. — Dent de l'*Hemipristis paucidens*, Agass., de la mollasse du Wurtemberg.

Fig. 10. — Dents du *Notidanus primigenius*, Agass., tome II, p. 243, de la mollasse suisse.

Fig. 11. — Dent du *Sphyrna lata*, Agass., tome II, p. 244, de la mollasse.

Fig. 12. — Dent de la *Glyphis hastalis*, Agass., tome II, p. 236, de l'argile de Londres.

Fig. 13. — *a* et *b*. Dents de l'*Otodus appendiculatus*, Agass., tome II, p. 245, de la craie blanche.

Fig. 14. — Dent de l'*Oxyrhina xiphodon*, Agass., tome II, p. 247, des gypses de Paris.

Fig. 15. — Dent de la *Lamna elegans*, Agass., tome II, p. 249, des terrains tertiaires éocènes d'Angleterre.

Fig. 16 et 17. — Dents de l'*Odontaspis Hopei*, Agass., tome II, p. 251, de l'argile de Sheppy.

Fig. 18. — Dent du *Sphenodus longidens*, Agass., tome II, p. 252, des marnes oxfordiennes d'Allemagne.

Fig. 19. — Dent du *Scylliodus antiquus*, Agass., tome II, p. 254, de la craie d'Angleterre.

Fig. 20. — Portion de la peau de la même espèce.

Fig. 21. — Dent du *Strophodus tenuis*, Agass., tome II, p. 260, de l'oolithe de Stonesfield.

Fig. 22. — Dent de l'*Acrodus nobilis*, Agass., tome II, p. 261, du lias de Lyme-Regis.

Fig. 23. — Dent de l'*Acrodus minimus*, Agass., des terrains triasiques supérieurs d'Angleterre.

Fig. 24. — Dent de l'*Orodus cinctus*, Agass., tome II, p. 263, des terrains carbonifères des environs de Bristol.

Fig. 25. — Dent du *Ctenoptychius apicalis*, Agass., tome II, p. 264, des schistes houillers de Stafford.

Fig. 26. — Dent du *Ptychodus latissimus*, Agass., tome II, p. 264, de la craie blanche.

Fig. 27. — Dent du *Ptychodus mamillaris*, Agass., du même gisement.

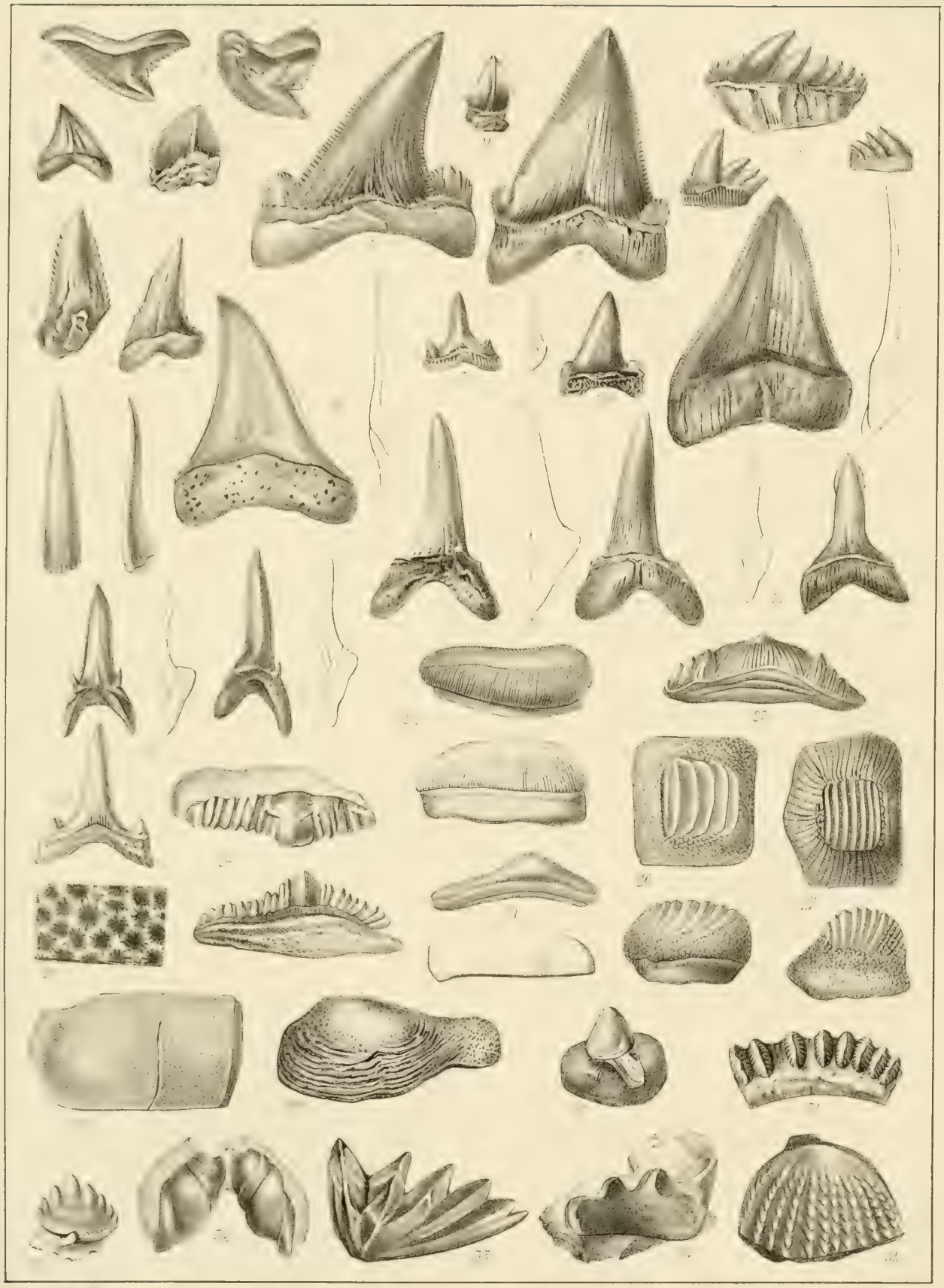

Squalides et Cestraciontes.

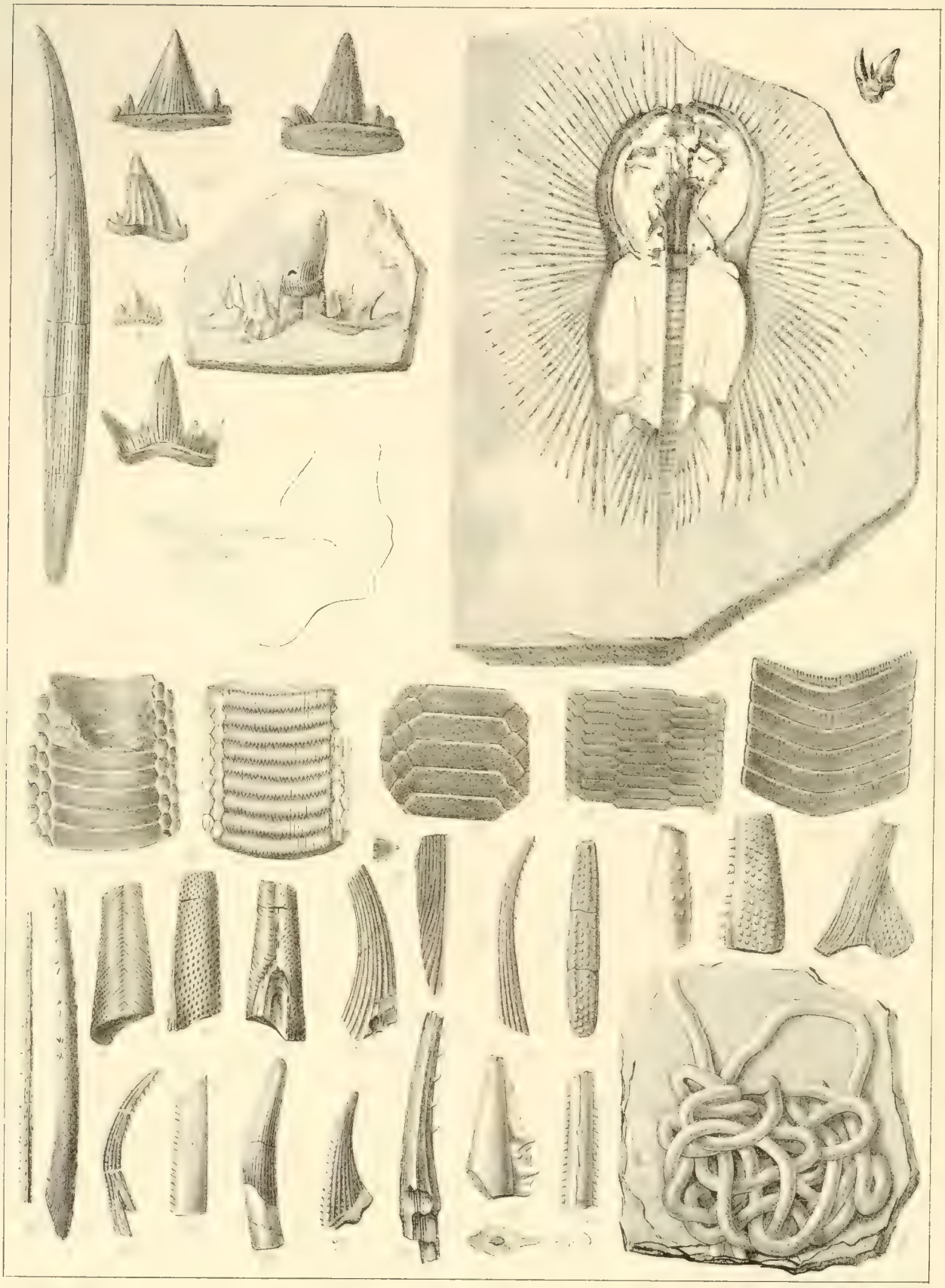

1 50 Hybodontes Rajidiens et Ichthyodorulites. 51 Cololithe.

Fig. 28. — Dent du *Psammodus porosus*, Agass., tome II, p. 266, du calcaire carbonifère de Bristol.
Fig. 29. — Dent du *Chomatodus cinctus*, Agass., tome II, p. 266, du même gisement.
Fig. 30. — Dent de l'*Helodus simplex*, Agass., tome II, p. 266, des schistes houillers d'Angleterre.
Fig. 31. — Dent du *Campodus Agassizianus*, de Koninck, tome II, p. 267, des terrains houillers de Belgique.
Fig. 32. — Dent du *Cochliodus contortus*, Agass., tome II, p. 267, des calcaires carbonifères d'Angleterre et d'Irlande.
Fig. 33. — Dent du *Ceratodus serratus*, Agass., tome II, p. 267, du grès supérieur d'Argovie.
Fig. 34. — Dent du *Ceratodus altus*, Agass., du terrain triasique supérieur d'Angleterre.
Fig. 35. — Dent du *Ctenodus cristatus*, Agass., tome II, p. 269, des terrains houillers d'Angleterre.

PLANCHE XXXIX.

POISSONS PLACOIDES. — HYBODONTES, RAJIDIENS ET ICHTHYODORULITES.

Fig. 1-2. — Dents de l'*Hybodus apicalis*, Agass., tome II, p. 255, grossies; du terrain triasique de Hildesheim.
Fig. 3. — Dent de l'*Hybodus minor*, Agass., grossie; du lias de Lyme-Regis.
Fig. 4. — Dent de l'*Hybodus polyprion*, Agass., de l'oolithe de Stonesfield. De grandeur naturelle.
Fig. 5. — Epine dorsale de l'*Hybodus subcarinatus*, Agass., du terrain wealdien de la forêt de Tilgate. De grandeur naturelle.
Fig. 6. — Dent du *Cladodus Milleri*, Agass., tome II, p. 258, du terrain carbonifère de Bristol. De grandeur naturelle.
Fig. 7. — Dent du *Cladodus mirabilis*, Agass., du calcaire carbonifère d'Armagh.
Fig. 8. — Dent du *Diplodus gibbosus* Agass., tome II, p. 259, de la houille de Carluke.
Fig. 9. — Squelette complet de *Cyclobatis olygodactylus*, Egerton, tome II, p. 278, des terrains crétacés du mont Liban. De grandeur naturelle.
Fig. 10. — Profil de la tête d'une *Myliobate* vivante, tome II, p. 279, pour montrer la disposition des plaques dentaires.
Fig. 11. — Plaque dentaire du *Myliobates toliapicus*, Agass., tome II, p. 280, de l'argile de Londres. *a*, vue par sa surface triturante; *b*. vue par la racine. Moitié de la grandeur naturelle.
Fig. 12. — Plaque dentaire du *Myliobates suturalis*, Agass., des terrains tertiaires des environs de Maëstricht. De grandeur naturelle.
Fig. 13. — Plaque dentaire de l'*Ætobatis irregularis*, Agass., tome II, p. 281, de l'argile de Londres. Moitié de la grandeur naturelle.
Fig. 14. — Restauration d'une plaque dentaire du genre *Zygobates*, Agass., tome II, p. 282.
Fig. 15. — Ichthyodorulite du *Gyracanthus tuberculatus*, Agass., tome II, p. 284, du terrain carbonifère d'Angleterre. *a*, vue par sa face antérieure; *b*, vue de profil; *c*, vue par la face postérieure. Environ un tiers de la grandeur naturelle.
Fig. 16. — Ichthyodorulite de l'*Onchus sulcatus*, Agass., tome II, p. 283, du calcaire carbonifère de Bristol.
Fig. 17. — Ichthyodorulite de l'*Onchus heterogyrus*, Agass., du terrain dévonien des environs de Saint-Pétersbourg. De grandeur naturelle.
Fig. 18. — Ichthyodorulite de l'*Haplacanthus marginalis*, Agass., tome II, p. 286, du même gisement. De grandeur naturelle.
Fig. 19. — Ichthyodorulite du *Narcodes pustulifer*, Agass., tome II, p. 286, du même gisement. De grandeur naturelle.
Fig. 20. — Ichthyodorulite du *Byssacanthus crenulatus*, Agass., tome II, p. 287, du même gisement. De grandeur naturelle.
Fig. 21. — Ichthyodorulite du *Cosmacanthus Malcolmsomii*, Agass., tome II, p. 287, du terrain dévonien des environs d'Elgin. De grandeur naturelle.

Fig. 22. — Ichthyodorulite de l'*Homacanthus arcuatus*, Agass., tome II, p. 288, du terrain dévonien des environs de Saint-Pétersbourg. De grandeur naturelle.

Fig. 23. — Ichthyodorulite de l'*Asteracanthus ornatissimus*, Agass., tome II, p. 288, du terrain kimméridgien. Environ moitié de la grandeur naturelle.

Fig. 24. — Ichthyodorulite du *Pristacanthus securis*, Agass., tome II, p. 289, de la grande oolithe. Moitié de la grandeur naturelle.

Fig. 25. — Ichthyodorulite du *Myriacanthus paradoxus*, tome II, p. 289, du lias de Lyme-Regis. Réduit à peu près au tiers de sa grandeur naturelle. *a*, face postérieure ; *b*, face latérale.

Fig. 26. — Ichthyodorulite du *Ptychacanthus dubius*, Agass., tome II, p. 291, du vieux grès rouge d'Obergavenny. De grandeur naturelle.

Fig. 27. — Ichthyodorulite du *Climatius reticulatus*, Agass., tome II, p. 293, du vieux grès rouge d'Angleterre. De grandeur naturelle.

Fig. 28. — Ichthyodorulite du *Parexus recurvus*, Agass., tome II, p. 293, des mêmes gisements. De grandeur naturelle.

Fig. 29. — Ichthyodorulite de l'*Odontacanthus heterodon*, Agass., tome II, p. 293, du vieux grès rouge de Riga. De grandeur naturelle.

Fig. 30. — Ichthyodorulite du *Pleuracanthus lævissimus*, Agass., tome II, p. 294, des terrains carbonifères de Dudley. Moitié de la grandeur naturelle.

Fig. 31. — Cololite ou intestin de poisson pétrifié. Cette espèce est celle qui a été désignée par le comte de Münster sous le nom de *Lumbricaria intestinum*, tome II, p. 295.

PLANCHE XL.

ARTICULÉS. — INSECTES.

Toutes les figures de cette planche sont de grandeur naturelle, à l'exception de quelques-uns des insectes de l'ambre, figures 23 à 28).

Fig. 1. — Aile trouvée dans le terrain carbonifère de Coalbrook-Dale et rapportée par M. Audouin à une *Corydale*, tome II, p. 377.

Fig. 2. — Aile de la *Blattina didyma*, Germar, tome II, p. 362, des terrains carbonifères de Wettin.

Fig 3-6. — Insectes du lias d'Argovie décrits par M. Heer. — Fig. 3, *Euchroma liasina*, Heer, tome II, p. 331. — Fig. 4, *Hydrophilus Acherontis*, Heer, tome II, p. 341. — Fig. 5, *Gomphocerites Bucklandi*, Heer, tome II, p. 365. — Fig. 6, *Blattina formosa*, Heer, tome II, p. 362.

Fig. 7. — Libelluline du lias de Cheltenham, décrite par M. Brodie sous le nom de *Heterophlebia dislocata*, Brodie, tome II, p. 374.

Fig. 8-10. — Insectes des schistes lithographiques de Bavière (terrain corallien). — Fig. 8, *Cerambycinus dubius*, Münster, tome II, p. 355. — Fig. 9, *Asilicus lithophilus*, Germar, tome II, p. 400. — Fig. 10, *Phaneroptera Germari*, Münster, tome II, p. 366.

Fig. 11. — Lépidoptère fossile trouvé dans les marnes insectifères d'Aix en Provence et décrit par M. Boisduval, sous le nom de *Cyllo sepulta*, tome II, p. 393.

Fig. 12-20. — Insectes d'OEningen décrits par M. Heer. — Fig. 12, *Hydrophilus spectabilis*, Heer, tome II, p. 341. — Fig. 13, *Protactus Erichsoni*, Heer, tome II, p. 327. — Fig. 14, *Capnodis antiqua*, Heer, tome II, p. 331. — Fig. 15, *Clerus Adonis*, tome II, p. 335. — Fig. 16, *Gomphocerus femoralis*, Heer, tome II, p. 364. — Fig. 17, *Imhoffia nigra*, Heer, tome II, p, 383. — Fig. 18, *Formica primordialis*, Heer, tome II, p. 383. — Fig. 19, larve de *Libellula Calypso*, Heer, tome II, p. 374. — Fig. 20, *Cephites fragilis*, Heer, tome II, p. 381.

Fig. 21 et 22. — Insectes de Radoboj en Croatie, décrits par M. Heer. — Fig. 21, *Vanessa Pluto*, Heer, tome II, p. 393. — Fig. 22, *Attopsis longipennis*, Heer, tome II, p. 383.

Fig. 23-28. — Insectes névroptères de l'ambre décrits par MM. Pictet et Berendt. — Fig. 23, *Termes Picteti*, Berendt, de grandeur naturelle avec son aile grossie, tome II, p. 369. — Fig. 24, *Chauliodes prisca*, P. et B., de grandeur naturelle avec son antenne grossie, tome II,

Imp. Lemercier Paris

Insectes de divers gisements.

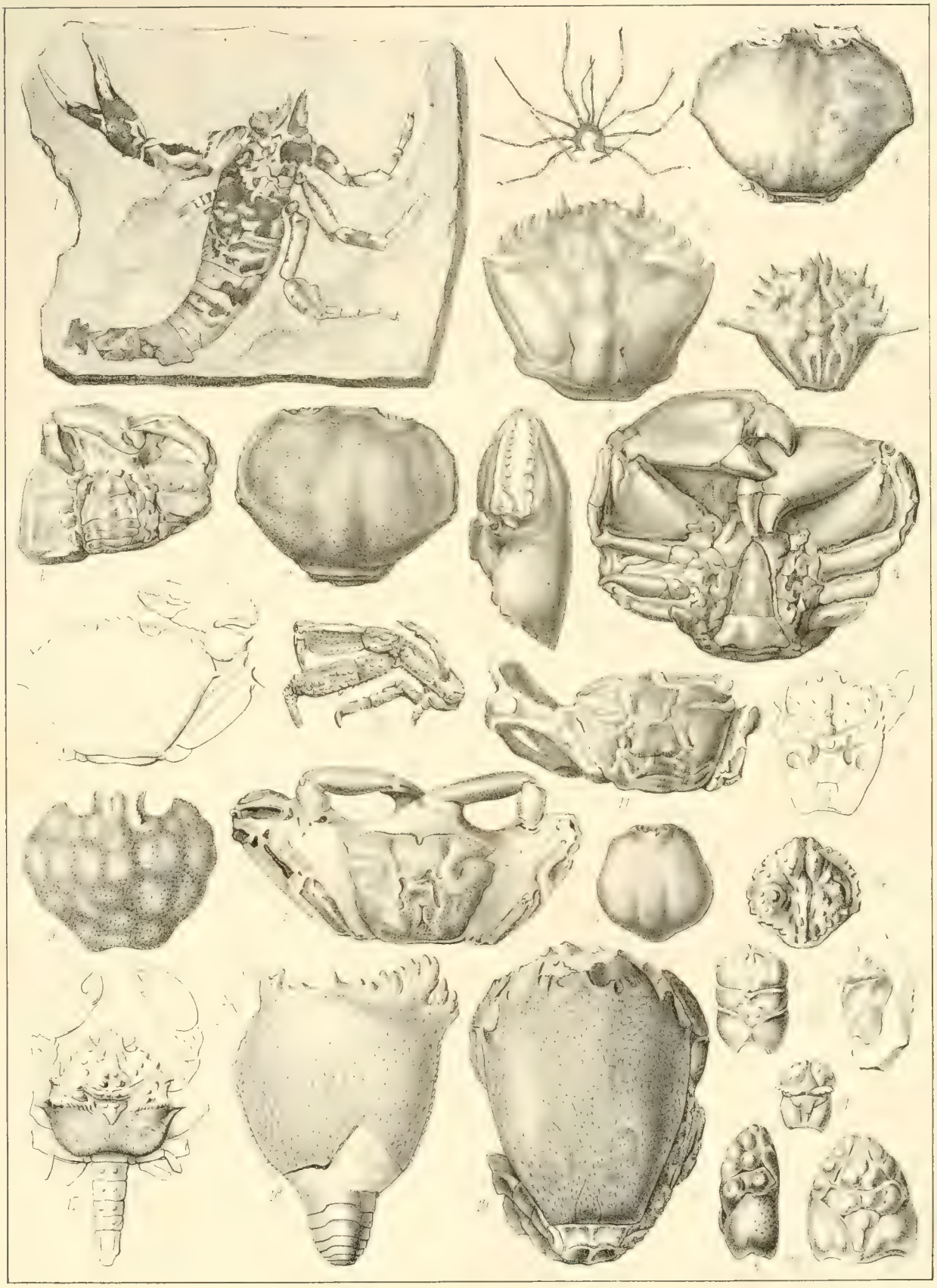

Lackerbauer lith. Imp. Lemercier, Paris.

Décapodes brachyures et anomoures.

Publié par J. B. Baillière, Libraire à Paris.

p. 377. — Fig. 25, *Pseudoperla gracilipes*, P. et B., tome II, p. 264, de grandeur double. —Fig. 26, *Bittacus antiquus*, P. et B., tome II, p. 379, une fois et demie de la grandeur naturelle.—Fig. 27, *Amphientomum paradoxum*, B. et P., tome II, p. 376, grossi quatre fois avec sa patte postérieure et son aile inférieure sous un grossissement plus fort.—Fig. 28, *Embia antiqua*, P. et B., tome II, p. 370, trois fois et demie de la grandeur naturelle.

PLANCHE XLI.

ARACHNIDES. — CRUSTACÉS DÉCAPODES. — BRACHYURES ET ANOMOURES.

Fig. 1. — Scorpion du terrain houiller de Bohême (*Cyclophthalmus Sternbergi*), tome II, p. 407.

Fig. 2. — *Palpipes priscus*, Roth, de Solenhofen, tome II, p. 407.

Fig. 3. — Carapace du *Cancer mœnas*, Linné, vivant, pour montrer la disposition des régions, tome II, p. 419. — *s*, région stomacale ; *g*, région génitale ; *c*, région cordiale ; *b*, régions branchiales ; *h*, régions hépatiques antérieures ; *h*, région hépatique postérieure.

Fig. 4. — Carapace du *Cancer quadrilobatus*, Desmarest, tome II, p. 423, des faluns de Dax. Moitié de la grandeur naturelle.

Fig. 5. — Carapace du *Cancer punctulatus*, Desmarest, tome II, p. 422, des environs de Vicence. Moitié de la grandeur naturelle.

Fig. 6. — Carapace du crabe à grosses pinces de Desmarest (*Carpilius macrocheilus*, Milne Edwards), tome II, p. 423. Moitié de la grandeur naturelle.

Fig. 7. — Carapace et patte antérieure du *Podopilumnus Fittoni*, M' Coy, tome II, p. 424.

Fig. 8. — Carapace du *Portunus Hericarti*, Desmarest, tome II, p. 426. Grossi d'un quart.

Fig. 9. — Pince attribuée par M. Milne Edwards au genre *Lupée*, tome II, p. 426, et décrite par Desmarest sous le nom de *Portunus leucodon*.

Fig. 10. — *Macrophthalmus Desmarestii*, Lucas, tome II, p. 429, trouvé au détroit de Malaca. Un peu grossi.

Fig. 11. — Crustacé du même genre, suivant M. Milne Edwards, décrit par Desmarest sous le nom de *Gonoplax emarginata*, tome II, p. 429.

Fig. 12. — Pattes d'un crustacé voisin des *Grapses*, trouvées dans la craie blanche du comté de Sussex, tome II, p. 429. Moitié de la grandeur naturelle.

Fig. 13. — Carapace appartenant au genre *Philyra*, Leach, tome II, p. 431, et décrite par Desmarest sous le nom de *Leucosia cranium*.

Fig. 14. — Carapace appartenant au genre *Atelecyclus*, Leach, tome II, p. 432 (*A. rugosus*, Desmarest).

Fig. 15. — Carapace et patte antérieure du *Notopocoristes Mantelli*, M' Coy, tome II, p. 433.

Fig. 16. — Carapace du crustacé décrit par Reuss sous le nom de *Dromilites pustulosus*, tome II, p. 435, des terrains crétacés supérieurs de Bohême.

Fig. 17. — Figure au trait, d'après M' Coy, du *Basinotopus Lamarckii*, M' Coy, tome II, p. 435, de l'argile de Sheppy.

Fig. 18. — Carapace et abdomen de la *Ranina palmea*, Eugène Sismonda, tome II, p. 436, des terrains miocènes de la montagne de Turin. Moitié de la grandeur naturelle.

Fig. 19. — Carapace appartenant probablement au même genre et décrite par le comte de Münster sous le nom de *Hella speciosa*, tome II, p. 436, des terrains tertiaires des environs de Cassel.

Fig. 20. — Carapace appartenant au genre *Prosopon*, Hermann de Meyer, sous-genre *Pithonoton* (*P. rostratum*), tome II, p. 438. De grandeur naturelle. — *a*, vue en dessus; *b*, vue de profil.

Fig. 21. — Carapace du *Prosopon spinosum*, Hermann de Meyer, tome II, p. 438. De grandeur naturelle.

Fig. 22. — Carapace du *Prosopon tuberosum*, Hermann de Meyer, tome II, p. 438, du terrain néocomien du département du Jura. De grandeur double. — *a*, vue en dessus; *b*, vue de profil.

PLANCHE XLII.

CRUSTACÉS DÉCAPODES MACROURES. — CUIRASSÉS ET ASTACIENS.

Fig. 1. — Carapace de l'écrevisse commune (*Astacus fluviatilis*, Gessner), vivante, pour montrer la disposition des régions, tome II, p. 439. — *s*, région stomacale; *g*, région génitale; *c*, région cordiale; *b*, région branchiale; *h'*, région hépatique postérieure. Ces lettres sont les mêmes que celles qui ont été employées dans la figure 3 de la planche XLI.

Fig. 2. — *Eryon arctiformis*, Bronn (*E. Cuvieri*, Desm.), tome II, p. 441, des schistes lithographiques de Solenhofen. De grandeur naturelle.

Fig. 3. — *Archæocarabus Bowerbankii*, M' Coy, tome II, p. 443, de l'argile de Londres. Un peu réduit.

Fig. 4. — *Palinurina longipes*, Münster, tome II, p. 443, des schistes lithographiques, vue en dessous. Moitié de la grandeur naturelle.

Fig. 5. — *Pemphix Sueurii*, H. de Meyer, tome II, p. 444, du terrain triasique. Moitié de la grandeur naturelle.

Fig. 6, *a*. — Carapace du *Litogaster obtusa*, H. de Meyer, tome II, p. 444, du terrain triasique. De grandeur naturelle.

Fig. 6, *b*. — Carapace du *Litogaster venusta*, id., du même terrain. De grandeur naturelle.

Fig. 7. — *Cancrinos claviger*, Münster, tome II, p. 445, des schistes lithographiques de Solenhofen, vu en dessous. Moitié de la grandeur naturelle.

Fig. 8. — Pattes attribuées par Desmarest au *Pagurus Faujasii*, et par M. Milne Edwards au genre *Callianassa*, tome II, p. 446, du terrain crétacé supérieur de Saint-Pierre de Maëstricht.

Fig. 9. — *Orphnea squamosa*, Münster, tome II, p. 447, des schistes lithographiques de Solenhofen. De grandeur naturelle.

Fig. 10. — Carapace de l'*Hoploparia prismatica*, M' Coy, tome II, p. 449, de l'argile de Speeton. De grandeur naturelle.

Fig. 11. — *Palæastacus Dixoni*, Bell, tome II, p. 450, de la craie blanche du Sussex. Moitié de la grandeur naturelle.

Fig. 12. — Patte de la même espèce, même réduction.

Fig. 13. — Carapace de la *Glyphæa liasina*, H. de Meyer, tome II, p. 450, du lias. De grandeur naturelle.

Fig. 14. — Carapace de la *Glyphæa Regleyana*, H. de Meyer, du terrain à chailles de la Haute-Saône. De grandeur naturelle.

Fig. 15. — *Eryma elongata*, Münster, tome II, p. 451, des schistes lithographiques de Solenhofen. Un peu réduite.

Fig. 16. — Carapace de la *Clytia ventrosa*, H. de Meyer, tome II, p. 452. Moitié de la grandeur naturelle.

Fig. 17. — Portion antérieure de la carapace de l'*Enoploclytia brevimana*, M' Coy, tome II, p. 452, de la craie inférieure d'Angleterre. De grandeur naturelle.

Fig. 18. — *Meyeria magna*, M' Coy, tome II, p. 447, du lower green sand d'Angleterre. De grandeur naturelle. — *a*, la carapace vue en dessus.

Fig. 19. — *Bolina pustulosa*, Münster, tome II, p. 452, des schistes lithographiques de Solenhofen. De grandeur naturelle.

Fig. 20. — Patte de l'*Undina Posidoniæ*, Quenstedt, tome II, p. 453, du lias. Un tiers de la grandeur naturelle.

Fig. 21. — *Aura Desmarestii*, Münster, tome II, p 454, des schistes lithographiques de Solenhofen. De grandeur naturelle.

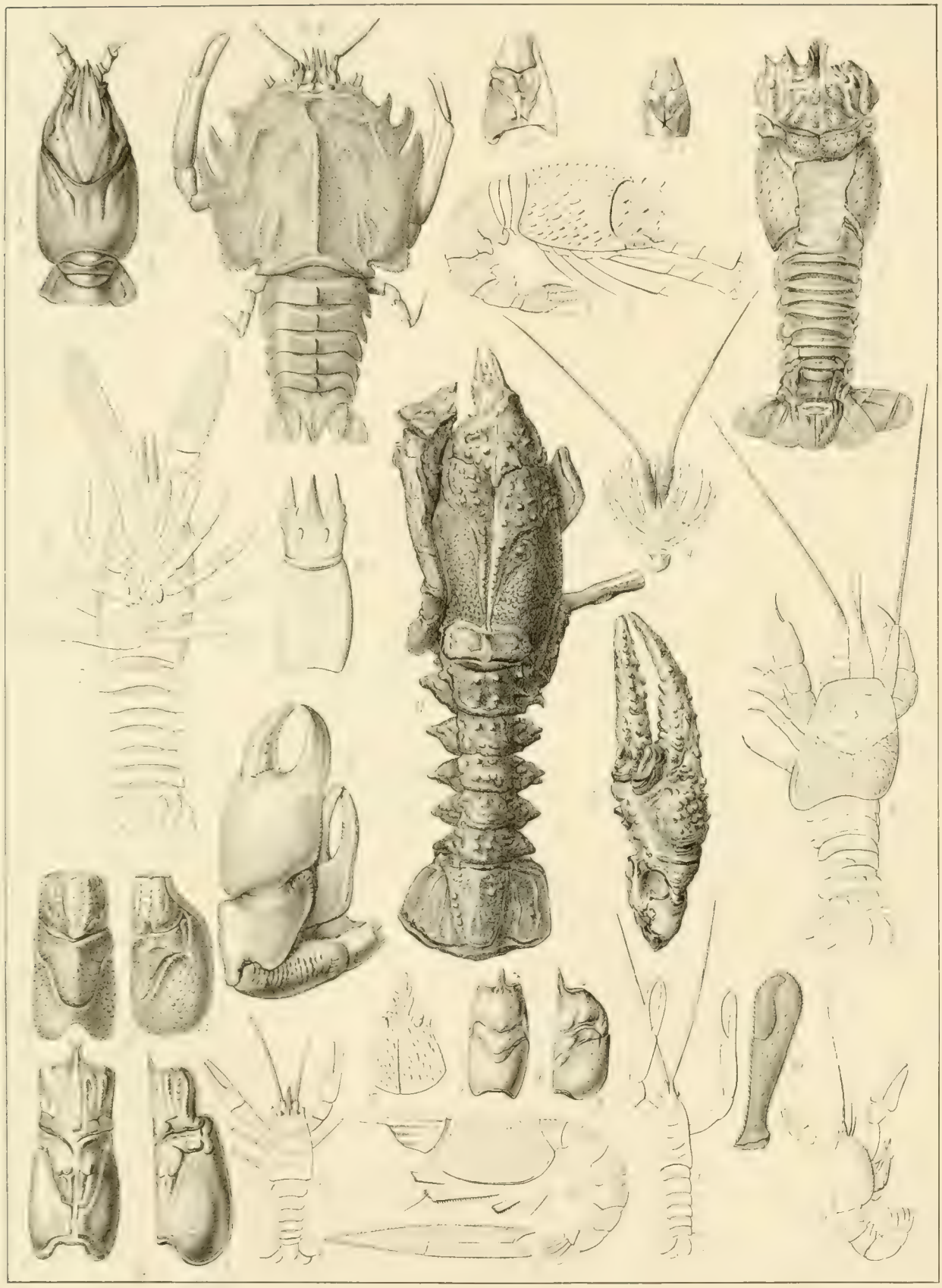

Décapodes macroures. (Cuirassés & Astaciens).

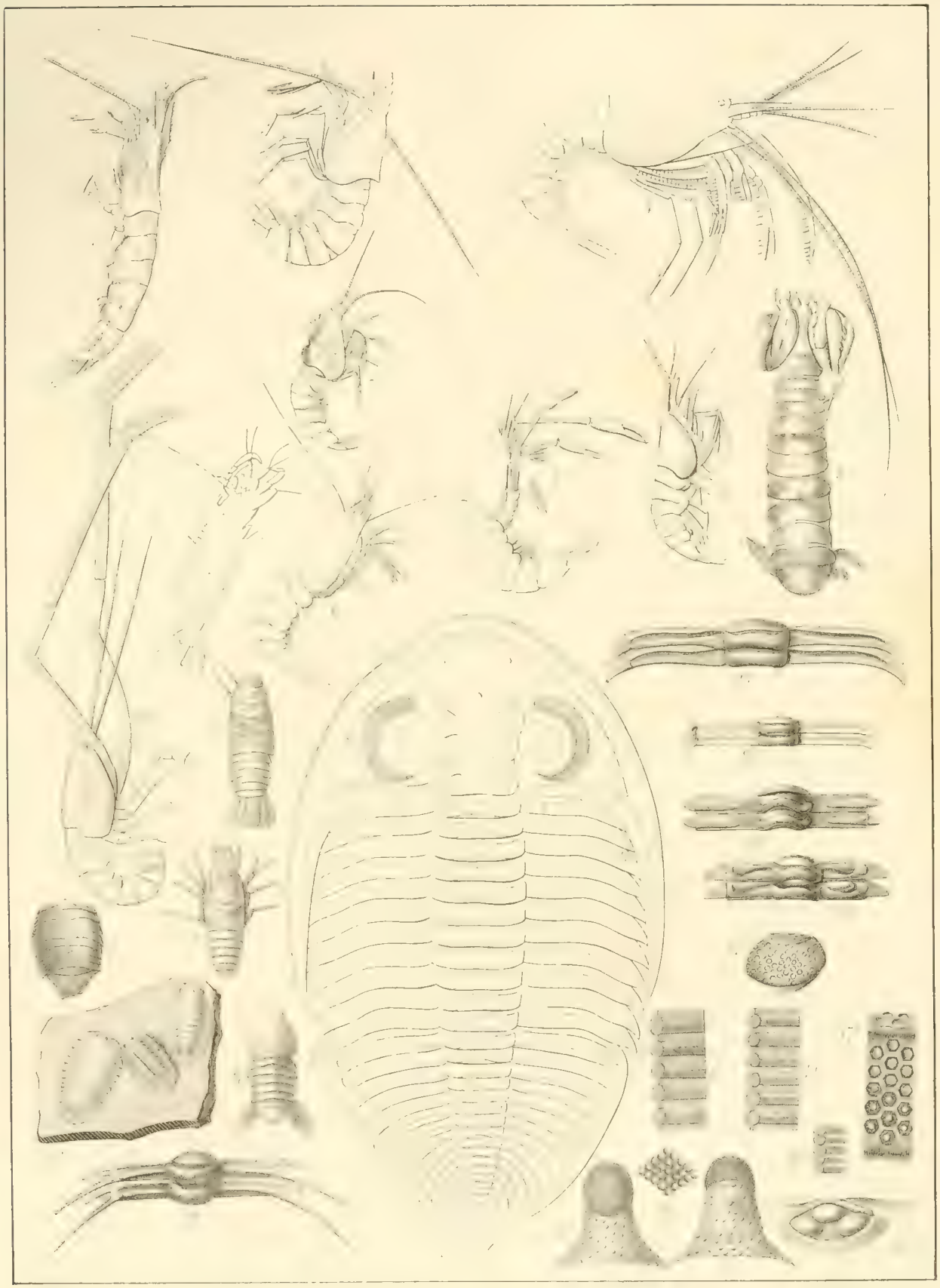

Lackerbauer lith. Imp. Lemercier, Paris

Salicoques, Isopodes et Trilobites.

Publié par J.B. Baillière Libraire

PLANCHE XLIII.

CRUSTACÉS. — SALICOQUES, ISOPODES ET TRILOBITES.

Fig. 1. — *Antrimpos trifidus*, Münster, des schistes lithographiques d'Eichstaedt, tome II, p. 456. Deux cinquièmes de la grandeur naturelle.

Fig. 2. — *Bylgia hexadon*, Münster, de Solenhofen, tome II, p. 456. Moitié de la grandeur naturelle.

Fig. 3. — *Drobna deformis*, Münster, de Solenhofen, tome II, p. 456. Deux cinquièmes de la grandeur naturelle.

Fig. 4. — *Æger spinipes*, Münster, de Solenhofen, tome II, p. 457. Moitié de la grandeur naturelle.

Fig. 5 — *Dusa monocera*, Münster, de Solenhofen, tome II, p. 458. Moitié de la grandeur naturelle

Fig. 6. — *Hefriga serrata*, Münster, de Solenhofen, tome II, p. 458. De grandeur naturelle.

Fig. 7. — *Rauna multipes*, Münster, de Solenhofen, tome II, p. 459. Un peu plus petite que nature.

Fig. 8. — *Mecochirus locusta*, Germar, de Solenhofen, tome II, p. 460. Moitié de la grandeur naturelle.

Fig. 9. — *Squilla antiqua*, Münster, du Monte Bolca, tome II, p. 462. Moitié de la grandeur naturelle.

Fig. 10. — *Gampsonyx fimbriatus*, Jordan, des terrains carbonifères des environs de Saarbruck, tome II, p. 464. De grandeur naturelle.

Fig. 11. — *Sphæroma Gastaldi*, Eug. Sismonda, du terrain miocène de la colline de Turin, tome II, p. 466. Moitié de la grandeur naturelle.

Fig. 12. — *Archæoniscus Brodiei*, Milne Edwards, du terrain wealdien d'Angleterre, tome II, p. 467. De grandeur naturelle.

Fig. 13. — *Urda decorata*, Münster, de Solenhofen, tome II, p. 467. Un peu plus petit que nature.

Fig. 14. — *Sculda pennata*, Münster, de Solenhofen, tome II, p. 468. Un peu plus petit que nature.

Fig. 15. — *Alvis octopus*, Münster, de Eichstaedt, tome II, p. 468. Un peu plus petit que nature.

Fig. 16. — Figure au trait du *Dalmanites Hausmanii*, Brongniart, comme type de l'ordre des *Trilobites*, tome II, p. 474. — *A. Tête.* 1, bord extérieur du limbe ou filet marginal; 2, sillon ou rainure du bord; 3, anneau occipital; 4, glabelle; 5, grande suture passant en avant de la glabelle et en dedans des yeux; 6, yeux et suture suboculaire. — *a*, joue fixe, formant du côté de l'œil, en *a* 5, le lobe palpébral; *b*, joue mobile; *g*, pointe génale. — *B. Thorax.* 7, anneau de l'axe de chaque segment du thorax; 8, plèvres de l'axe de chaque segment du thorax. — *C. Pygidium.* 9, continuation de l'axe; 10, continuation des plèvres.

Fig. 17. — OEil du *Phacops latifrons* grossi. — *a*, l'œil entier; *b*, une partie des lentilles plus grossies.

Fig. 18. — Section verticale théorique d'un œil du même genre.

Fig. 19. — Section verticale théorique d'un œil du second type (genre *Asaphus*).

Fig. 20. — OEil de l'*Acidaspis Verneuilli*, grossi, vu du côté externe, pour représenter les yeux du second type de la forme panoramique.

Fig. 21. — Le même, vu du côté interne.

Fig. 22. — Quelques lentilles du même œil.

Fig. 23. — Coupe verticale des mêmes.

Fig. 24. — OEil de l'*Harpes ungula*, représentant le 3e type.

Fig. 25. — Deux anneaux du thorax pris dans le type de la plèvre à sillon, chez le *Paradoxides spinosus*.

Fig. 26. — Le même type de plèvre chez le *Harpes ungula*.

Fig. 27. — Type de la plèvre à bourrelet chez le *Placoparia Zipei*.

Fig. 28. — Type de la plèvre à bourrelet chez le *Cheirurus Hanlei*.

Fig. 29. — Type de la plèvre à bourrelet chez l'*Acidaspis mira*.

PLANCHE XLIV.

CRUSTACÉS. — TRILOBITES.

Fig. 1. — *Harpes ungula*, Sternberg, tome II, p. 487, du terrain silurien supérieur.
Fig. 2. — *Remopleurides radians*, Barrande, tome II, p. 488, du terrain silurien inférieur de Bohême.
Fig. 3. — *Paradoxides Bohemicus*, Boeck, tome II, p. 488, du terrain silurien inférieur.
Fig. 4. — *Hydrocephalus saturnoides*, Barrande, tome II, p. 489, du terrain silurien inférieur de Bohême. — *a*, forme du jeune âge; *b*, forme de l'adulte.
Fig. 5. — *Sao hirsuta*, Barrande, tome II, p. 490, du terrain silurien inférieur de Bohême. — *a*, forme du jeune âge; *b*, *c*, *d*, formes des états de croissance successifs; *e* et *f*, formes de l'adulte. La grandeur naturelle est indiquée par des traits à côté des figures *a* à *d*.
Fig. 6. — *Olenus gibbosus*, Dalman, t. II, p. 491, du terrain silurien inférieur de Suède.
Fig. 7. — *Peltura scarabæoides* (*Olenus scarabæoides*, Dalman), tome II, p. 492, du même gisement.
Fig. 8. — *Conocephalites Sulzeri*, Schlot., tome II, p. 493, du terrain silurien inférieur.
Fig. 9. — *Proetus Ryckolti*, Barr., tome II, p. 494, du terrain silurien supérieur.
Fig. 10. — *Proetus myops*, Barrande, du même gisement.
Fig. 11. — *Proetus striatus*, Barrande, tome II, p. 495, comme type du sous-genre des *Phaeton*, du terrain silurien supérieur.
Fig. 12. — *Phillipsia Derbyensis*, Martin, tome II, p. 496, des terrains carbonifères. Ce genre est le seul qui, en Europe, ait vécu jusqu'à cette époque.
Fig. 13. — *Cyphaspis Burmeisteri*, Barrande, tome II, p. 497, du terrain silurien de Bohême.
Fig. 14. — Tête du *Cyphaspis Barrandei*, Corda, du terrain silurien supérieur.
Fig. 15. — Tête de l'*Arethusina Koninckii*, Barr., tome II, p. 498 du terrain silurien supérieur.
Fig. 16. — *Phacops latifrons*, Bronn (*Calymene macrophthalma*, Brong.), tome II, p. 499, des terrains dévoniens. — *a*, l'animal étendu; *b*, enroulé et vu de côté; *c*, enroulé et vu de face.

PLANCHE XLV.

CRUSTACÉS. — TRILOBITES.

Fig. 1. — *Dalmania caudata*, Brun., du terrain silurien supérieur, tome II, p. 501 (comme type des espèces à pygidium simple).
Fig. 2. — *Dalmania punctata*, Barr. (*Phacops arachnoides*, Burm.), du terrain dévonien, tome II, p. 502 (comme type des espèces à pygidium denté).
Fig. 3. — *Calymene Blumenbachii*, Brongniart, du terrain silurien supérieur. — *a*, l'animal étendu; *b*, l'animal enroulé. — Tome II, p. 503.
Fig. 4. — *Homalonotus armatus*, Burmeister, du terrain dévonien, tome II, p. 504.
Fig. 5. — *Lichas palmata*, Barrande, du terrain silurien supérieur, tome II, p. 506.
Fig. 6. — *Trinucleus ornatus*, Sternberg, du terrain silurien inférieur de Bohême, tome II, p. 508.
Fig. 7. — *Trinucleus Pongerardi*, Rouault, du terrain silurien inférieur de Bretagne, espèce remarquable par la bifurcation de ses épines génales, tome II, p. 509.
Fig. 8. — *Ampyx Rouaulti*, Barrande, du terrain silurien supérieur de Bohême, tome II, p. 509.
Fig. 9. — *Dionide formosa*, Barrande, du terrain silurien inférieur de Bohême, tome II, p. 510.
Fig. 10. — *Asaphus tyrannus*, Murchison (sous-genre des *Basilicus*), du terrain silurien inférieur d'Angleterre, tome II, p. 511, moitié de la grandeur naturelle. — 10, *a*, l'hypostome du même individu, même réduction.
Fig. 11. — *Ogygia Buchii*, Brongn., du terrain silurien inférieur d'Angleterre, tome II, p. 513. — 10, *a*, l'hypostome.

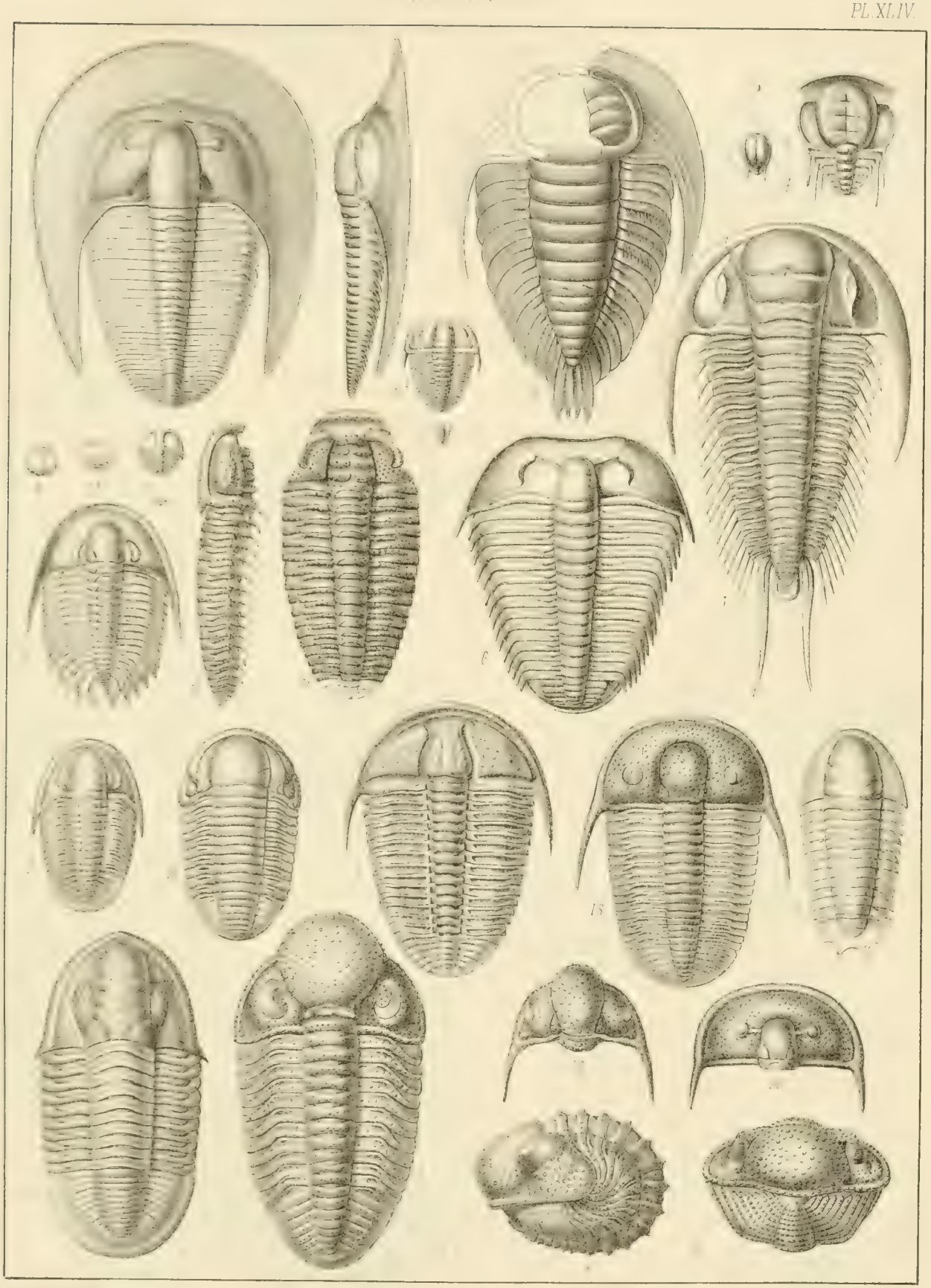

Imp Lemercier a Paris

Trilobites.

Publié par J B Baillière, Libraire à Paris

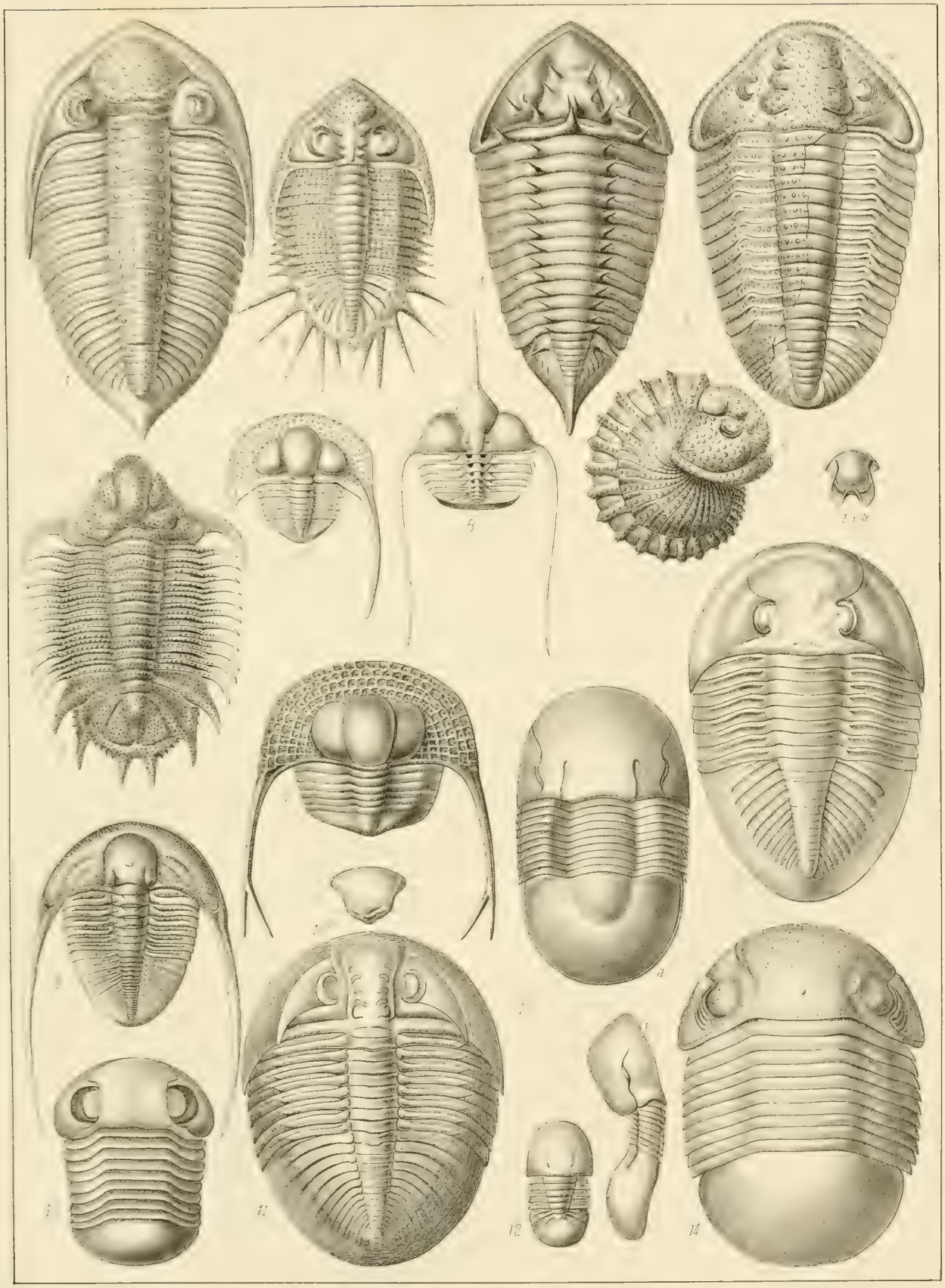

Lackerbauer lit.

Imp. Lemercier, Paris

Trilobites.

Publié par J. B Baillière Libraire à Paris

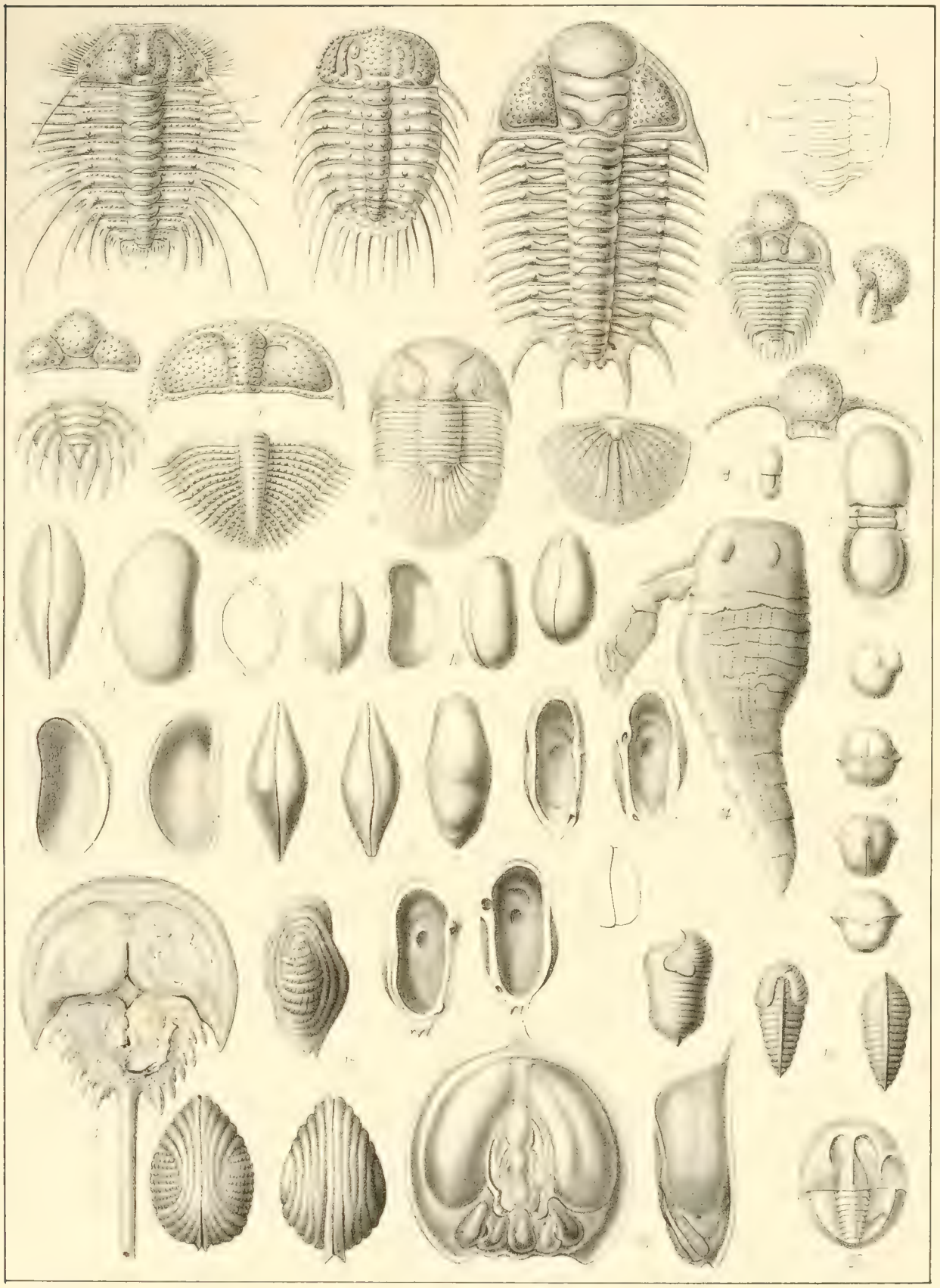

Lackerbauer lith. Imp. Lemercier Paris

Trilobites, Cyproïdes et Xiphosures

Publié par J. B. Baillière Libraire à Paris

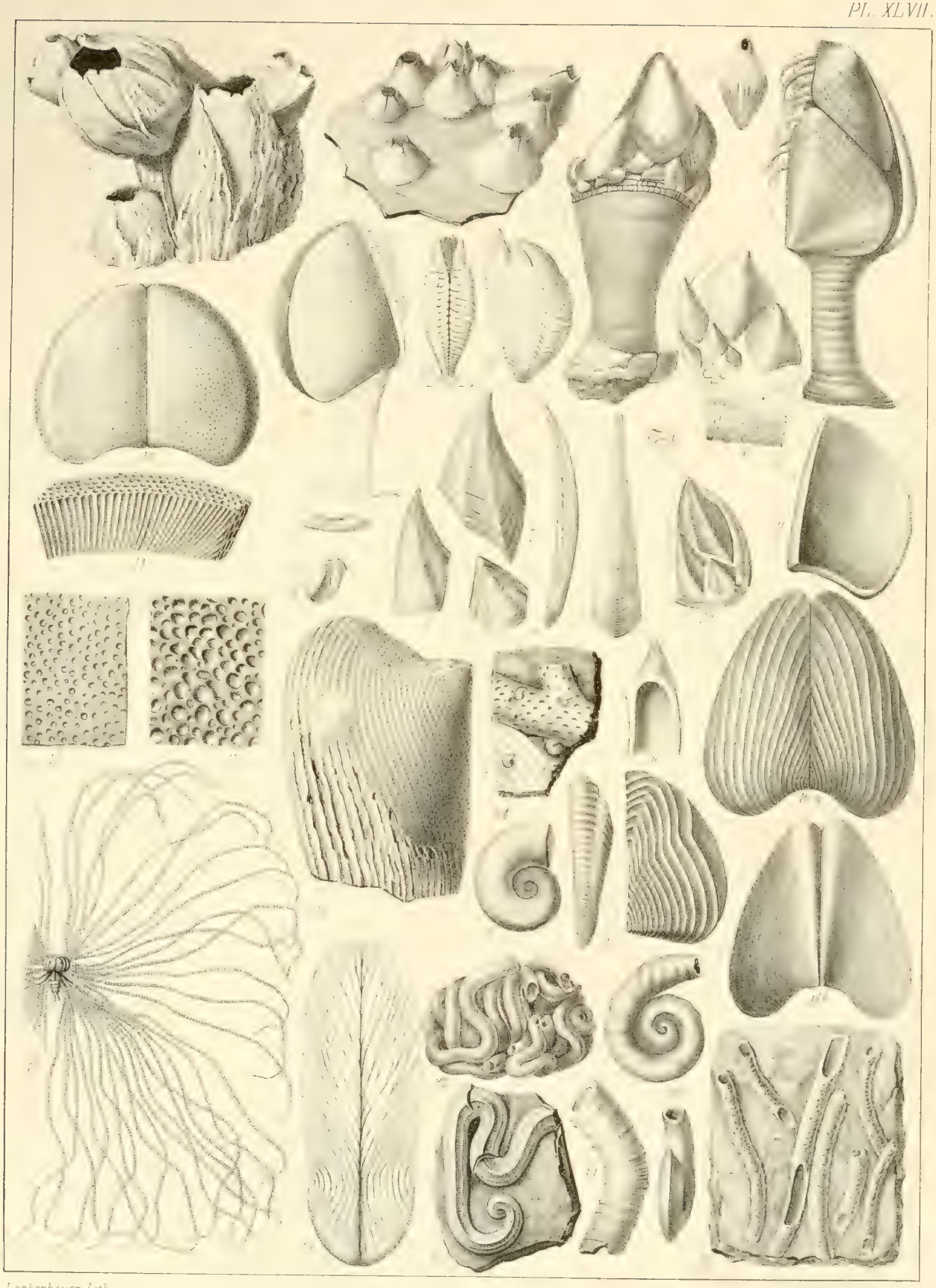

Lackerbauer Lith.

Imp. [illegible] Paris

Cirrhipèdes, Annélides, &c.

Publié par J. B. Baillière Libraire à Paris

Fig. 12. — *Æglina rediviva*, Barrande, du terrain silurien inférieur de Bohême, tome II, p. 514.
Fig. 13. — *Illænus Davisii*, Salter, du terrain silurien inférieur d'Angleterre, tome II, p. 516.
Fig. 14. — *Illænus Barriensis*, Murchison (sous-genre des *Bumastus*), du terrain silurien supérieur d'Angleterre, tome II, p. 516.
Fig. 15. — *Nileus armadillo*, Burm., du terrain silurien du Gothland, tome II, p. 517.

PLANCHE XLVI.

CRUSTACÉS. — TRILOBITES, CYPROÏDES ET XIPHOSURES.

Fig. 1. — *Acidaspis mira*, Barr., du terrain silurien supérieur de Bohême, tome II, p. 518.
Fig. 2. — *Acidaspis elliptica* (*Odontopleura elliptica*, Burm.), du terrain dévonien, tome II, p. 518.
Fig. 3. — *Cheirurus Quenstedti*, Barrande, du terrain silurien supérieur de Bohême, tome II, p. 520.
Fig. 4. — *Sphærexochus mirus*, Beyrich, du terrain silurien supérieur de Bohême, tome II, p. 521.
Fig. 5. — *Staurocephalus Murchisoni*, Barrande, du terrain silurien supérieur de Bohême, tome II, p. 521.
Fig. 6. — Tête du *Deiphon Forbesi*, Barrande, du terrain silurien supérieur, tome II, p. 522.
Fig. 7. — Tête du *Dindymene Frederici-Augusti*, Corda, du terrain silurien inférieur de Bohême, tome II, p. 522.
Fig. 8. — Pygidium de l'*Amphion Lindaueri*, Barrande, du terrain silurien inférieur de Bohême, tome II, p. 523.
Fig. 9. — *Cromus intercostatus*, Barrande, du terrain silurien supérieur de Bohême, tome II, p. 523. — *a*, la tête; *b*, le pygidium.
Fig. 10. — *Bronteus Partschi*, Barrande, du terrain silurien supérieur de Bohême, tome II, p. 525.
Fig. 11. — Pygidium du *Bronteus Haidingeri*, Barrande, du même terrain, tome II, p. 525.
Fig. 12. — Jeune âge de l'*Agnostus nudus*, Beyrich, du terrain silurien inférieur de Bohême, tome II, p. 527. — *a*, grandeur naturelle.
Fig. 13. — La même espèce, adulte, grossie 2 fois et demie.
Fig. 14. — *Eurypterus remipes*, Dekay, des schistes dévoniens de l'Amérique du Nord, tome II, p. 529. Un tiers de la grandeur naturelle.
Fig. 15. — *Cythere reniformis*, Bosquet, de la craie de Maëstricht, tome II, p. 532, vue sous divers aspects.
Fig. 16. — *Cypris faba*, Desmarest, des terrains tertiaires d'eau douce, tome II, p. 535.
Fig. 17. — *Cypridina fusiformis*, Bosquet, de la craie de Maëstricht, tome II, p. 535; type des espèces lisses.
Fig. 18. — *Cypridina Rœmeriana*, Bosquet, du même gisement; type des espèces sillonnées.
Fig. 19. — *Cyprella chrysalidea*, de Koninck, des terrains carbonifères de Belgique, tome II, p. 536.
Fig. 20. — *Cypridella cruciata*, de Koninck, des mêmes gisements, t. II, p. 536.
Fig. 21. — *Limulus Walchii*, Desmarest, des schistes lithographiques de Bavière, tome II, p. 537, moitié de la grandeur naturelle.
Fig. 22. — *Halycine agnota*, Herm. de Meyer, du muschelkalk, tome II, p. 538.
Fig. 23. — *Bellinurus bellulus*, Kœnig, du terrain carbonifère d'Angleterre, tome II, p. 538.

PLANCHE XLVII.

CRUSTACÉS. — CIRRHIPÈDES, ETC. — ANNÉLIDES.

Fig. 1. — *Balanus latiradiatus*, Münster, des terrains tertiaires marins d'Allemagne, tome II, p. 543.
Fig. 2. — Espèce des mêmes gisements rapportée par le comte de Münster au *Balanus pustularis*, Lamk? tome II, p. 543.
Fig. 3. — *Pyrgoma sulcata*, Philippi, tome II, p. 546.

Fig. 4. — *Anatife* vivante, tome II, p. 546.
Fig. 5. — *Poucepied* vivant (*Pollicipes*), tome II, p. 547.
Fig. 6. — *Pollicipes concinnus*, Morris, du terrain oxfordien d'Angleterre, tome II, p. 548.
Fig. 7. — Les diverses valves du *Scalpellum quadratum* (*Xiphidium quadratum*, Dixon), du terrain tertiaire éocène d'Angleterre, tome II, p. 549.—*a*, échantillon à peu près complet; *b*, *scutum*; *c*, *tergum*; *d*, *carina* (vue de côté); *e*, *flanc supérieur*; *f*, *flanc rostral*; *g*, *flanc carinal*; *h*, *scutum* (vu en dedans); *i*, *carina* (vue du côté dorsal); *k*, section de la même pièce.
Fig. 8. — *Loricula pulchella*, G. B. Sowerby, de la craie de Cuxton, tome II, p. 550.
Fig. 9. — Restauration probable de l'*Aptychus*, d'après M. d'Orbigny, tome II, p. 552.
Fig. 10. — *Aptychus latus*, de la division des *Cellulosi*, tome II, p. 556. Vu en dehors.
Fig. 11. — Intérieur d'une valve de la même espèce.
Fig. 12. — Surface du même aptychus, grossie pour montrer les trous qui terminent les tubes.
Fig. 13. — Surface usée de la même espèce, pour montrer l'apparence de la surface lorsque la couche superficielle est en partie détruite.
Fig. 14. — Coupe de la même coquille perpendiculairement à sa surface. — *a*, surface externe.
Fig. 15. — *Aptychus profundus*, Voltz, du groupe des *Imbricati*, tome II, p. 556, du terrain oxfordien des Voirons. Échantillon recouvert en partie de couches superficielles.
Fig. 16. — *Aptychus lamellosus*, Voltz, tome II, p. 558, de l'oolithe inférieure. — *a*, vu en dehors; *b*, vu en dedans.
Fig. 17. — *Aptychus Didayi*, Coquand, tome II, p. 558, du terrain néocomien du midi de la France.
Fig. 18. — *Cruziana furcifera*, d'Orb., des terrains siluriens de Bolivia, tome II, p. 559.
Fig. 19. — *Bostrichopus antiquus*, Goldfuss, du terrain dévonien d'Allemagne, tome II, p. 560. De grandeur double.
Fig. 20. — *Serpula cincta*, Goldfuss, du terrain aptien des environs de Genève, tome II, p. 564.
Fig. 21. — *Serpula antiquata*, Sow., du même gisement.
Fig. 22. — *Serpula filiformis*, Sow., id.
Fig. 23. — *Serpula spirulea*, Lamk, du terrain nummulitique, tome II, p. 565.
Fig. 24. — *Spirorbis omphalodes*, Münster, du terrain dévonien, tome II, p. 567. — *a*, de grandeur naturelle et fixée; *b*, grossie.
Fig. 25. — *Terebella lapilloides*, Münster, du terrain jurassique, tome II, p. 570.

PLANCHE XLVIII.

MOLLUSQUES CÉPHALOPODES ACÉTABULIFÈRES. — OCTOPIDES, SÉPIDES, LOLIGIDES.

Fig. 1. — *Argonauta hians*, Solander, des terrains pliocènes du Piémont, tome II, p. 588.
Fig. 2. — Coquille interne de la *Sepia Orbignyana*, Férussac, vivante, comme type du genre, tome II, p. 591.
Fig. 3. — *Sepia hastiformis*, Rüppel, de Solenhofen. Moitié de la grandeur naturelle.
Fig. 4. — Restauration de l'osselet d'une seiche tertiaire, type du genre *Belosepia*, Voltz, tome II, p. 591 (*B. sepioidea*).
Fig. 5. — Terminaison de l'osselet de la même espèce. De grandeur naturelle.
Fig. 6. — Rostre de la coquille interne de la *Beloptera belemnitoidea*, Blainville, tome II, p. 593. — *d*, coupe longitudinale de la même.
Fig. 7. — Rostre du *Belemnosis anomala*, Sowerby, de l'argile de Londres, tome II, p. 594. De grandeur naturelle.
Fig. 8. — Rostre et alvéole du genre *Spirulirostra*, d'Orb., tome II, p. 594. — *a*, vu de profil; *b*, coupe du même; *c*, vu de face; *d*, entonnoir conduisant à l'alvéole.
Fig. 9. — Coupe de la coquille de la *Spirule* vivante, tome II, p. 593.
Fig. 10. — Le *Calmar commun*, pour montrer la forme des *Céphalopodes acétabulifères*. — *a*, son osselet interne. — Tome II, p. 594.

Lackerbauer lit.

Octopides, Sépides, Loligides, &ᵃ.

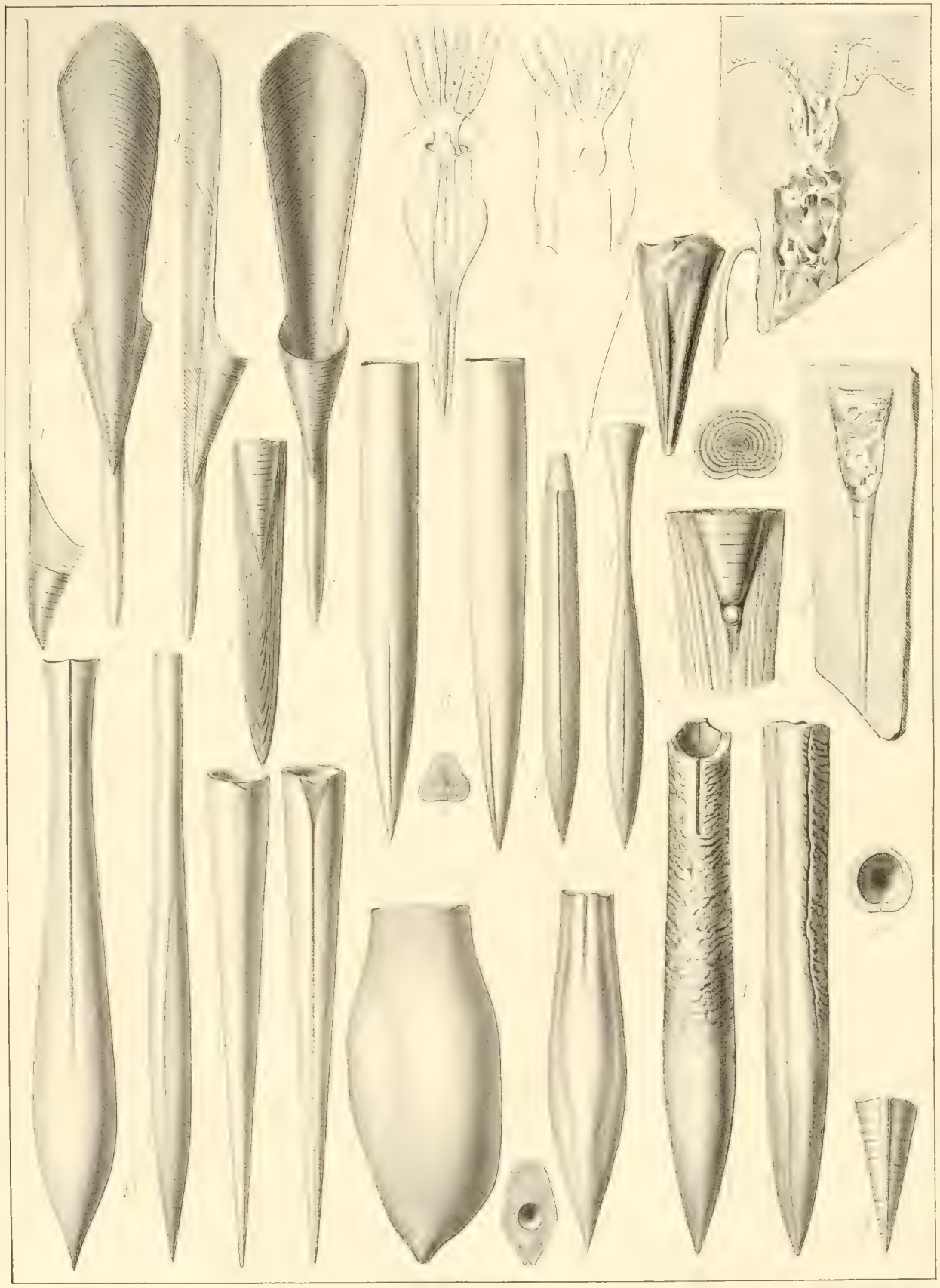

Lackerbauer lith.

Bélemnitides

chez J. B. Baillière, Libraire à Paris

Fig. 11. — *Teudopsis Bollensis*, Bronn, tome II, p. 595, du lias supérieur. Moitié de la grandeur naturelle.

Fig. 12. — *Beloteuthis subcostata*, d'Orb., tome II, p. 596, du lias supérieur. Moitié de la grandeur naturelle.

Fig. 13. — *Leptoteuthis gigantea*, H. de Meyer, tome II, p. 596, de Solenhofen.

Fig. 14. — *Belemnosepia flexuosa*, d'Orb., tome II, p. 597, du lias supérieur. Moitié de la grandeur naturelle.

Fig. 15. — *Belemnosepia Bollensis*, d'Orb., avec sa poche à encre, tome II, p. 597, du lias supérieur. Environ un tiers de la grandeur naturelle.

Fig. 16. — *Enoploteuthis subhastata*, d'Orb , tome II, p. 599, de Solenhofen. Moitié de la grandeur naturelle.

Fig. 17. — Empreinte de l'*Acanthoteuthis prisca*, d'Orb., tome II, p. 599, de Solenhofen. Réduite. — *a*, crochet des bras.

Fig. 18. — Osselet interne de la même espèce.

Fig. 19. — Coquille interne de l'*Ommastraphes intermedia*, d'Orb., tome II, p. 600, de Solenhofen Moitié de la grandeur naturelle.

PLANCHE XLIX.

MOLLUSQUES CÉPHALOPODES ACÉTABULIFÈRES. — BÉLEMNITIDES.

Fig. 1. — *Conoteuthis Dupinianus*, d'Orb., tome II, p. 601, du terrain aptien du département de l'Aube.

Fig. 2. — Corps désigné par M. Pearce sous le nom générique de *Belemnoteuthis*, tome II, p. 601, et considéré par d'autres auteurs comme un alvéole de bélemnite.

Fig. 3. — Restauration de la coquille interne des bélemnites d'après M. d'Orbigny. — *a*, l'osselet corné; *b*, l'alvéole; *c*, le rostre. — Tome II, p. 607.

Fig. 4. — Coupe d'un rostre de bélemnite pour montrer la disposition des stries d'accroissement et la position de l'alvéole.

Fig. 5. — Coupe transversale d'un rostre de bélemnite pour montrer la disposition des couches concentriques.

Fig. 6. — Coupe d'une portion de rostre destinée à montrer la forme de la première loge de l'alvéole dans une espèce où elle est sphérique, tome II, p. 609.

Fig. 7. — Portions molles des bélemnites trouvées dans les terrains oxfordiens d'Angleterre et décrites par M. Owen, tome II, p. 606. Ce sont ces mêmes parties qui sont attribuées au genre *Belemnoteuthis* par M. Pearce.

Fig. 8. — Terminaison de l'osselet et rostre de la même espèce.

Fig. 9. — Restauration de l'animal de la bélemnite d'après M. Owen.

Fig. 10. — *Idem*, d'après M. d'Orbigny.

Fig. 11. — *Belemnites tripartitus*, Schlotheim, prise comme type du groupe des *Acuarii*, tome II, p. 612.

Fig. 12. — *Belemnites unicanaliculatus*, Voltz, de l'oolithe inférieure, comme type du groupe des *Canaliculati*.

Fig. 13. — *Belemnites hastatus*, Blainville, du terrain oxfordien, comme type du groupe des *Hastati*.

Fig. 14. — *Belemnites clavatus*, Blainville, du lias moyen, comme type du groupe des *Clavati*.

Fig. 15. — *Belemnites dilatatus*, Blainville, du terrain néocomien, comme type du groupe des *Dilatati*.

Fig. 16. — Rupture du rostre des bélemnites qui produit la modification connue sous le nom d'*Actinocamax*, tome II, p. 610.

Fig. 17. — *Belemnitella mucronata*, d'Orbigny, tome II, p. 615, de la craie blanche. — *a* et *b*, rostre; *c*, l'alvéole vu en dedans; *d*, alvéole vu extérieurement, et montrant la côte par laquelle il se distingue de celui des bélemnites.

PLANCHE L.

MOLLUSQUES CÉPHALOPODES TENTACULIFÈRES. — NAUTILIDES.

Fig. 1. — Le nautile vivant, représenté dans une coquille sciée longitudinalement. — *a*, le tube locomoteur; *b*, les tentacules; *c*, prolongement ventral du manteau qui couvre une partie du tour de spire précédent ; *d*, aile triangulaire qui sert d'opercule et de pied; *e*, l'œil; *f*, ligament traversant les cloisons *g*. Voy. tome II, p. 617.

Fig. 2. — *Nautilus compressus*, Sow., des terrains carbonifères, comme type des *Nautiles lisses et discoïdes*, tome II, p. 622.

Fig. 3. — *Nautilus Levellianus*, de Koninck, des mêmes terrains, pris comme type du sous-genre des *Temnocheilus*.

Fig. 4. — *Nautilus clitellarius*, Sow., du même terrain, pris comme type des *Nautiles globuleux* de cette époque.

Fig. 5. — *Nautilus Koninckii*, d'Orb., du même terrain, comme type des *Nautiles à carènes*.

Fig. 6. — *Nautilus tuberculatus*, Sow., comme type des *Nautiles à ornements*.

Fig. 7. — *Nautilus Neckerianus*, Pict., des grès verts inférieurs de la perte du Rhône, comme type du groupe des *Radiati*.

Fig. 8. — *Nautiloceras aïgoceras*, d'Orb. (*Gyroceras aïgoceras*, de Koninck), tome II, p. 629, du terrain carbonifère de Tournai.

Fig. 9. — *Lituites Odini*, Eichwald, tome II, p. 630, du terrain silurien de Russie.

Fig. 10. — *Hortolus perfectus*, d'Orb. (*Lituites lituus*, Hisinger), tome II, p. 631, du terrain silurien supérieur de Suède.

Fig. 11. — Coupe théorique d'une coquille du même genre.

Fig. 12. — *Aploceras Puzosianum*, d'Orb. (*Cyrtoceras Puzosianum*, de Koninck), des terrains carbonifères de Belgique, tome II, p. 631.

PLANCHE LI.

CÉPHALOPODES TENTACULIFERES. — NAUTILIDES, GOMPHOCÉRATIDES, CLYMÉNIDES ET GYROCÉRATIDES.

Fig. 1. — *Orthoceratites regularis*, Schl., tome II, p. 634, du terrain silurien supérieur, comme type des *Orthocératites régulières*.

Fig. 2. — *Orthoceratites subannularis*, Münster, tome II, p. 634, du terrain dévonien, comme type des *Orthocératites annelées*.

Fig. 3. — *Orthoceratites lineatus*, Hisinger, tome II, p. 634, du terrain silurien supérieur, comme type des *Orthocératites rayées*.

Fig. 4. — *Actinoceras cochleatum* (*Orth. cochleatum*, Schl.), tome II, p. 638, du terrain silurien supérieur. — *a*, la coquille brisée montrant le siphon; *b*, un siphon détaché.

Fig. 5. — *Endoceras duplex* (*Orth. duplex*, Wahl.), tome II, p. 641, du terrain silurien supérieur.

Fig. 6. — Figure théorique de la même espèce, donnée par M. Hisinger, etc. Elle montre le cas où une petite orthocératite est comprise dans la grande.

Fig. 7. — La même espèce, montrant les couches superposées qui entourent le siphon, caractère générique des *Endoceras*.

Fig. 8. — Cloison du *Camoceras vaginatus*, Schl., tome II, p. 642, du terrain silurien supérieur.

Fig. 9. — *Melia trochlearis* (*Orth. trochlearis*, Hisinger), tome II, p. 643, du terrain silurien supérieur.

Fig. 10. — *Gomphoceras ellipticum*, M'Coy, tome II, p. 644, du terrain silurien supérieur.

Fig. 11. — *Sycoceras ficus* (*Gomphoceras ficus*, Roemer), tome II, p. 645, du terrain dévonien.

Fig. 12. — *Campulites ventricosus* (*Phragmoceras ventricosus*, Sow.), tome II, p. 646, du terrain silurie supérieur.

Nautilides.

Nautilides, Gomphocératites, Clyménides, etc.

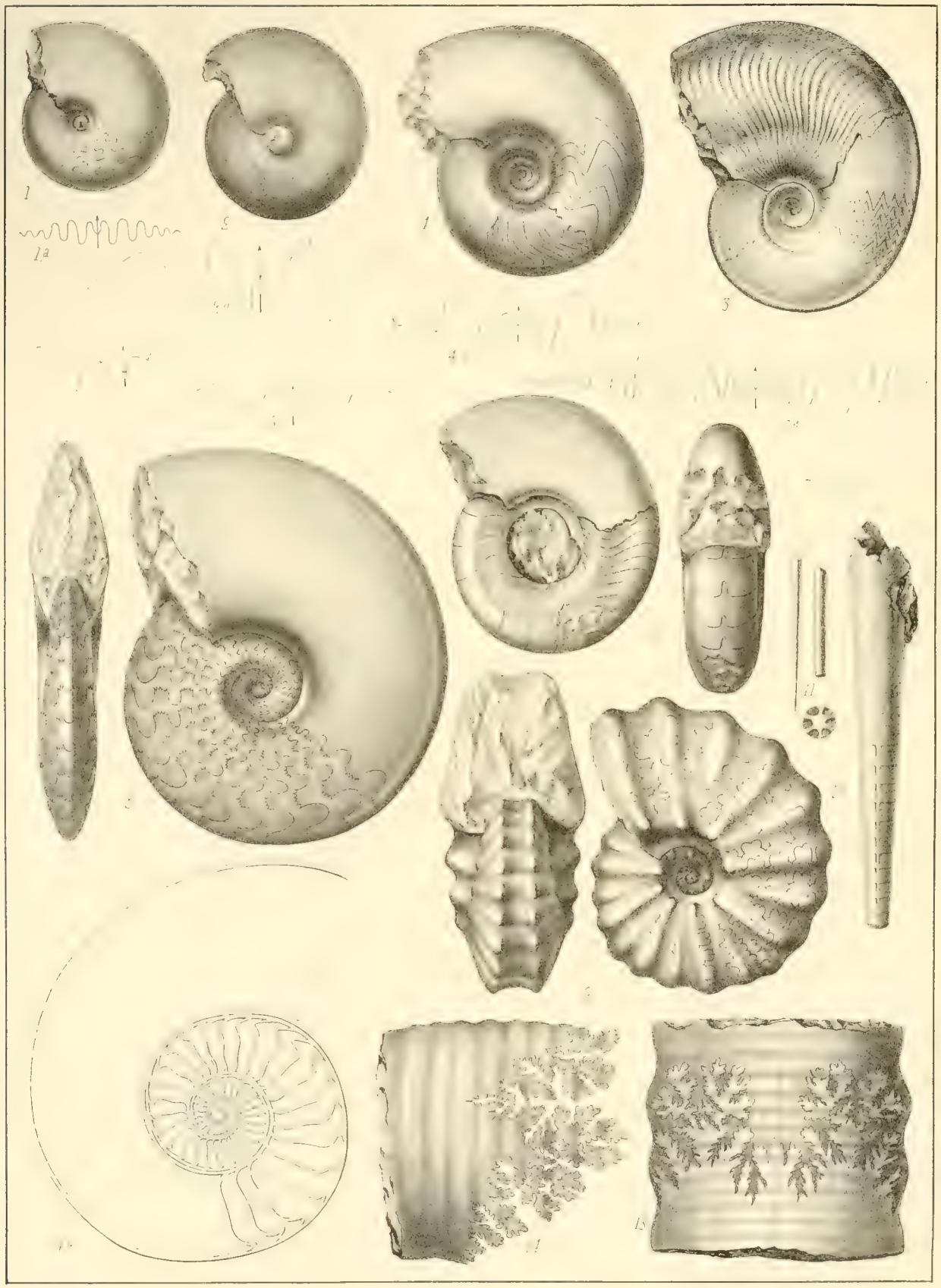

Lackerbauer lith. Imp. Lemercier à Paris

Ammonitides.

Publié par J.B Baillière, Libraire, à Paris

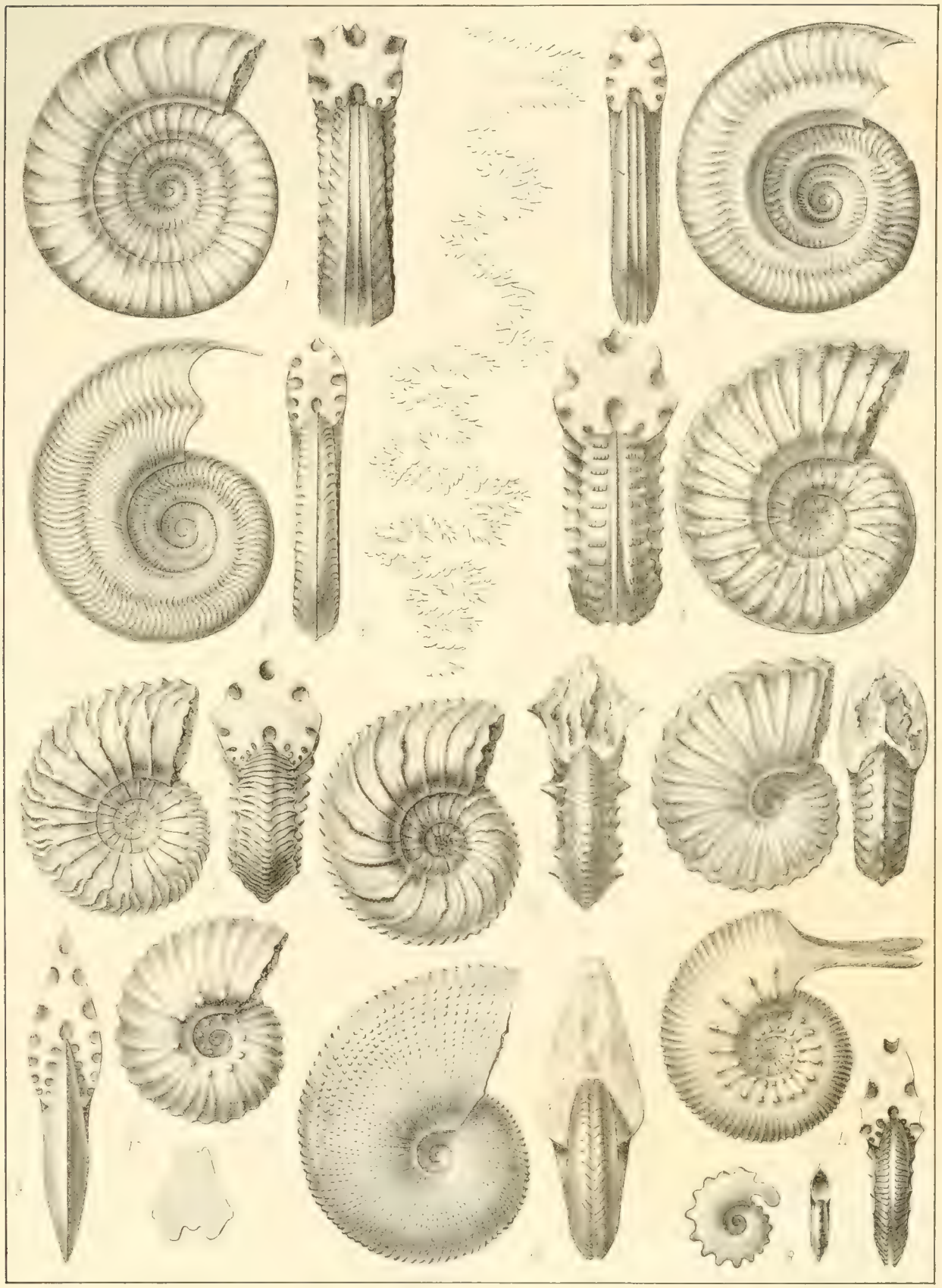

Lackerbauer lith

Imp. Lemercier à Paris.

Ammonites.

Publié par J. B. Baillière, Libraire à Paris

Fig. 13. — *Trocholites angustiseptatus* (*Clymenia angustiseptata*, Münster), tome II, p. 647, du terrain dévonien.

Fig. 14. — *Clymenia Sedgwickii*, Münster, tome II, p. 648, du terrain dévonien.

Fig. 15. — *Aturia zigzag*, Sow. (*Megasiphonia zigzag*, d'Orb.), tome II, p. 649, de l'argile de Londres (parisien inférieur).

Fig. 16. — *Cryptoceras subtuberculatus* (*Nautilus subtuberculatus*, Sandb.), tome II, p. 651, du terrain dévonien.

Fig. 17. — *Gyroceras ornatum*, Goldf., tome II, p. 651, du terrain dévonien du Rhin.

PLANCHE LII.

CÉPHALOPODES TENTACULIFÈRES. — Ammonitides.

Fig. 1. — *Goniatites clavilobus*, Sandberger, du terrain dévonien, comme type du groupe des *G. lanceolati*, tome II, p. 657. — *a*, ses cloisons.

Fig. 2. — *Goniatites crenistria*, Phillips, du terrain dévonien, comme type du groupe des *G. genufracti*. — *a*, ses cloisons.

Fig. 3. — *Goniatites sagittarius*, Sandb., du terrain dévonien, comme type du groupe des *G. serrati*. — *a*, ses cloisons.

Fig. 4. — *Goniatites lamellosus*, Sandb., du terrain dévonien, comme type du groupe des *G. crenati*. — *a*, ses cloisons.

Fig. 5. — Cloisons du *Goniatites terebratus*, Sandb., du terrain dévonien, comme type du groupe des *G. acutolaterales*.

Fig. 6. — Cloisons du *Goniatites retrorsus*, de Buch, du terrain dévonien, comme type du groupe des *G. magnosellares*.

Fig. 7. — *Goniatites subnautilinus*, Schlot., du terrain dévonien, comme type du groupe des *G. subnautilini*.

Fig. 8. — *Ceratites semipartitus*, Gaillardot, tome II, p. 661, du terrain triasique.

Fig. 9. — *Ceratites syriacus*, de Buch, du terrain cénomanien du mont Liban.

Fig. 10. — *Bactrites gracilis*, Sandb., tome II, p. 662, du terrain dévonien.

Fig. 11. — *Baculina acuaria* (*Baculites acuarius*, Quenstedt), tome II, p. 663, du Jura brun de Gammelshausen.

Fig. 12. — Coupe d'une *Ammonites discus*, Sow., pour montrer la disposition des cloisons et la dernière chambre, tome II, p. 664.

Fig. 13 et 14. — Fragment d'Ammonite pour montrer les lobes et les selles, tome II, p. 668. — Fig. 13, vue sur la face du siphon; fig. 14, vue de côté.

PLANCHE LIII.

CÉPHALOPODES TENTACULIFÈRES. — Ammonites.

Fig. 1. — *Ammonites bisulcatus*, Brug., du lias inférieur, comme type des *Ammonites arietes*, tome II, p. 671. — *a*, cloisons.

Fig. 2. — *Ammonites serpentinus*, Schl., du lias supérieur, comme type des *A. falciferi*, tome II, p. 672. — *a*, cloisons.

Fig. 3. — *Ammonites bifrons*, Brug., du lias supérieur, du même groupe.

Fig. 4. — *Ammonites inflatus*, Sow., du gault, comme type des *A. cristati*, tome II, p. 674.

Fig. 5. — *Ammonites cordatus*, Sow., du terrain oxfordien, comme premier type des *A. amalthei*, tome II, p. 676.

Fig. 6. — *Ammonites margaritatus*, Sow., du lias moyen, comme second type du même groupe.
Fig. 7. — *Ammonites Brottianus*, d'Orb., du gault, comme type du groupe des *A. pulchelli*, tome II, p. 678.
Fig. 8. — *Ammonites crenatus*, Brug., du terrain oxfordien, comme ayant une partie des caractères du même groupe.
Fig. 9. — *Ammonites Requienanus*, d'Orb., du terrain turonien d'Uchaux, comme type du groupe des *A. clypeiformi*, tome II, p. 680.
Fig. 10. — *Ammonites denarius*, Sow., du gault, comme type normal des *A. dentati*, tome II, p. 681.
Fig. 11. — *Ammonites Jason*, Zieten, du terrain kellowien, comme type des *Ammonites ornati*, groupe réuni au précédent.
Fig. 12. — *Ammonites Aon*, Münster, des terrains saliériens d'Autriche, comme type du groupe des *A. gemmati*, tome II, p. 685.

PLANCHE LIV.

CÉPHALOPODES TENTACULIFÈRES. — Ammonites.

Fig. 1. — *Ammonites radiatus*, Brug., du terrain néocomien inférieur, comme type du groupe des *A. flexuosi*, tome II, p. 686.
Fig. 2. — *Ammonites Beaumontianus*, d'Orb., du terrain cénomanien, comme type du groupe des *A. compressi*, t. II, p. 686.
Fig. 3. — *Ammonites perarmatus*, Sow., du terrain oxfordien, comme type du groupe *A. armati*, tome II, p. 687.
Fig. 4. — *Ammonites Milletianus*, d'Orb., du gault, comme type du groupe des *A. angulicostati*, tome II, p. 687.
Fig. 5. — *Ammonites armatus*, Sow., du lias moyen, comme type des *A. capricorni* armés d'épines, tome II, p. 689.
Fig. 6. — *Ammonites planicosta*, Sow., du lias moyen, comme type des *A. capricorni* à côtes lisses.
Fig. 7. — *Ammonites Guettardi*, Raspail, du terrain aptien, comme type des *A. heterophylli*, tome II, p. 690.
Fig. 8. — Cloisons de la même espèce.
Fig. 9. — *Ammonites Mayorianus*, d'Orb., du gault, comme type des *A. ligati*, tome II, p. 691.
Fig. 10. — *Ammonites biplex*, Sow., du terrain oxfordien, comme type des *A. planulati*, tome II, p. 693.
Fig. 11. — Cloisons de la même espèce.

PLANCHE LV.

CÉPHALOPODES TENTACULIFÈRES. — Ammonites.

Fig. 1. — *Ammonites Humphriesianus*, Sowerby, de l'oolithe inférieure, comme type du groupe des *A. coronarii*, tome II, p. 695.
Fig. 2. — *Ammonites microstoma*, d'Orbigny, de la grande oolithe, comme type du groupe des *A. macrocephali*, tome II, p. 696.
Fig. 3. — *Ammonites globus*, Quenstedt, du terrain saliérien, comme type du groupe des *A. globosi*, tome II, p. 697.
Fig. 4. — *Ammonites subfimbriatus*, d'Orb., du terrain néocomien inférieur, comme type du groupe des *A. fimbriati*, tome II, p. 697.
Fig. 5. — Figure théorique du genre *Crioceras*, t. II, p. 700. Le dessinateur n'a pas rendu exactement les caractères spécifiques.
Fig. 6. — *Scaphites Yvanii*, Pusoz, du terrain néocomien supérieur, tome II, p. 701.
Fig. 7. — *Scaphites Astierianus*, d'Orbigny, du gault.

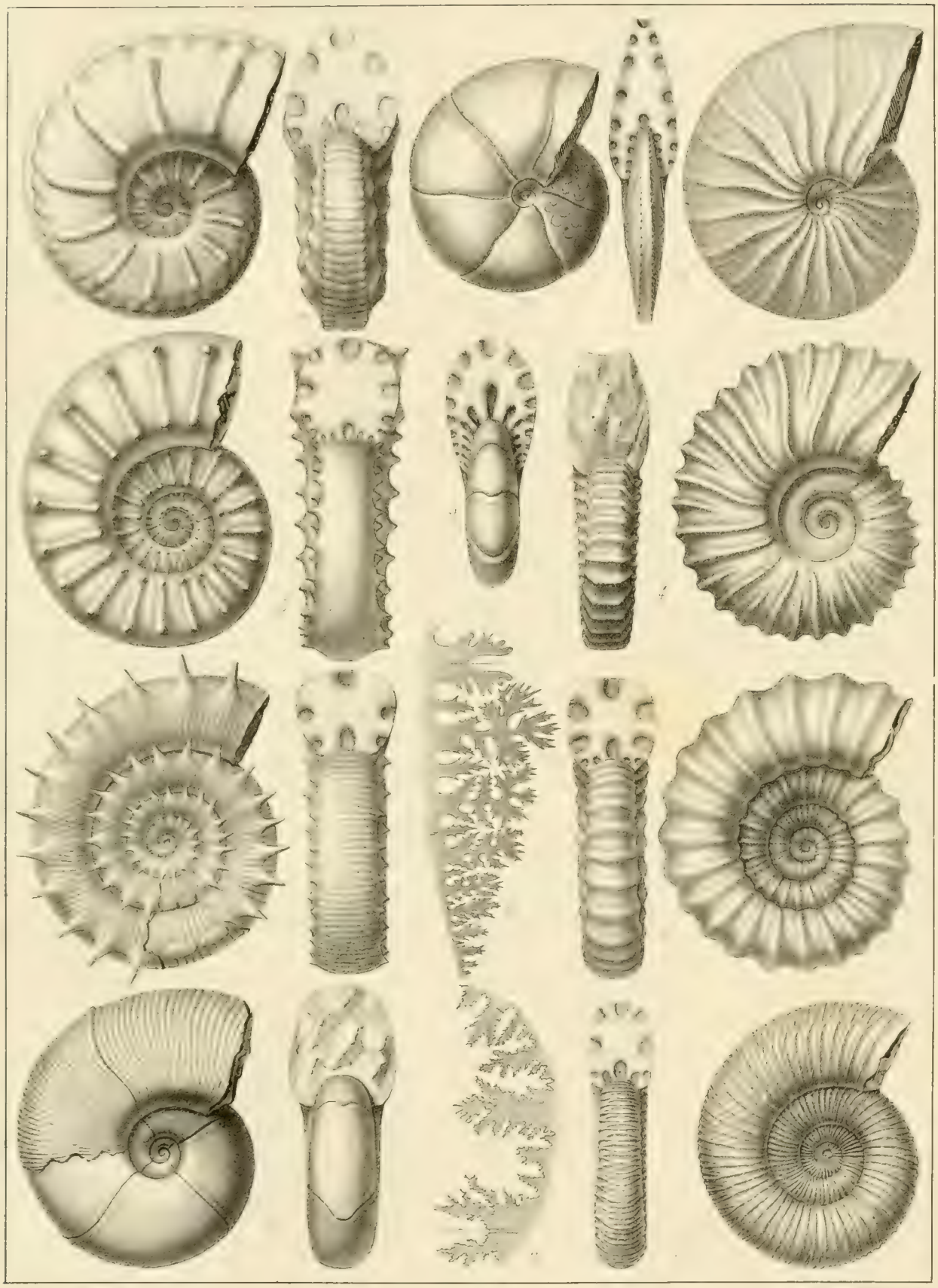

Ammonites

Publié par J.B. Baillière, Libraire à Paris

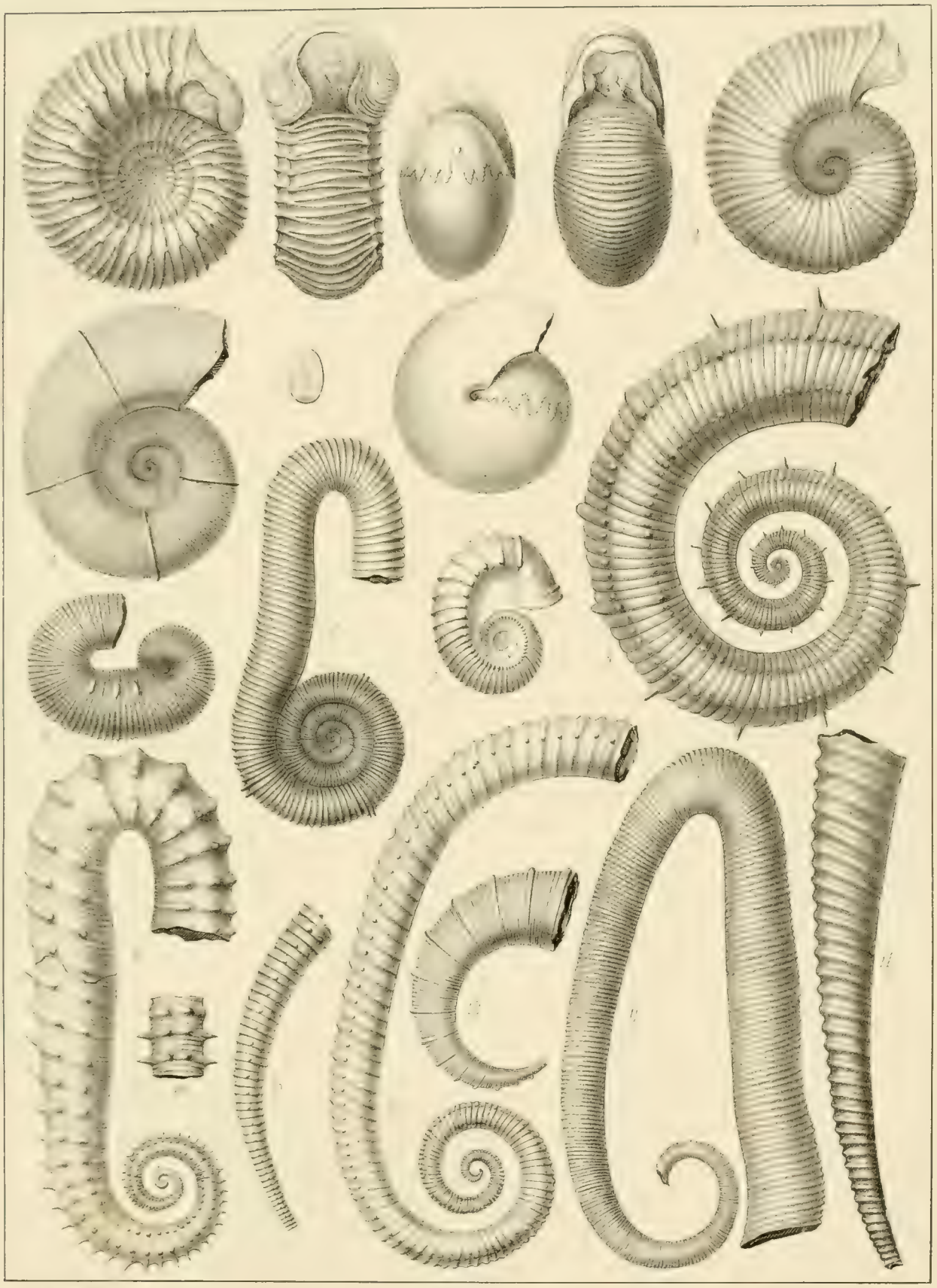

Imp. Lemercier Paris

Ammonitides

Publié par J.B. Baillière, Libraire à Paris

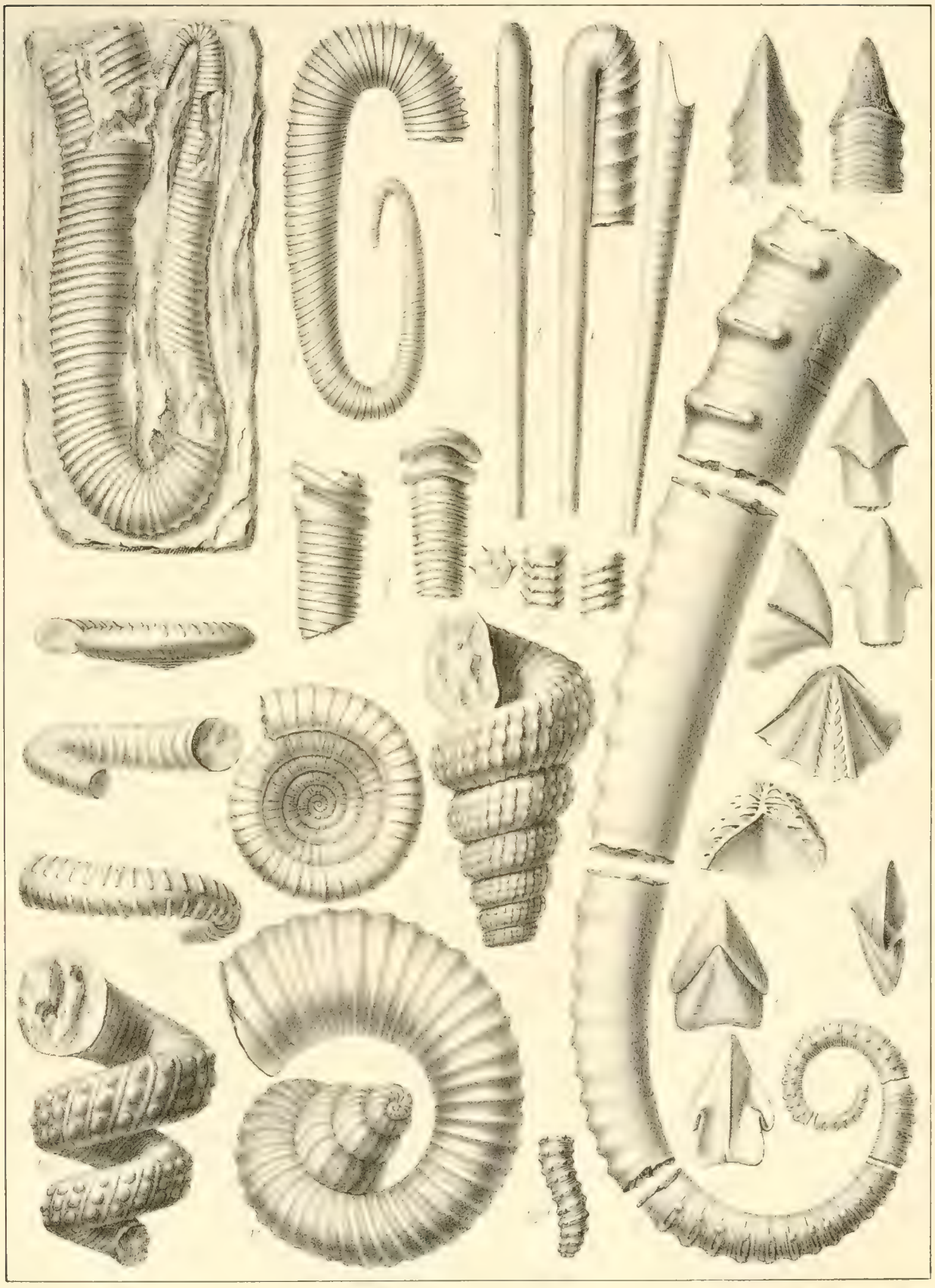

Lackerbauer lith

Ammonitides

Publié par J.B Baillière, Libraire à Paris

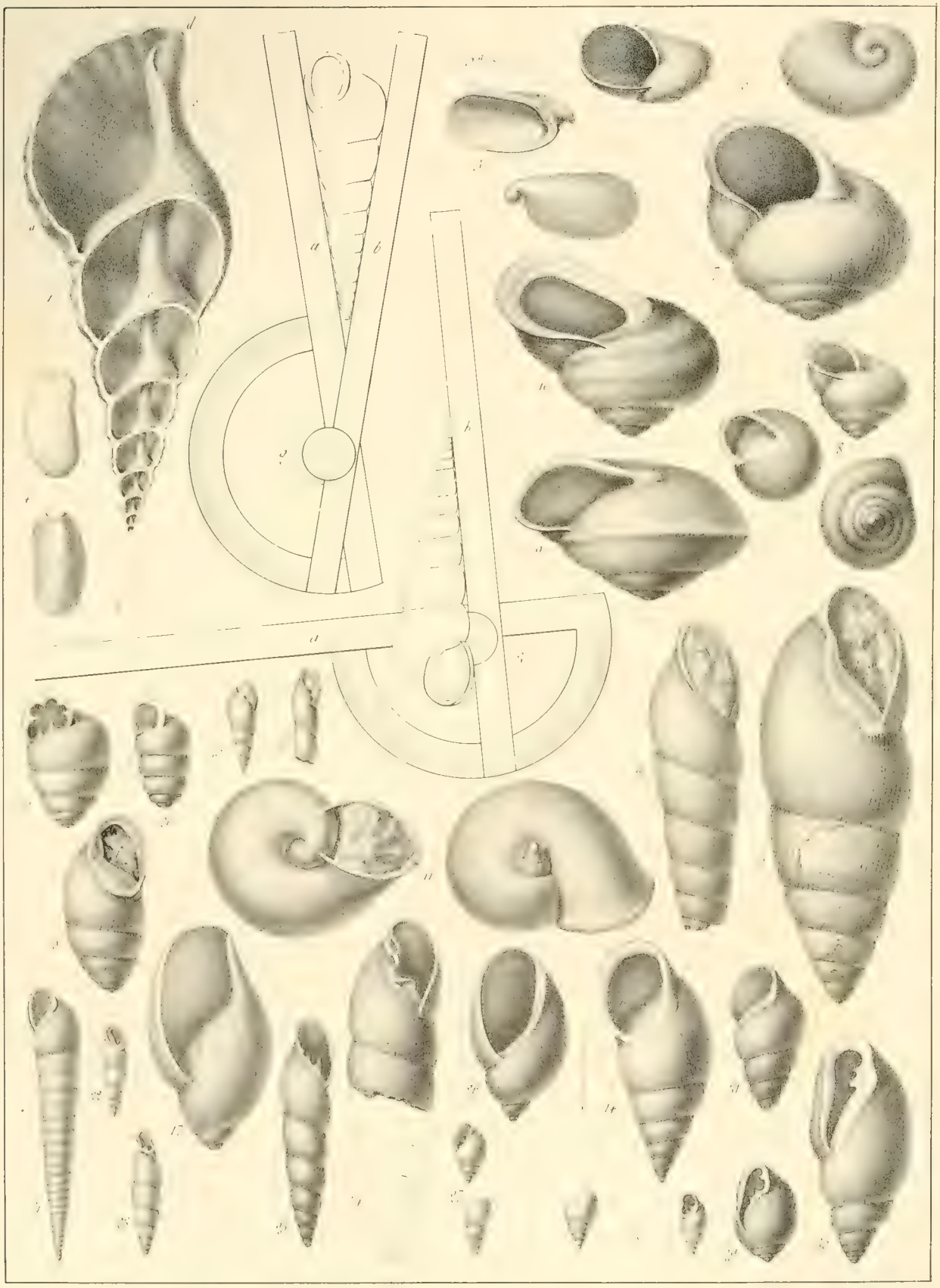

Jackerbauer lith. Imp. Lemercier, Paris

Limacides, Colimacides, Auriculides

Fig. 8. — *Scaphites æqualis*, d'Orbigny, du terrain cénomanien.
Fig. 9. — *Ancyloceras Matheronianus*, d'Orbigny, du terrain aptien, tome II, p. 703.
Fig. 10. — *Ancyloceras calloviensis*, Morris, du terrain kellovien.
Fig. 11. — *Ancyloceras Jauberti*, Astier, du terrain néocomien supérieur d'Anglès.
Fig. 12. — *Toxoceras bituberculatus*, d'Orb., du terrain néocomien inférieur, tome II, p. 706.
Fig. 13. — *Toxoceras Emericianus*, d'Orb., du terrain néocomien supérieur.
Fig. 14. — *Toxoceras obliquatus*, d'Orb., du terrain néocomien supérieur.

PLANCHE LVI.

CÉPHALOPODES TENTACULIFÈRES. — Ammonites.

Fig. 1. — *Hamites attenuatus*, Sowerby, du gault. Échantillon figuré dans le mémoire de Fitton et présentant ses deux crosses, tome II, p. 707.
Fig. 2. — *Hamites rotundus*, Sow., restauré, du gault.
Fig. 3. — Fragment de l'*Hamites punctatus*, d'Orb., du gault.
Fig. 4. — Bouche de l'*Hamites virgulatus*, Brongniart, du gault.
Fig. 5. — *Ptychoceras Pusozianus*, d'Orb., du terrain néocomien supérieur de Barrême, tome II, p. 709.
Fig. 6. — *Baculites anceps*, Lamk, de la craie blanche, tome II, p. 710. — *a*, la bouche vue du côté siphonal ; *b*, la bouche vue du côté opposé.
Fig. 7. — *Turrilites Bergeri*, Brongniart, du gault, tome II, p. 711.
Fig. 8. — *Turrilites Boblayei*, d'Orb., du lias inférieur.
Fig. 9. — *Helicoceras Teilleuxi*, Baugier et Sauzé, de l'oolithe inférieure, tome II, p. 713.
Fig. 10. — *Helicoceras Robertianus* (*Turrilites Robertianus*, d'Orb.), du gault.
Fig. 11. — *Heteroceras Emericianus*, d'Orb., du terrain néocomien supérieur (urgonien), tome II, p. 714.
Fig. 12. — *Anisoceras Saussureanus*, Pictet, du gault, tome II, p. 704. — *a*, courbure du jeune âge.
Fig. 13. — Bec de nautile du terrain jurassique, tome II, p. 715.
Fig. 14. — Bec connu sous le nom de *Conchorhynchus avirostris*, Bronn, du muschelkalk, tome II, p. 715.
Fig. 15. — Bec décrit sous le nom de *Rhynchoteuthis Astierianus*, d'Orbigny, du terrain aptien, tome II, p. 716.

PLANCHE LVII.

MOLLUSQUES GASTÉROPODES PULMONÉS. — Limacides, Colimacides et Auriculides.

Fig. 1. — Coupe d'une coquille de gastéropode (*Triton nodiferum*, Lamk), pour montrer l'enroulement. — *a*, le labre ; *b*, bord columellaire de la bouche ; *c*, la columelle ; *d*, le sinus, tome III, p. 3.
Fig. 2. — Hélicomètre de M. d'Orbigny, un peu modifié, tome III, p. 5, placé pour mesurer l'angle *spiral* d'une coquille, p. 5.
Fig. 3. — Le même instrument disposé pour mesurer l'angle *sutural* de la même coquille, tome III, p. 6.
Fig. 4. — Coquille interne de limace (*Limax Lartetii*, Dupuy), des terrains miocènes de Sansan, tome III, p. 16. — *a*, grandeur naturelle.
Fig. 5. — Coquille de testacelle (*Testacella Lartetii*, Dupuy), du même gisement, tome III, p. 17. — *a*, grandeur naturelle.
Fig. 6. — *Vitrina intermedia*, Reuss, tome III, p. 17, des calcaires lacustres de Bohême, grossie. Le trait indique la grandeur naturelle.
Fig. 7. — *Helix Braunii*, Thomæ, tome III, p. 18, des terrains miocènes d'Allemagne, de grandeur naturelle.
Fig. 8. — *Helix subsulcosa*, id., du même gisement, de grandeur naturelle.
Fig. 9. — *Helix Rahtii*, id., du même gisement et de Bohême, de grandeur naturelle.

Fig. 10. — *Helix oxystoma*, Reuss, des calcaires lacustres de Bohême, de grandeur naturelle.
Fig. 11. — *Anastoma Matheroni* (*Lychnus Matheroni*, Requien), des lignites de Provence, tome III, p. 24, un peu réduit.
Fig. 12. — *Bulimus subcylindricus*, Matheron, tome III, p. 25, des lignites de Provence; de grandeur naturelle.
Fig. 13. — *Bulimus ellipticus*, Sowerby, des terrains éocènes de l'île de Wight, de grandeur naturelle.
Fig. 14. — *Bulimus complanatus*, Reuss, des dépôts d'eau douce du nord de la Bohême ; double de la grandeur naturelle.
Fig. 15. — *Achatina similis*, de Boissy, réunie aux Bulimes, du calcaire lacustre de Rilly-la-Montagne, tome III, p. 25, grossie.
Fig. 16. — *Achatina Rillyensis*, de Boissy, idem.
Fig. 17. — *Achatina inflata*, Reuss, réunie aussi aux Bulimes, des dépôts d'eau douce du nord de la Bohême; de grandeur naturelle.
Fig. 18. — *Pupa Rillyensis*, de Boissy, tome III, p. 27, du calcaire lacustre de Rilly-la-Montagne; de grandeur naturelle.
Fig. 19. — *Pupa callosa* (*Vertigo callosa*, Reuss), des dépôts d'eau douce de Bohême, fortement grossie.
Fig. 20. — *Pupa minutissima*, Hartm., vivante, et fossile dans les mêmes terrains, fortement grossie.
Fig. 21. — *Megaspira Rillyensis*, de Boissy, tome III, p. 29, du calcaire lacustre de Rilly-la-Montagne ; de grandeur naturelle.
Fig. 22. — *Clausilia contorta*, de Boissy, tome III, p. 29, du même gisement.
Fig. 23. — *Clausilia Edmondi*, de Boissy, tome III, p. 29, du même gisement.
Fig. 24. — *Clausilia maxima*, Grateloup, tome III, p. 30 (note), de Dax ; de grandeur naturelle.
Fig. 25. — *Clausilia peregrina*, Reuss, des dépôts d'eau douce de la Bohême, grossie.
Fig. 26. — *Succinea Pfeifferi*, Rossmässler, tome III, p. 30, vivante et fossile en Bohême, grossie.
Fig. 27. — *Auricula Remiensis*, de Boissy, tome III, p. 32, du calcaire lacustre de Rilly-la-Montagne, grandeur naturelle.
Fig. 28. — *Auricula Michelini*, id , id.
Fig. 29. — *Auricula tridentata* (*Melampus tridentatus*, F. Edw.), du terrain éocène du Hampshire, grandeur naturelle.
Fig. 30. — *Auricula sub Judæ*, d'Orb. (*Auricula Judæ*, Grat.), des faluns blancs de Dax, grandeur naturelle.
Fig. 31. — *Auricula costellata* (*Acme costellata*, Reuss), des dépôts lacustres de Bohême, grossie.

PLANCHE LVIII.

MOLLUSQUES GASTÉROPODES PULMONÉS ET PECTINIBRANCHES. — Lymnéides, Cyclostomides, Paludinides, Mélanides et Littorinides.

Fig. 1. — *Lymneus Hennei*, Dunker, tome III, p. 34, du terrain wealdien d'Allemagne.
Fig. 2. — *L. acutus*, A. Braun (*subpalustris*, Thomæ), du terrain miocène de Wiesbaden et de Bohême.
Fig. 3. — *Physa gigantea*, Michaud, tome III, p. 37, du calcaire lacustre de Rilly-la-Montagne.
Fig. 4. — *Planorbis Jugleri*, Dunker, tome III, p. 38, du terrain wealdien d'Allemagne.
Fig. 5. — *Planorbis applanatus*, Thomæ, du terrain miocène de Wiesbaden.
Fig. 6. — *Planorbis pseudammonius*, Voltz, du terrain pliocène du Wurtemberg.
Fig. 7. — *Ancylus Matheroni*, de Boissy, tome III, p. 40, du calcaire lacustre de Rilly-la-Montagne.
Fig. 8. — *Ancylus elegans*, Sowerby, type du groupe des Velletia, du terrain éocène d'Hordwell.
Fig. 9. — *Ancylus decussatus*, Reuss, du terrain miocène de Bohême.
Fig. 10. — *Cyclostoma Arnouldi*, Michaud, tome III, p. 46, du calcaire lacustre de Rilly-la-Montagne.
Fig. 11. — *Cyclostoma*, rapporté par M. Deshayes au *C. elegans*.
Fig. 12. — *Cyclostoma bisulcatum*, Zieten, du terrain miocène de Wiesbaden.
Fig. 13. — *Cyclostoma dolium*, Thomæ, du même terrain.

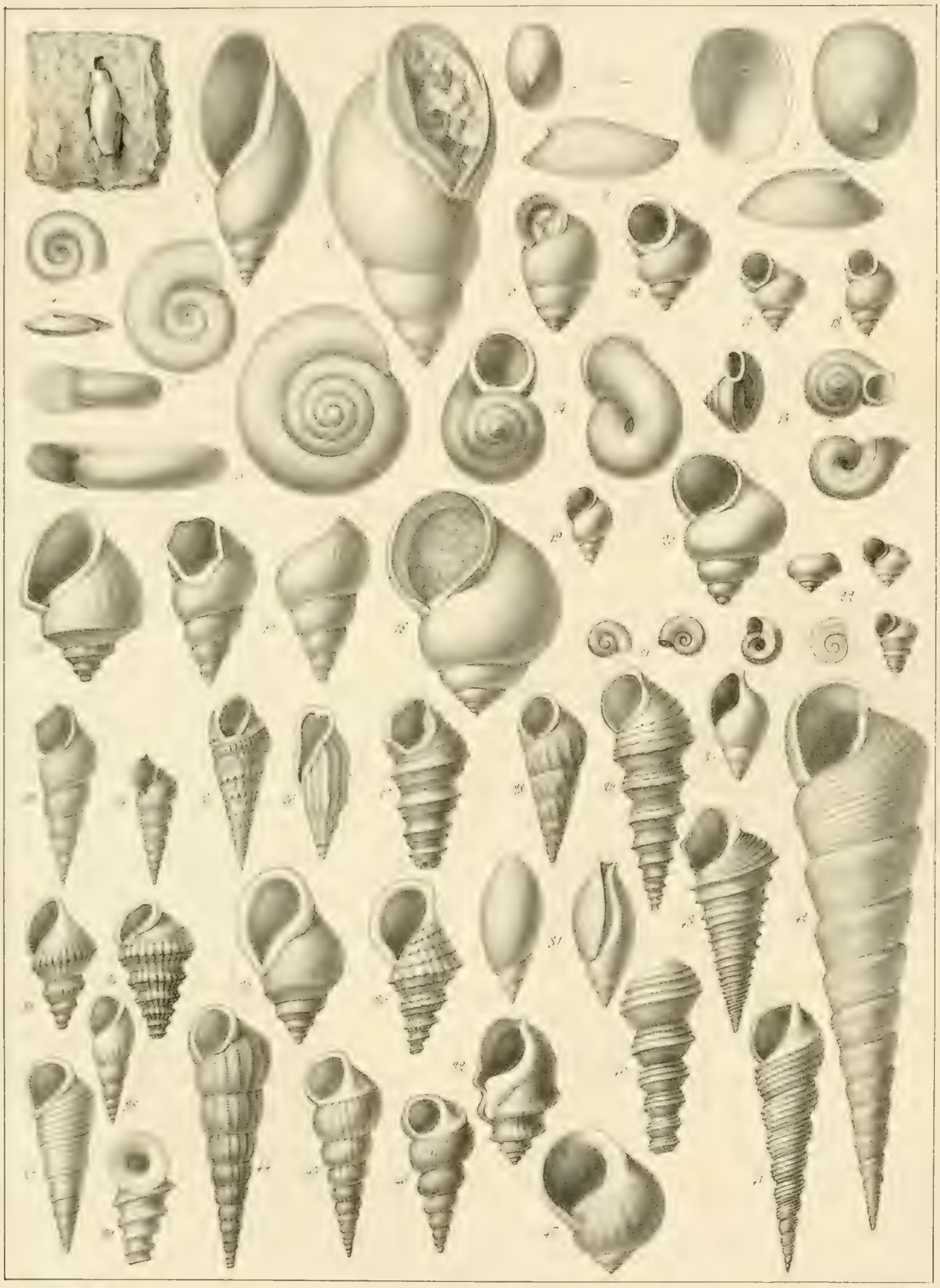

Lymnéides, Cyclostomides, Paludinides, Mélanides, Littorinides.

Publié par J. B. Baillière, Libraire à Paris

Lackerbauer lith. Imp. Lemercier, Paris

Pyramidellides.

Publié par J.B. Baillière, Libraire à Paris

Fig. 14. — *Ferussina anastomiformis*, Grateloup (*Strophostoma lævigata*, Deshayes), des faluns bleus de Dax, tome III, p. 48.
Fig. 15. — *Ferussina tricarinata* (*Strophostoma tricarinatum*, Braun), du terrain miocène de Mayence.
Fig. 16. — *Paludina angulata* (*Ampullaria angulata*, Dunker), tome III, p. 49, du lias d'Halberstadt.
Fig. 17. — Espèce rapportée par M. Dunker à la *Paludina fluviorum*, Sowerby, du terrain wealdien d'Allemagne.
Fig. 18. — *Paludina aspersa*, Michaud, de Rilly-la-Montagne.
Fig. 19. — *Paludina globulus*, Deshayes, du calcaire grossier de Houdan.
Fig. 20. — *Paludina* rapportée à la *P. semicarinata*, Brard, vivante, des terrains miocènes inférieurs du bassin de Paris.
Fig. 21. — *Valvata Leopoldi*, de Boissy, tome III, p. 52, de Rilly-la-Montagne.
Fig. 22. — *Valvata multiformis*, Deshayes, et ses principales variétés, des terrains miocènes du grand duché de Bade.
Fig. 23. — *Melania Zenkeni*, Dunker, tome III, p. 54, du lias d'Halberstadt.
Fig. 24. — *Melania turritella*, Dunker, du même gisement.
Fig. 25. — *Melania strombiformis*, Schlotheim, du terrain wealdien d'Allemagne.
Fig. 26. — *Melania harpæformis*, Dunker, du même gisement.
Fig. 27. — *Melania tricarinata*, Dunker, du même gisement.
Fig. 28. — *Melania tenuistriata*, Melleville, de l'argile plastique de Ciry-Salsogne.
Fig. 29. — *Melania inquinata*, Defrance, des tertiaires inférieurs d'Épernay.
Fig. 30. — *Melanopsis buccinulum*, Melleville, tome III, p. 56, des sables inférieurs de Châlons.
Fig. 31. — *Melanopsis Fritzii*, Thomæ, du terrain miocène de Wiesbaden.
Fig. 32. — *Melanopsis Lus-Hani*, de Verneuil, des terrains miocènes de la Turquie d'Europe.
Fig. 33. — *Rissoa duplicata*, Sowerby, tome III, p. 57, de la grande oolithe d'Angleterre.
Fig. 34. — *Rissoa tricarinata*, Morris, du même gisement.
Fig. 35. — *Rissoa francoiana*, d'Orbigny, de la grande oolithe du Calvados.
Fig. 36. — *Rissoa bisulcata*, Buvignier, du terrain corallien de Saint-Mihiel
Fig. 37. — *Rissoa marginata* (*Melania marginata*, Lamarck), du calcaire grossier du bassin de Paris.
Fig. 38. — *Rissoa clavula* (*Melania clavula*, Deshayes), du même gisement.
Fig. 39. — *Cochlearia carinata*, Braun, tome III, p. 60, de Saint-Cassian.
Fig. 40. — *Turritella Ponti*, Goldfuss, tome III, p. 61, du terrain dévonien.
Fig. 41. — *Turritella gracilis*, Goldfuss, du lias.
Fig. 42. — *Turritella imbricatoria*, Lamk, du calcaire grossier.
Fig. 43. — *Turritella fasciata*, Lamk, du même gisement.
Fig. 44. — *Scalaria gurgitis*, Pictet et Roux, tome III, p. 66, du gault.
Fig. 45. — *Scalaria pseudoscalaris*, Brocchi, du terrain pliocène du Piémont.
Fig. 46. — *Scalaria scaberrima*, Michelotti, du terrain miocène du Piémont.
Fig. 47. — *Littorina littorea* (*Turbo littoreus*, Lin.), tome III, p. 71, du terrain pliocène d'Asti.

PLANCHE LIX.

MOLLUSQUES GASTÉROPODES PECTINIBRANCHES. — Pyramidellides.

Fig. 1. — *Chemnitzia antiqua* (*Turritella antiqua*, Münster), tome III, p. 75, du terrain dévonien.
Fig. 2. — *Chemnitzia prisca* (*Melania prisca*, Münster), du même terrain.
Fig. 3. — *Chemnitzia rugifera*, de Koninck (*Loxonema rugiferum*, d'Orbigny), du terrain carbonifère.
Fig. 4. — *Chemnitzia subnodosa*, d'Orbigny, du lias moyen.
Fig. 5. — *Chemnitzia undulata*, d'Orbigny, du lias moyen.
Fig. 6. — *Chemnitzia Periniana*, d'Orbigny, du lias moyen.

Fig. 7. — *Chemnitzia condensata* (*Melania condensata*, Deslongchamps), du terrain oxfordien de Normandie.
Fig. 8. — *Chemnitzia variabilis*, Morris et Lycett, de la grande oolithe d'Angleterre.
Fig. 9. — *Chemnitzia Heddingtonensis* (*Melania Heddingtonensis*, Sowerby), du terrain oxfordien.
Fig. 10. — *Chemnitzia lactea* (*Melania lactea*, Lamarck, *M. Stygi*, Brongniart), du calcaire grossier de Grignon.
Fig. 11. — *Turbonilla acicula* (*Auricula acicula*, Lamarck), tome III, p. 82, du terrain tertiaire inférieur de Chaumont.
Fig. 12. — *Turbonilla spina* (*Auricula spina*, Deshayes), du calcaire grossier de Grignon.
Fig. 13. — *Turbonilla turrella* (*Pyramidella turrella*, Melleville), du terrain tertiaire inférieur.
Fig. 14. — *Turbonilla dubia* (*Acteon dubia*, Grateloup), du terrain miocène de Dax.
Fig. 15. — Variété de la même espèce (*Acteon marginalis*, Grateloup).
Fig. 16. — *Machrocheilus Schlotheimi*, d'Archiac et Verneuil, tome III, p. 83, du terrain dévonien du Rhin.
Fig. 17. — *Eulima Phillipsiana*, de Koninck, tome III, p. 84, du terrain carbonifère de Belgique.
Fig. 18. — *Eulima nitida* (*Melania nitida*, Lamarck), du calcaire grossier de Grignon.
Fig. 19. — *Pyramidella elongata* (*Pupa elongata*, Melleville), tome III, p. 86, du terrain tertiaire inférieur de Châlons-sur-Vesle.
Fig. 20. — *Pyramidella terebellata*, Deshayes, du calcaire grossier de Grignon, etc.
Fig. 21. — *Niso terebellum*, Chemnitz, tome III, p. 87, du terrain pliocène du Piémont.
Fig. 22. — *Nerinea salinensis*, d'Orbigny, tome III, p. 88, du terrain portlandien. — *a*, le test ; *b*, le moule.
Fig. 23. — *Nerinea dilatata*, d'Orbigny, du terrain corallien, présentant une coupe médiane.
Fig. 24. — *Nerinea Cabanetiana*, d'Orbigny, du terrain corallien, espèce remarquable par sa forme courte.
Fig. 25. — *Nerinea Renauxiana*, d'Orbigny, du terrain néocomien supérieur (urgonien). Le test a été cassé de manière à montrer une portion du moule.
Fig. 26. — *Nerinea bisulcata*, d'Archiac (*N. Espaillaciana*, d'Orbigny), de la craie blanche, montrant à la fois le test et le moule.

PLANCHE LX.

MOLLUSQUES GASTÉROPODES PECTINIBRANCHES. — Pyramidellides et Naticides.

Fig. 1. — *Nerinea*, rapportée par d'Orbigny à la *N. subpyramidalis*, Münster. — *a*, vue de profil ; *b*, vue du côté de l'ombilic ; *c*, coupe.
Fig. 2. — *Acteon Frearsianus*, d'Orbigny, tome III, p. 94, du terrain oxfordien de Russie.
Fig. 3. — *Acteon biplicatus*, Melleville, des terrains tertiaires inférieurs de Châlons-sur-Vesle.
Fig. 4. — *Avellana incrassata*, d'Orbigny, tome III, p. 97, figurée d'après un échantillon de la perte du Rhône. — Fig. 4, *b*, le moule.
Fig. 5. — *Acteonella gigantea*, d'Orbigny (*Tornatella gigantea*, Lamarck), tome III, p. 99, de la craie blanche ; moitié de la grandeur naturelle.
Fig. 6. — *Acteonella lævis*, d'Orbigny, du terrain turonien d'Uchaux.
Fig. 7. — *Volvaria bulloides*, Lamarck, tome III, p. 99, du calcaire grossier de Grignon, etc.
Fig. 8. — *Ringicula ringens*, Deshayes, tome III, p. 100, du calcaire grossier des environs de Paris.
Fig. 9. — *Ringicula Grateloupi*, d'Orbigny (*Ringicula ringens*, Grateloup), des faluns bleus de Dax.
Fig. 10. — *Ringicula subventricosa*, d'Orbigny (*R. ventricosa*, Grateloup), du même gisement.
Fig. 11. — *Pedipes crassidens*, Melleville, tome III, p. 101, des terrains inférieurs de Châlons-sur-Vesle.
Fig. 12. — *Pedipes ovatus*, d'Orbigny (*Auricula ovata*, Lamarck), du calcaire grossier de Grignon, etc
Fig. 13. — *Acteonina Lorieriana*, d'Orbigny, tome III, p. 102, de l'oolithe inférieure.

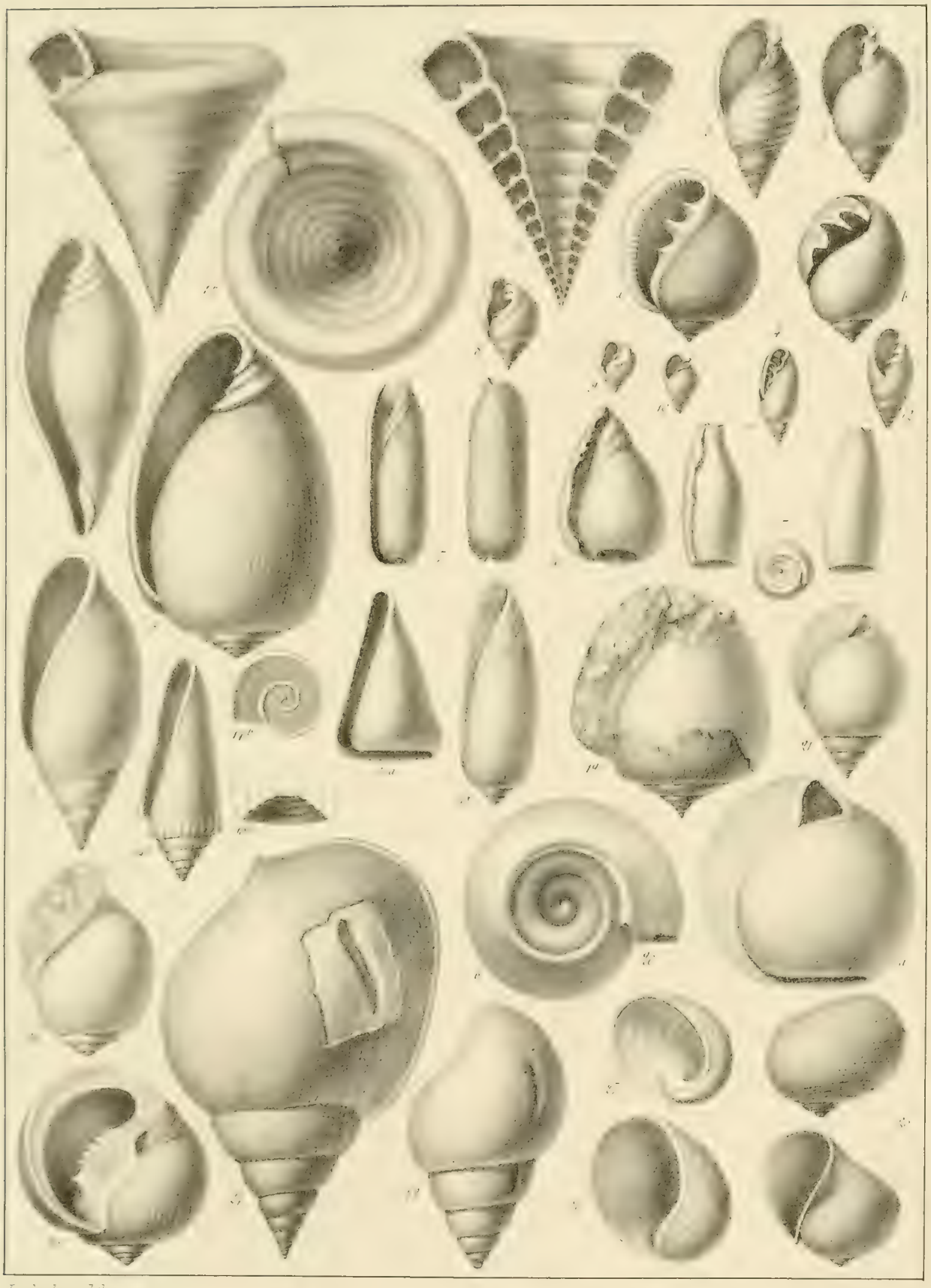

Lackerbauer lith. Imp. Lemercier, Paris

Pyramidellides et Naticides.

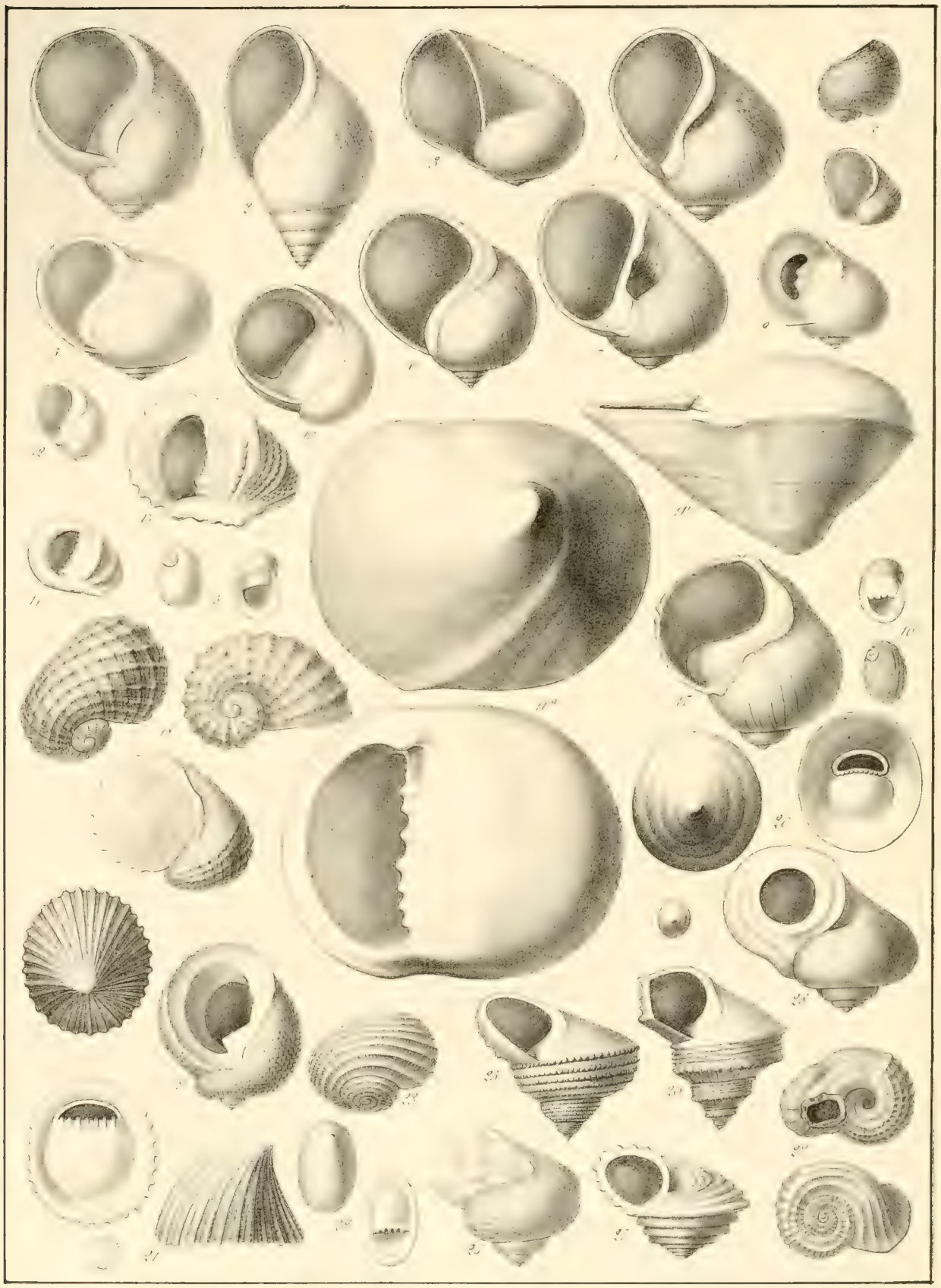

ackerbauer lith

Imp. Lemercier, Paris

Naticides, Néritides, Trochides.

Publié par J. B. Baillière, Libraire à Paris

Fig. 14. — *Acteonina cadomensis*, d'Orbigny (*Conus cadomensis*, Deslongchamps), du lias de Normandie.
Fig. 15. — *Acteonina concava*, d'Orbigny (*Conus concavus*, Deslongchamps), du même gisement.
Fig. 16. — *Acteonina pyriformis* (*Cylindrites pyriformis*, Morris et Lycett), de la grande oolithe d'Angleterre.
Fig. 17. — *Acteonina cylindrica* (*Cylindrites cylindricus*, Morris et Lycett), du même gisement.
Fig. 18. — *Acteonina acuta* (*Cylindrites acutus*, Morris et Lycett), du même gisement.
Fig. 19. — *Acteonina esparcyensis*, d'Orbigny (*Cassis esparcyensis*, d'Archiac), de la grande oolithe d'Esparcy.
Fig. 20. — *Acteonina Marrotiana* (*Globiconcha Marrotiana*, d'Orbigny), de la craie blanche.
Fig. 21. — *Acteonina Fleuriausa* (*Globiconcha Fleuriausa*, d'Orbigny), de la craie supérieure de Royan.
Fig. 22. — *Acteonina Chavannesi*, Pictet et Renevier, du terrain aptien de la perte du Rhône.
Fig. 23. — *Varigera Rochatiana*, d'Orbigny, tome III, p. 106, moule, du terrain aptien de la perte du Rhône.
Fig. 24. — *Pterodonta inflata*, d'Orbigny, tome III, p. 107, du terrain cénomanien.
Fig. 25. — *Narica Genevensis*, Pictet et Roux, tome III, p. 117, du gault des environs de Genève.
Fig. 26. — *Sigaretus clathratus*, Récluz (*S. canaliculatus*, Sowerby), tome III, p. 117, du calcaire grossier des environs de Paris.
Fig. 27. — *Sigaretus turonicus*, Récluz, des faluns de la Touraine.
Fig. 28. — *Deshayesa neritoides* (*Naticella neritoides*, Grateloup), tome III, p. 119, des faluns bleus de Dax.

PLANCHE LXI.

MOLLUSQUES GASTÉROPODES PECTINIBRANCHES. — Naticides, Néritides, Trochides.

Fig. 1. — *Natica plicistria*, Phillips, tome III, p. 108, du terrain carbonifère.
Fig. 2. — *Natica bajocensis*, d'Orbigny, de l'oolithe inférieure, comme type des *Naticæ prælongæ*.
Fig. 3. — *Natica excavata*, Michelin, du gault, comme type des *Naticæ excavatæ*.
Fig. 4. — *Natica Favrina*, Pictet et Roux, du gault.
Fig. 5. — *Natica cæpacea*, Lamarck, du calcaire grossier.
Fig. 6. — *Natica sigaretina*, Lamarck, du calcaire grossier.
Fig. 7. — *Natica millepunctata*, Lamarck, dessinée d'après un individu fossile de l'Astesan.
Fig. 8. — *Velutina virgata*, Wood, tome III, p. 119, du crag corallien d'Angleterre.
Fig. 9. — *Nerita minuta*, Sowerby, tome III, p. 120, de la grande oolithe.
Fig. 10. — *Nerita ovula*, Buvignier, du terrain oxfordien des Ardennes.
Fig. 11. — *Nerita Schmideliana*, Chemnitz, des terrains tertiaires inférieurs.
Fig. 12. — *Nerita consobrina*, Férussac, des terrains tertiaires inférieurs de Cuise-la-Motte.
Fig. 13. — *Nerita granulosa*, Deshayes, du calcaire grossier.
Fig. 14. — *Nerita tricarinata*, Lamarck, du calcaire grossier.
Fig. 15. — *Nerita gregaria*, Thomæ, du terrain miocène de Wiesbaden.
Fig. 16. — *Nerita Rhenana*, Thomæ, du terrain miocène de Wiesbaden.
Fig. 17. — *Neritoma angulata* (*Nerita angulata*, Sowerby), tome III, p. 124, du terrain portlandien d'Angleterre.
Fig. 18. — *Neritopsis Philea*, d'Orbigny, tome III, p. 125, du lias supérieur de Semur.
Fig. 19. — *Neritopsis moniliformis*, Grateloup, des faluns jaunes de Dax.
Fig. 20. — *Pileolus lævis*, Sowerby, tome III, p. 127, de la grande oolithe.
Fig. 21. — *Pileolus radiatus*, d'Orbigny, du terrain corallien de Saint-Mihiel.
Fig. 22. — *Pileolus neritoides*, Deshayes, du calcaire grossier.
Fig. 23. — *Turbo funatus* (*Euomphalus funatus*, Sowerby), tome III, p. 129, du terrain silurien supérieur.
Fig. 24. — *Turbo Wurmii*, Rœmer, du terrain dévonien du Hartz.

Fig. 25. — *Turbo Greslyanus*, Pictet et Roux, du gault.
Fig. 26. — *Turbo Faucignyanus*, Pictet et Roux, du gault.
Fig. 27. — *Turbo sulciferus*, Deshayes, du calcaire grossier de Grignon.
Fig. 28. — *Delphinula reflexilabrum*, d'Orbigny, tome III, p. 141, du lias du Calvados.
Fig. 29. — *Delphinula Warnii*, Defrance, du calcaire grossier.

PLANCHE LXII.

MOLLUSQUES GASTÉROPODES PECTINIBRANCHES. — Trochides.

Fig. 1. — *Phasianella subumbilicata*, d'Orbigny, tome III, p. 137, du lias moyen.
Fig. 2. — *Phasianella striata*, Sowerby, du terrain oxfordien.
Fig. 3. — *Phasianella melanoides*, Deshayes, du calcaire grossier.
Fig. 4. — *Trochus lepidus*, de Koninck, tome III, p. 143, du terrain carbonifère de Belgique.
Fig. 5. — *Trochus glaber*, Koch, du lias d'Allemagne.
Fig. 6. — *Trochus Guyotianus*, Pictet et Roux, du gault de la perte du Rhône.
Fig. 7. — *Trochus monilifer*, Lamarck, du terrain éocène supérieur de Valmondois.
Fig. 8. — *Trochus Araonis*, Grateloup, appartenant au groupe des *Monodonta;* du terrain miocène de Bordeaux.
Fig. 9. — *Trochus cypris*, d'Orbigny (*Monodonta elegans*, Basterot), appartenant au groupe des *Monodonta ;* du terrain miocène de Bordeaux.
Fig. 10. — *Trochus purpureus* (*Monodonta purpurea*, d'Archiac et Verneuil), du terrain dévonien du bassin du Rhin.
Fig. 11. — *Phorus conchyliophorus*, Deshayes, tome III, p. 151, du terrain parisien supérieur.
Fig. 12. — *Solarium alatum* (*Euomphalus alatus*, Wahlenberg), tome III, p. 153, du terrain silurien supérieur de Suède.
Fig. 13. — *Solarium trigonale* (*Euomphalus trigonalis*, Goldfuss), du terrain dévonien du bassin du Rhin.
Fig. 14. — *Solarium læve* (*Euomphalus lævis*, d'Archiac et Verneuil), des mêmes gisements.
Fig. 15. — *Solarium pugile* (*Euomphalus pugilus*, Phillips), du calcaire carbonifère.
Fig. 16. — *Solarium serratum* (*Schizostoma serrata*, Munster), de Saint-Cassian.
Fig. 17. — *Solarium tuberculosum* (*Straparolus tuberculosus*, d'Orbigny), de l'oolithe inférieure.
Fig. 18. — *Solarium Baugieri*, d'Orbigny, de l'oolithe inférieure.
Fig. 19. — *Solarium Martinianum* (*Straparolus Martinianus*, d'Orbigny), du gault.
Fig. 20. — *Solarium cirroide*, Brongniart, du gault.
Fig. 21. — *Solarium marginatum*, Deshayes, des sables inférieurs du Soissonnais.
Fig. 22. — *Bifrontia disjuncta*, Deshayes, tome III, p. 161, du calcaire grossier.
Fig. 23. — *Bifrontia laudinensis*, Deshayes, des terrains tertiaires inférieurs de Cuise-la-Motte.
Fig. 24. — *Serpularia serpula*, d'Orbigny (*Euomphalus serpula*, de Koninck), tome III, p. 162, du calcaire carbonifère de Belgique.
Fig. 25. — *Scalites angulatus*, Hall, tome III, p. 163, du terrain silurien inférieur des États-Unis.
Fig. 26. — *Scalites staminea* (*Raphistoma staminea*, Hall), du même gisement.
Fig. 27. — *Pitonnellus conicus*, d'Orbigny, tome III, p. 164, du lias supérieur de Normandie. — Fig. 27, *a*, la coquille de grandeur naturelle.
Fig. 28. — *Pitonnellus Archiacianus*, d'Orbigny (*Rotella Archiaciana*, id.), du terrain cénomanien du Mans.
Fig. 29. — *Helicocryptus pusillus*, d'Orbigny, tome III, p. 165, du terrain corallien de Saint-Mihiel. — Fig. 29, *a*, la coquille de grandeur naturelle.

Trochides.

Publié par J.B. Baillière Libraire à Paris

P. Lackerbauer lith.

Haliotides et Cypréades.

Publié par J. B. Baillière Libraire à Paris

PLANCHE LXIII.

MOLLUSQUES GASTÉROPODES PECTINIBRANCHES. — Haliotides et Cypréades.

Fig. 1. — *Stomatia carinata*, Buvignier, tome III, p. 165, du terrain corallien de Saint-Mihiel.
Fig. 2. — *Stomatia gaultina*, Pictet et Roux, du gault des environs de Genève.
Fig. 3. — *Pleurotomaria callosa*, de Koninck, tome III, p. 168, du terrain carbonifère de Belgique.
Fig. 4. — *Pleurotomaria bitorquata*, d'Orbigny, du lias moyen.
Fig. 5. — *Pleurotomaria hyphanta*, Deslongchamps, du même gisement.
Fig. 6. — *Pleurotomaria platyspira*, d'Orbigny, id.
Fig. 7. — *Pleurotomaria Thurmanni*, Pictet et Roux, du gault des environs de Genève.
Fig. 8. — *Pleurotomaria regina*, Pictet et Roux, du même gisement.
Fig. 9. — *Pleurotomaria Allobrogensis*, Pictet et Roux, du gault de la perte du Rhône.
Obs. Dans les figures 4, 5 et 9, la lettre *a* désigne la *bande du sinus*.
Fig. 10. — *Pleurotomaria concava*, Deshayes, du calcaire grossier du bassin de Paris.
Fig. 11. — *Scissurella aspera*, Philippi, tome III, p. 175, des terrains tertiaires supérieurs de Calabre.
Fig. 12. — *Murchisonia bigranulosa*, d'Archiac et Verneuil, tome III, p. 176, du terrain dévonien du bassin du Rhin.
Fig. 13. — *Murchisonia intermedia*, d'Archiac et Verneuil, du même gisement.
Fig. 14. — *Murchisonia subsulcata*, de Koninck, du terrain carbonifère de Belgique.
Fig. 15. — *Catantostoma clathratum*, Sandberger, tome III, p. 178, des terrains dévoniens de Wilmar.
Fig. 16. — *Porcellia puzo*, Léveillé, tome III, p. 178, des terrains carbonifères de Belgique.
Fig. 17. — *Trochotoma amata*, d'Orbigny, tome III, p. 179, du terrain corallien de France.
Fig. 18. — *Trochotoma affinis*, Deslongchamps, de l'oolithe inférieure de Normandie.
Fig. 19. — *Cirrus spinosus*, Goldfuss (*Eumphalus Goldfussi*, d'Archiac et Verneuil), tome III, p. 180, du terrain dévonien du bassin du Rhin.
Fig. 20. — *Polytremaria catenata*, de Koninck, tome III, p. 182, des terrains carbonifères de Belgique. — *a*, bande du sinus, grossie.
Fig. 21. — *Haliotis tuberculata*, Linné, tome III, p. 182, dessinée d'après un échantillon fossile d'Asti.
Fig. 22. — *Haliotis monilifera*, Bonelli, des terrains miocènes du Piémont.
Fig. 23. — *Cypræa elegans*, Defrance, tome III, p. 184, du calcaire grossier des environs de Paris.
Fig. 24. — *Cypræa crenata*, Deshayes, du même gisement.
Fig. 25. — *Cypræa*, rapportée par M. Hornes à la *C. fabagina*, Lamarck, des terrains miocènes du bassin de Vienne.
Fig. 26. — *Cypræa*, rapportée par le même auteur à la *C. affinis*, Dujardin, du même gisement.
Fig. 27. — *Cypræa Angliæ*, Wood, du crag d'Angleterre.
Fig. 28. — *Ovula tuberculosa*, Duclos, tome III, p. 186, des terrains tertiaires inférieurs de Cuise-la-Motte.
Fig. 29. — *Ovula*, rapportée par M. Hornes à l'*O. spelta*, Lamarck, des terrains miocènes du bassin de Vienne.
Fig. 30. — *Ovula Leathesii*, Wood, du crag d'Angleterre.
Fig. 31. — *Erato lævis*, Don., tome III, p. 188, des terrains miocènes du bassin de Vienne.
Fig. 32. — *Erato Maugeriæ*, Sowerby, du crag d'Angleterre.
Fig. 33. — *Marginella ovulata*, Deshayes, tome III, p. 188, du calcaire grossier du bassin de Paris.
Fig. 34. — *Marginella eburnea*, Lamarck, du même gisement.
Fig. 35. — *Marginella angystoma*, Deshayes, du même gisement.
Fig. 36. — *Marginella ampulla*, Deshayes, des sables tertiaires supérieurs de Valmondois.
Fig. 37. — *Marginella miliacea*, Lamarck, des terrains tertiaires du bassin de Vienne.

PLANCHE LXIV.

MOLLUSQUES GASTÉROPODES PECTINIBRANCHES. — Olivides, Strombides et Conides.

Fig. 1. — *Terebellum convolutum*, Lamarck, tome III, p. 190, du calcaire grossier du bassin de Paris.
Fig. 2. — *Terebellum fusiforme*, Lamarck, des terrains tertiaires inférieurs de Cuise-la-Motte.
Fig. 3. — *Oliva Branderi*, Sowerby, tome III, p. 191, des terrains éocènes supérieurs d'Angleterre et de France.
Fig. 4. — *Oliva flammulata*, Lamarck (*O. Noe*, d'Orbigny), des terrains tertiaires du bassin de Vienne.
Fig. 5. — *Ancillaria canalifera*, Lamarck, tome III, p. 193, du calcaire grossier et des sables inférieurs du bassin de Paris.
Fig. 6. — *Ancillaria glandina*, Deshayes, du calcaire grossier du bassin de Paris.
Fig. 7. — *Ancillaria obsoleta*, Brocchi, des terrains miocènes du bassin de Vienne.
Fig. 8. — *Ancillaria glandiformis*, Lamarck, du même gisement.
Fig. 9. — Variété de la même espèce décrite sous le nom d'*Ancillaria olivula*, Lamarck.
Fig. 10. — *Strombus ornatus*, Deshayes, tome III, p. 195, du calcaire grossier du bassin de Paris.
Fig. 11. — *Strombus Mercati*, Deshayes (*Strombus italicus*, Bonelli), des terrains pliocènes d'Italie.
Fig. 12. — *Pterocera paradoxa*, Eudes Deslongchamps, tome III, p. 197, de la grande oolithe de Normandie.
Fig. 13. — *Pterocera Oceani*, Alex. Brongniart, du terrain kimméridgien.
Fig. 14. — *Pterocera Pelagi*, Alex. Brongniart, du terrain néocomien supérieur de la perte du Rhône.
Fig. 15. — *Pterocera Rochatiana*, d'Orbigny, du terrain aptien de la perte du Rhône.
Fig. 16. — *Rostellaria trifida*, Phillips, tome III, p. 200, du terrain jurassique de Normandie.
Fig. 17. — *Rostellaria myurus*, Eudes Deslongchamps, de l'oolithe inférieure de Normandie.
Fig. 18. — *Rostellaria ornata*, d'Orbigny, du terrain turonien d'Uchaux.
Fig. 19. — *Rostellaria Requieniana*, d'Orbigny, du même gisement.
Fig. 20. — *Rostellaria lævigata*, Melleville, des terrains tertiaires inférieurs de Laon.
Fig. 21. — *Rostellaria Hupei*, Alex. Rouault, du terrain nummulitique des environs de Pau.
Fig. 22. — *Rostellaria fissurella*, Lamarck, du terrain tertiaire du bassin de Paris.
Fig. 23. — *Rostellaria pes pelicani*, Lamarck, du crag d'Angleterre.
Fig. 24. — La même espèce, échantillon plus adulte.
Fig. 25. — Coupe d'un cône, tome III, p. 207, pour montrer la manière dont les tours se réabsorbent.
Fig. 26. — *Conus tuberculatus*, Dujardin, de la craie blanche des environs de Tours.
Fig. 27. — *Conus diversiformis*, Deshayes, du calcaire grossier du bassin de Paris.
Fig. 28. — *Conus bicoronatus*, Melleville, des terrains tertiaires inférieurs de Cuise-la-Motte.
Fig. 29. — *Conus extensus*, Partsch, des terrains miocènes du bassin de Vienne.
Fig. 30. — *Conus raristriatus*, Bellardi, du même terrain.

PLANCHE LXV.

MOLLUSQUES GASTÉROPODES PECTINIBRANCHES. — Volutides et Muricides.

Fig. 1. — *Voluta Requieniana*, d'Orbigny, tome III, p. 210, du terrain crétacé d'Uchaux.
Fig. 2. — *Voluta cithara*, Lamarck, du calcaire grossier de Grignon.
Fig. 3. — *Voluta mitrata*, Deshayes, du même gisement.
Fig. 4. — *Voluta rarispina*, Lamarck, des terrains miocènes de Vienne.
Fig. 5. — *Voluta Lamberti*, Sowerby, du crag d'Angleterre.

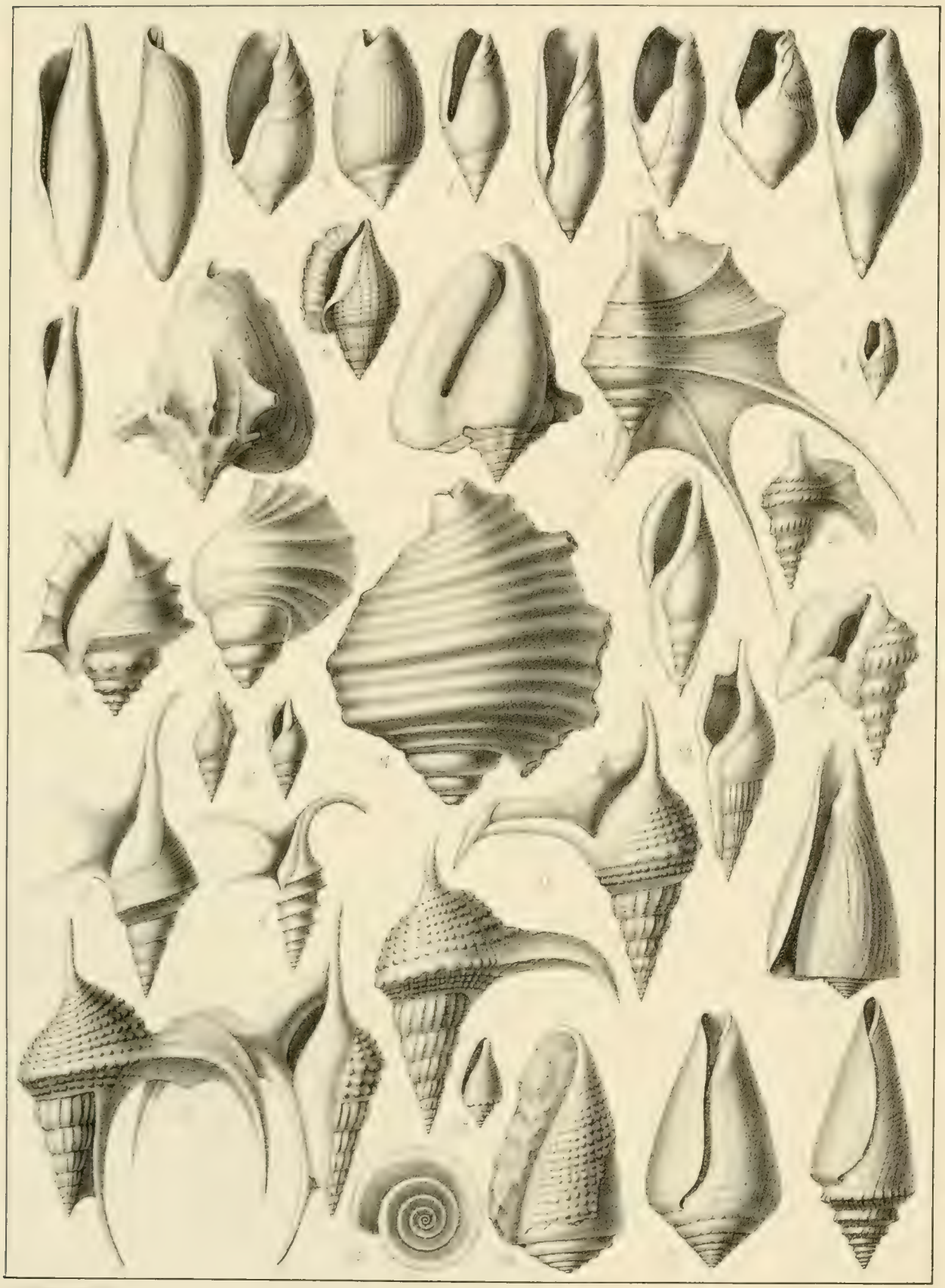

Olivides. Strombides. Conides.

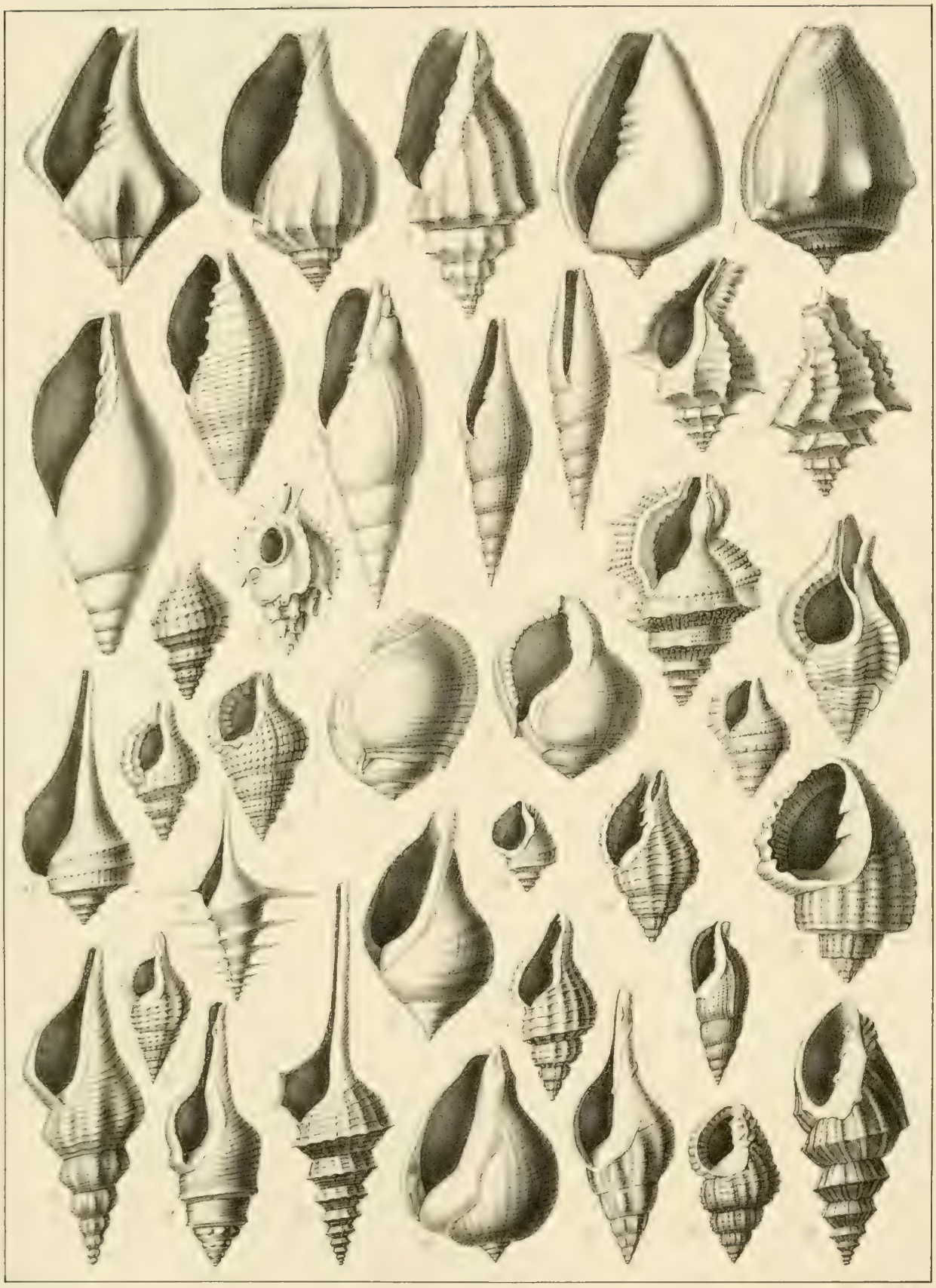

Volutides et Muricides.

Libraire à Paris

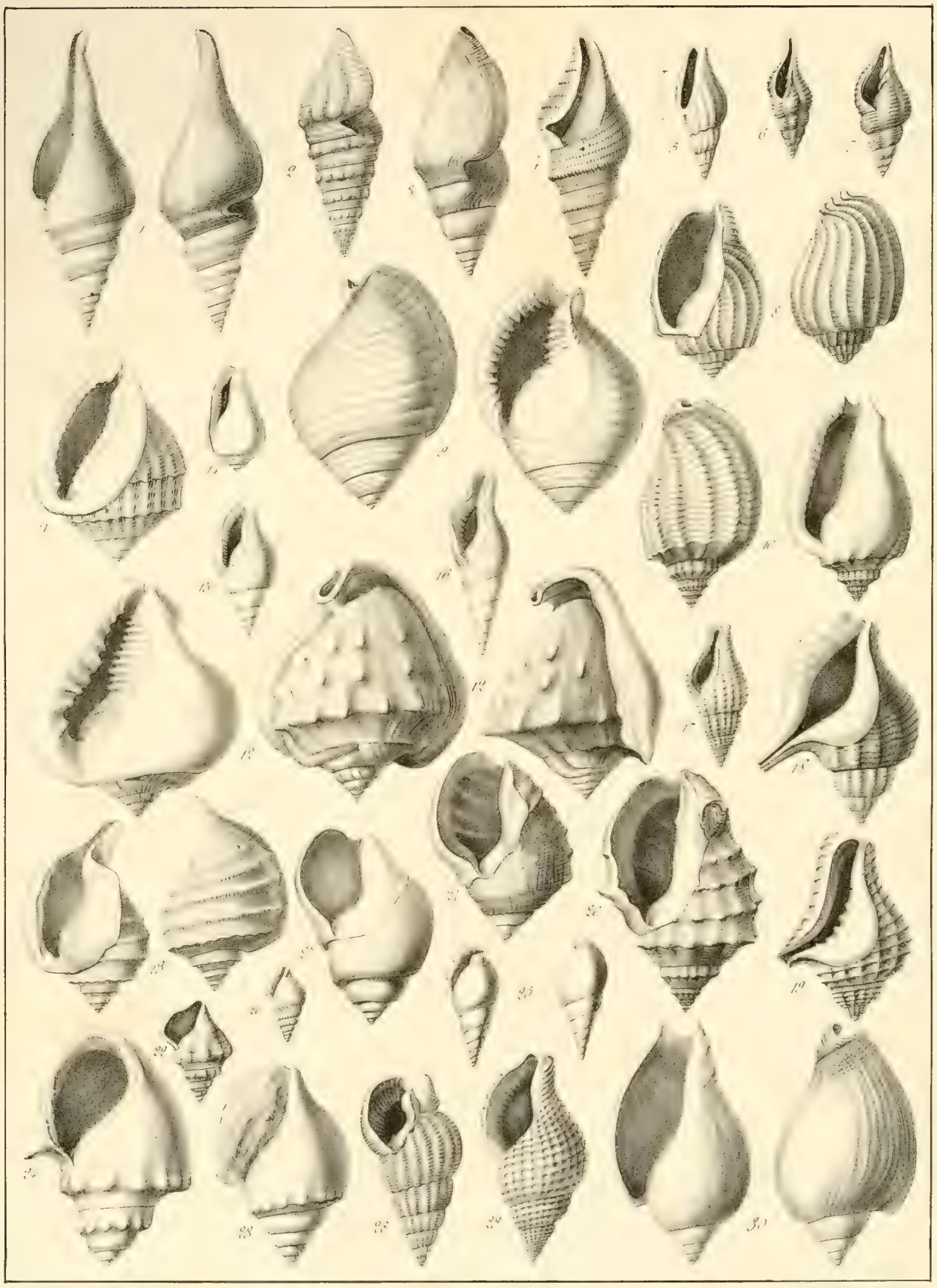

Muricides et Buccinides.

Publié par J F

Fig. 6. — *Mitra cassisiana*, d'Orbigny, tome III, p. 214, du terrain cénomanien de Cassis.
Fig. 7. — *Mitra elongata*, Lamarck, du calcaire grossier du bassin de Paris.
Fig. 8. — *Mitra Lajoyi*, Deshayes, des grès marins supérieurs de Valmondois.
Fig. 9. — *Mitra scrobiculata*, Brocchi, du bassin de Vienne.
Fig. 10. — *Murex calcitrapa*, Lamarck, tome III, p. 217, du calcaire grossier de Grignon.
Fig. 11. — *Murex tricarinoides*, Deshayes, du même gisement.
Fig. 12. — *Typhis tubifer*, Deshayes (*Murex fistulosus*, Sowerby), tome III, p. 219, du même gisement.
Fig. 13. — *Ranella Deshayesi*, Michelotti, tome III, p. 220, des terrains miocènes du Piémont.
Fig. 14. — *Ranella Grateloupi*, d'Orbigny, des terrains miocènes du bassin de Bordeaux.
Fig. 15. — *Ranella lævigata*, Lamarck, des terrains miocènes et pliocènes du Piémont.
Fig. 16. — *Triton viperinum*, Lamarck, tome III, p. 221, du calcaire grossier de Paris.
Fig. 17. — *Triton Lejeunei*, Melleville, des terrains tertiaires inférieurs de Cuise-la-Motte.
Fig. 18. — *Triton nodularium*, Lamarck, d'après un individu du terrain nummulitique de Pau.
Fig. 19. — *Spinigera longispina*, Deslongchamps, tome III, p. 223, de l'oolithe inférieure de Normandie.
Fig. 20. — *Fusus Renauxianus*, d'Orbigny, tome III, p. 224, du terrain crétacé d'Uchaux.
Fig. 21. — *Fusus Noe*, Lamarck, du calcaire grossier de Paris.
Fig. 22. — *Fusus serratus*, Deshayes, du même gisement.
Fig. 23. — *Fusus bulbiformis*, Lamarck, du même gisement.
Fig. 24. — *Pyrula lævigata*, Lamarck, tome III, p. 228, du même gisement.
Fig. 25. — *Pyrula nexilis*, Lamarck, du même gisement.
Fig. 26. — *Trichotropis borealis*, Broderip, tome III, p. 230, du crag d'Angleterre.
Fig. 27. — *Fasciolaria funiculosa*, Deshayes, tome III, p. 230, du calcaire grossier des environs de Paris.
Fig. 28. — *Fasciolaria uniplicata* (*Fusus uniplicatus*, Lamarck), du même gisement.
Fig. 29. — *Turbinella parisiensis*, Deshayes, tome III, p. 232, des grès supérieurs de Valmondois.
Fig. 30. — *Cancellaria volutella*, Lamarck, tome III, p. 233, du calcaire grossier.
Fig. 31. — *Cancellaria evulsa*, Sowerby, du même gisement.
Fig. 32. — *Cancellaria scabra*, Deshayes, des terrains pliocènes du Piémont.
Fig. 33. — *Cancellaria lyrata*, Bellardi, des terrains miocènes du Piémont.

PLANCHE LXVI.

MOLLUSQUES GASTÉROPODES PECTINIBRANCHES. — Muricides et Buccinides.

Fig. 1. — *Pleurotoma transversaria*, Lamarck, tome III, p. 235, du calcaire grossier de Paris.
Fig. 2. — *Pleurotoma uniserialis*, Deshayes, du même gisement.
Fig. 3. — *Pleurotoma labiata*, Deshayes, du même gisement.
Fig. 4. — *Pleurotoma cataphracta*, Brocchi, des terrains miocènes du Piémont.
Fig. 5. — *Pleurotoma cærulans*, Bellardi (sous-genre des *Raphitoma*), des terrains pliocènes du Piémont.
Fig. 6. — *Cordieria pyrenaica*, Rouault, tome III, p. 239, des terrains nummulitiques.
Fig. 7. — *Cordieria Biarritzina*, Rouault, des terrains nummulitiques de Pau.
Fig. 8. — *Harpa elegans*, Deshayes, tome III, p. 241, des grès supérieurs de Valmondois.
Fig. 9. — *Dolium denticulatum*, Deshayes, tome III, p. 242, des terrains tertiaires de Vienne.
Fig. 10. — *Oniscia cithara*, Sowerby, tome III, p. 243, du même gisement.
Fig. 11. — *Cassis cancellata*, Lamarck, tome III, p. 243, du calcaire grossier des environs de Paris.
Fig. 12. — *Cassis mamillaris*, Grateloup, des terrains tertiaires de Vienne.
Fig. 13. — *Morio nodosus*, d'Orbigny, rapporté par M. Deshayes à la *Cassidaria carinata*, Lamarck, tome III, p. 244, du calcaire grossier des environs de Paris.

Fig. 14. — *Columbella discors*, Deshayes, tome III, p. 246 (groupe des *Strombiformes*) des terrains miocènes du Piémont.
Fig. 15. — *Columbella curta*, Bellardi (groupe des *Nassæformes*), du même gisement.
Fig. 16. — *Columbella nassoides*, Bellardi (groupe des *Fusiformes*), des terrains miocènes et pliocènes du Piémont.
Fig. 17. — *Columbella Bellardii*, Hornes, des terrains tertiaires de Vienne.
Fig. 18. — *Columbellina monodactylus*, d'Orbigny, tome III, p. 248, du terrain néocomien de Marolles.
Fig. 19. — *Columbellina ornata*, d'Orbigny, du terrain cénomanien.
Fig. 20. — *Purpura hæmastoma*, Linné, tome III, p. 248, des terrains tertiaires de Vienne.
Fig. 21. — *Purpura exilis*, Partsch, du même gisement.
Fig. 22. — *Purpuroidea Thorenti* (*Fusus Thorenti*, d'Archiac), tome III, p. 250, de la grande oolithe du bois d'Éparcy.
Fig. 23. — *Purpuroidea glabra* (*Purpura glabra*, Buvignier), de la grande oolithe d'Angleterre.
Fig. 24. — *Purpuroidea nodulata*, Morris et Lycett, du même gisement.
Fig. 25. — *Ceritella acuta*, Morris et Lycett, du même gisement, tome III, p. 251.
Fig. 26. — *Ceritella conica*, Morris et Lycett, du même gisement.
Fig. 27. — *Buccinum eburnoide* (*Buccinanops eburnoides*, d'Orbigny), tome III, p. 252, des terrains miocènes du bassin de Vienne.
Fig. 28. — *Buccinum prismaticum* (*Nassa prismatica*, Brocchi), du même gisement.
Fig. 29. — *Buccinum decussatum*, Lamarck, du calcaire grossier des environs de Paris.
Fig. 30. — *Buccinum stromboide*, Lamarck, du même gisement.

PLANCHE LXVII.

MOLLUSQUES GASTÉROPODES PECTINIBRANCHES. — Buccinides, Vermétides, Crépidulides.

Fig. 1. — *Buccinum thiara*, Deshayes, tome III, p. 253, des terrains éocènes inférieurs de Bracheux, type du groupe des *Sulcobuccinum*.
Fig. 2 et 3. — *Buccinum fissuratum*, Deshayes, du même gisement, et appartenant au même groupe.
Fig. 4. — *Buccinum patulum*, Deshayes, des grès éocènes supérieurs de Valmondois, du groupe du *Bullia*.
Fig. 5. — *Terebra plicatula*, Lamarck, tome III, p. 256, du calcaire grossier de Grignon.
Fig. 6. — *Terebra fuscata*, Brocchi, des terrains miocènes et pliocènes.
Fig. 7. — *Terebra pertusa*, Basterot, du terrain miocène.
Fig. 8. — *Cerithium Brongniarti*, d'Archiac, tome III, p. 258, de la grande oolithe d'Éparcy.
Fig. 9. — *Cerithium aptiense*, d'Orbigny, du terrain aptien.
Fig. 10. — *Cerithium excavatum*, Brongniart, du gault.
Fig. 11. — *Cerithium hexagonum*, Lamarck, des terrains éocènes supérieurs.
Fig. 12. — *Cerithium cinctum*, Lamarck, du même gisement.
Fig. 13. — *Cerithium tricarinatum*, Lamarck, du même gisement.
Fig. 14. — *Cerithium crenatum*, Brocchi, du terrain pliocène d'Asti.
Fig. 15. — *Triforis plicatus*, Deshayes, tome III, p. 263, des terrains éocènes supérieurs de Valmondois.
Fig. 16. — *Vermetus Rouyanus*, d'Orbigny, tome III, p. 265, des terrains aptiens du département de l'Aube.
Fig. 17. — *Vermetus triqueter*, Bivona, des terrains pliocènes d'Asti.
Fig. 18. — *Vermetus glomeratus*, Bivona, des terrains quaternaires de Sicile.

Imp. E. Mercier, Paris

Buccinides, Vermétides, Crèpidulides.

Lakerbauer lith. Imp. Lemercier Paris.

Crépidulides et Fissurellides.

Publié par J. B. Baillière, Libraire à Paris

Fig. 19. — *Siliquaria spinosa*, Lamarck, tome III, p. 267, du calcaire grossier.
Fig. 20. — *Siliquaria lima*, Lamarck, du même gisement.
Fig. 21. — *Siliquaria sulcata*, Defrance, d'origine douteuse.
Fig. 22. — *Siliquaria anguina*, Lamarck, des terrains pliocènes d'Asti.
Fig. 23. — *Capulus radiatus*, Lamarck, vivant, tome III, p. 270, figuré pour montrer le support sécrété et ses impressions musculaires.
Fig. 24. — *Capulus trochleatus*, Munster, du terrain dévonien de Shubelhammer, type des espèces à crochets enroulés.
Fig. 25. — *Capulus priscus*, Goldfuss, du terrain dévonien de l'Eifel, type des espèces à ouvertures tubulaires.
Fig. 26. — *Capulus trigonus*, Goldfuss, du même gisement, type des espèces élevées, à crochets peu enroulés.
Fig. 27. — *Capulus psittacinus*, Sandberger, du terrain dévonien du duché de Nassau.
Fig. 28 et 29. — *Capulus vetustus*, de Koninck, du terrain carbonifère, type des espèces à bord sinueux.
Fig. 30. — *Capulus Hartlebenii*, Dunker, du muschelkalk d'Allemagne.
Fig. 31. — *Capulus miliaris*, Muller, des terrains crétacés supérieurs de Vaels.
Fig. 32. — *Capulus elegans*, Lamarck, du calcaire grossier.
Fig. 33. — *Capulus cornucopiæ*, id., du même gisement.
Fig. 34. — *Capulus sulcatus*, Borson, du terrain miocène du Piémont.

PLANCHE LXVIII.

MOLLUSQUES GASTÉROPODES PECTINIBRANCHES. — Crépidulides et Fissurellides.

Fig. 1. — *Brocchia sinuosa*, Bronn, tome III, p. 273, du terrain pliocène d'Asti.
Fig. 2. — *Brocchia lævis*, Bronn, du même gisement.
Fig. 3. — *Spiricella unguiculus*, Rang, tome III, p. 274, des terrains miocènes de Mérignac (grossie).
Fig. 4. — *Dispotea costata*, Conrad, tome III, p. 274, des terrains tertiaires de l'Amérique septentrionale.
Fig. 5. — *Calyptræa equestris*, Linné, vivante, tome III, p. 275, figurée pour montrer les véritables caractères du genre.
Fig. 6. — *Calyptræa deformis*, Lamarck, des terrains miocènes de Bordeaux.
Fig. 7. — *Infundibulum cretaceum*, d'Orbigny, tome III, p. 278, de la craie de Royan.
Fig. 8. — *Infundibulum trochiforme*, Lamarck, d'Orbigny, du calcaire grossier.
Fig. 9. — *Infundibulum crepidulare*, Lamarck, d'Orbigny, du même gisement.
Fig. 10. — *Infundibulum sinense*, Linné, d'Orbigny, des terrains tertiaires récents.
Fig. 11. — *Crepidula unguis*, d'Orbigny, tome III, p. 278, des terrains miocènes et pliocènes.
Fig. 12. — *Parmaphorus Bellardii*, Michelotti, tome III, p. 280, des terrains miocènes du Piémont.
Fig. 13. — *Emarginula Munsteri*, Pictet (*Em. Goldfussii*, Munster, non Roemer), tome III, p. 281, de Saint-Cassian.
Fig. 14. — *Emarginula scalaris*, Sowerby, de la grande oolithe d'Angleterre.
Fig. 15. — *Emarginula Guerangueri*, d'Orbigny, du terrain cénomanien du Mans.
Fig. 16. — *Emarginula pelagica*, Passy, des craies chloritées de Rouen.
Fig. 17. — *Emarginula clypeata*, Lamarck, du calcaire grossier de Grignon.
Fig. 18. — *Emarginula clathrata*, Deshayes, du calcaire grossier de Parnes.
Fig. 19. — *Rimula clathrata*, Sowerby, de la grande oolithe d'Angleterre, tome III, p. 283.
Fig. 20. — *Rimula Blainvillii*, Defrance, du calcaire grossier d'Hauteville (Manche).
Fig. 21. — *Rimula Noachina*, Linné, Wood, du crag récent d'Angleterre.
Fig. 22. — *Fissurella conoidea*, Goldfuss, tome III, p. 284, des terrains dévoniens de l'Eifel.
Fig. 23. — *Fissurella patelloidea*, Reuss, du plaener kalk de l'Allemagne.

Fig. 24. — *Fissurella acuta*, Sowerby, de la grande oolithe d'Angleterre.
Fig. 25. — *Fissurella labiata*, Lamarck, du calcaire grossier de Grignon.
Fig. 26. — *Fissurella neglecta*, Deshayes (*F. italica*, Defrance), des terrains miocènes du Piémont.

PLANCHE LXIX.

MOLLUSQUES GASTÉROPODES. — Fissurellides, Acméides, Cyclobranches et Dentalides.

Fig. 1. — *Bellerophon vasulites*, Montfort, tome III, p. 287, du terrain carbonifère, comme exemple des espèces carénées et non ombiliquées.
Fig. 2. — *Bellerophon cornu arietis*, Sow., du même terrain, comme exemple des espèces carénées et ombiliquées.
Fig. 3. — *Bellerophon bicarenus*, Léveillé, du même terrain, comme exemple des espèces à sillon dorsal.
Fig. 4. — *Bellerophon expansus*, Hall, des terrains siluriens inférieurs d'Amérique, comme type du groupe des *Bucania*.
Fig. 5. — *Bellerophon bilobatus*, d'Orbigny, du terrain silurien inférieur.
Fig. 6. — *Bellerophina Vibrayei*, d'Orbigny, tome III, p. 291, du gault de Dienville.
Fig. 7. — *Siphonaria bisiphites*, Michelin, tome III, p. 292, des faluns miocènes de Dax.
Fig. 8. — *Patella rugosa* (*Metoptoma rugosa*, Hall), tome III, p. 294, du terrain silurien inférieur de l'Amérique.
Fig. 9. — *Patella solaris*, de Koninck, du terrain carbonifère, comme exemple des véritables *Metoptoma*, tome III, p. 294.
Fig. 10. — *Patella rugosa*, Sowerby, de la grande oolithe d'Angleterre.
Fig. 11. — *Patella paradoxa*, Morris et Lycett, du même gisement.
Fig. 12. — *Patella virdunensis*, Buvignier, du terrain corallien du département de la Meuse.
Fig. 13. — *Patella gaultina* (*Acmœa gaultina*, Pictet et Roux), du gault de la perte du Rhône.
Fig. 14. — *Patella costaria*, Deshayes, des terrains éocènes supérieurs de Valmondois.
Fig. 15. — *Patella elongata* (*Parmaphorus elongatus*, Lamarck), du calcaire grossier du bassin de Paris.
Fig. 16. — *Patella polygona*, Sismonda, du terrain miocène du Piémont.
Fig. 17. — *Delongchampsia Eugenii*, M'Coy, tome III, p. 299, de la grande oolithe d'Angleterre.
Fig. 18. — *Chiton priscus*, Münster, tome III, p. 300, du terrain carbonifère.
Fig. 19. — *Chiton corrugatus*, Roemer, du terrain dévonien de Nassau.
Fig. 20. — *Dentalium priscum*, Münster, tome III, p. 303, du terrain carbonifère de Tournay.
Fig. 21. — *Dentalium ornatum*, de Koninck, du calcaire carbonifère de Visé.
Fig. 22. — *Dentalium Rhodani*, Pictet et Roux, du gault de la perte du Rhône. — *a*, moule; *b*, fragment du test.
Fig. 23. — *Dentalium Mosæ*, Bronn, du terrain crétacé supérieur de Maestricht.
Fig. 24. — *Dentalium subeburneum*, d'Orbigny, du calcaire grossier du bassin de Paris.
Fig. 25. — *Dentalium abbreviatum*, Deshayes, des dépôts éocènes inférieurs de Cuise-la-Motte.
Fig. 26. — *Dentalium coarctatum*, Lamarck, des terrains miocènes du Piémont.
Fig. 27. — *Dentalium fossile*, Linné, du même gisement.
Fig. 28. — *Dentalium Bouei*, Deshayes, du même gisement.
Fig. 29. — *Dentalium asperum*, Michelotti, du même gisement.

Fissurellides, Acméides, Cyclobranches, Dentalides.

Lackerbauer lith. Imp. Lemercier, Paris.

Tectibranches, Hétéropodes, Ptéropodes

Caractères généraux des ACÉPHALES

Publié par J.B. Baillière, libraire à Paris

PLANCHE LXX.

MOLLUSQUES GASTÉROPODES et ACÉPHALES. — Tectibranches, Hétéropodes, Ptéropodes — Caractères généraux des Acéphales.

Fig. 1. — *Umbrella Laudinensis*, Melleville, tome III, p. 307, des sables tertiaires inférieurs de Laon.
Fig. 2. — *Bulla Micheliniana*, Buvignier, tome III, p. 309, des terrains kimméridgiens du département de la Meuse.
Fig. 3. — *Bulla semistriata*, Deshayes, des terrains tertiaires inférieurs de Soissons.
Fig. 4. — *Bulla ovulata*, Lamarck, du calcaire grossier du bassin de Paris.
Fig. 5. — *Bulla plicata*, Deshayes, du même gisement.
Fig. 6. — *Bulla striatella*, Lamarck, du même gisement, comme exemple du groupe des *Bulina*.
Fig. 7. — *Bulla Lajonkaireana*, Basterot, des terrains miocènes.
Fig. 8. — *Scaphander parisiensis*, d'Orbigny, tome III, p. 312, des terrains tertiaires inférieurs de Cuise-la-Motte.
Fig. 9. — *Scaphander lignarius* (*Bulla lignaria*, Lin.), d'après un échantillon du crag.
Fig. 10. — *Philina striata* (*Bullæa striata*, Desh.), tome III, p. 313, du calcaire grossier de Grignon.
Fig. 11. — *Philina quadrata* (*Bullæa quadrata*, Wood), du crag.
Fig. 12. — *Carinaria Hugardi*, Bellardi, tome III, p. 314, du terrain tertiaire miocène de Turin.
Fig. 13. — *Limacina stenogyra* (*Scæa stenogyra*, Phil., *Peracle physoides*, Forbes), tome III, p. 317, des terrains quaternaires de Sicile.
Fig. 14. — *Hyalæa uncinata*, Rang, vivante, tome III, p. 317, figurée pour montrer plus clairement les caractères de la coquille.
Fig. 15. — *Hyalæa aquensis*, Grateloup, des faluns jaunes de Dax.
Fig. 16. — *Clio depressa* (*Vaginella depressa*, Daudin), *Creseis vaginella*, Rang, *Cleodora strangulata*, Desh., tome III, p. 318, des terrains tertiaires miocènes de Bordeaux.
Fig. 17. — *Clio infundibulum* (*Cleodora infundibulum*, Wood), du crag.
Fig. 18. — Espèce des terrains subapennins du Piémont, rapportée à la *Clio lanceolata*, Péron et Lesueur.
Fig. 19. — *Triptera astesana* (*Cuvieria astesana*, Rang), tome III, p. 319, des terrains subapennins du Piémont.
Fig. 20. — *Conularia ornata*, d'Archiac et de Verneuil, tome III, p. 319, des terrains dévoniens du bassin du Rhin.
Fig. 21. — *Coleoprion gracilis*, Sandberger, tome III, p. 320, du terrain dévonien d'Oberlahnstein.
Fig. 22. — *Pugiunculus striatulus*, Barrande, tome III, p. 321, des terrains siluriens de Bohême.
Fig. 23. — *Trigonella piperata*, Deshayes, d'après M. Deshayes, vivante, pour montrer les principaux traits de l'organisation des mollusques acéphales, tome III, p. 322. — *a*, le bord du manteau; *b*, cul-de-sac destiné à recevoir les siphons pendant la contraction de l'animal; *c*, muscle rétracteur des siphons; *d*, siphon branchial, destiné à amener l'eau aux branchies : cet organe a été coupé près de la coquille, il était beaucoup plus long qu'elle; *e*, ouverture interne du même siphon; *f*, siphon anal, coupé comme le siphon branchial : il est encore beaucoup plus long; *g*, ouverture interne du même siphon; *h*, section du muscle postérieur adducteur des valves (muscle anal); *i*, section du muscle antérieur ou buccal; *k*, le pied; *l*, les deux palpes labiaux couvrant l'entrée de la bouche; *m*, portion du foie; *n*, les feuillets branchiaux; *o*, le cœur.
Fig. 24. — *Lutraria oblonga*, Turton, vivante, dans sa position naturelle, l'animal et la coquille (moitié de grandeur naturelle). — *p*, les deux siphons réunis en un seul tube; *q*, le pied.
Fig. 25. — Valve gauche de la coquille de la même espèce, de grandeur naturelle.
Fig. 26. — Valve droite de la *Venus gallina*, Linné, vue du côté externe.
Fig. 27. — La même vue en dedans.

Fig. 28. — Les deux valves de la même espèce vues du côté des crochets.
Fig. 29. — L'animal de la *Venus fasciata*, Donovan, extrait de sa coquille.
Fig. 30. — La coquille de la *Cytherea chione*, Lin., vue du côté des crochets.
Fig. 31. — Valve gauche du *Cardium hians*, Brocchi, vue en dedans.
Fig. 32. — L'animal de la même espèce extrait de sa coquille.

Dans les figures 25 à 32, les mêmes lettres ont été employées comme suit : A B, longueur de la coquille; C P, largeur de la coquille; M N, épaisseur de la coquille; A, région anale; B, région buccale; C, région cardinale; P, région palléale; *a*, l'apex et les crochets; *b*, la lunule; *c*, les dents cardinales; *d*, l'écusson ou suture; *e*, le ligament; *f*, les dents latérales; *g*, l'impression musculaire buccale ou antérieure; *h*, l'impression musculaire anale ou postérieure; *i*, l'impression palléale; *k*, le sinus anal.

Fig. 33. — *Ostrea aquila*, Brongn., réduite et placée dans sa position normale comme exemple des *Pleuroconques*.

PLANCHE LXXI.

MOLLUSQUES ACÉPHALES ORTHOCONQUES SINUPALLÉALES. — Clavagellides, Pholadides, Solénides.

Fig. 1. — *Aspergillum Leognanum*, Hœninghaus., tome III, p. 338, du tertiaire miocène de Bordeaux.
Fig. 2. — *Clavagella cretacea*, d'Orbigny, t. III, p. 338, du terrain crétacé de Royan.
Fig. 3. — *Clavagella echinata*, Lamk, du calcaire grossier de Grignon.
Fig. 4. — *Clavagella Brongniarti*, Desh., des sables éocènes supérieurs de Valmondois.
Fig. 5. — *Clavagella coronata*, Deshayes, des sables supérieurs de Meaux, etc.
Fig. 6. — *Gastrochæna Moreana*, Buvignier, tome III, p. 340, du terrain corallien du département de la Meuse.
Fig. 7. — Remplissage d'un trou creusé par la *Gastrochæna angusta*, Desh., des sables éocènes supérieurs de Valmondois.
Fig. 8. — *Gastrochæna Provignyi*, Deshayes, du même gisement.
Fig. 9. — *Teredo argonensis*, Buvignier, tome III, p. 344, du gault de Varennes.
Fig. 10. — Remplissage des trous creusés par le *Teredo Requienianus*, Matheron, des craies chloritées d'Uchaux.
Fig. 11. — Moule de la coquille de cette même espèce.
Fig. 12. — *Teredina personata*, Lamarck, tome III, p. 347, des dépôts éocènes de France.
Fig. 13. — *Pholas dactylus*, vivante, Linné, tome III, p. 348, pour montrer les caractères génériques. — Fig. 13, *a*, la coquille vue par ses crochets et montrant la lame calcaire qui les protége; 13, *b*, profil de la valve droite; 13, *c*, charnière et cuilleron; 13, *d*, coupe théorique de la coquille perpendiculaire à sa longueur, montrant à l'intérieur la position des cuillerons.
Fig. 14. — *Pholas Cornueliana*, d'Orbigny, du terrain aptien.
Fig. 15. — *Pholas subcylindrica*, d'Orbigny, du gault du nord de la France. Les coquilles se trouvent encore dans la roche qu'elles ont percée.
Fig. 16. — *Pholas aperta*, Deshayes, des sables éocènes supérieurs de Valmondois.
Fig. 17. — *Pholas conoidea*, Deshayes, du même gisement.
Fig. 18. — *Solen costatus*, Sandberger, tome III, p. 352, du terrain dévonien de Nassau.
Fig. 19. — *Solen vaginalis*, Deshayes, du calcaire grossier de Grignon.
Fig. 20. — *Siliqua Moreana, Leguminaria Moreana*, d'Orbigny, tome III, p. 355, du terrain cénomanien.
Fig. 21. — *Siliqua papyracea* (*Solen papyraceus*, Deshayes), du calcaire grossier de Mouchy.
Fig. 22. — *Solecurtus parisiensis*, Desh. (*Solen strigillatus*, Lamk, non Lin.), tome III, p. 355, du même gisement.

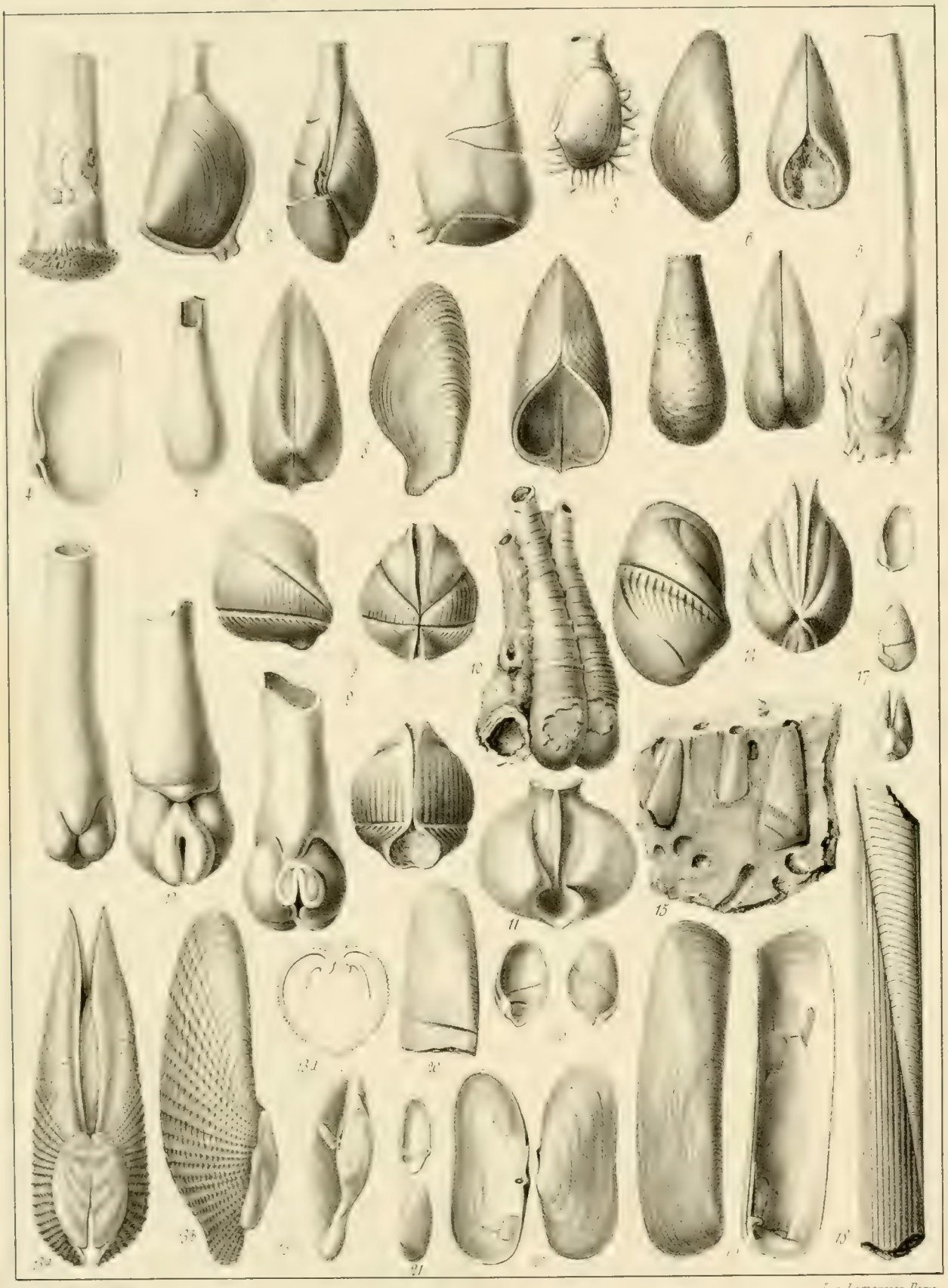

Zackerbauer lith. Imp. Lemercier, Paris

Clavagellides, Pholadides, Solénides.

Publié par J.B. Baillière, Libraire à Paris

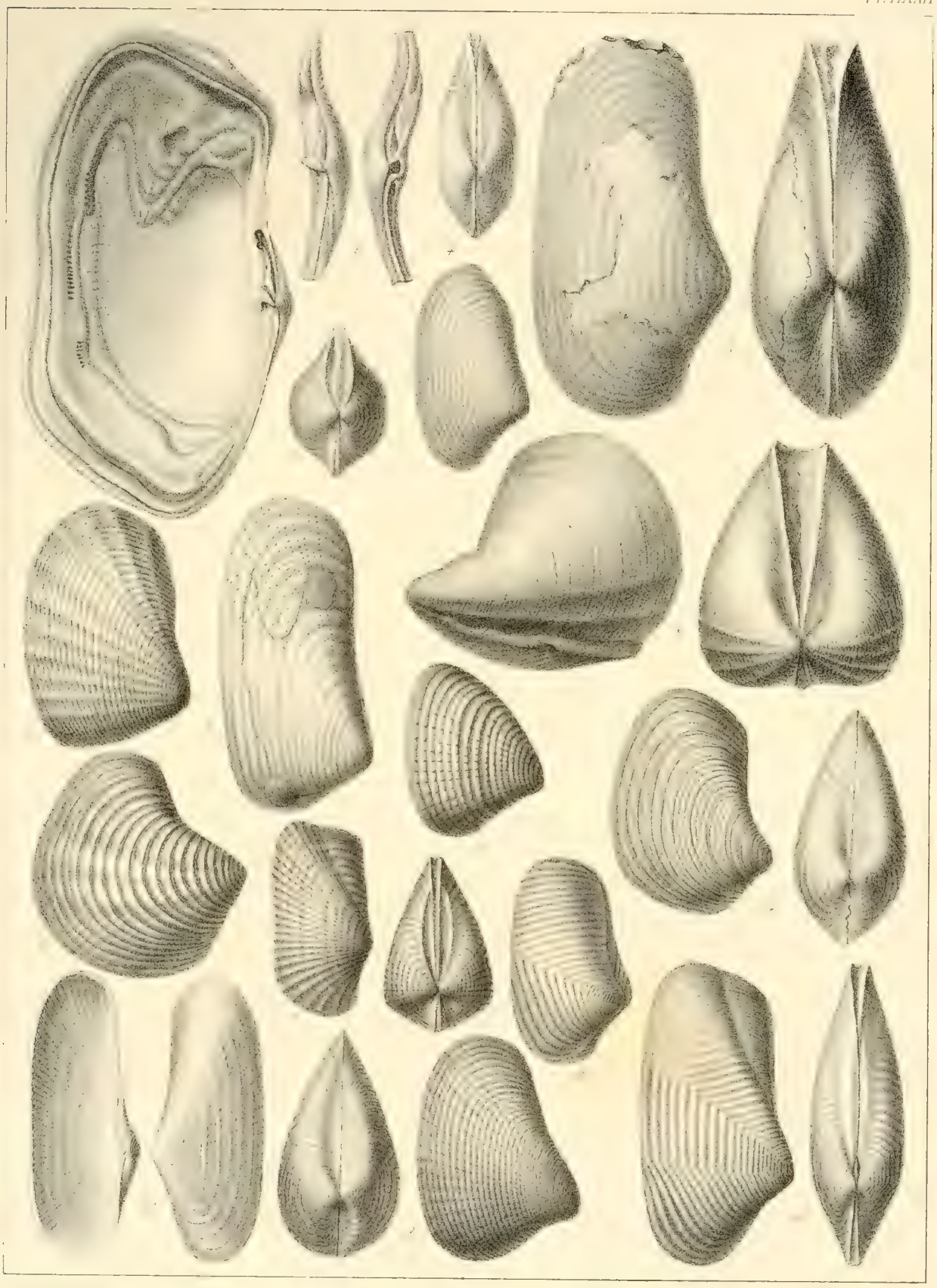

Lemercier Paris

Panopées et Pholadomves

Publié par J B Baillière Libraire à P

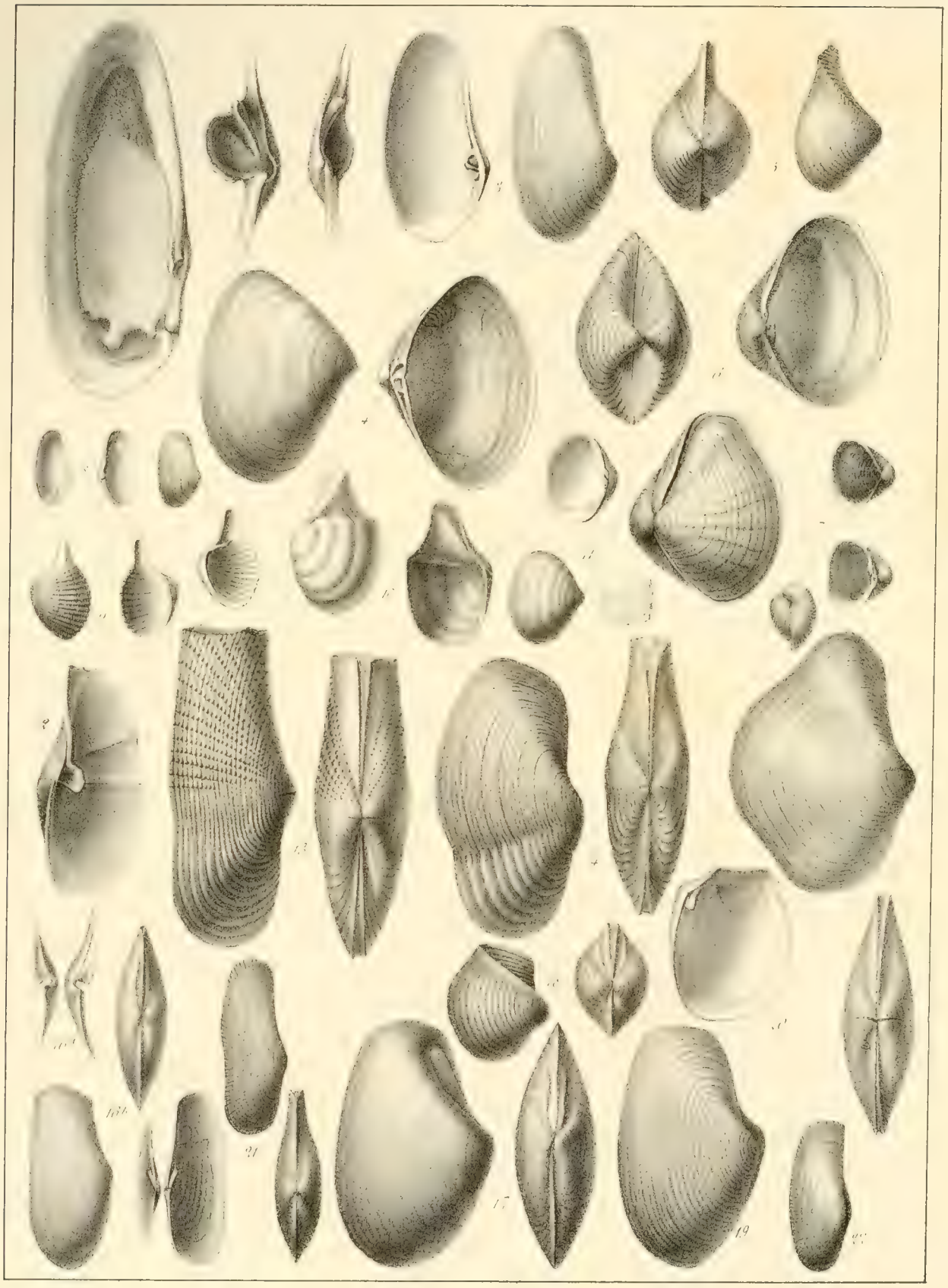

Lackerbauer del

Imp. Lemercier, Paris

Myacides, Mactrides, Corbulides, Anatinides

Paris. Publié par J. B. Baillière Libraire

PLANCHE LXXII.

MOLLUSQUES ACÉPHALES ORTHOCONQUES SINUPALLÉALES. — PANOPÉES et PHOLADOMYES.

Fig. 1. — *Panopæa Aldrovandi*, Lamarck, tome III, p. 359, des terrains quaternaires de Sicile, comme type des vraies PANOPÉES.
Fig. 2. — Charnière de la *Panopée* vivante de la Méditerranée.
Fig. 3. — *Panopæa plicata*, Sowerby, du terrain aptien, comme type des MYOPSIS, Agassiz.
Fig. 4. — *Panopæa elongata*, Agassiz, de l'oolithe inférieure, comme type des PLEUROMYA, Agassiz.
Fig. 5. — *Panopæa sabaudiana*, Pictet et Roux, du gault de Savoie.
Fig. 6. — *Allorisma sulcata*, Flem., tome III, p. 371, des terrains carbonifères de Coalbrook-Dale, à réunir probablement aux PHOLADOMYES.
Fig. 7. — *Pholadomya multicostata*, Agassiz, tome III, p. 370, comme type des *Pholadomyes multicostées*, espèce caractéristique du terrain kimméridgien.
Fig. 8. — *Pholadomya crassa*, Agassiz, du terrain kellowien, comme type des *Pholadomyes paricostées*.
Fig. 9. — *Pholadomya Volzii*, Agassiz, du lias, comme type des *Pholadomyes ovalaires*.
Fig. 10. — *Pholadomya cancellata*, Agassiz, du terrain oxfordien, comme type des *Pholadomyes cardissoïdes*.
Fig. 11. — *Pholadomya Genevensis*, Pictet et Roux, du gault, appartenant au groupe des *Pholadomyes bucaudiennes réticulées*.
Fig. 12. — *Pholadomya subplicata*, d'Orbigny (*P. plicata*, Melleville), du terrain tertiaire inférieur de Châlons-sur-Vesle.
Fig. 13. — *Pholadomya Mellevillei*, d'Orbigny (*P. margaritacea*, Melleville), du terrain tertiaire inférieur de Laon.
Fig. 14. — *Pholadomya hortulana*, Agassiz, du terrain kimméridgien, comme type du groupe des HOMOMYES.
Fig. 15. — *Pholadomya poboscidea*, Agassiz, de la grande oolithe de Soleure, comme type du groupe des GONIOMYES.
Fig. 16. — *Pholadomya trapezina*, Buvignier, du terrain oxfordien, du même groupe des GONIOMYES.

PLANCHE LXXIII.

MOLLUSQUES ACÉPHALES ORTHOCONQUES SINUPALLÉALES. — MYACIDIDES, MACTRIDES, CORBULIDES, ANATINIDES.

Fig. 1. — *Glycimeris angusta*, Nyst et Westendorp, tome III, p. 379, du crag d'Anvers.
Fig. 2. — Charnière de la *Mya arenaria*, Linné, vivante, tome III, p. 379.
Fig. 3. — *Lutraria sanna*, Basterot, tome III, p. 380, des terrains miocènes de Bordeaux.
Fig. 4. — *Mactra depressa*, Deshayes, tome III, p. 383, des terrains éocènes supérieurs du bassin de Paris.
Fig. 5. — *Corbula striatula*, Goldfuss, non Sowerby, tome III, p. 389, du terrain crétacé supérieur d'Aix-la-Chapelle.
Fig. 6. — *Corbula gallica*, Lamarck, du calcaire grossier du bassin de Paris.
Fig. 7. — *Corbula gibba*, Oliv., des terrains miocènes de Belgique.
Fig. 8. — *Corbula complanata* (*Corbulomya*, Sow.), des mêmes gisements.
Fig. 9. — *Neæra Victoriæ*, Melleville, tome III, p. 392, des terrains tertiaires inférieurs de Laon.
Fig. 10. — *Neæra dispar*, Morris (*Corbula dispar*, Deshayes), du calcaire grossier du bassin de Paris.

Fig. 11. — *Poromya granulata* (*Corbula granulata*, Nyst), tome III, p. 394, du crag d'Anvers.
Fig. 12. — Charnière d'*Anatina truncata*, vivante, tome III, p. 396.
Fig. 13. — *Anatina versicostata*, Buvignier, du terrain oxfordien du département de la Meuse.
Fig. 14. — *Anatina Carteroni*, d'Orbigny, du terrain néocomien du département du Doubs.
Fig. 15. — *Anatina thraciformis*, Buvignier, du gault de Varennes.
Fig. 16. — *Thracia phaseolina*, Linné, vivante, tome III, p. 399. — *a*, charnière; *b*, moule artificiel de la même espèce.
Fig. 17. — *Thracia Studeri*, Agassiz, du terrain kimméridgien de la Suisse.
Fig. 18. — *Thracia rotunda*, Pictet et Roux, du gault des environs de Genève.
Fig. 19. — *Thracia Bellardi*, Pictet (*Anatina rugosa*, Bellardi), du terrain nummulitique des environs de Nice.
Fig. 20. — Valve droite du *Periploma inæquivalvis*, Sowerby, vivant, tome III, p. 403.
Fig. 21. — *Lyonsia norvegica*, Sowerby, vivante, tome III, p. 405.
Fig. 22. — *Lyonsia coruscans* (*Osteodesma coriuscans*, Scacchi), des terrains quaternaires de Sicile.

PLANCHE LXXIV.

MOLLUSQUES ACÉPHALES ORTHOCONQUES SINUPALLÉALES. — Anatinides, Mésodesmides, Amphidesmides, Tellinides.

Fig. 1. — *Ceromya excentrica*, Agassiz, tome III, p. 406, du terrain kimméridgien de Porrentruy.
Fig. 2. — *Ceromya pinguis*, Agassiz (*Gresslya*), du lias du département du Bas-Rhin.
Fig. 3. — *Pandora rostrata*, Lamarck, tome III, p. 409, vivante, et fossile dans le crag.
Fig. 4. — *Mesodesma cornea*, Deshayes, tome III, p. 411, vivante, et fossile en Italie.
Fig. 5. — *Cumingia mutica*, tome III, p. 414, vivante.
Fig. 6. — *Syndosmya alba*, Recluz, tome III, p. 415, vivante.
Fig. 7. — *Amphidesma solida*, Gray, tome III, p. 416, vivante.
Fig. 8. — *Tellina jurensis*, Buvignier, tome III, p 418, du calcaire kimméridgien à astartés.
Fig. 9. — *Tellina biangularis*, Deshayes, du calcaire grossier de Grignon.
Fig. 10. — *Tellina planata*, Linn., vivante, et fossile en Italie.
Fig. 11. — *Argopagia concentrica*, d'Orbigny, tome III, p. 422, du terrain néocomien.
Fig. 12. — *Arcopagia erycinoides* (*Tellina erycinoides*, Lamarck), du calcaire grossier du bassin de Paris.
Fig. 13. — *Fragilia fragilis*, Deshayes, tome III, p. 423, vivante, et fossile en Italie.

PLANCHE LXXV.

MOLLUSQUES ACÉPHALES ORTHOCONQUES SINUPALLÉALES. — Tellinides, Pétricolides, Cythérides.

Fig. 1. — *Psammobia Studeri*, Pictet et Renevier, tome III, p. 424, du terrain aptien de la perte du Rhône.
Fig. 2. — *Psammobia rudis*, Deshayes (*Tellina rudis*, Lamarck), du calcaire grossier.
Fig. 3. — *Sanguinolaria sanguinolenta*, Lamarck, tome III, p. 426, vivante.
Fig. 4. — *Capsa deflorata*, Deshayes, tome III, p. 428, vivante.
Fig. 5. — *Donax retusa*, Lamarck, tome III, p. 429, du terrain éocène supérieur du bassin de Paris.
Fig. 6. — *Donax obtusalis*, Lamarck, du même gisement.
Fig. 7. — *Isodonta Deshayesiana*, Buvignier, tome III, p. 431, du terrain oxfordien des Ardennes.
Fig. 8. — Valve gauche de la *Saxicava gallicana*, Lamarck, tome III, p. 432, vivante.

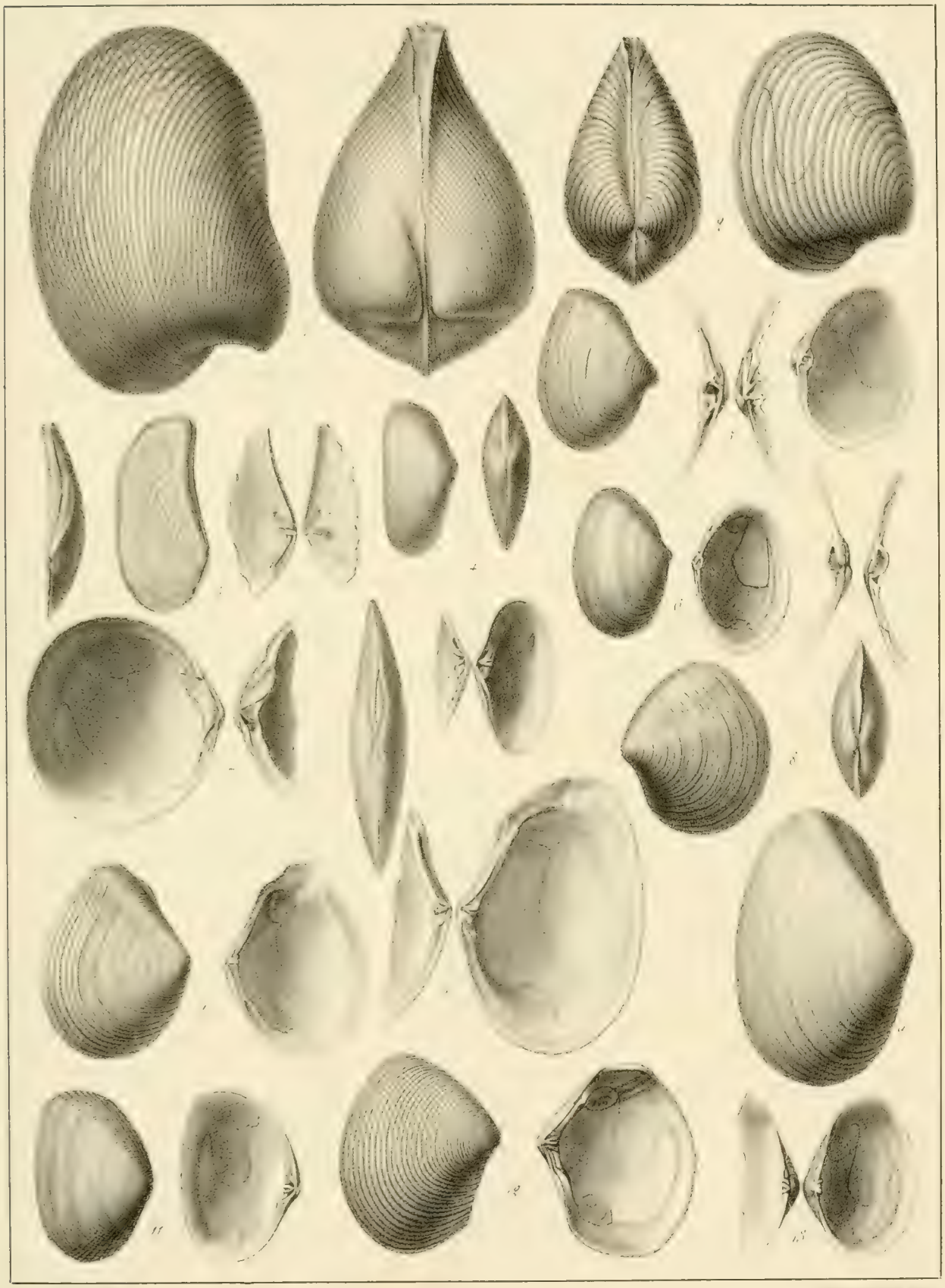

Anatinides, Mésodesmides, Amphidesmides, Tellinides.

Publié par J B Baillière, Libraire à Paris

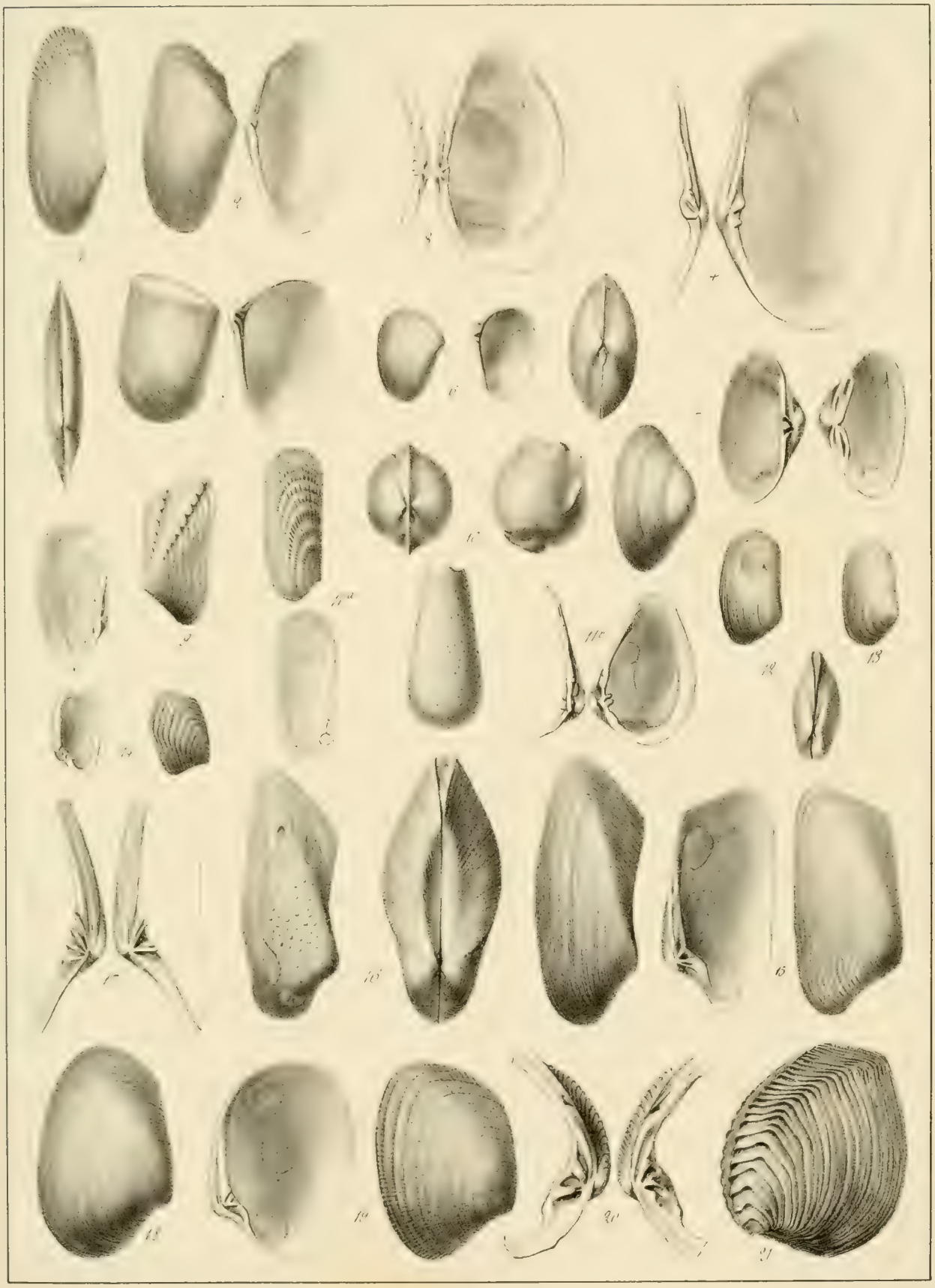

Lackerbauer lith.

Imp. Lemercier Paris

Tellinides, Pétricolides, Cythérides.

Publié par J. B. Baillière, libraire à Paris

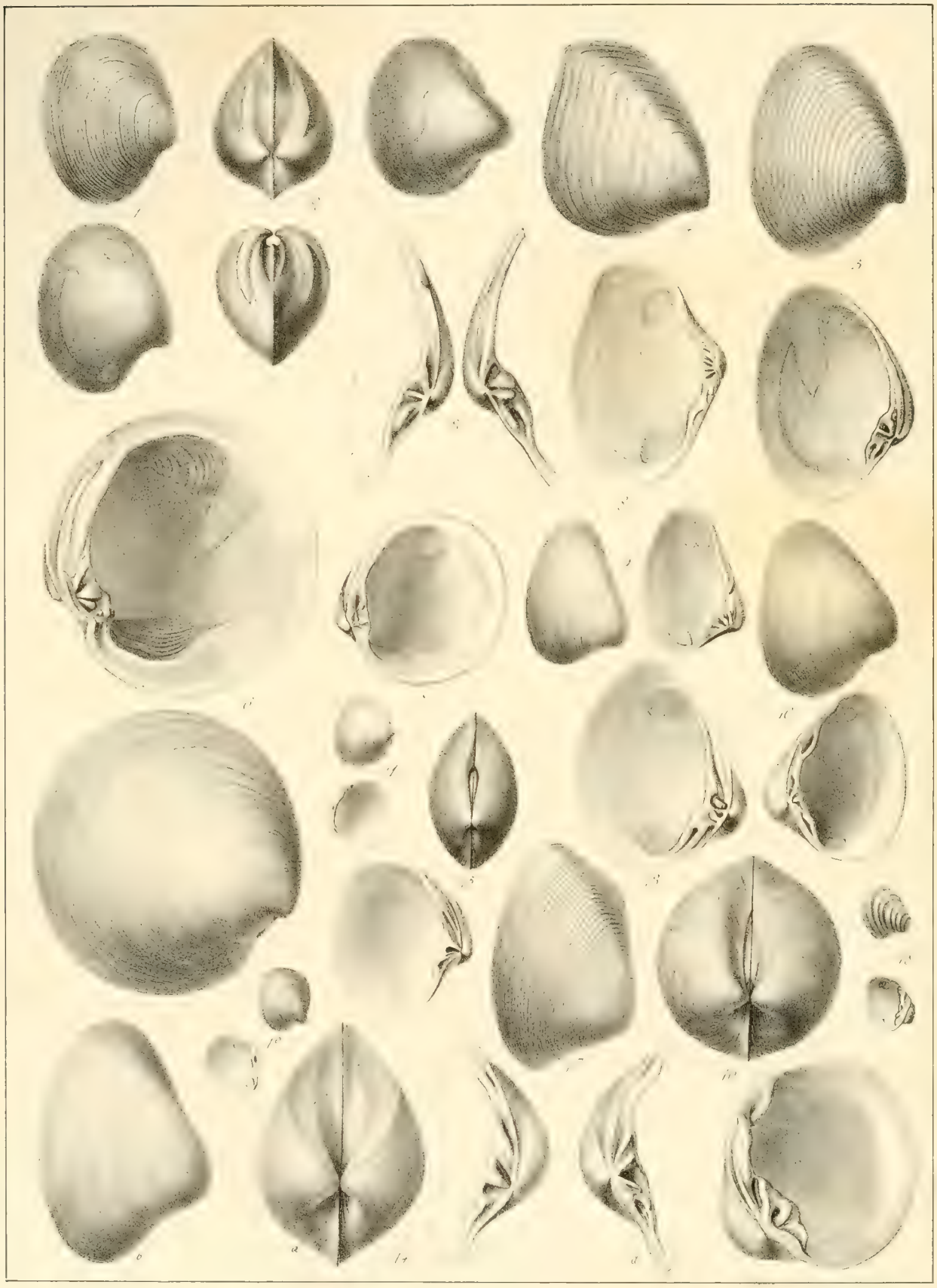

Lackerbauer lith. Imp. Lemercier, Paris.

Cythérides, Cyclasides, Cyprinides

Publié par J. B. Baillière libraire à Paris

Fig. 9. — *Saxicava arctica*, Philippi, décrite par Goldfuss, sous le nom de *Mytilus carinatus*, des terrains miocènes d'Allemagne.
Fig. 10. — *Petricola Rhodani*, Pictet et Roux, tome III, p. 434, du gault des environs de Genève.
Fig. 11, *a*. — *Petricola elegans*, Deshayes, du calcaire grossier et des sables supérieurs du bassin de Paris.
Fig. 11, *b*. — *Petricola rariflamma*, Deshayes, vivante.
Fig. 12. — *Venerupis coralliensis*, Buvignier, tome III, p. 436, du terrain corallien du département de la Meuse.
Fig. 13. — *Venerupis mosensis*, Buvignier, du même gisement.
Fig. 14. — *Venerupis irus*, Lamarck, d'après un échantillon du crag d'Angleterre.
Fig. 15. — *Coralliophaga oblonga* (*Cypricardia oblonga*, Deshayes), tome III, p. 437, du calcaire grossier de Chaumont.
Fig. 16. — *Pachymya gigas*, Sowerby, tome III, p. 438, du terrain cénomanien.
Fig. 17. — Charnière du genre Tapes, Megerle, tome III, p. 440.
Fig. 18. — *Tapes Brongniartiana* (*Venus Brongniartiana*, d'Orbigny), du terrain néocomien.
Fig. 19. — *Tapes decussata*, figurée d'après un échantillon du terrain nummulitique du Vicentin, identique avec la *Corbis Aglauræ*, Brongniart.
Fig. 20. — Charnière du genre Vénus, tome III, p. 442.
Fig. 21. — *Venus plicata*, Gmelin, des terrains miocènes d'Europe.

PLANCHE LXXVI.

ACÉPHALES ORTHOCONQUES SINUPALLÉALES. — Cythérides, Cyclasides, Cyprinides.

Fig. 1. — *Venus Vibrayeana*, d'Orbigny, tome III, p. 444, du gault.
Fig. 2. — *Thetis Genevensis*, Pictet et Roux, tome III, p. 446, du gault des environs de Genève.
Fig. 3. — Charnière du genre Cythérée, tome III, p. 447.
Fig. 4. — *Cytherea trigonellaris*, Goldfuss, du lias d'Allemagne.
Fig. 5. — *Cytherea erycinoides*, Lamarck, du terrain miocène de Bordeaux.
Fig. 6. — *Dosinia orbicularis*, Agassiz, tome III, p. 451, du terrain pliocène de l'Astezan.
Fig. 7. — Valve droite de la *Cyclina Chinensis* vivante, tome III, p. 452.
Fig. 8. — *Grateloupia donaciformis*, Desmoulins, tome III, p. 452, des terrains tertiaires de Bordeaux.
Fig. 9. — *Cyrena cuneiformis*, Férussac, tome III, p. 459, des terrains éocènes inférieurs d'Épernay.
Fig. 10. — *Cyrena semistriata*, Deshayes, des terrains miocènes inférieurs de France et de Belgique.
Fig. 11. — *Cyclas Verneuilli*, Saint-Ange de Boissy, tome III, p. 457 du calcaire lacustre de Rilly-la-Montagne.
Fig. 12. — *Cyclas lævigata*, Deshayes, des environs d'Épernay.
Fig. 13. — Valve gauche du *Gnathodon cuneatus*, Gray, tome III, p. 462, vivante et fossile dans l'Amérique septentrionale.
Fig. 14. — *Cyprina Saussuri*, Pictet et Renevier (*Donacites Saussuri*, Brongniart), tome III, p. 464, du terrain aptien de la perte du Rhône.
Fig. 15. — *Cyprina consobrina*, d'Orbigny, du terrain turonien.
Fig. 16. — *Cyprina tunida*, Nyst, du crag de Belgique et d'Angleterre.
Fig. 17. — *Cypricardia carinata*, Deshayes, tome III, p. 466, du calcaire grossier du bassin de Paris.
Fig. 18. — *Cypricardia pectinifera*, Morris, des dépôts éocènes de Belgique et d'Angleterre.

PLANCHE LXXVII.

ACÉPHALES ORTHOCONQUES INTÉGROPALLÉALES. — Cardides et Lucinides.

Fig. 1. — *Cardium pes-bovis*, d'Archiac, tome III, p. 470 de la grande oolithe d'Eparcy.
Fig. 2. — *Cardium septiferum*, Buvignier, du terrain corallien de la Meuse, comme type des espèces à cloison interne.
Fig. 3. — *Cardium Hillanum*, Sowerby, du grès vert de Blackdown.
Fig. 4. — *Cardium porulosum*, Lamarck, du calcaire grossier de Paris.
Fig. 5. — *Cardium aviculare*, Lamarck, du même gisement.
Fig. 6. — *Unicardium inornatum* d'Orbigny, tome III, p. 476, du terrain néocomien de la Haute-Marne.
Fig. 7. — *Conocardium aliforme*, Sowerby, tome III, p. 477, du terrain carbonifère.
Fig. 8. — *Isocardia truncata*, Goldfuss, tome III, p. 479, du terrain oxfordien.
Fig. 9. — *Isocardia longirostris*, Roemer (*Isocardia ataxensis*, d'Orbigny), des terrains crétacés supérieurs.
Fig. 10. — *Isocardia crassa*, Nyst et Westendorp, du crag de Belgique.
Fig. 11. — *Cardiomorpha oblonga*, Sowerby, de Koninck, tome III, p. 483, du terrain carbonifère de Belgique.
Fig. 12. — *Cardiola cornucopiæ*, Goldfuss, tome III, p. 484, du terrain dévonien.
Fig. 13. — *Lunulacardium Partschii*, Munster, tome III, p. 485, du terrain dévonien de Schubelhammer.
Fig. 14. — *Lunulacardium excrescens*, Munster, du même gisement.
Fig. 15. — *Hettangia Dionvillensis*, Terquem, tome III, p. 485, du lias supérieur des environs de Thionville.
Fig. 16. — *Corbis subdecussata*, Buvignier, tome III, p. 487, du terrain corallien du département de la Meuse.
Fig. 17. — *Corbis pectunculus*, Lamarck, du calcaire grossier de Valognes.

PLANCHE LXXVIII.

ACÉPHALES ORTHOCONQUES INTÉGROPALLÉALES. — Lucinides et Astartides.

Fig. 1. — *Lucina striatula*, Buvignier, tome III, p. 490, du terrain corallien du département de la Meuse.
Fig. 2. — *Lucina aspera*, id., du même gisement.
Fig. 3. — *Lucina tenuistria*, Hébert (*Lucina uncinata*, Goldfuss, Defrance), du terrain tongrien de Belgique.
Fig. 4. — *Diplodonta dilatata*, Philippi, tome III, p. 496, du crag et des terrains quaternaires de Sicile.
Fig. 5. — *Scacchia inversa*, Philippi, tome III, p. 497, du calcaire quaternaire de Sicile.
Fig. 6. — *Ungulina unguiformis*, Deshayes (*Clotho unguiformis*, Basterot), tome III, p. 497, des terrains miocènes de Bordeaux.
Fig. 7. — *Cyrenella lucinoides*, Deshayes, tome III, p. 498, des sables moyens de Senlis (parisien supérieur).
Fig. 8. — *Erycina orbicularis*, Deshayes, tome III, p. 498 du calcaire grossier de Paris.
Fig. 9. — *Poronia rubra*, Recluz (*Cardium rubrum*, Montagu), tome III, p. 500, vivant, et fossile dans les dépôts quaternaires de Sicile.
Fig. 10. — *Cardilia semisulcata*, Deshayes, vivante, tome III, p. 500.

Imp. Lemercier, Paris

Cardides et Lucinides.

Publié par J.B. Baillière, Libraire à Paris

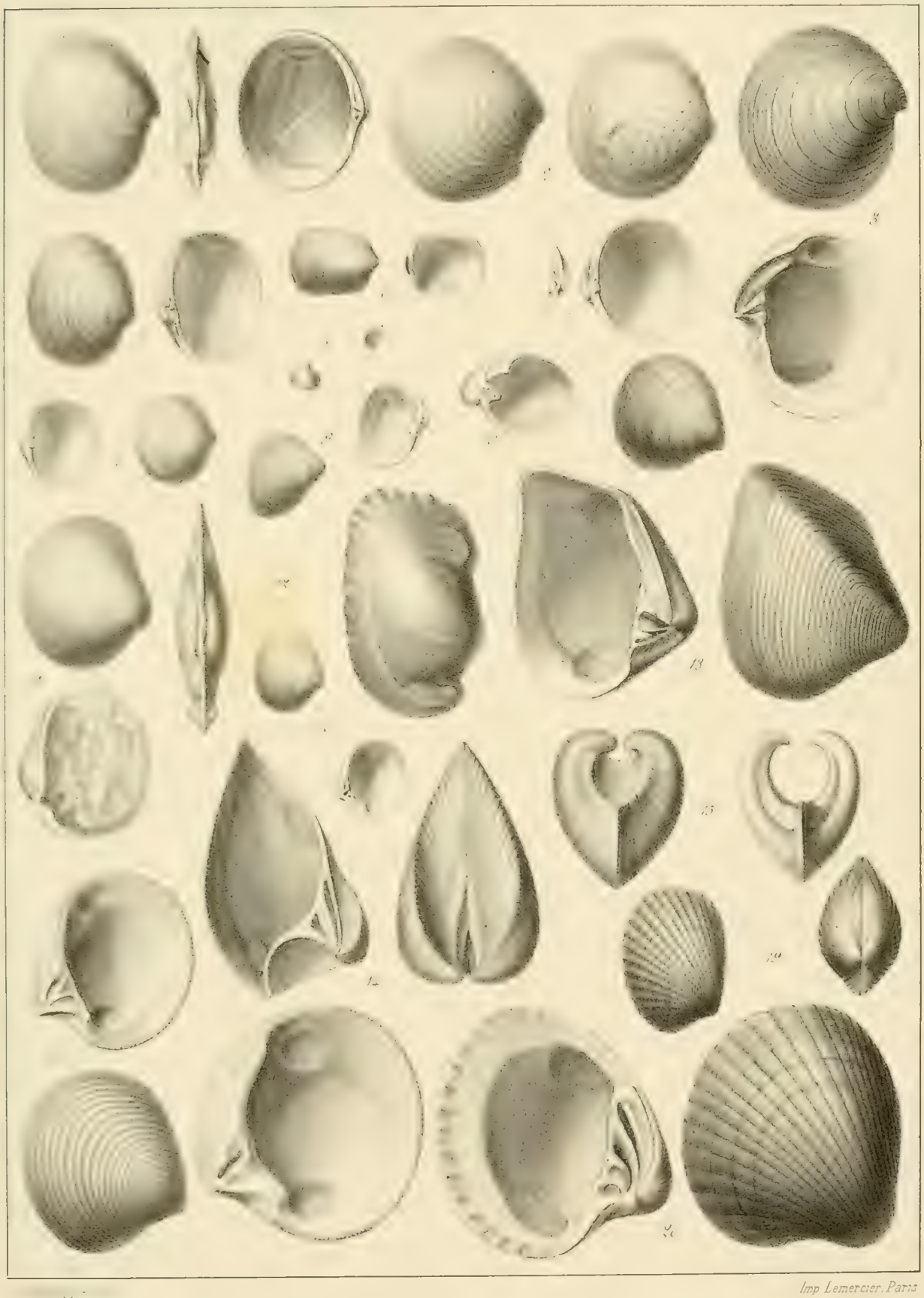

Imp Lemercier. Paris

Lucinides et Astartides.

Publié par J.B. Baillière Libraire à Paris

Lackerbauer del. Imp Lemercier, Paris

Astartides, Unionides, Cœlonotides, Trigonides.

Publié par J.B. Baillière Libraire à Paris.

Humbert lith. Imp. Lemercier, Paris

Trigonides et Arcacides.

Publié par J.B. Baillière Libraire à Paris

Fig. 11. — *Edmondia unioniformis*, de Koninck, tome III, p. 501, du terrain carbonifère de Belgique.
Fig. 12. — *Crassatella Gallienei*, d'Orbigny, tome III, p. 502, du grès vert du Mans.
Fig. 13. — *Crassatella sinuosa*, Deshayes, du calcaire grossier de Paris.
Fig. 14. — *Opis arduennensis*, Buvignier, tome III, p. 505, du terrain oxfordien du département de la Meuse.
Fig. 15. — *Opis Hugardiana*, d'Orbigny, du gault.
Fig. 16. — *Astarte detrita*, Goldfuss, tome III, p. 507, de l'oolithe inférieure de l'Allemagne.
Fig. 17. — *Astarte Buchii*, Roemer, des marnes aptiennes de la perte du Rhône.
Fig. 18. — *Circe minima*, Forbes et Hanley, tome III, p. 513, du crag d'Angleterre.
Fig. 19. — *Cardita crenata*, Goldfuss, tome III, p. 513, du terrain triasique de Saint-Cassian.
Fig. 20. — *Cardita planicosta*, Deshayes, des terrains tertiaires inférieurs du bassin de Paris.

PLANCHE LXXIX.

ACÉPHALES ORTHOCONQUES INTÉGROPALLÉALES. — Astartides, Unionides, Coelonotides, Trigonides.

Fig. 1. — *Hippopodium ponderosum*, Sowerby, tome III, p. 515, du lias, d'après la planche de Sowerby.
Fig. 2. — *Pachyrisma grande*, Morris et Lycett, tome III, p. 518, de la grande oolithe d'Angleterre.
Fig. 3. — *Megalodon cucullatus*, Sowerby, tome III, p. 518, du terrain dévonien.
Fig. 4. — *Pleurophorus costatus*, King, tome III, p. 520, du terrain permien d'Angleterre.
Fig. 5. — *Myoconcha crassa*, Sowerby, tome III, p. 520, de la grande oolithe d'Angleterre.
Fig. 6. — *Cardinia hybrida*, Stutchbury, tome III, p. 522, du lias moyen.
Fig. 7. — *Cardinia fascicularis*, Buvignier, du lias de la Meuse.
Fig. 8. — *Unio subsinuatus*, Koch et Dunker, tome III, p. 528, du terrain wealdien d'Allemagne.
Fig. 9. — *Unio flabellatus*, Goldfuss, de la mollasse suisse.
Fig. 10. — *Grammysia Hamiltonensis*, de Verneuil, tome III, p. 530, des terrains dévoniens d'Amérique et d'Europe.
Fig. 11. — *Grammysia ovata*, Sandberger, var. *abbreviata*, du terrain dévonien du duché de Nassau.
Fig. 12. — *Leptodomus anguliferus*, (*Sanguinolites unguliferos*, Mac Coy), tome III, p. 531, du terrain silurien supérieur d'Angleterre.
Fig. 13. — *Leptodomus truncatus*, Mac Coy, du même gisement.
Fig. 14. — *Dolabra elliptica*, Mac Coy, tome III, p. 532, du même gisement.
Fig. 15. — *Modiolopsis Nilsoni*, Hiesinger, Mac Coy, tome III, p. 533, du même gisement.
Fig. 16. — *Anodontopsis angustifrons*, Mac Coy, tome III, p. 533, du même gisement.
Fig. 17. — *Lyrodesma plana*, Conrad, tome III, p. 534, des mêmes gisements.
Fig. 18. — *Cleidophorus planulatus*, Hall, tome III, p. 534, des mêmes gisements.
Fig. 19. — *Tellinomya nasuta*, Hall, tome III, p. 534, des terrains siluriens d'Amérique.
Fig. 20. — *Myophoria vulgaris*, Schlotheim, Bronn, tome III, p. 540, du muschelkalk.
Fig. 21. — *Schizodus obscurus*, Sowerby, tome III, p. 541, du terrain permien d'Angleterre.
Fig. 22. — *Schizodus truncatus*, King, du même gisement. — 22, *b*, charnière de la même espèce.

PLANCHE LXXX.

ACÉPHALES ORTHOCONQUES INTÉGROPALLÉALES. — Trigonides et Arcacides.

Fig. 1. — *Trigonia navis*, Lamarck, tome III, p. 536, du lias moyen.
Fig. 2, *a*, *b*. — *Trigonia aliformis*, Parkinson, des grès aptiens.

Fig. 2, *c*. — Charnière de la même espèce.
Fig. 3. — *Arca Lacordaireana*, de Koninck, tome III, p. 543, du terrain carbonifère de Belgique.
Fig. 4. — *Arca Hirsonensis*, d'Archiac, de la grande oolithe, type du genre MACRODON, Morris et Lycett.
Fig. 5. — Moule de l'*Arca obesa*, Pictet et Roux, du groupe des CUCULLÉES, montrant l'impression de la côte anale.
Fig. 6. — *Arca crassatina*, Lamarck, du groupe des CUCULLÉES, des dépôts éocènes inférieurs du bassin de Paris.
Fig. 7. — *Arca latesulcata*. Nyst, du terrain tongrien de Belgique.
Fig. 8. — *Arca biangula*, Lamarck, du calcaire grossier; elle appartient au groupe des BYSSOARCA.
Fig. 9. — *Pectunculus subpilosus*, d'Orbigny (*P. pilosus*, var., Nyst), tome III, p. 552, du terrain campinien de Belgique.
Fig. 10. — *Limopsis corallensis*, Buvignier, tome III, p. 556, du terrain corallien du département de la Meuse.
Fig. 11. — *Limopsis Goldfussii* (*Trigonocœlia Goldfussii*, Nyst), du terrain tongrien de Belgique.
Fig. 12. — *Limopsis aurita* (*Pectunculus auritus*, Brocchi), du terrain pliocène et du crag d'Angleterre.
Fig. 13. — *Isoarca texata*, Münster, tome III, p. 558, du terrain corallien d'Allemagne.
Fig. 14. — *Isoarca Agassizii*, Pictet et Roux, du gault des environs de Genève.
Fig. 15. — *Cucullella ovata*, Sowerby, Mac Coy, du terrain silurien supérieur d'Angleterre, tome III, p. 559.
Fig. 16. — *Cucullella* décrite par M. Portlock, sous le nom d'*Arca regularis*, du même gisement.
Fig. 17. — *Cucullella* décrite par le même auteur sous le nom de *Pectunculus Apjohni*, du même gisement.
Fig. 18. — *Nucula pulchella* (*Lyrodesma pulchella*, Hall), tome III, p. 560, du terrain silurien inférieur d'Amérique.
Fig. 19. — *Nucula Hummeri*, Defrance, du lias.
Fig. 20. — Moule de la *Nucula Neckeriana*, Pictet et Roux, du gault des environs de Genève.
Fig. 21. — *Nucula similis*, Sowerby (*Nucula margaritana*, Lamarck), du calcaire grossier et des sables supérieurs du bassin de Paris.
Fig. 22. — *Nuculina miliaris*, Deshayes, d'Orbigny, tome III, p. 566, des dépôts éocènes du bassin de Paris.
Fig. 23. — *Nucunella Nystii*, d'Orbigny, tome III, p. 566, des dépôts éocènes de Belgique.
Fig. 24. — *Nucunella aviculoides* (*Stalagmium aviculoides*, d'Archiac, du terrain nummulitique de Biarritz.
Fig. 25. — *Leda Philippiana*, Nyst, d'Orbigny, tome III, p. 567, du crag de Belgique.
Fig. 26. — *Leda lanceolata*, Sowerby, du crag d'Angleterre.
Fig. 27. — *Orthonota contracta*, Conrad, tome III, p. 571, du terrain silurien inférieur d'Amérique.

PLANCHE LXXXI.

MOLLUSQUES ORTHOCONQUES INTÉGROPALLÉALES ET MOLLUSQUES PLEUROCONQUES. — MYTILIDES, TRIDACNIDES, CHAMIDES.

Fig. 1. — *Pinna Hartmanni*, Zieten, tome III, p. 573, du lias inférieur du Wurtemberg.
Fig. 2. — *Pinna Gallienei*, d'Orbigny, du terrain cénomanien du département de la Sarthe. — *a*, coupe des deux valves de la même espèce.
Fig. 3. — *Mytilus eduliformis*, Schlotheim, tome III, p. 577, du muschelkalk.
Fig. 4. — *Mytilus* (*Modiola*) *scalprum*, Phillips, du lias moyen.
Fig. 5. — *Mytilus* (*Modiola*) *Sowerbyanus*, d'Orbigny, de la grande oolithe d'Angleterre.

Mytilides, Tridacnides, Chamides.

Lackerbauer del

Imp Lemercier, Paris

Malléacés.

Publié par J.B Baillière Libraire à Paris

Fig. 6. — *Mytilus acutangulus*, Deshayes, des sables supérieurs de Valmondois.
Fig. 7. — *Mytilus* (*Modiola*) *subcarinatus*, Lamarck, du calcaire grossier du bassin de Paris.
Fig. 8. — *Lithophagus subcylindricus*, Buvignier, tome III, p. 582, du calcaire à astartés.
Fig. 9. — *Lithophagus sublithophagus* (*Modiola lithophaga*, Lamarck), du calcaire grossier du bassin de Paris.
Fig. 10. — *Dreissena palatonica* (*Congeria palatonica*, Partsch), tome III, p. 584, du terrain tertiaire du bassin de Vienne.
Fig. 11. — *Dreissena Brardi* (*Mytilus Brardi* Faujas), du terrain miocène des environs de Mayence.
Fig. 12. — *Tridacna media*, Pusch, tome III, p. 585, du terrain tertiaire de Pologne.
Fig. 13. — *Chama lamellosa*, Lamarck, tome III, p. 588, du calcaire grossier des environs de Paris.
Fig. 14. — *Diceras gaultina*, Pictet et Roux, tome III, p. 591, espèce du gault intermédiaire entre les diceras et les chames.
Fig. 15. — *Diceras Lucii*, Defrance, tome III, p. 590, du terrain corallien du mont Salève.

PLANCHE LXXXII.

MOLLUSQUES ACÉPHALES PLEUROCONQUES. — Malléacés.

Fig. 1. — *Bakevellia antiqua*, Münster, tome III, p. 594, du terrain permien d'Angleterre et d'Allemagne.
Fig. 2. — *Pterinea lævis*, Goldfuss, tome III, p. 595, du terrain dévonien d'Allemagne. — *a*, coquille vue en dedans ; *b*, moule.
Fig. 3. — *Pterinea elongata*, Goldfuss, des mêmes gisements.
Fig. 4. — *Pteroperna costulata*, Morris et Lycett (*Gervilia costulata*, Deslongchamps), tome III, p. 596, de la grande oolithe d'Angleterre.
Fig. 5. — *Myalina lamellosa*, de Koninck, tome III, p. 596, du terrain carbonifère de Belgique.
Fig. 6. — *Avicula reticulata*, tome III, p. 597, du terrain silurien supérieur d'Angleterre.
Fig. 7. — *Avicula Cottaldina*, d'Orbigny, du terrain néocomien de France.
Fig. 8. — *Avicula fragilis*, Defrance, du calcaire grossier et des sables marins supérieurs du bassin de Paris.
Fig. 9. — *Monotis speluncaria*, Schlotheim, tome III, p. 603, du terrain permien d'Angleterre et d'Allemagne.
Fig. 10. — *Vulsella falcata*, Goldfuss, tome III, p. 604, du terrain nummulitique du Kressenberg.
Fig. 11. — *Trichites Saussuri*, Defrance, tome III, p. 604, du terrain corallien du mont Salève, dessinée de grandeur naturelle d'après un échantillon du musée de Genève. — *a*, fragment du test pris sur un gros échantillon, non grossi.
Fig. 12. — *Trichites nodosus*, Lycett, de la grande oolithe d'Angleterre.
Fig. 13. — *Posidonomya Becheri*, Bronn, tome III, p. 606, du terrain dévonien d'Allemagne.
Fig. 14. — *Posidonomya Bronni*, Voltz, du lias, échantillons de divers âges, de grandeur naturelle.
Fig. 15. — *Perna vetusta*, Goldfuss, tome III, p. 609, des marnes irisées et du muschelkalk.
Fig. 16. — *Perna mulleti*, Deshayes, du terrain néocomien et du terrain aptien de France, d'Angleterre et d'Allemagne.
Fig. 17. — Fragment de charnière de la *Perna maxillata*, Sowerby, fréquente dans les terrains pliocènes.
Fig. 18. — *Inoceramus concentricus*, Parkinson, tome III, p. 613, espèce fréquente dans le gault.
Fig. 19. — *Inoceramus Lamarckii* (*Catillus Lamarckii*, Brongniart), de la craie blanche des environs de Paris.
Fig. 20. — Charnière de l'*Inoceramus problematicus*, d'Orbigny, du terrain turonien.

PLANCHE LXXXIII.

MOLLUSQUES ACÉPHALES PLEUROCONQUES. — Malléacés, Limides, Pectinides.

Fig. 1. — *Gervilia Hartmanni*, Münster, tome III, p. 611, du lias. — *a*, coquille vue de profil ; *b*, moule de la même espèce ; *c*, charnière.
Fig. 2. — *Gervilia anceps*, Deshayes, du terrain néocomien de France.
Fig. 3. — *Lima succincta*, Bronn (*Plagiostoma Hermanni*, Zieten), tome III, p. 616, du lias d'Allemagne.
Fig. 4. — *Lima proboscidea*, Agassiz, de l'oolithe inférieure.
Fig. 5. — *Lima spatulata*, Lamk, du calcaire grossier du bassin de Paris.
Fig. 6. — *Limea duplicata*, Münster, tome III, p. 621, de l'oolithe ferrugineuse de Thurnau.
Fig. 7. — *Limea strigillata*, Bronn (*Ostrea strigillata*, Brocchi), du terrain pliocène du Piémont.
Fig. 8. — *Pecten lævigatus*, Bronn, t. III, p. 622, du muschelkalk.
Fig. 9. — *Pecten æquivalvis*, Sowerby, du lias.
Fig. 10. — *Pecten subreconditus*, d'Orbigny, du terrain tongrien de Belgique, rapporté par M. Nyst à l'*Ostrea recondita*, Brander.

PLANCHE LXXXIV.

MOLLUSQUES ACÉPHALES PLEUROCONQUES. — Pectinides.

Fig. 1. — *Hinnites velatus* (*Spondylus velatus*, Goldf.), tome III, p. 629, du terrain oxfordien.
Fig. 2. — *Hinnites crispus*, Bronn (*H. Cortesii*, Defr.), dessiné d'après un exemplaire d'Asti, moitié de la grandeur naturelle.
Fig. 3. — Charnière de la *Janira Jacobæus*, Lamk, vivante, tome III, p. 631.
Fig. 4. — *Janira quinquecostata*, Sow., espèce caractéristique du terrain cénomanien.
Fig. 5. — Charnière de *Spondyle* vivant, tome III, p. 633.
Fig. 6. — *Spondylus Brunneri*, Pictet et Roux, du terrain aptien de la perte du Rhône.
Fig. 7. — *Spondylus spinosus*, Deshayes, espèce caractéristique des craies blanches.
Fig. 8. — *Spondylus truncatus*, Goldfuss, du même gisement.
Fig. 9. — *Spondylus crassicosta*, Lamk, du terrain pliocène de l'Astezan.
Fig. 10. — *Plicatula spinosa*, Sowerby, tome III, p. 636, du lias.
Fig. 11. — *Plicatula radiola*, Lamk, du terrain aptien (argile à plicatules).

PLANCHE LXXXV.

MOLLUSQUES ACÉPHALES PLEUROCONQUES. — Ostracés.

Fig. 1. — *Ostrea* rapportée par Goldfuss à l'*O. edulis*, tome III, p. 646.
Fig. 2. — *Ostrea arcuata* (*Gryphæa arcuata*, Lamk), tome III, p. 639, du lias.
Fig. 3. — *Ostrea dilata*, Desh. (*Gryphæa Mac Cullochii*, Goldf.), du terrain kellowien.
Fig. 4. — *Ostrea flabella*, d'Orb. (*Exogyra plicata*, Goldf.), du terrain cénomanien.
Fig. 5. — *Ostrea virgata*, Goldf., des dépôts éocènes de Belgique.
Fig. 6. — *Ostrea columba* (*Exogyra columba*, Goldf.), du terrain cénomanien.
Fig. 7. — *Ostrea Boussingaulti*, d'Orbigny, du terrain néocomien.
Fig. 8. — *Ostrea macroptera*, Sowerby, du terrain néocomien.
Fig. 9. — *Placunopsis Jurensis*, Morris et Lycett (*Anomia jurensis*, Roemer), tome III, p. 647, de la grande oolithe d'Angleterre.
Fig. 10. — *Anomia tenuistriata*, Deshayes, tome III, p. 647, du calcaire grossier du bassin de Paris.
Fig. 11. — *Pulvinites Adansoni*, Defrance, tome III, p. 649, de l'étage crétacé supérieur.

Imp Lemercier, Paris

Malléacès, Limides, Pectinides.

Publié par J.B Baillière Libraire à Paris

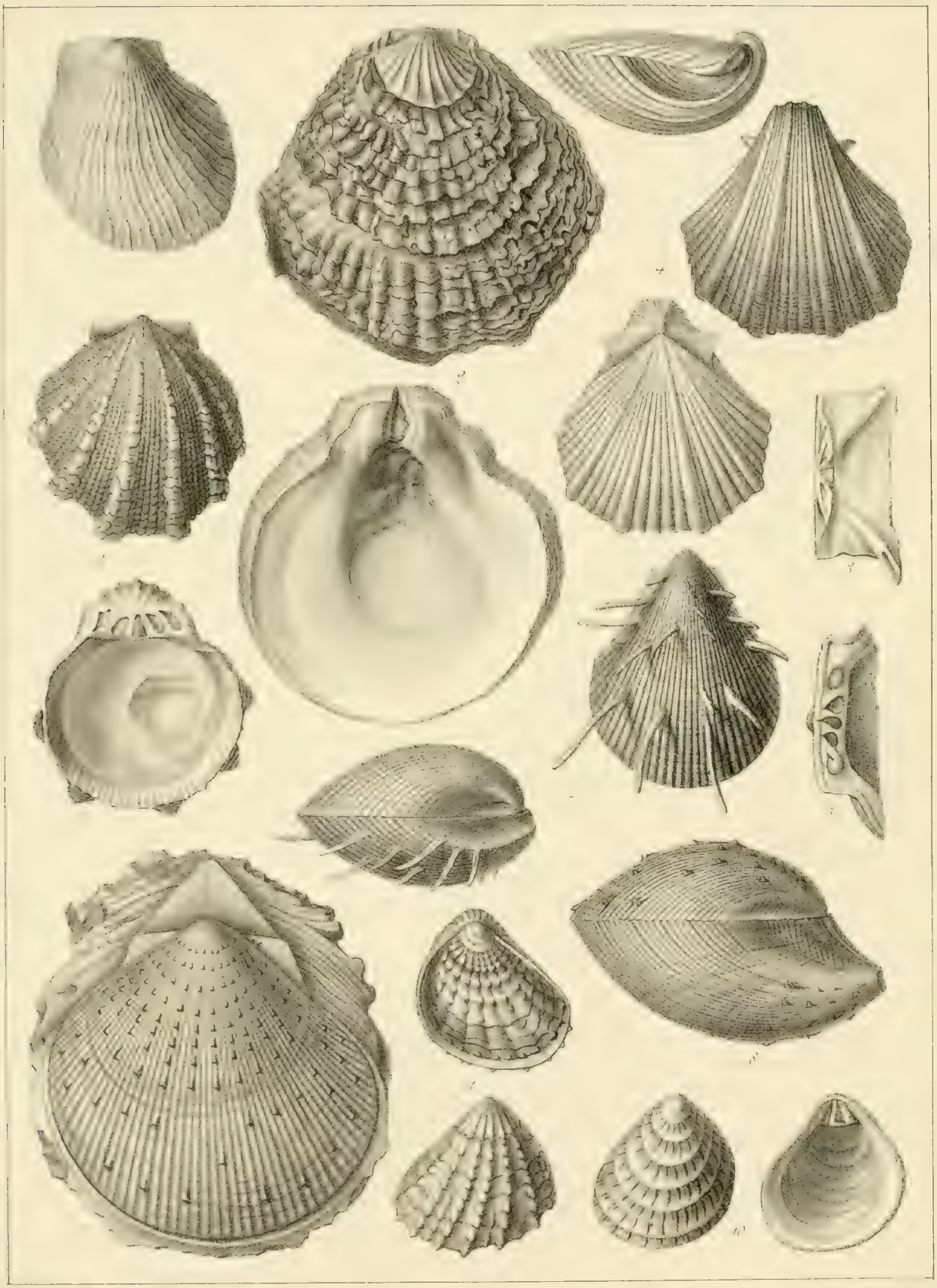

Pectinides.

Lackerbauer lith. Imp. Lemercier Paris

Ostracés.

Publié par J. B. Baillière Libraire à Paris

Lackerbauer del

Imp. Lemercier, Paris

Térébratulides et Thécidéides.

Publié par J B Baillière, Libraire à Paris

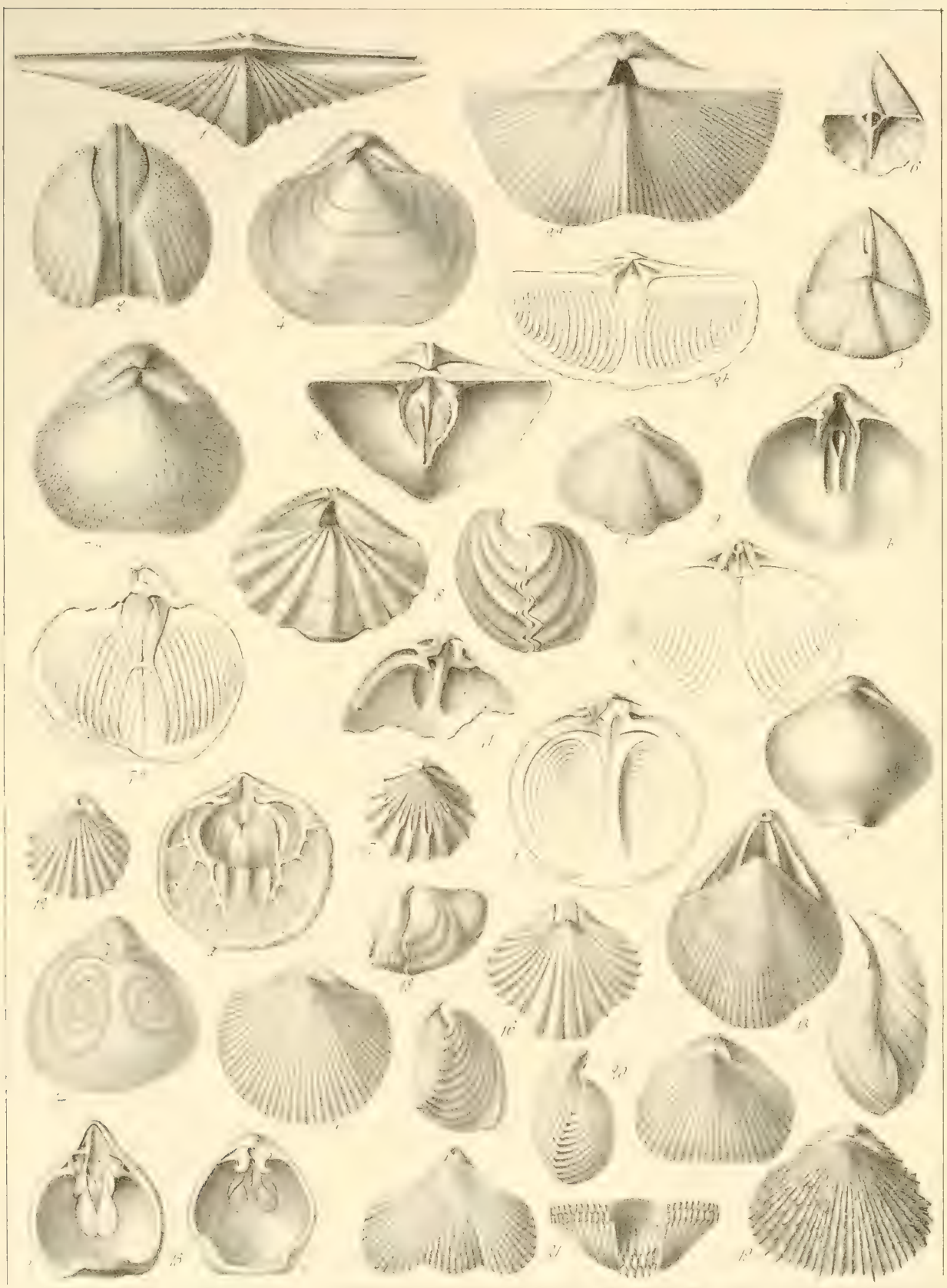

Lackerbauer lith

Imp. Lemercier, Paris

Spiriférides et Rhynchonellides.

Publié par J. B. Baillière Libraire à Paris

PLANCHE LXXXVI.

MOLLUSQUES BRACHIOPODES. — TÉRÉBRATULIDES ET THÉCIDÉIDES.

Fig. 1. — Anatomie de la *Terebratula flavescens* vivante, d'après M. Owen, t. IV, p. 4. — *a*, la bouche ; *b*, l'estomac ; *c*, l'intestin ; *d*, l'anus ; *e*, le foie ; *f*, le cœur ; *g*, les bras.
Fig. 2. — Muscles principaux chez la même espèce, t. IV, p. 6. — *a*, le pédoncule qui fixe la coquille ; *b*, le long adducteur antérieur ; *c*, le long adducteur postérieur ; *d*, le court adducteur ; *e*, le rétracteur inférieur ; *f*, le cardinal ; *g*, le rétracteur supérieur ; A, l'appareil qui supporte les bras.
Fig. 3. — La même *Terebratula flavescens* vivante, t. IV, p. 12, comme type des térébratules à supports des bras allongés, ou Waldheimia.
Fig. 4. — *Terebratula vitrea*, vivante, t. IV, p. 12, type des vraies térébratules à supports des bras courts.
Fig. 5. — *Terebratula numismalis*, Lamarck, du lias moyen.
Fig. 6. — *Terebratula Marcousana*, d'Orbigny, du terrain néocomien inférieur.
Fig. 7. — *Terebratula Collinaria*, d'Orb., du même gisement.
Fig. 8. — *Terebratula prælonga*, Sow., du même gisement.
Fig. 9. — *Terebratula diphyoïdes*, d'Orbigny, du terrain urgonien, type du groupe des ANTINOMYA.
Fig. 10. — *Terebratella chilensis* vivante, t. IV, p. 20.
Fig. 11. — *Terebratella pectunculus*, Schlotheim, du terrain oxfordien et du terrain corallien.
Fig. 12. — *Terebratella Menardi*, d'Orb., du terrain cénomanien du Mans.
Fig. 13. — *Terebratella truncata* vivante, type du groupe des MEGERLIA.
Fig. 14. — *Trigonosemus recurvus*, (*Terebratula recurva*, Defrance, *Fissurirostra recurva*, d'Orb.), t. IV, p. 22, de la craie blanche du département de la Manche.
Fig. 15. — *Terebrirostra neocomiensis*, d'Orb., t. IV, p. 23, du terrain néocomien inférieur.
Fig. 16. — *Terebratulina caput-serpentis* vivante, t. IV, p. 24.
Fig. 17. — *Terebratulina striata*, Wahlemberg, de la craie blanche.
Fig. 18. — *Magas pumilus*, Sowerby, t. IV, p. 25, de la craie blanche.
Fig. 19. — *Argiope decollata*, Chemnitz, vivante, t. IV, p. 26.
Fig. 20. — *Argiope decemcostata*, Rœmer, de la craie blanche.
Fig. 21. — *Stringocephalus Burtini*, Defrance, t. IV, p. 27, du terrain dévonien ; restauration théorique.
Fig. 22. — La même espèce.
Fig. 23. — *Thecidea radiata*, Defrance, t. IV, p. 28, de la craie supérieure de Maestricht.

PLANCHE LXXXVII.

MOLLUSQUES BRACHIOPODES. — SPIRIFÉRIDES ET RHYNCHONELLIDES.

Fig. 1. — *Spirifer macropterus*, Goldfuss, t. IV, p. 31, du terrain dévonien.
Fig. 2. — Moule du *Spirifer cultrijugatus*, Rœmer, du terrain dévonien, ressemblant à celui dont on a fait un des HYSTÉROLITHES, t. IV, p. 31.
Fig. 3. — *Spirifer striatus*, Martin, du terrain carbonifère. — *a*, la coquille, vue de côté de la petite valve ; *b*, intérieur de la petite valve, montrant les supports spiraux ; *c*, intérieur de la grande valve.
Fig. 4. — *Spirifer glaber*, Martin, du terrain carbonifère.

Fig. 5. — *Cyrtia tropezoïdalis*, Sow., t. IV, p. 35, du terrain silurien supérieur.
Fig. 6. — *Cyrtia heteroclyta*, Defr., du terrain dévonien.
Fig. 7. — *Spiriferina rostrata*, Schloth., sp., t. IV, p. 36, du lias. — *a*, vu en dehors ; *b*, intérieur.
Fig. 8. — *Spiriferina Walcotii*, Sowerby, du lias.
Fig. 9. — *Spirigera concentrica*, de Buch, t. IV, p. 37, du terrain dévonien.—*a*, vu en dehors; *b*, intérieur de la grande valve ; *c*, intérieur de la petite valve.
Fig. 10. — *Spirigera herculea*, Barrande, sp., du terrain silurien de Bohême.
Fig. 11. — *Spirigerina reticularis*, (Lin.) d'Orb., t. IV, p. 39, du terrain dévonien. — *a*, vue en dehors; *b*, intérieur de la petite valve; *c*, charnière de la petite valve lorsqu'on a enlevé les supports spiraux ; *d*, intérieur de la grande valve.
Fig. 12. — *Retzia Adriani*, (Vern.) King, t. IV, p. 40, du terrain dévonien des Asturies.
Fig. 13. — *Uncites gryphus*, Defrance, t. IV, p. 41, du terrain dévonien du Rhin.
Fig. 14. — *Koninckia Leonhardi*, (Wissmann) Davidson, t. IV, p. 41, du terrain saliférien de Saint-Cassian.
Fig. 15. — *Rhynchonella psittacea* vivante, t. IV, p. 42. — *a*, intérieur de la grande valve ; *b*, intérieur de la petite valve.
Fig. 16. — *Rhynchonella inaurita*, Sandberger, du terrain dévonien du Hartz.
Fig. 17. — *Rhynchonella rimosa*, de Buch, du lias.
Fig. 18. — *Rhynchonella ringens*, Hérault, de l'oolithe inférieure.
Fig. 19. — *Rhynchonella spinosa*, Thill., de l'oolithe inférieure, type du groupe des Acanthothyris, t. IV, p. 43.
Fig. 20. — *Rhynchonella lata*, d'Orbigny, du terrain néocomien inférieur.
Fig. 21. — *Rhynchonella vespertilio*, d'Orbigny, de la craie blanche.

PLANCHE LXXXVIII.

MOLLUSQUES BRACHIOPODES. — RHYNCHONELLIDES ET PRODUCTIDES.

Fig. 1. — *Atrypa velox*, Barrande, sp., t. IV, p. 48, du terrain silurien de Bohême.
Fig. 2. — *Camarophoria Schlotheimi*, (de Buch) King, t. IV, p. 51, du terrain permien.
Fig. 3. — Coupe du *Camarophoria multiplicata*, King, du terrain permien.
Fig. 4. — *Pentamerus galeatus*, Dalman, t. IV, p. 52, du terrain silurien supérieur.
Fig. 5. — *Porambonites intercedens*, (Schloth.) Pander, t. IV, p. 53, du terrain silurien inférieur.
Fig. 6. — *Porambonites Ribeiro*, Sharpe, du terrain silurien supérieur.
Fig. 7. — *Orthis rustica*, Sowerby, t. IV, p. 55, du terrain silurien supérieur. — *a*, vue en dehors ; *b*, intérieur de la grande valve ; *c*, intérieur de la petite valve.
Fig. 8. — *Orthis striatula* (*Terebratulites striatulus*, Schl.), du terrain dévonien.— *a*, vue en dehors ; *b*, intérieur de la grande valve ; *c*, intérieur de la petite valve ; *d*, moule intérieur dont on a fait un des Hystérolithes, t. IV, p. 55.
Fig. 9. — *Orthisima Verneuili*, (Eichwald) d'Orb., t. IV, p. 57, du terrain silurien inférieur de Russie.
Fig. 10. — *Orthisina plana* (*Pronites plana*, Pander), du même gisement.
Fig. 11. — *Orthisina pelargonata* (*Terebratulites pelargonatus*, Schl.), du terrain permien de Russie.
Fig. 12. — *Strophomena rhomboïdalis*, Walh. (*Leptæna depressa*, Verneuil), t. IV, p. 58, du terrain silurien supérieur.— *a*, vue du côté de la petite valve ; *b*, vue du côté de la grande ; *c*, intérieur de la petite valve ; *d*, intérieur de la grande.
Fig. 13. — *Leptæna transversalis*, Dalman, t. IV, p. 60, du terrain silurien supérieur. — *a*, vue en dehors; *b*, intérieur de la petite valve.

Lackerbauer lith. Imp. Lemercier Paris

Rhynchonellides et Productides.

Publié par J.B. Baillière Libraire à Paris

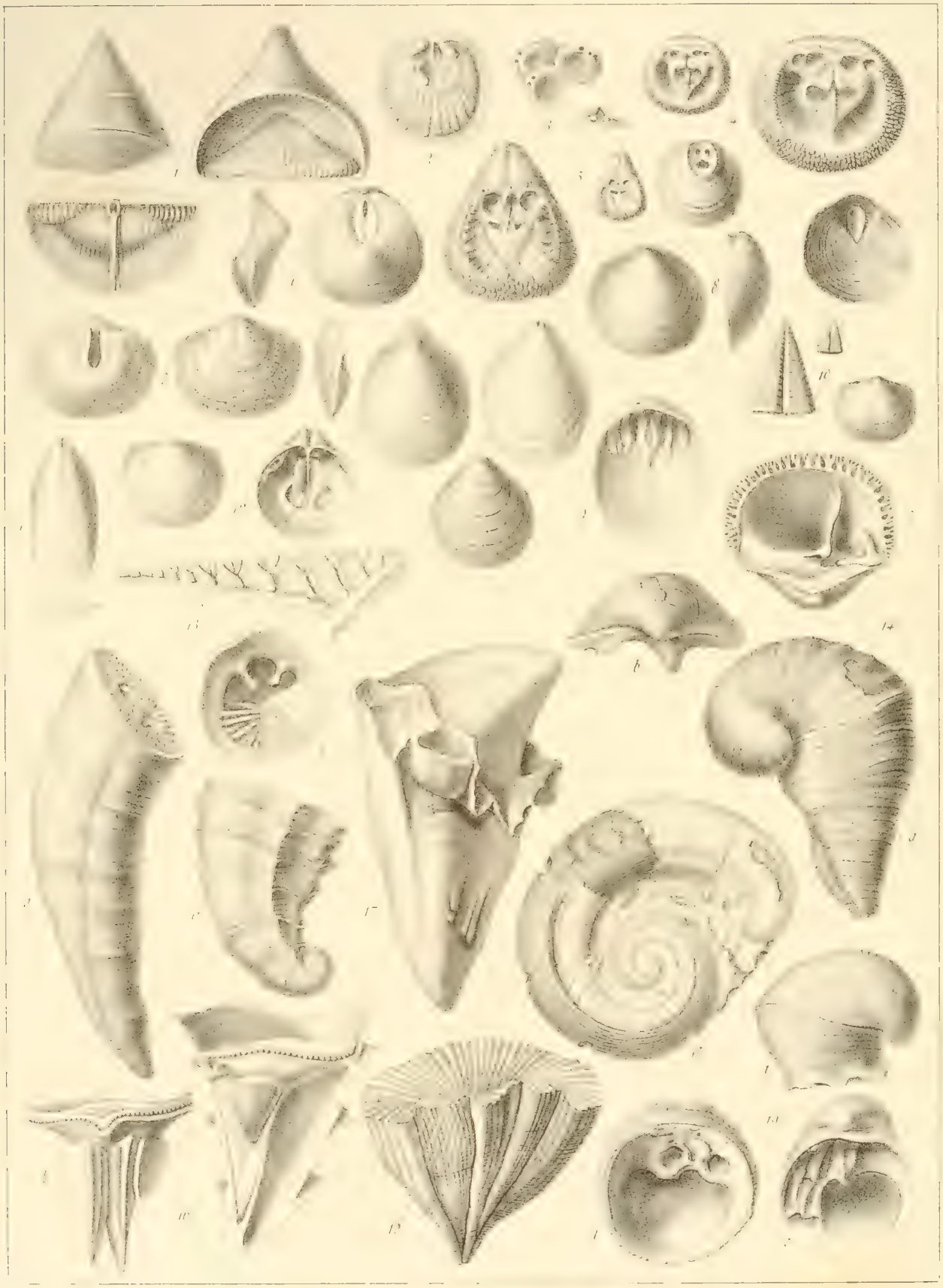

Imp. Lemercier, Paris

Calcéolides, Cranides, Orbiculides, Lingulides — Rudistes.

Publié par J. B. Baillière, Libraire à Paris

Fig. 14. — *Leptæna Moorei*, Davidson, du lias.
Fig. 15. — *Productus scabriculus*, Martin, t. IV, p. 62, du terrain carbonifère.
Fig. 16. — *Productus proboscideus*, Vern., du même gisement; type des espèces à grande valve prolongée en tube.
Fig. 17. — *Productus horridus*, Sow., du terrain permien. — *a*, vue du côté de la grande valve; *b*, charnière de la même valve; *c*, intérieur de la petite valve.
Fig. 18. — *Chonetes sarcinulata*, Schloth., sp., t. IV, p. 64, du système dévonien.
Fig. 19. — *Chonetes concentrica*, de Koninck, du terrain carbonifère.
Fig. 20. — *Davidsonia Verneuilli*, Bouchard, t. IV, p. 65, du terrain dévonien.

PLANCHE LXXXIX.

MOLLUSQUES BRACHIOPODES. — CALCÉOLIDES, CRANIDES, ORBICULIDES, LINGULIDES. — RUDISTES.

Fig. 1. — *Calceola sandalina*, Lamarck, t. IV, p. 65, du terrain dévonien.
Fig. 2. — *Crania divaricata*, Mac Coy, t. IV, p. 66 (sous-genre *Pseudocrania*), du terrain silurien inférieur d'Angleterre.
Fig. 3. — *Crania cranioloris*, Mac Coy (sous-genre *Spondylolobus*), du terrain silurien inférieur d'Angleterre.
Fig. 4. — *Crania nummulus*, Lam. (*Nummulus brattenburgensis*, Stobœus), de la craie blanche du nord de l'Europe.
Fig. 5. — *Crania antiqua*, Def., de la craie blanche de France.
Fig. 6. — *Orbicula lamellosa*, Broderip, vivante, t. IV, p. 68.
Fig. 7. — *Trematis terminalis*, Emmons, t. IV, p. 69, du terrain silurien d'Amérique (calcaire bleu de Cincinnati).
Fig. 8. — *Orbiculoidea Towshendii*, Forbes, t. IV, p. 70, du terrain oxfordien d'Angleterre.
Fig. 9. — *Siphonotreta unguiculata*, Eichwald, t. IV, p. 72, du terrain silurien inférieur de Russie.
Fig. 10. — *Acrotreta subconica*, Kutorga, t. IV, p. 72, du terrain silurien inférieur de Russie.
Fig. 11. — *Lingula ovata*, Mac Coy, t. IV, p. 73, du terrain silurien inférieur d'Angleterre.
Fig. 12. — *Obolus Apollinis*, Eichwald, t. IV, p. 75, du terrain silurien inférieur de Russie.
Fig. 13. — *Hippurites bioculata*, Lam., t. IV, p. 81, de l'étage turonien. — *a*, la coquille entière, vue de profil; *b*, dessus de la valve supérieure, avec différents degrés d'altération, d'après M. d'Orbigny; *c*, coupe de la même valve, pour montrer la direction des canaux et la jonction des valves.
Fig. 14. — *Caprina Aguilhoni*, d'Orbigny, t. IV, p. 82. — *a*, la coquille complète; *b*, la valve supérieure montrant la dent allongée qui sert à l'articulation; *c*, intérieur de la même valve montrant les tubes ramifiés du bord.
Fig. 15. — *Caprinella triangularis*, d'Orb., t. IV, p. 83, du terrain cénomanien.
Fig. 16. — *Radiolites Fleuriausa*, d'Orb., t. IV, p. 84. — *a*, la valve inférieure, vue de profil; *b*, la valve supérieure, montrant les dents allongées qui entrent dans la valve inférieure; *c*, coupe de la valve inférieure, montrant la position qu'y occupe la valve supérieure.
Fig. 17. — *Radiolites Hœninghausii*, Desm., à l'état de moule, dont on a fait le genre BIROSTRITES et le genre JODAMIA.
Fig. 18. — *Biradiolites cornu-pastoris*, d'Orb., t. IV, p. 86, de la troisième zone de Rudistes (étage turonien).
Fig. 19. — *Caprotina semistriata*, d'Orb., t. IV, p. 86, du terrain cénomanien. — *a*, la coquille entière, vue de profil; *b*, intérieur de la valve inférieure; *c*, intérieur de la valve supérieure.

PLANCHE XC.

MOLLUSQUES BRYOZOAIRES. — CELLARIOÏDES, ESCHAROÏDES, FLUSTRINOÏDES, CRISIDES, OPERCULINÉS.

Fig. 1. — *Canda schizostoma*, t. IV, p. 94 (*Bactridium schizostomum*, Reuss), du bassin miocène de Vienne.
Fig. 2. — *Cellaria cactiformis*, d'Orb., t. IV, p. 95, de la craie blanche.
Fig. 3. — *Vincularia dichotoma*, d'Orb., t. IV, p. 97, de la craie blanche de France.
Fig. 4. — *Vincularia normaniana*, d'Orb., du même gisement.
Fig. 5. — *Eschara cenomana*, d'Orb., t. IV, p. 98, de l'étage cénomanien.
Fig. 6. — *Lunulites Bourgeoisi*, d'Orb., t. IV, p. 100, de la craie blanche.
Fig. 6 *bis*. *Lunulites Goldfussii*, Hagenow, de la craie supérieure de Maestricht.
Fig. 7. — *Retepora frustulata*, Defrance, t. IV, p. 101, du terrain miocène.
Fig. 8. — *Hippothoa elegans*, d'Orb., t. IV, p. 102, de la craie blanche.
Fig. 9. — *Vincularina sulcata*, d'Orb., t. IV, p. 105, de la craie blanche.
Fig. 10. — *Porina angustata*, d'Orb., t. IV, p. 107, de la craie blanche.
Fig. 11. — *Escharellina oculata*, d'Orb., t. IV, p. 108, de la craie blanche.
Fig. 12. — *Escharifora Circe*, d'Orb., t. IV, p. 109, de la craie blanche.
Fig. 13. — *Escharella arge*, d'Orb., t. IV, p. 109, de la craie blanche.
Fig. 14. — *Discoporella umbellata*, d'Orb., t. IV, p. 111, du terrain miocène de France.
Fig. 15. — *Porellina coscinophora*, Reuss, t. IV, p. 111, du bassin miocène de Vienne.
Fig. 16. — *Escharipora incrassata*, d'Orb., t. IV, p. 112, de la craie blanche.
Fig. 17. — *Steginopora irregularis*, d'Orb., t. IV, p. 113, de la craie blanche.
Fig. 18. — *Siphonella subcompressa*, Hagenow, t. IV, p. 114, de la craie de Maestricht.
Fig. 19. — *Discoflustrellaria doma*, d'Orb., t. IV, p. 114, de la craie blanche.
Fig. 20. — *Flustrella pulchella*, d'Orb., t. IV, p. 126, de la craie blanche.
Fig. 21. — *Flustrina elegans*, d'Orb., t. IV, p. 117, de la craie blanche.
Fig. 22. — *Crisia Haueri*, Reuss, t. IV, p. 120, du bassin miocène de Vienne.
Fig. 23. — *Nodelea angulosa*, d'Orb., t. IV, p. 121, de la craie blanche.
Fig. 24. — *Melicertites gracilis*, d'Orb. (*Ceriopora gracilis*, Michelin), t. IV, p. 122, de l'étage cénomanien.
Fig. 25. — *Elea triangularis*, d'Orb., (*Eschara triangularis*, Michelin), t. IV, p. 123, du gault des Ardennes. — *a*, la colonie de grandeur naturelle; *b*, cellules grossies; *c*, deux cellules plus grossies dont l'une avec son opercule.
Fig. 26. — Différents degrés d'usure de la *Diastopora lamellosa*, Michelin, d'après M. Haime, t. IV, p. 123. — *a*, état de conservation où ce fossile est une véritable *Diastapora; b*, état usé où elle devient l'*Elea Ranvilliana*.
Fig. 27. — *Foricula spinosa*, d'Orb., t. IV, p. 125, de la craie blanche.
Fig. 28. — *Myriozoum punctatum*, d'Orb., t. IV, p. 125, de la craie blanche.

PLANCHE XCI.

MOLLUSQUES BRYOZOAIRES. — TUBULIPORIDES.

Fig. 1. — *Fasciculipora Marsillii*, d'Orb. (*Frondipora Marsillii*, Mich.), t. IV, p. 126, du terrain pliocène de l'Astézan.
Fig. 2. — *Discofascigera radiata*, d'Orb., t. IV, p. 127, de la craie blanche.

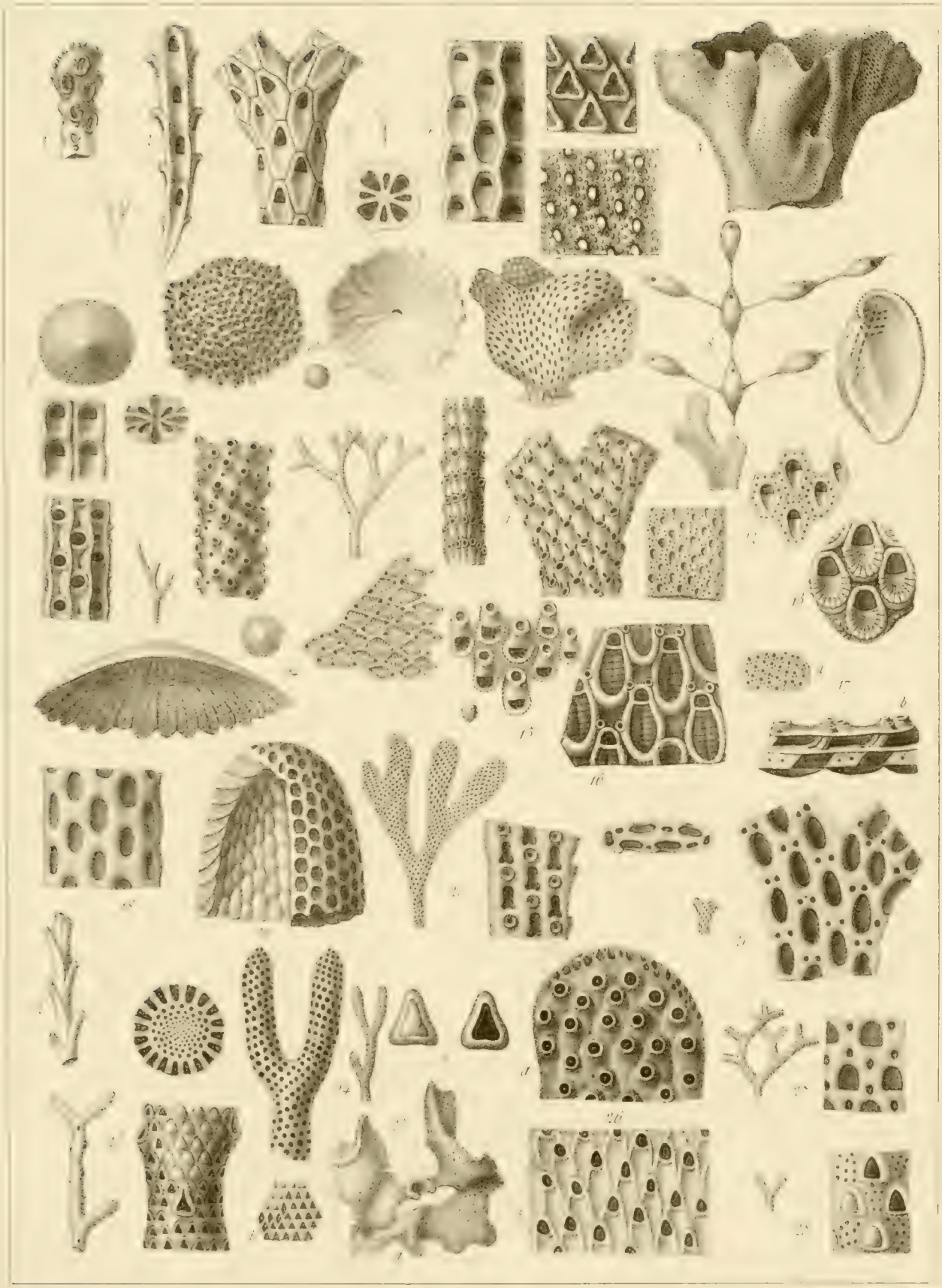

Cellarioïdes . Escharoïdes . Flustrinoïdes , Crisides . Operculinés

Tubuliporides

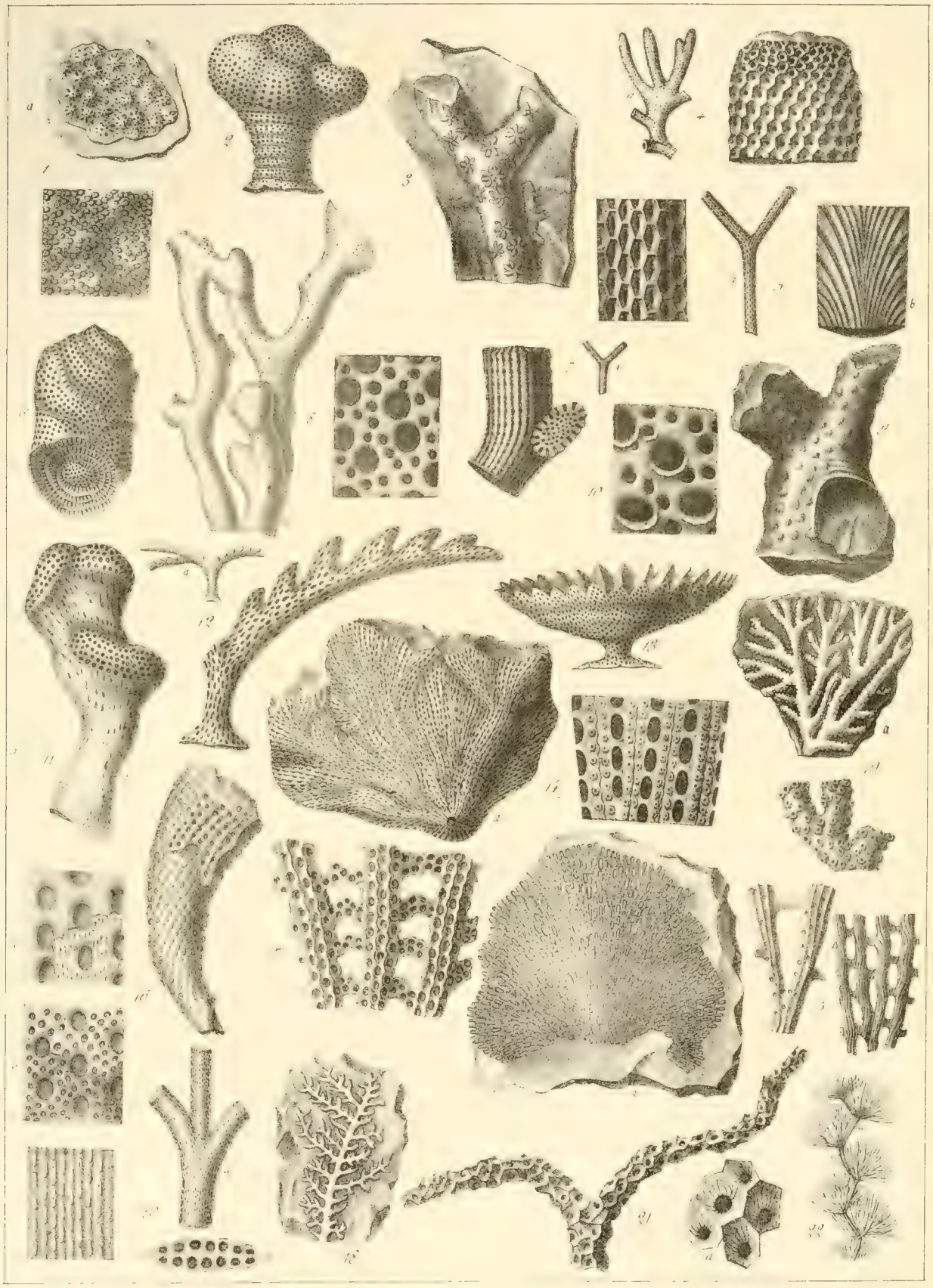

Imp. Lemercier, Paris

Tubuliporides.

Publié par J.B. Baillière et

Fig. 3. — *Cyrtopora elegans*, Hagenow, t. IV, p. 127, de la craie blanche.
Fig. 4. — *Osculipora truncata*, d'Orb. (*Truncatula truncata*, Hagenow), t. IV, p. 128, du terrain sénonien.
Fig. 5. — *Apseudesia cristata*, Lamouroux, t. IV, p. 129, de la grande oolithe de Normandie.
Fig. 6. — *Theonea irregularis*, d'Orb. (*Lopholepis irregularis*, Hagenow), t. IV, p. 130, de la craie de Maestricht.
Fig. 7. — *Corymbopora Menardi*, Michelin, t. IV, p. 130, de l'étage cénomanien du Mans.
Fig. 8. — *Fascipora pavonina*, d'Orb. (*Diastopora pavonina*, Michelin), t. IV, p. 131, de l'étage cénomanien du Mans.
Fig. 9. — *Spiropora antiqua*, d'Orb. (*Cricopora verticillata*, Goldf.), t. IV, p. 131, de la craie de Maestricht.
Fig. 10. — *Entalophora cellarioïdes*, Lamouroux, t. IV, p. 133, de la grande oolithe de Normandie.
Fig. 11. — *Entalophora tenuis*, d'Orb., de l'étage cénomanien.
Fig. 12. — *Diastopora foliacea*, Lamouroux, t. IV, p. 135, de la grande oolithe de Normandie.
Fig. 13. — *Idmonea carantina*, d'Orb., t. IV, p. 138, du terrain turonien d'Angoulême.
Fig. 14. — *Idmonea cancellata*, Reuss, du bassin miocène de Vienne.
Fig. 15. — *Tubigera disticha*, d'Orb. (*Retepora disticha*, Goldf.), t. IV, p. 138, de la craie blanche.
Fig. 16. — *Clausa heteropora*, d'Orb., t. IV, p. 140, de l'étage cénomanien.
Fig. 16 *bis*. *Claviclausa globulosa*, d'Orb., t. IV, p. 140, de la craie blanche.
Fig. 17. — *Terebellaria ramosissima*, Lamouroux, t. IV, p. 141, de la grande oolithe de Normandie.
Fig. 18. — *Tubulipora fascicularis*, d'Orb., t. IV, p. 142, de l'étage néocomien de Wassy.
Fig. 19. — *Stomatopora parvula* (*Alecto parvula*, Michelin), t. IV, p. 142, du terrain miocène de Douai.
Fig. 20. — *Proboscina ramosa*, d'Orb., t. IV, p. 143, de l'étage cénomanien.
Fig. 21. — *Radiotubigera organisans*, d'Orb., t. IV, p. 144, de la craie blanche.
Fig. 22. — *Discosparsa tuberculata*, d'Orb., t. IV, p. 146, de la craie blanche.
Fig. 23. — *Conotubigera irregularis*, d'Orb., t. IV, p. 146, de la craie de Meudon.
Fig. 24. — *Hornera andegavensis*, Michelin, t. IV, p. 146, du terrain miocène de Douai.
Fig. 25. — *Crisina pertusa*, d'Orb. (*Idmonea pertusa*, Reuss), t. IV, p. 147, du terrain miocène de Vienne.
Fig. 26. — *Zonopora pseudotorquata*, d'Orb. (*Plethopora pseudotorquata*, Hagenow), de Maestricht, t. IV, p. 149.
Fig. 27. — *Cavea regularis*, d'Orb., t. IV, p. 150, de l'étage turonien.
Fig. 28. — *Ditaxia anomalopora*, Hagenow, t. IV, p. 150, de la craie de Maestricht.
Fig. 29. — *Pyricavea Francqana*, d'Orb., t. IV, p. 151, de la craie de Meudon.
Fig. 30. — *Lichenopora Phillipsii*, Haime, t. IV, p. 151, de la grande oolithe d'Angleterre.

PLANCHE XCII.

MOLLUSQUES BRYOZOAIRES. — TUBULIPORIDES.

Fig. 1. — *Radiopora licheniformis* (*Ceriopora licheniformis*, Mich.), t. IV, p. 153, de l'étage miocène de Douai; *a*, grandeur naturelle.
Fig. 2. — *Domopora Muletiana*, d'Orb., t. II, p. 154, de l'étage aptien.
Fig. 3. — *Constellaria anteloïdea*, Dana, t. IV, p. 154, du terrain silurien inférieur des États-Unis.
Fig. 4. — *Cea digitata*, d'Orb., t. IV, p. 155, de la craie blanche; *a*, grandeur naturelle.
Fig. 5. — *Filicea regularis*, d'Orb., t. IV, p. 156, de la craie blanche; *a*, grandeur naturelle.
Fig. 6. — *Ceriopora tubiporacea*, Goldf., t. IV, p. 156, de la craie de Maestricht.
Fig. 7. — *Sulcocava sulcata*, d'Orb., t. IV, p. 157, de la craie blanche; *a*, grandeur naturelle.

Fig. 8. — *Heteropora ramosa*, Mich., t. IV, p. 160, de la grande oolithe de Normandie; *a*, grandeur naturelle.

Fig. 9. — *Nodicreseis inæqualis*, d'Orb., t. IV, p. 161, de la grande oolithe, rapportée par M. Haime à l'*Heteropora pustulosa;* de grandeur naturelle.

Fig. 10. — *Chilopora Guernoni*, Haime, t. IV, p. 162, de la grande oolithe de Granville, grossie.

Fig. 11. — *Plethoporâ truncata*, de Hagenow, t. IV, p. 163, de la craie blanche; *a*, grandeur naturelle.

Fig. 12. — *Unicytis falcata*, d'Orb., t. IV, p. 163, de la craie blanche; *a*, grandeur naturelle.

Fig. 13. — *Discocytis Eudesii*, d'Orb. (*Pelagia Eudesii*, Mich.), t. IV, p. 164, de l'étage cénomanien du Mans.

Fig. 14. — *Fenestella retiformis*, Schloth., t. IV, p. 165, de l'étage permien d'Angleterre; *a*, grandeur naturelle.

Fig. 15. — *Polypora incepta*, Hall, t. IV, p. 166, du silurien moyen d'Amérique, groupe du Niagara; *a*, grandeur naturelle.

Fig. 16. — *Phyllopora Ehrenbergi*, King (*Gorgonia Ehrenbergi*, Geinitz), t. IV, p. 161, du terrain permien. — *a*, face externe ou inférieure grossie; *b*, face interne grossie.

Fig. 17. — *Synocladia virgulacea*, King (*Retepora virgulacea*, Phillips), t. IV, p. 167, du terrain permien, grossie.

Fig. 18. — *Acanthocladia anceps*, (Schloth.) King, t. IV, p. 168, du terrain permien.

Fig. 19. — *Thamniscus dubius*, (Schloth.) King, t. IV, p. 168, du terrain permien; *a*, grandeur naturelle.

Fig. 20. — *Ptilodyctia costellata*, Mac Coy, t. IV, p. 169, du terrain silurien supérieur d'Angleterre; *a*, grandeur naturelle.

Fig. 21. — *Seriatopora flexuosa*, Hall, t. IV, p. 170, du silurien moyen d'Amérique, groupe du Niagara.

Fig. 22. — *Oldhamia antiqua*, Forbes, t. IV, p. 171, du terrain cambrien (le plus ancien des êtres organisés connus).

PLANCHE XCIII.

ÉCHINODERMES ÉCHINIDES. — SPATANGOÏDES.

Fig. 1. — *Collyrites ellipticus*, Desm. (*Dysaster ellipticus*, Agass.), t. IV, p. 188, du terrain kellovien de la Suisse.

Fig. 2. — *Ananchytes ovata*, Leske, t. IV, p. 190, de la craie blanche. — *a*, vue de profil; *b*, vue en dessous; *c*, l'appareil apicial grossi.

Fig. 3. — *Holaster lævis*, Agass., t. IV, p. 191, du gault de la Suisse et de la Savoie. — *a*, vu en dessus; *b*, vu en dessous; *c*, l'appareil apicial grossi.

Fig. 4. — *Echinospatagus cordiformis*, Breyn, t. IV, p. 194, espèce plus connue sous le nom de *Toxaster complanatus*, fréquente dans le terrain néocomien de la Suisse.

Fig. 5. — Portion supérieure de l'ambulacre antérieur grossi.

Fig. 6. — Même organe chez l'*Heteraster Couloni*, d'Orb., du terrain urgonien, t. IV, p. 195.

Fig. 7. — Même partie chez l'*Ennallaster Greenovi*, Forbes, du grès vert de Blackdown, t. IV, p. 195.

Fig. 8. — *Micraster cor-anguinum*, Klein, t. IV, p. 196, de la craie blanche, vu en dessous.

Fig. 9. — *Epiaster polygonus*, d'Orb., t. IV, p. 196, du terrain aptien de la perte du Rhône.

Fig. 10. — *Hemiaster minimus*, Desor, t. IV, p. 197, du gault de la perte du Rhône.

Fig. 11. — *Periaster conicus*, d'Orb., t. IV, p. 198, de l'étage cénomanien.

Fig. 12. — *Schizaster rimosus*, Desor, t. IV, p. 199, du terrain nummulitique de Biarritz.

Fig. 13. — *Spatangus Desmaresti*, Munster, t. IV, p. 199, de l'époque miocène.

Fig. 14. — *Amphidetus Goldfussi*, Agass., t. IV, p. 202, espèce d'une origine douteuse, mais figurée comme donnant bien les caractères du genre.

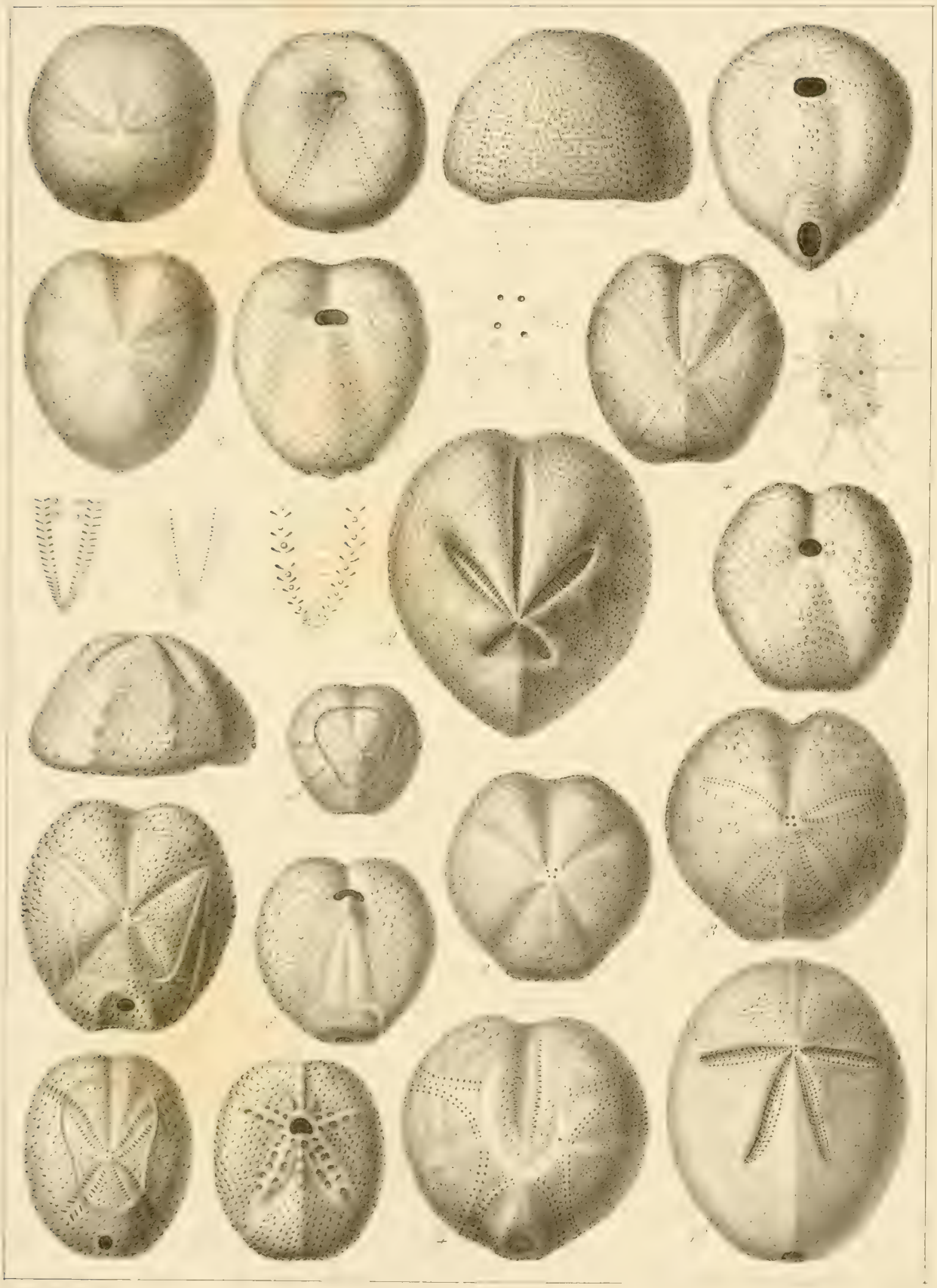

Spatangoides

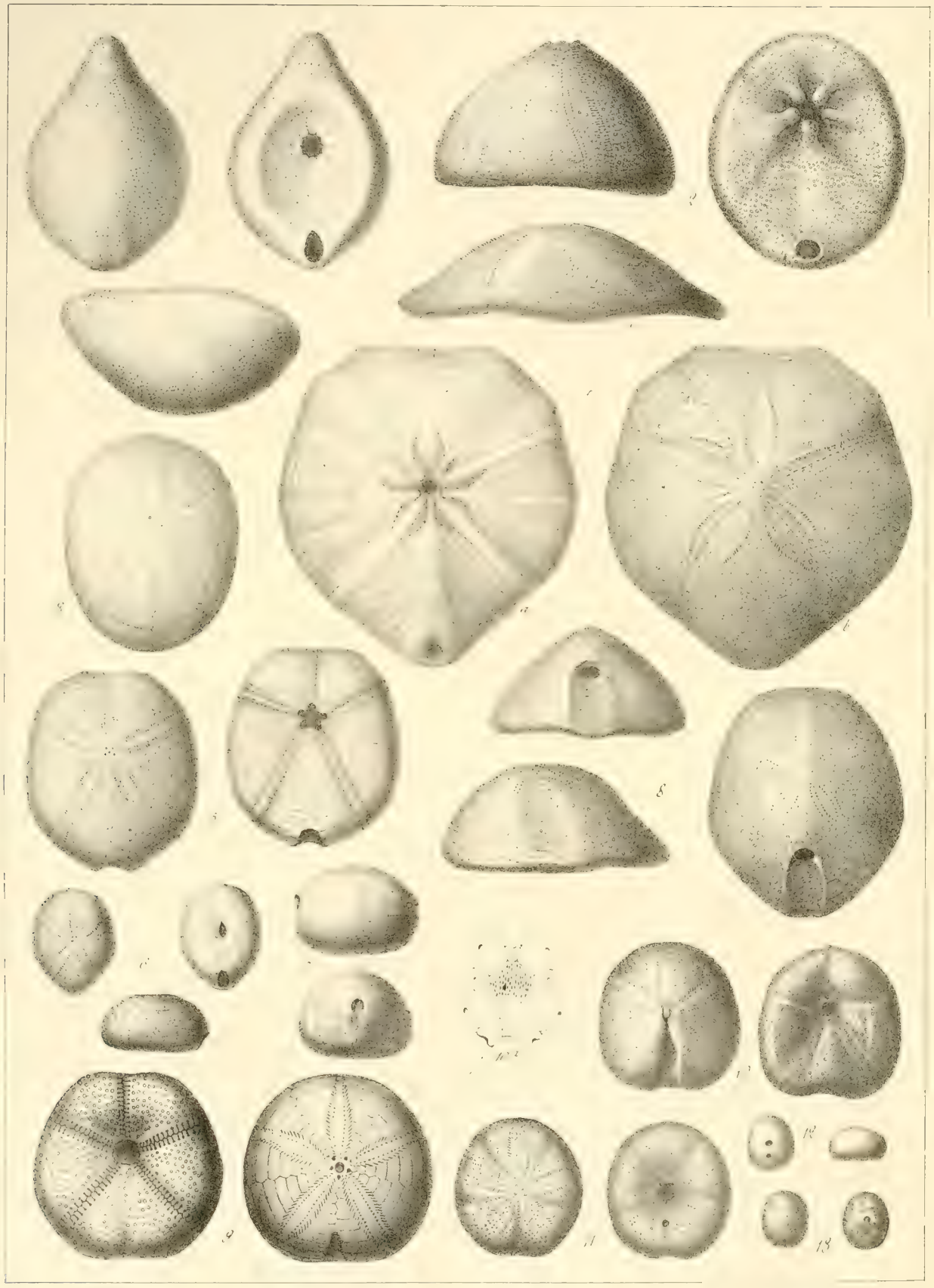

Lackerbauer

Imp. Lemercier Paris

Clypéastroïdes

Publié par J. B. Baillière et Fils à Paris

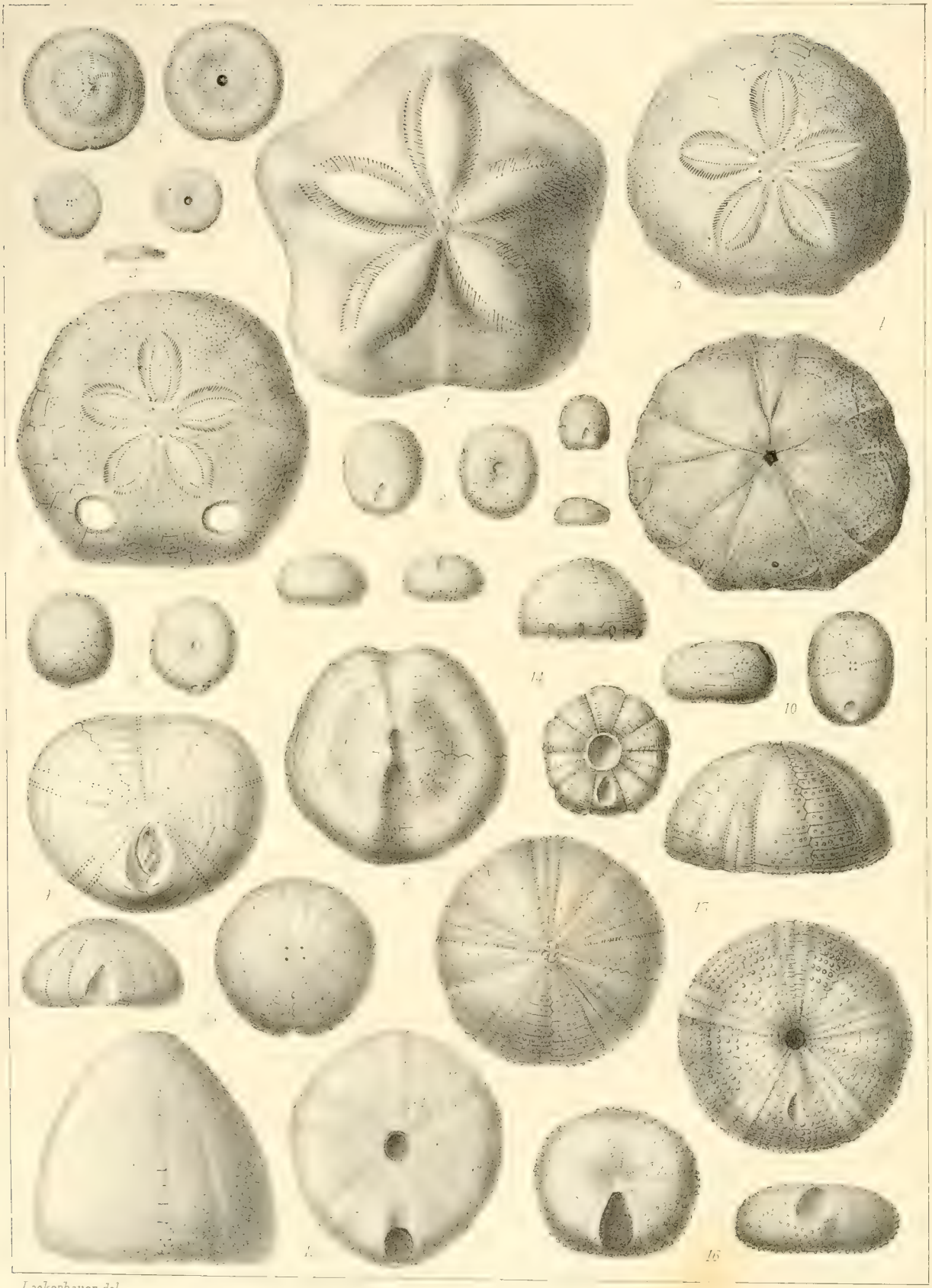

Lackerbauer del

Lith. Becquet frères

Clypéastroïdes.

Publié par J.B. Baillière et fils, Libraires à Paris

Fig. 15. — *Gualtieria Orbignyana*, Agass., t. IV, p. 202, du terrain nummulitique de Royan.
Fig. 16. — *Brissus Scillæ*, Agass., t. IV, p. 202, du crag corallien d'Angleterre.

N. B. Dans toutes les figures de cette planche, la partie antérieure est en haut; de sorte que, lorsqu'on voit la bouche, elle est au-dessus de la moitié, et que l'anus est l'ouverture située vers le bas de la figure.

PLANCHE XCIV.

ÉCHINODERMES ÉCHINIDES. — CLYPÉASTROÏDES.

Fig. 1. — *Archiacia sandalina*, Ag. (*Clypeaster sandalinus*, d'Archiac), t. IV, p. 207, du terrain cénomanien de France.
Fig. 2. — *Conoclypus Leskei*, Ag. (*Clypeaster Leskei*, Goldf.), t. IV, p. 208, de la craie de Maestricht.
Fig. 3. — *Echinolampas Escheri*, Ag., t. IV, p. 209, du terrain nummulitique de la Suisse.
Fig. 4. — *Pygurus rostratus*, Ag., t. IV, p. 211, de l'étage néocomien inférieur (valanginien).
Fig. 5. — *Pygurus minor*, Ag., du terrain néocomien supérieur (urgonien), de Lassaraz.
Fig. 6. — *Pygaulus depressus*, Ag. (*Nucleolites depressa*, Brongniart), t. IV, p. 213, du terrain néocomien supérieur (urgonien).
Fig. 7. — *Catopygus carinatus*, Ag. (*Nucleolites carinatus*, Goldf.), t. IV, p. 214, du terrain cénomanien de France et d'Angleterre.
Fig. 8. — *Cassidulus lapis cancri*, Lamarck, t. IV, p. 214, de la craie de Maestricht.
Fig. 9. — *Clypeus Hugii*, Ag., t. IV, p. 215, de l'oolithe inférieure de la Suisse.
Fig. 10. — *Nucleolites clunicularis*, Blainv. (*Clypeus clunicularis*, Lhwyd), t. IV, p. 216, de la grande oolithe et de l'oolithe inférieure d'Angleterre.
Fig. 11. — *Echinocyamus occitanicus*, Ag., t. IV, p. 218, du calcaire grossier éocène du Médoc et de l'Espagne.
Fig. 12. — *Fibularia subglobosa*, Lamarck (*Echinoneus subglobosus*, Goldf.), t. IV, p. 219, de la craie de Maestricht.
Fig. 13. — *Lenita patellaris*, Ag., t. IV, p. 219, du calcaire grossier de Grignon.

PLANCHE XCV.

ÉCHINODERMES ÉCHINIDES. — CLYPÉASTROÏDES.

Fig. 1. — *Clypeaster scutellatus*, Marcel de Serres, t. IV, p. 219, du terrain miocène de Boutonnet, près de Montpellier.
Fig. 2. — *Scutellina nummularia*, Ag., t. IV, p. 220, du calcaire grossier du bassin de Paris.
Fig. 3. — *Echinarachnius incisus*, Ag., t. IV, p. 221, du calcaire grossier de Hauteville (Manche).
Fig. 4. — *Scutella truncata*, Valenciennes, t. IV, p. 221, du terrain miocène de la Touraine.
Fig. 5. — *Lobophora bioculata*, Ag., du sous-genre des *Amphiope*, t. IV, p. 222; du terrain miocène du midi de la France.
Fig. 6. — *Hyboclypus gibberulus*, Ag., t. IV, p. 223, de l'oolithe inférieure d'Angleterre.
Fig. 7. — *Nucleopygus minor*, Ag., t. IV, p. 224, de la craie blanche de Royan.
Fig. 8. — *Desoria incisa*, Cotteau (*Nucleopygus incisus*, Ag.), t. IV, p. 224, du terrain néocomien.
Fig. 9. — *Desoria Orbignyana*, Cotteau, du terrain corallien.

Fig. 10. — *Pyrina ovulum*, Ag., t. IV, p. 225, de la craie blanche de Tours.
Fig. 11. — *Caratomus avellana*, Ag. (*Catopygus avellana*, Dubois), t. IV, p. 225, de la craie blanche de Ciply.
Fig. 12. — *Galerites albogalerus*, Lamarck, t. IV, p. 226, de la craie blanche.
Fig. 13. — *Discoidea cylindrica*, Ag., t. IV, p. 227, du terrain cénomanien.
Fig. 14. — Moule du *Discoidea conica*, Desor, du gault de la perte du Rhône, montrant les entailles caractéristiques du sous-genre des *Discoidea* proprement dites.
Fig. 15. — *Discoidea depressa*, Lamarck, de l'oolithe inférieure, appartenant au sous-genre des *Holectypus*.
Fig. 16. — *Pygaster truncatus*, Ag., t. IV, p. 228, du terrain cénomanien.

PLANCHE XCVI.

ÉCHINODERMES ÉCHINIDES. — CIDARIDES (*Latistellés*).

Dans ces figures, les lettres *a* désignent les ambulacres, et les lettres *i* les aires interambulacraires.

Fig. 1. — *Echinus Robinaldinus*, Cotteau, t. IV, p. 234, du terrain corallien du département de l'Yonne.
Fig. 2. — *Polycyphus corallinus*, Cotteau, t. IV, p. 237, du terrain à chailles du département de l'Yonne.
Fig. 3. — *Glypticus hieroglyphicus*, Agass., t. IV, p. 238, du terrain corallien.
Fig. 4. — *Temnechinus excavatus*, Forbes, t. IV, p. 239, du crag d'Angleterre. — *a*, grossissement du test.
Fig. 5. — Grossissement d'une portion du test du *Salmacis bicolor*, t. IV, p. 239, espèce vivante.
Fig. 6. — *Pedina sublævis*, Agass., t. IV, p. 239, du terrain corallien.
Fig. 7. — *Codiopsis doma* (Desm.), Agass, t. IV, p. 240, du terrain cénomanien.
Fig. 8. — *Cœlopleurus Agassizii*, d'Archiac, t. IV, p. 240, du terrain nummulitique de Biarritz.
Fig. 9. — *Arbacia Forbesi*, Wright, t. IV, p. 241, de l'oolithe inférieure d'Angleterre.
Fig. 10. — Zone porifère de l'*Echinopsis Edwarsi*, Forbes, t. IV, p. 242, de l'argile de Londres.
Fig. 11. — *Cyphosoma Beaumonti*, Agass., t. IV, p. 242, de la craie de Plaisance.
Fig. 12. — *Diadema Rhodani*, Agass., t. IV, p. 243, du gault de la perte du Rhône, avec le grossissement d'un des gros tubercules.
Fig. 13. — *Acrocidaris formosa*, Agass, t. IV, p. 246, du terrain kimméridgien inférieur (séquanien), de la Suisse.
Fig. 14. — *Gonyopygus major*, Agass., t. IV, p. 246, du terrain cénomanien de la Charente, avec le grossissement de la rosette apiciale.

PLANCHE XCVII.

ÉCHINODERMES ÉCHINIDES. — CIDARIDES (*Saléniens, Angustistellés et Archéocidariens*).

Fig. 1. — *Salenia personata*, Defr., t. IV, p. 247, du terrain cénomanien, avec le grossissement de la rosette apiciale.
Fig. 2. — *Peltastes acanthodes*, Agass., t. IV, p. 248, du terrain cénomanien. — *a*, la rosette apiciale

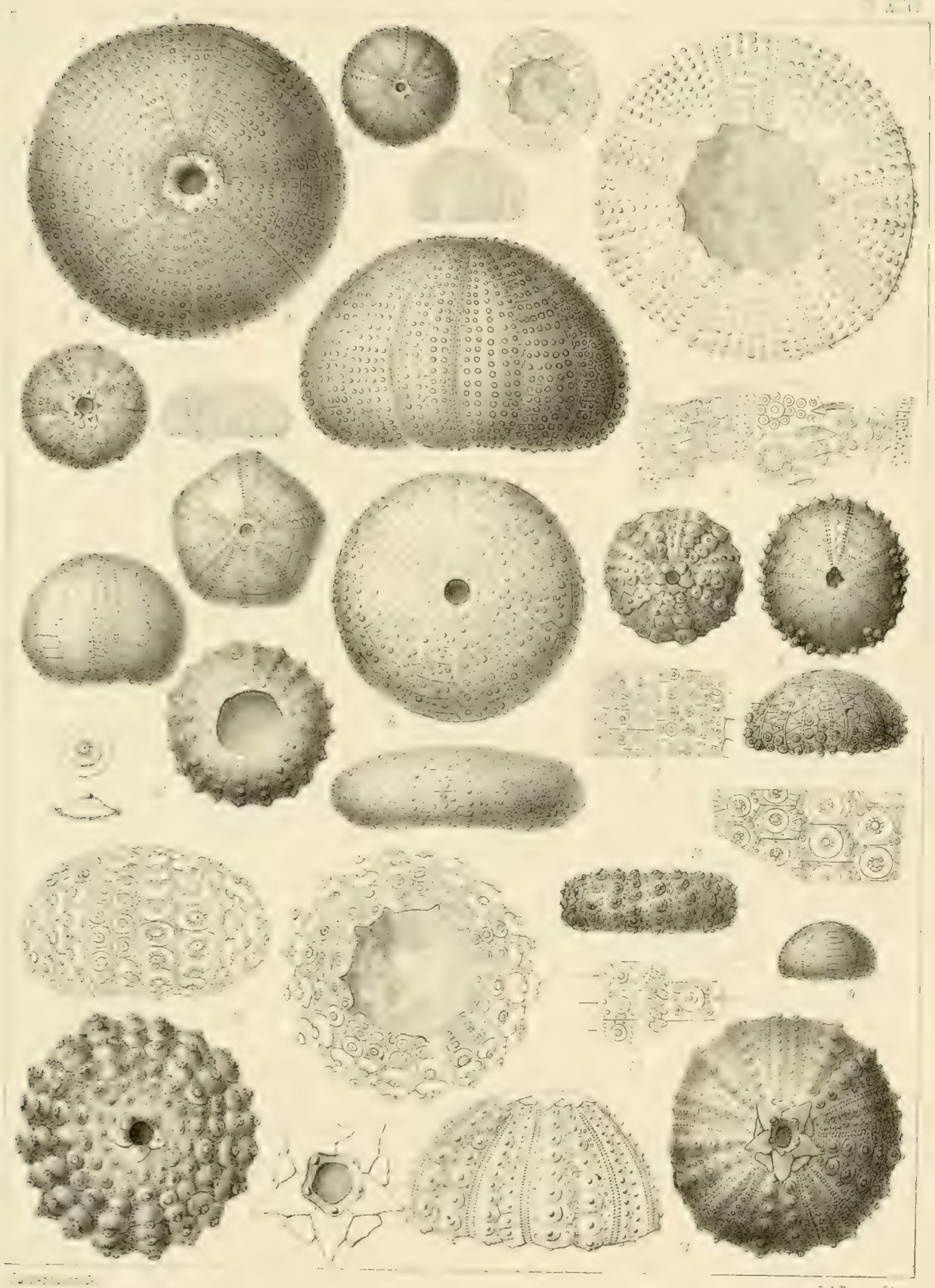

Cidarides latistellés.

Cidarides

Imp. Lemercier, Paris

Astérides et Ophiurides.

Publié par J. B. Baillière, et Fils à Paris

Fig. 3. — *Goniophorus apiculatus*, Agass., t. IV, p. 248, du terrain cénomanien du Havre. — *a*, rosette apiciale.

Fig. 4. — *Acrosalenia hemicidaroides*, Wright, t. IV, p. 249, de l'oolithe inférieure d'Angleterre.

Fig. 5. — *Milnia decorata*, Haime, t. IV, p. 249, du terrain corallien d'Angleterre. — *a* et *b*, de grandeur naturelle ; *c*, grossissement d'une rosette apiciale normale ; *d*, grossissement d'une rosette apiciale à plaques anales nombreuses.

Fig. 6. — *Hemicidaris intermedia*, Fleming, t. IV, p. 251, du terrain jurassique d'Angleterre. — *a*, *b* et *c*, de grandeur naturelle ; *d*, un des grands radioles de grandeur naturelle ; *e*, un des radioles secondaires fortement grossi ; *f*, rosette apiciale.

Fig. 7. — *Cidaris suevica*, Desor, t. IV, p. 252, du terrain oxfordien supérieur (argovien) de Suisse.

Fig. 8. — *Cidaris clavigera*, Kœnig, de la craie blanche d'Angleterre, trouvé avec ses radioles.

Fig. 9. — Radiole du *Cidaris Blumenbachi*, Munster, du terrain à chailles.

Fig. 10. — Radiole du *Cidaris cucumifera*, Agass., du terrain corallien.

Fig. 11. — Radiole du *Cidaris glandifera*, Goldf., du mont Carmel.

Fig. 12. — Portion du test du *Rhabdocidaris Orbignyana*, Desor, t. IV, p. 255, du terrain kimméridgien de France.

Fig. 13. — Radiole du *Rhabdocidaris maxima*, (Goldf.) Desor, de l'oolithe inférieure.

Fig. 14. — Radiole du *Rhabdocidaris Moraldina*, (Cotteau) Desor, du lias.

Fig. 15 — Portion du test du *Diplocidaris gigantea*, Desor, t. IV, p. 256, du terrain corallien.

Fig. 16. — Radiole du *Diplocidaris Wrighti*, Desor, de l'oolithe inférieure d'Angleterre.

Fig. 17. — Fragment de test du *Porocidaris veronensis*, (Mérian) Desor, t. IV, p. 256, du terrain nummulitique de Vérone.

Fig. 18. — Radiole du *Cidaris Schmideli*, Munster, rapporté avec doute au genre *Porocidaris*.

Fig. 19. — *Archæocidaris Nerii*, (Munster) Mac Coy, t. IV, p. 258, du terrain carbonifère de Belgique. — *a* et *b*, deux plaques isolées du test ; *c*, un radiole.

Fig. 20. — *Archæocidaris Verneuiliana*, King, (*Archæocidaris Keiserlingii*, Geinitz), quelques plaques du test.

Fig. 21. — Détails du test et des zones porifères du *Perischodomus biserialis*, Mac Coy, t. IV, p. 259 ; du calcaire carbonifère inférieur d'Irlande.

Fig. 22. — *Palechinus elegans*, Mac Coy, t. IV, p. 259, du calcaire carbonifère d'Irlande.

Fig. 23. — Zones porifères (aires ambulacraires) du *Melonites multipora*, D.-D. Owen, t. IV, p. 260, du calcaire carbonifère de Saint-Louis (Missouri).

PLANCHE XCVIII.

ÉCHINODERMES STELLÉRIDES. — ASTÉRIDES et OPHIURIDES.

Fig. 1. — *Uraster Ruthveni*, Forbes, t. IV, p. 263, du terrain silurien d'Angleterre.

Fig. 2. — *Palæaster niagarensis*, Hall, t. IV, p. 265, du silurien moyen (groupe du Niagara) des États-Unis d'Amérique.

Fig. 3. — *Tropidaster pectinatus*, Forbes, t. IV, p. 265, du lias du Gloucestershire. — *a*, un des rayons vu du côté ventral ; *b*, le même vu du côté dorsal.

Fig. 4. — *Palmipes antiqua*, Forbes (*Asterias antiqua*, Hisinger), t. IV, p. 266, du grès vert du Gothland.

Fig. 5. — Fragment de l'*Astrogonium Stokesi*, Forbes, t. IV, p. 267, de l'argile de Londres.

Fig. 6. — *Stellaster Comptoni*, Forbes, t. IV, p. 268, du grès vert de Blackdown.

Fig. 7. — *Pentagonaster uncatus*, Forbes, t. IV, p. 269, de la craie supérieure d'Angleterre.

Fig. 8. — *Crenaster Hastingsiæ*, Forbes, t. IV, p. 270, du lias du Yorkshire. — *a*, fragment d'un des bras grossi.

Fig. 9. — Fragment du *Lepidaster Grayi*, Forbes, t. IV, p. 273, du terrain silurien supérieur de Dudley.

Fig. 10. — *Acroura prisca*, Agass. (*Ophiura prisca*, Munster), t. IV, p. 275, du muschelkalk. — *a*, grandeur naturelle.

Fig. 11. — *Aplocoma Agassizii*, d'Orb. (*Acroura Agassizii*, Munster), t. IV, p. 275, du muschelkalk de Leineck. — *a*, grandeur naturelle.

Fig. 12. — *Ophiura Wetherelli*, Forbes, t. IV, p. 274, de l'argile de Londres.

Fig. 13. — *Aspidura loricata*, Agass. (*Ophiura loricata*, Goldfuss), t. IV, p. 276, du muschelkalk du Wurtemberg. — *a*, grandeur naturelle; *b*, face dorsale grossie; *c*, face ventrale grossie.

Fig. 14. — Fragment d'*Ophicoma granulosa*, d'Orb. (*Ophiura granulosa*, Roemer), t. IV, p. 276, de la craie inférieure du Hanovre.

Fig. 15. — *Ophiurella speciosa*, Agass. (*Ophiura speciosa*, Goldfuss), t. IV, p. 276, du calcaire lithographique d'Eichstædt. — *a*, grandeur naturelle; *b*, fragment de bras grossi, vu du côté dorsal; *c*, le même vu du côté ventral.

Fig. 16. — *Geocoma carinata*, d'Orb. (*Ophiura carinata*, Munster), t. IV, p. 277, des schistes lithographiques de Solenhofen. — *a*, grandeur naturelle; *b*, grossissement d'une portion du bras prise vers sa base; *c*, grossissement d'une partie du bras prise près de l'extrémité.

Fig. 17. — *Protaster Sedgwickii*, Forbes, t. IV, p. 277, du terrain silurien supérieur d'Angleterre; *a*, de grandeur naturelle; *b*, restauré et grossi.

PLANCHE XCIX.

ÉCHINODERMES CRINOIDES. — COMATULIDES, PENTRÉMITIDES, CYSTIDÉES ET CUPRESSOCRINIDES.

Fig. 1. — *Solanocrinus costatus*, Goldf., t. IV, p. 288, type du genre SOLANOCRINUS, du terrain corallien de Nattheim.

Fig. 2. — *Solanocrinus Jægeri*, Goldf., appartenant probablement au genre COMATULA, t. IV, p. 288, du corallien de Streitberg. — *a*, vu en dessus; *b*, vu en dessous.

Fig. 3. — *Decameros mysticus* (*Hertha mystica*, Hagenow), t. IV, p. 289, de la craie de Rugen; *a*, vu en dessus, et *b*, vu en dessous.

Fig. 4. — *Pterocoma pinnata*, Agass. (*Comatula pinnata*, Goldf.), t. IV, p. 289, des schistes de Solenhofen. Un quart de la grandeur naturelle.

Fig. 5. — *Glenotremites paradoxus*, Goldf., t. IV, p. 290, de la craie de Maestricht. — *a*, vu en dessus; *b*, vu en dessous.

Fig. 6. — *Saccocoma tenella*, Goldf., t. IV, p. 290, des schistes lithographiques de Solenhofen. — *a*, de grandeur naturelle; *b*, un des bras grossi. C'est par erreur que le texte porte *Saccosoma*.

Fig. 7. — *Marsupites ornatus*, Miller, t. IV, p. 291, de la craie blanche. — *a*, plaque centrale isolée.

Fig. 8. — *Astylocrinus lævis*, F. Rœmer, t. IV, p. 291, du terrain carbonifère de l'Illinois. — *a*, plaque centrale entourée des basales.

Fig. 9. — *Pentremites pyriformis*, Say., t. IV, p. 292, du terrain carbonifère du Kentucky. — *a*, vue de profil; *b*, surface supérieure; *c*, surface inférieure.

Fig. 10. — *Eleacrinus Verneuilli*, Rœmer (*Pentremites Verneuili*, Troost), t. IV, p. 294, du terrain dévonien de l'Ohio. — *a*, vu de profil; *b*, vu en dessus; *c*, vu en dessous.

Fig. 11. — *Codonaster acutus*, Mac Coy, t. IV, p. 295, du terrain carbonifère d'Angleterre. — *a*, vu de profil; *b*, vu en dessus; *c*, vu en dessous.

Fig. 12. — Restauration du *Pseudocrinus bifasciatus*, Pearce, t. IV, p. 298, du terrain silurien supérieur de Dudley.

Fig. 13. — *Pseudocrinus quadrifasciatus*, Pearce, du terrain silurien supérieur de Dudley.

Lith. Becquet frères

Comatulides, Pentrémitides, Cystidées et Cupressocrinides.

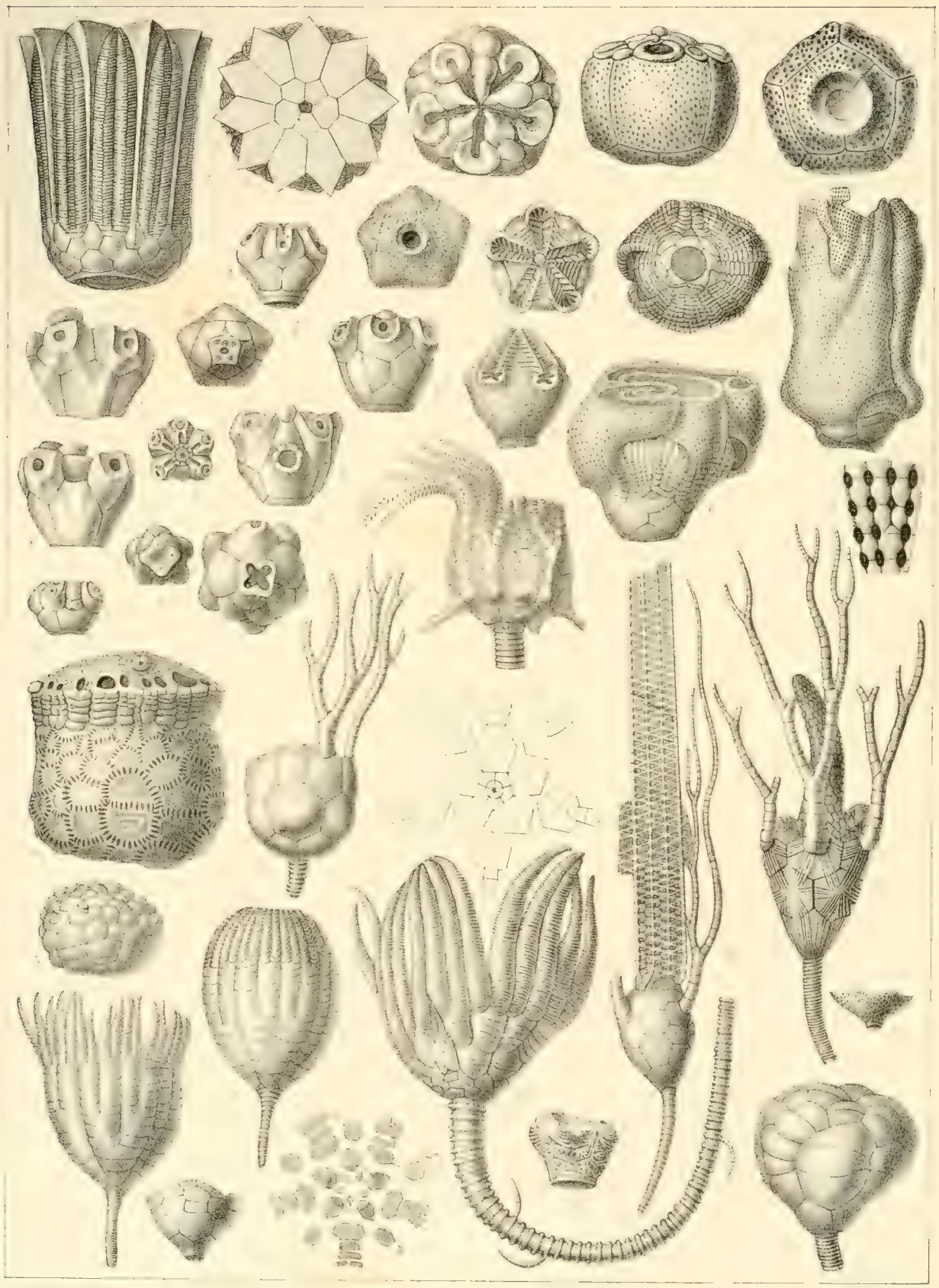

Lith Becquet frères

Polycrinides, Haplocrinides, Anthocrinides et Cyathocrinides (Cyathocriniens).

Imprimerie par J.-B. Baillière et fils, Libraires, à Pa.

Fig. 14. — *Apiocystites pentrematoides*, Forbes, t. IV, p. 298, du même gisement. — *a*, vu de profil; *b*, vu en dessus; *c*, vu en dessous.

Fig. 15. — *Callocystites Jewettii*, Hall, t. IV, p. 298, du silurien moyen d'Amérique (groupe du Niagara).

Fig. 16. — *Prunocystites Fletcheri*, Forbes, t. IV, p. 299, du terrain silurien supérieur de Dudley. — *a*, de grandeur naturelle.

Fig. 17. — *Echinoencrinites armatus*, Forbes, t. IV, p. 299, du terrain silurien inférieur d'Angleterre. — *a*, une des plaques qui porte un losange pectiné grossi.

Fig. 18. — *Caryocrinus ornatus*, Say, t. IV, p. 300, du terrain silurien supérieur d'Angleterre et d'Amérique.

Fig. 19. — *Hemicosmites pyriformis*, de Buch, t. IV, p. 301, du silurien inférieur.

Fig. 20. — *Calliocrinus costatus*, d'Orb. (*Eugeniacrinus costatus*, Hisinger), t. IV, p. 301, du terrain silurien supérieur du Gothland.

Fig. 21. — *Cariocystites testudinarius*, Hisinger, t. IV, p. 302, du terrain silurien inférieur de Suède.

Fig. 22. — *Echinosphærites aurantium*, de Buch, t. IV, p. 302, du silurien inférieur.

Fig. 23. — *Stephanocrinus angulatus*, Conrad, t. IV, p. 304, du silurien moyen d'Amérique.

Fig. 24. — *Cryptocrinus cerasus*, de Buch, t. IV, p. 304, du silurien inférieur de Russie.

Fig. 25. — *Hemicystites parasitica*, Hall, t. IV, p. 305, sur une valve de Brachiopode, du silurien moyen d'Amérique.

Fig. 26. — *Cupressocrinus crassus*, Goldfuss, t. IV, p. 306, du terrain dévonien de l'Eifel. — *a*, fragment de la tige.

PLANCHE C.

ÉCHINODERMES CRINOIDES. — POLYCRINIDES, HAPLOCRINIDES, ANTHOCRINIDES ET CYATHOCRINIDES (*Cyathocriniens*).

Fig. 1. — *Eucalyptocrinus rosaceus*, Goldf., t. IV, p. 307, du terrain dévonien du Rhin. — *a*, surface supérieure.

Fig. 2. — *Haplocrinus mespiliformis*, Rœmer, t. IV, p. 309, du terrain dévonien du Rhin. — *a*, vu de profil; *b*, en dessus; *c*, en dessous.

Fig. 3. — *Coccocrinus rosaceus*, J. Müller, t. IV, p. 310, du terrain dévonien du Rhin. — *a*, vu de profil; *b*, en dessus; *c*, en dessous.

Fig. 4. — *Myrtillocrinus elongatus*, Sandb., t. IV, p. 311, du terrain dévonien du Nassau. — *a*, vu de profil; *b*, en dessous.

Fig. 5. — *Ceramocrinus eifeliensis*, Wirtgen et Zeiler, t. IV, p. 310, du terrain dévonien de l'Eifel. — *a*, vu de profil du côté anal; *b*, vu du côté opposé.

Fig. 6. — *Epactocrinus irregularis*, Wirtgen et Zeiler, t. IV, p. 311, du terrain dévonien de l'Eifel. — *a*, vu de profil du côté anal; *b*, vu du côté opposé; *c*, vu en dessus.

Fig. 7. — *Gasterocoma antiqua*, Goldf., t. IV, p. 311, du terrain dévonien de l'Eifel. — *a*, vu de profil du côté anal; *b*, vu en dessus; *c*, vu en dessous.

Fig. 8. — *Anthocrinus Loweni*, J. Müller, t. IV, p. 312, du silurien inférieur de l'île de Gothland. — *a*, le sommet vu de profil; *b*, coupe du même pour montrer l'enroulement des bras pétaliformes; *c*, calice vu en dessous; *d*, grossissement d'une portion des bras.

Fig. 9. — *Rhodocrinus uniarticulatus*, de Koninck, t. IV, p. 314, du terrain carbonifère de Belgique.

Fig. 10. — *Rhodocrinus crenatus*, Goldf., du terrain dévonien du Rhin.

Fig. 11. — *Acanthocrinus longispina*, Rœmer, t. IV, p. 315, du terrain dévonien du Rhin.

Fig. 12. — *Poteriocrinus radiatus*, Austin, t. IV, p. 315, du terrain carbonifère de Belgique.

Fig. 13. — *Thysanocrinus aculeatus*, Hall, t. IV, p. 317, du silurien moyen d'Amérique (groupe du Niagara). — *a*, le calice vu de profil; *b*, disposition des pièces.

Fig. 14. — *Dendrocrinus longidactylus*, Hall, t. IV, p. 317, du silurien moyen d'Amérique.

Fig. 15. — Disposition théorique des pièces du calice du genre *Cyathocrinus*, Miller, t. IV, p. 317. *s*, les cinq sous-radiales ; *r*, les premières radiales; *i*, les interradiales ; *a* pièce anale.
Fig. 16. — *Cyathocrinus planus*, Miller, du terrain carbonifère d'Angleterre.
Fig. 17. — *Ichthyocrinus lævis*, Conrad, t. IV, p. 319, du silurien moyen d'Amérique. — *a*, le calice avec les bras épanouis ; *b*, le calice avec les bras fermés.
Fig. 18. — *Woodocrinus macrodactylus*, de Koninck, t. IV, p. 319, du calcaire carbonifère du Yorkshire.
Fig. 19. — *Mespilocrinus Forbesianus*, de Koninck, t. IV, p. 320, du terrain carbonifère de Belgique.
Fig. 20. — *Mespilocrinus granifer*, de Koninck, du même gisement.
Fig. 21. — *Ennallocrinus scriptus*, d'Orb. (*Apiocrinites scriptus*, Hisinger), t. IV, p. 320, du terrain silurien supérieur de Suède. Moitié de la grandeur naturelle.

PLANCHE CI.

ÉCHINODERMES CRINOIDES. — CYATHOCRINIDES (*Actinocriniens*, *Carpocriniens* et *Platycriniens*).

Fig. 1. — *Ctenocrinus stellaris*, Rœmer, t. IV, p. 322, du terrain dévonien.
Fig. 2. — *Pradocrinus Baylei*, Verneuil, t. IV, p. 322, du terrain dévonien des Asturies.
Fig. 3. — Disposition des plaques du calice dans le genre *Actinocrinus*, t. IV, p. 323, où l'on voit trois pièces basales entourées de cinq radiales (*r*) et d'une anale (*a*).
Fig. 4. — *Actinocrinus tricuspidatus*, de Koninck, du terrain carbonifère de Belgique.
Fig. 5. — *Actinocrinus stellaris*, de Koninck, avec son tube, du même gisement.
Fig. 6. — *Batocrinus icosadactylus*, Cassedy, t. IV, p. 324, du calcaire carbonifère de Louisville (Kentucky).
Fig. 7. — *Amphoracrinus Gilbertsoni*, Austin (*Melocrinites amphora*, Goldf.), t. IV, p. 324, du terrain carbonifère des îles Britanniques.
Fig. 8. — *Melocrinus verrucosus*, Goldf., t. IV, p. 325, du terrain dévonien d'Allemagne.
Fig. 9. — Disposition des plaques du calice dans le genre *Forbesiocrinus*, t. IV, p. 326, montrant cinq basales et cinq rayons de quatre radiales (*r*), avec des anales (*a*) et des interradiales (*i*).
Fig. 10. — *Taxocrinus tuberculatus*, Miller, t. IV, p. 327, du terrain silurien supérieur d'Angleterre.
Fig. 11. — *Graphiocrinus encrinoides*, de Koninck, t. IV, p. 327, du calcaire carbonifère de Belgique.
Fig. 12. — *Lyriocrinus dactylus*, Hall, t. IV, p. 329, du silurien moyen des États-Unis.
Fig. 13. — Disposition des pièces du calice du genre *Platycrinus*, t. IV, p. 330, où l'on voit trois pièces basales entourées de cinq rayons de deux radiales (*r*) et des interradiales (*i*).
Fig. 14. — *Platycrinus trigintadactylus*, Austin, du terrain carbonifère d'Angleterre.
Fig. 15. — *Edwardsocrinus ornatus*, d'Orb. (*Platycrinus ornatus*, Mac Coy), t. IV, p. 331, du terrain carbonifère d'Irlande.
Fig. 16. — *Culicocrinus nodosus*, J. Muller, t. IV, p. 332, du terrain dévonien du Rhin. — *a*, surface supérieure du calice.
Fig. 17. — *Atocrinus Milleri*, Mac Coy, t. IV, p. 332, du terrain carbonifère d'Irlande.
Fig. 18. — *Dichocrinus radiatus*, Munster, t. IV, p. 333, du terrain carbonifère de Belgique. — *a*, calice vu de profil ; *b*, calice vu en dessous.

PLANCHE CII.

ÉCHINODERMES CRINOIDES. — PYCNOCRINIDÉES (*Eugéniacriniens*, *Encriniens*, *Apiocriniens*, et *Pentacriniens*).

Fig. 1. — *Eugeniacrinus nutans*, Goldfuss, t. IV, p. 335, du terrain oxfordien. — *a*, de grandeur naturelle ; *b* et *c*, calice grossi.

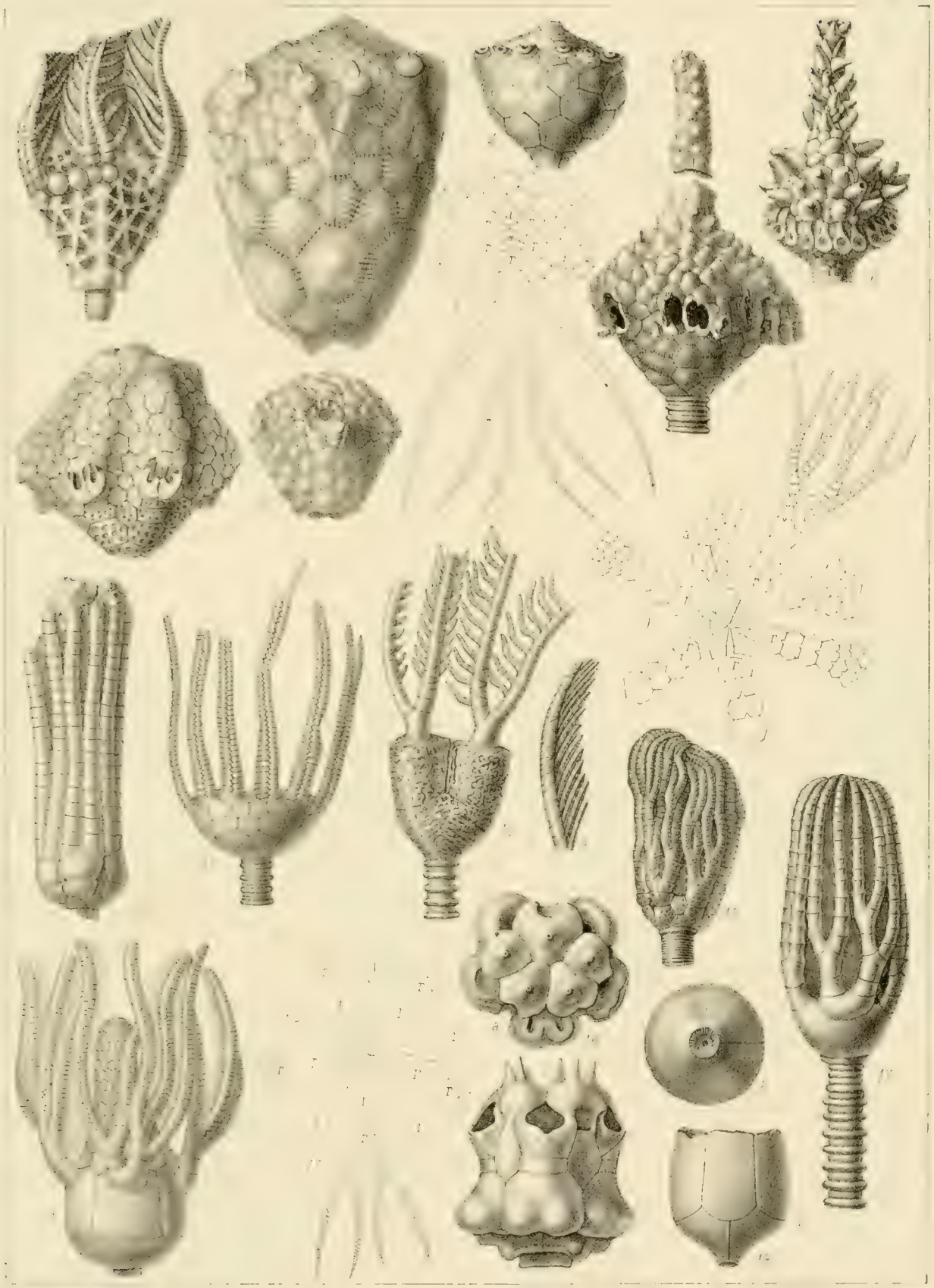

Cyathocrinides (Actinocriniens, Carpocriniens et Platycriniens.)

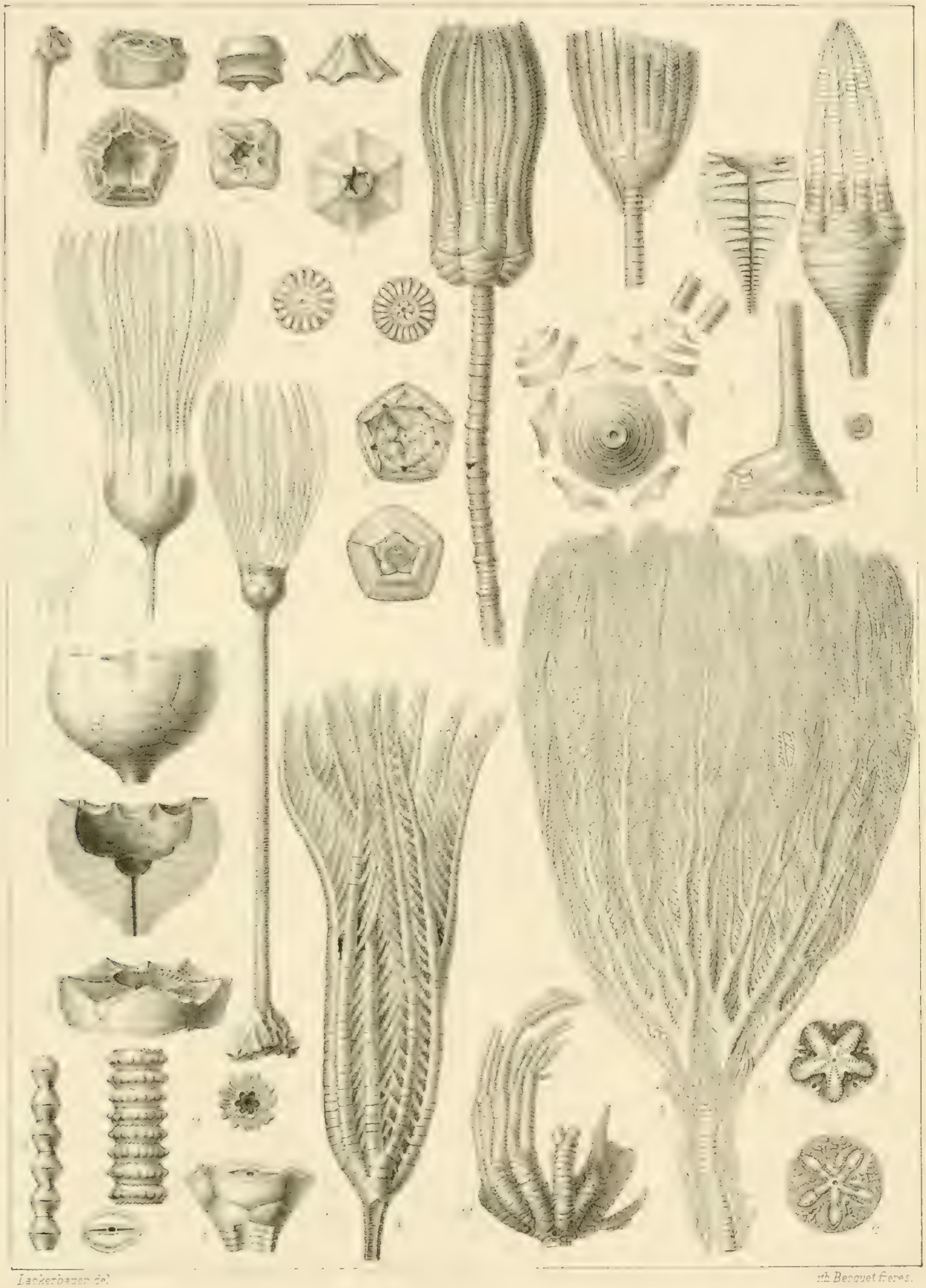

Lackerbauer del. — Th. Becquet frères.

Pycnocrinidées (Eugeniacriniens, Encriniens, Apiocriniens et Pentacriniens.)

Publié par J. B. Baillière et fils, Libraires à Paris

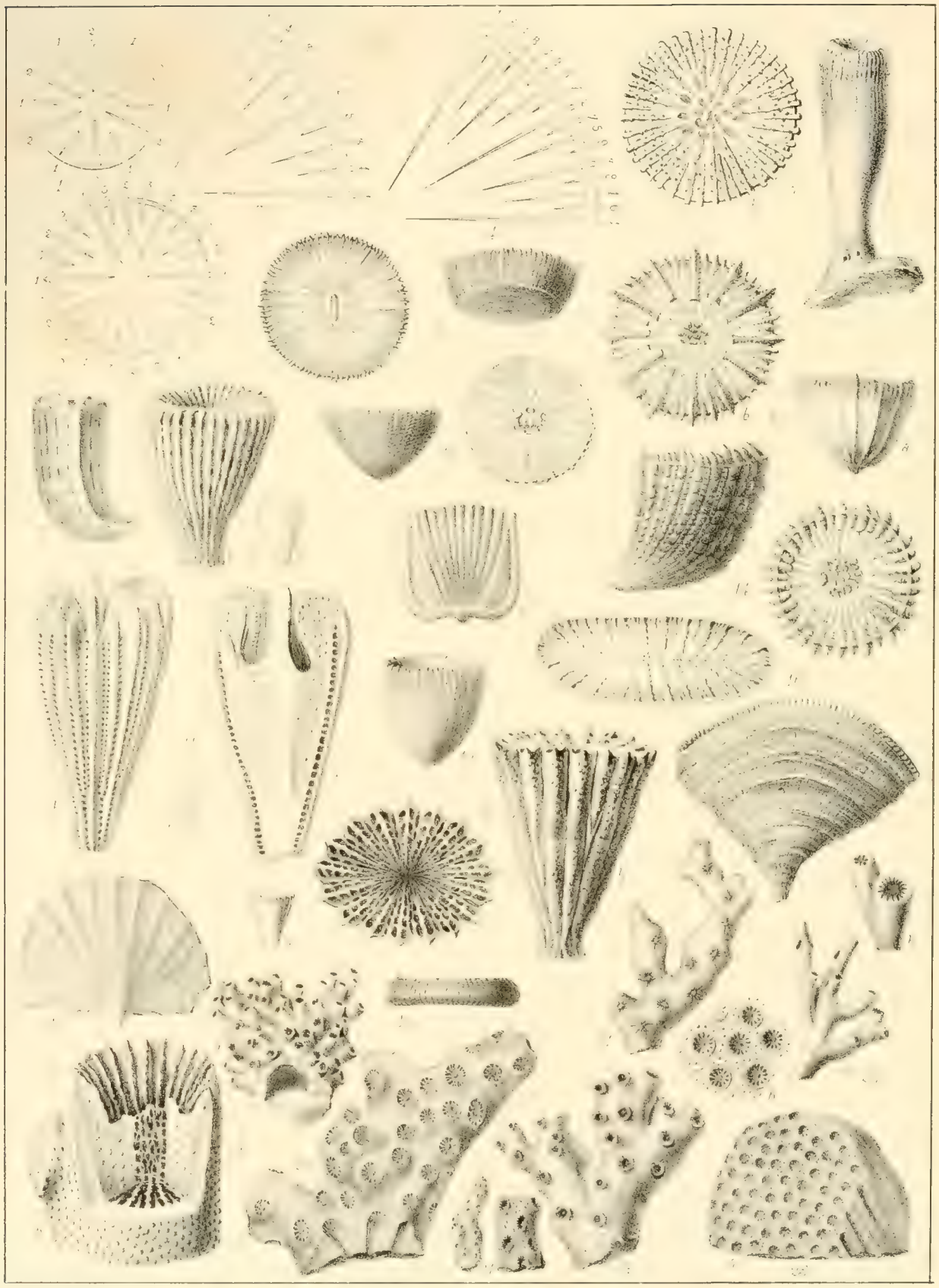

Lackerbauer del

Lith Becquet frères

Turbinolides et Oculinides.

Fig. 2. — *Tetracrinus moniliformis*, Munster, t. IV, p. 335, du corallien de Streitberg, grossi. — *a*, face supérieure du calice.

Fig. 3. — *Plicatocrinus hexagonus*, Munster, t. IV, p. 335, du corallien de Streitberg. — *a*, le calice vu en dessous.

Fig. 4. — *Encrinus liliiformis*, Schlotheim, t. IV, p. 337, du muschelkalk. — *a*, l'ensemble un peu plus petit que nature ; *b*, le calice vu en dessus ; *c*, le même, vu en dessous ; *d* et *e*, surfaces d'articulation des articles de la tige.

Fig. 5. — *Chelocrinus pentacrinus*, Bronn, t. IV, p. 337, du muschelkalk.

Fig. 6. — *Dadocrinus gracilis*, Hermann de Meyer, t. IV, p. 337, du muschelkalk supérieur de Silésie.

Fig. 7. — *Guettardicrinus dilatatus*, d'Orbigny, t. IV, p. 339, du corallien. — *a*, la tête réduite au cinquième de sa grandeur naturelle ; *b*, le calice au tiers de la grandeur naturelle ; *c*, coupe du même ; *d*, les deux assises qui précèdent la bifurcation des bras.

Fig. 8. — *Apiocrinus Parkinsoni*, Schlotheim, t. IV, p. 339, de la grande oolithe. — *a*, le sommet, moitié de la grandeur naturelle ; *b*, coupe du même ; *c*, rayonnement des pièces du calice ; *d*, bas de la tige et racine.

Fig. 9. — *Apiocrinus Murchisonianus*, d'Orbigny, du terrain corallien, réduit aux deux neuvièmes de sa grandeur naturelle.

Fig. 10. — *Millericrinus gracilis*, d'Orbigny, t. IV, p. 340, du corallien. — *a*, sommet de grandeur naturelle ; *b*, calice grossi.

Fig. 11. — Tige du *Millericrinus aculeatus*, d'Orbigny, de l'oxfordien.

Fig. 12. — Tige du *Bourguetierinus ellipticus*, d'Orbigny, t. IV, p. 341, de la craie blanche.

Fig. 13. — *Pentacrinus fasciculosus*, Schlotheim, t. IV, p. 343, du lias d'Allemagne. — *a*, sommet et portion de la tige de grandeur naturelle ; *b* et *c*, articles de la tige grossis.

Fig. 14. — *Isocrinus pendulus*, Hermann de Meyer, t. IV, p. 345, du terrain corallien.

PLANCHE CIII.

POLYPES ZOANTHAIRES APORES. — TURBINOLIDES ET OCULINIDES.

Fig. 1. — Figure théorique d'un polypiérite pour montrer la disposition des six cloisons primaires (1) et des six cloisons secondaires (2).

Fig. 2. — Polypiérite dans lequel ont apparu les cloisons du troisième ordre (3), constituant ainsi le troisième cycle. Les numéros 1 et 2 continuent à représenter les cloisons de premier et de second ordre.

Fig. 3. — Un des six systèmes du quatrième cycle limité par des cloisons primaires (1), coupé dans son milieu par une cloison secondaire (2) et montrant les cloisons des troisième, quatrième et cinquième ordres (3, 4, 5).

Fig. 4. — Un des systèmes du cinquième cycle, où l'on voit les cloisons de neuf ordres désignés par leurs chiffres correspondants.

Fig. 5. — *Cyathina lævigata*, Edwards et Haime, t. IV, p. 366, de la craie blanche d'Angleterre. — *a*, de grandeur naturelle ; *b*, le calice grossi.

Fig. 6. — *Discocyathus Eudesii*, Edwards et Haime (*Cyclolites Eudesii*, Michelin), t. IV, p. 367, de l'oolithe inférieure du Calvados.

Fig. 7. — *Trochocyathus revolutus*, Edwards et Haime, t. IV, p. 369, du terrain miocene du Piémont ; type des vrais *Trochocyathus*.

Fig. 8. — *Trochocyathus obesus*, Edwards et Haime (*Turbinolia obesa*, Michelin), du même gisement. — *a*, de grandeur naturelle ; *b*, calice grossi ; type du groupe des *Aplocyathus*.

Fig. 9. — *Paracyathus caryophyllus*, Edwards et Haime (*Turbinolia caryophyllus*, Lamarck), t. IV, p. 370, de l'argile de Sheppy.

Fig. 10. — *Deltocyathus italicus*, Edwards et Haime (*Stephanophyllia italica*, Michelin), t. IV, p. 371, du terrain miocène de Tortone.

Fig. 11. — *Turbinolia Dixoni*, Edwards et Haime, t. IV, p. 372, de l'argile de Londres. — *a*, de grandeur naturelle ; *b*, grossi ; *c*, coupe de la même.

Fig. 12. — *Smilotrochus tuberosus*, Edwards et Haime, t. IV, p. 372, du grès vert de Blackdown, de grandeur naturelle.

Fig. 13. — *Platytrochus Stockesi*, Edwards et Haime (*Turbinolia Stockesi*, Lea), t. IV, p. 373, du terrain éocène de l'Alabama ; grossi.

Fig. 14. — *Ceratotrochus multiserialis*, Edwards et Haime (*Turbinolia multiserialis*, Michelotti), t. IV, p. 373, du terrain miocène de Tortone.

Fig. 15. — *Discotrochus Orbignyanus*, Edwards et Haime, t. IV, p. 373, du tertiaire éocène de l'Alabama,

Fig. 16. — *Flabellum Woodi*, Edwards et Haime, t. IV, p. 374, du crag d'Angleterre.

Fig. 17. — *Flabellum extensum*, Michelin, du terrain miocène du Piémont.

Fig. 18. — *Dasmia Sowerbyi* Edwards et Haime, t. IV, p. 375, du terrain éocène de Highgate. — *a*, grandeur naturelle ; *b* et *c*, grossie.

Fig. 19. — *Oculina conferta*, Edwards et Haime, t. IV, p. 376, de l'argile de Londres. — *a*, de grandeur naturelle ; *b*, grossissement d'un des calices.

Fig. 20. — *Asthrelia crassoramosa*, Edwards et Haime (*Oculina crassoramosa*, Michelin), t. IV, p. 376, du terrain miocène de Mantelan.

Fig. 21. — *Synhelia Sharpeana*, Edwards et Haime, t. IV, p. 377, de la craie de Douvres.

Fig. 22. — *Diplhelia papillosa*, Edwards et Haime, t. IV, p. 377, de l'argile de Londres.

Fig. 23. — *Evhelia gemmata*, Edwards et Haime (*Oculina gemmata*, Michelin), t. IV, p. 378, de la grande oolithe du Calvados.

Fig. 24. — *Stylophora rugosa*, Edwards et Haime (*Oculina rugosa*, d'Archiac), t. IV, p. 379, du terrain nummulitique de Biarritz.

Fig. 25. — *Areacis auvertiaca*, Edwards et Haime (*Astrea auvertiaca*, Michelin), t. IV, p. 379, du terrain éocène supérieur d'Auvert. — *a*, grandeur naturelle ; *b*, quelques calices grossis.

PLANCHE CIV.

POLYPES ZOANTHAIRES APORES. — ASTRÉIDES EUSMILIDES.

Fig. 1. — *Cylicosmilia altavillensis*, Edwards et Haime, t. IV, p. 381, du calcaire grossier d'Hauteville.

Fig. 2. — *Placosmilia Parkinsoni*, Edwards et Haime (*Turbinolia rudis*, Michelin), t. IV, p. 382, du terrain turonien du département du Var.

Fig. 3. — *Trochosmilia Faujasi*, Edwards et Haime, t. IV, p. 382, de la craie de Maestricht.

Fig. 4. — *Trochosmilia cuneolus*, Edwards et Haime (*Turbinolia cuneolus*, Michelin), du terrain turonien.

Fig. 5. — *Parasmilia centralis*, Edwards et Haime (*Madrepora centralis*, Mantell), t. IV, p. 383, de la craie blanche.

Fig. 6. — *Diplostenium cordatum*, Goldfuss, t. IV, p. 384, de la craie de Maestricht.

Fig. 7. — *Peploemilia Austini*, Edwards et Haime, t. IV, p. 384, du grès vert (cénomanien) de Haldon.

Fig. 8. — *Stylosmilia Michelini*, Edwards et Haime, t. IV, p. 385, du terrain corallien du Doubs.

Fig. 9. — *Dendrosmilia Duvalana*, Edwards et Haime, t. IV, p. 385, du terrain éocène supérieur d'Auvert.

Fig. 10. — *Aplosmilia semisulcata*, Edwards et Haime (*Lobophyllia semisulcata*, Michelin), t. IV, p. 386, du terrain corallien de Verdun, moitié de la grandeur naturelle.

Fig. 11. — *Rhipidogyra Martiniana*, Edwards et Haime (*Lobophyllia Martiniana*, Michelin), t. IV, p. 387, du terrain turonien des Martigues, moitié de la grandeur naturelle.

Fig. 12. — *Pachygyra labyrinthica*, Edwards et Haime (*Lobophyllia labyrinthica*, Michelin), t. IV, p. 388, du terrain turonien des Corbières, moitié de la grandeur naturelle.

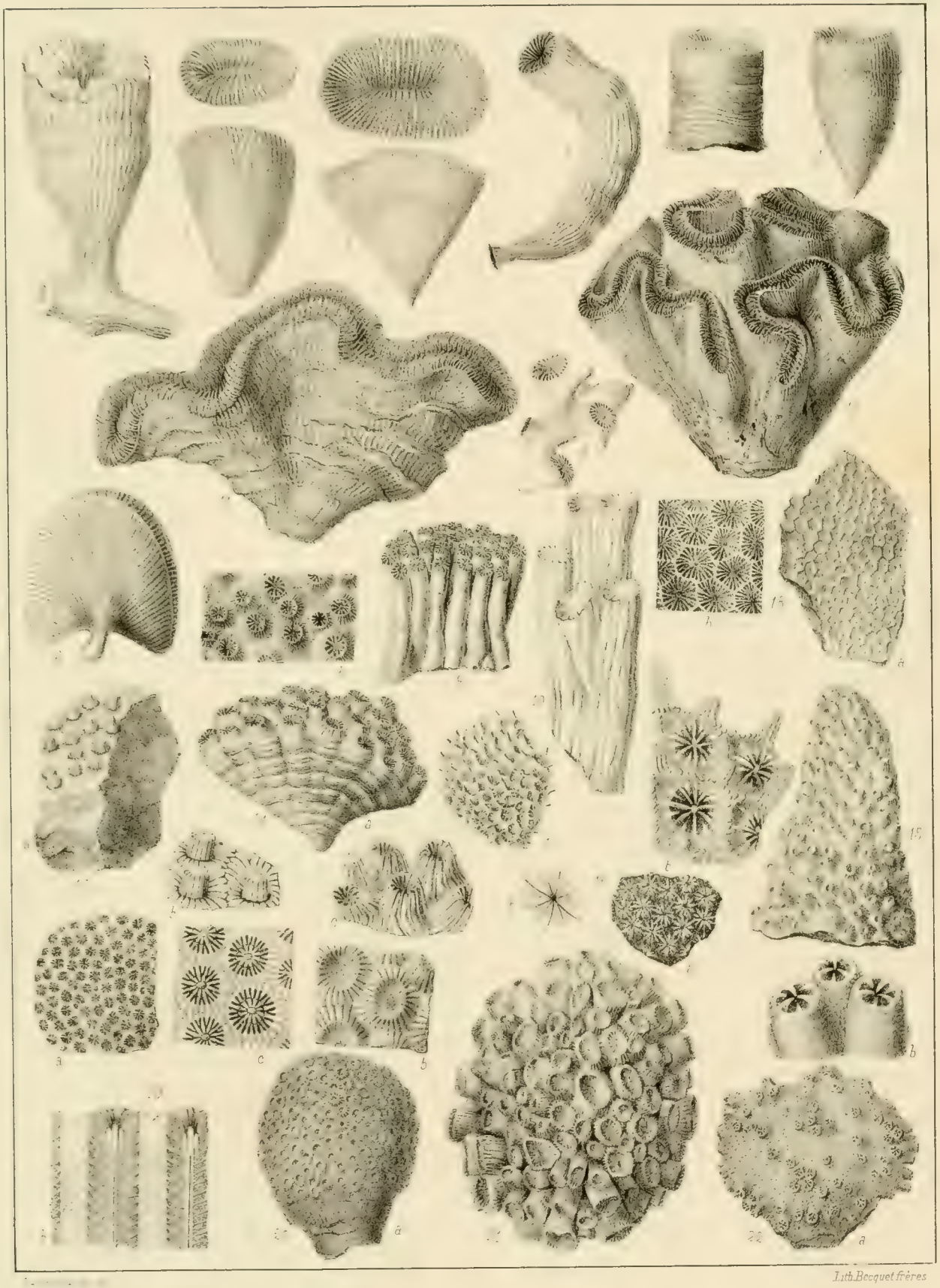

Lith. Becquet frères

Astréides Eusmilides.

Publié par J.B. Baillière et fils, Libraires à Paris

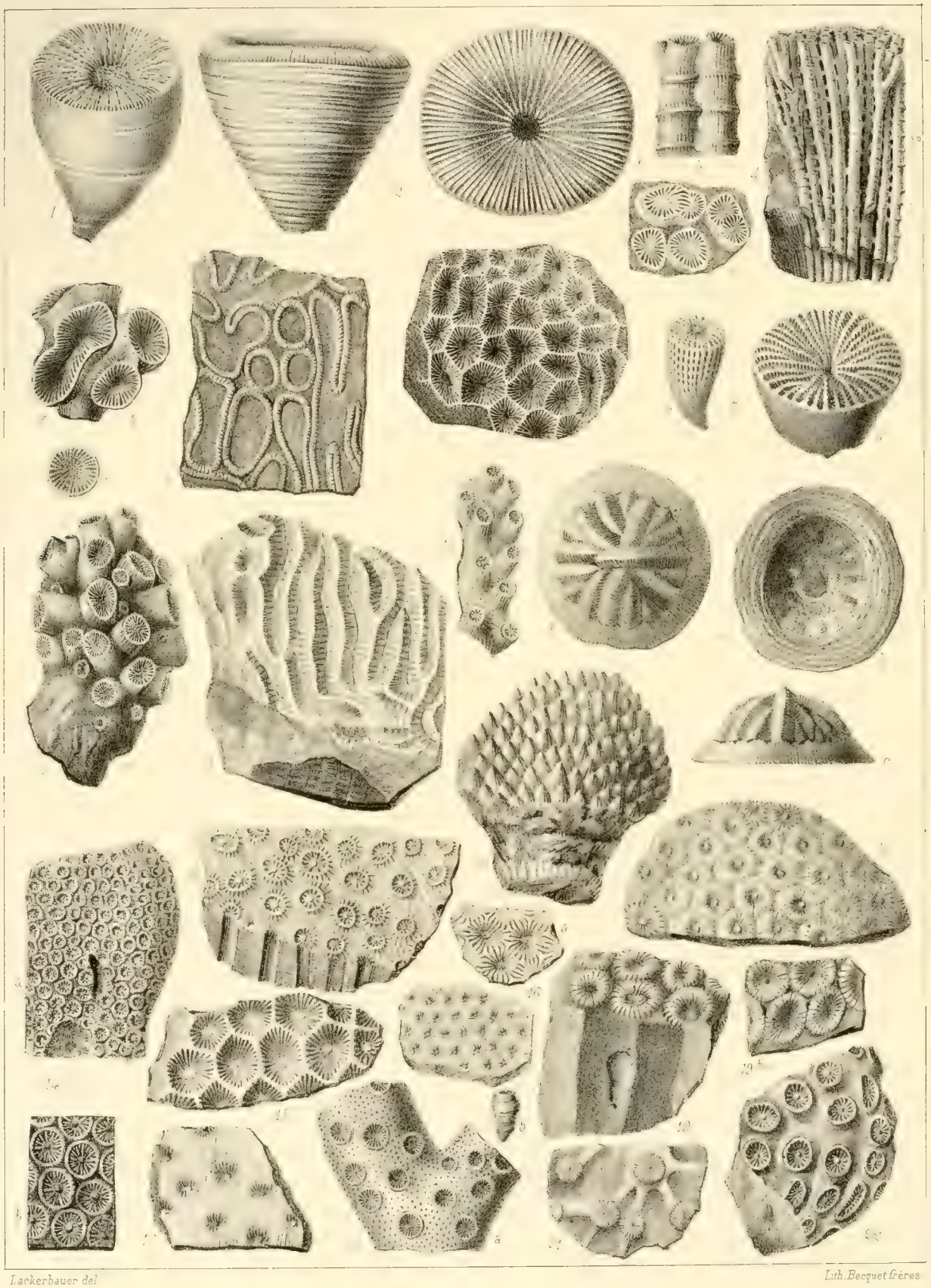

Lackerbauer del

Lith. Becquet frères

Astréides proprement dites.

Publié par J. B. Baillière et fils, Libraires à Paris

Fig. 13. — *Stylina solida*, M. Coy, t. IV, p. 388, de l'oolithe inférieure et de la grande oolithe d'Angleterre. — *a*, grandeur naturelle d'un moule; *b*, grossissement d'une partie du même ; *c*, état naturel du polypier, grossi.

Fig. 14. — *Decacœnia tubulosa*, d'Orbigny (*Stylina tubulosa*, Michelin, non Goldfuss), t. IV, p. 395, du terrain corallien. — *a*, grandeur naturelle ; *b*, quelques calices grossis.

Fig. 15. — *Lobocœnia obeliscus*, d'Orbigny (*Madrepora obeliscus*, Michelin), t. IV, p. 389, du terrain corallien.

Fig. 16. — *Convexastrea regularis*, d'Orbigny (*Astrea regularis*, Klipstein), t. IV, p. 391, du terrain saliférien de Saint-Cassian. — *a*, grandeur naturelle ; *b*, un calice grossi.

Fig. 17. — *Stylocœnia emaciata*, Edwards et Haime (*Astrea emaciata*, Lamarck), t. IV, p. 391, du calcaire grossier de Paris. — *a*, grandeur naturelle ; *b*, quelques calices grossis.

Fig. 18. — *Astrocœnia decaphylla*, Edwards et Haime (*Astrea decaphylla*, Michelin), t. IV, p. 392, du terrain turonien. — *a*, grandeur naturelle ; *b*, quelques calices grossis.

Fig. 19. — *Stephanocœnia intersepta*, Edwards et Haime, t. IV, p. 393, espèce vivante figurée pour montrer les coupes plus visibles que dans les fossiles. — *a*, grandeur naturelle ; *b*, coupe longitudinale ; *c*, coupe transversale.

Fig. 20. — *Columnastrea striata*, Edwards et Haime (*Astrea striata*, Goldfuss; *Astrea variolaris*, Michelin), t. IV, p. 394, du terrain turonien des Corbières. — *a*, grandeur naturelle ; *b*, calices grossis.

Fig. 21. — *Phyllocœnia compressa*, Edwards et Haime (*Astrea compressa*, Michelin), t. IV, p. 394, du terrain turonien.

Fig. 22. — *Heterocœnia exigua*, Edwards et Haime (*Lithodendron exiguum*, Michelin), t. IV, p. 396, du terrain turonien des Martigues. — *a*, grandeur naturelle; *b*, calices grossis.

PLANCHE CV.

POLYPES ZOANTHAIRES APORES. — ASTRÉIDES PROPREMENT DITES.

Fig. 1. — *Circophyllia truncata*, Edwards et Haime (*Anthophyllum truncatum*, Goldfuss), t. IV, p. 398, du terrain éocène.

Fig. 2. — *Montlivaltia trochoïdes*, Edwards et Haime, t. IV, p. 398, de l'oolithe inférieure.

Fig. 3. — *Lasmosmilia lobata*, d'Orbigny (*Lobophyllia lobata*, Blainv.), t. IV, p. 401, de l'étage turonien, moitié de la grandeur naturelle.

Fig. 4. — *Eunomia radiata*, Lamouroux, t. IV, p. 401, de la grande oolithe. — *a*, de grandeur naturelle ; *b* et *c*, grossissement de quelques polypiérites.

Fig. 5. — *Gyrophyllia cerebriformis*, d'Orbigny (*Meandrina bisinuosa*, Michelin), t. IV, p. 404, du terrain miocène du Piémont.

Fig. 6. — *Latomeandra Davidsoni*, d'Orbigny, t. IV, p. 405, de l'oolithe inférieure.

Fig. 7. — *Aspidiscus cristatus*, Edwards et Haime (*Cyclolites cristata*, Lamarck), t. IV, p. 407, du terrain cénomanien des monts Aurès. — *a*, vu en dessus; *b*, en dessous; *c*, de profil, de grandeur naturelle, d'après un échantillon du musée de Genève.

Fig. 8. — *Stelloria elegans*, d'Orbigny, t. IV, p. 407, du terrain cénomanien. — *a*, grossi ; *b*, grandeur naturelle.

Fig. 9. — *Meandrina pyrenaïca*, Michelin, t. IV, p. 408, du terrain turonien des Corbières.

Fig. 10. — *Hydnopora Styriana*, Edwards et Haime (*Monticularia Styriana*, Michelin), t. IV, p. 409, du terrain crétacé de Gosau.

Fig. 11. — *Cladocora multicaulis* (*Lithodendron multicaule*, Michelin), t. IV, p. 410, du terrain miocène de la Touraine. — *a*, grandeur naturelle; *b*, un polypiérite grossi.

Fig. 12. — *Pleurocora gemmans*, Edwards et Haime (*Lithodendron gemmans*, Michelin), t. IV, p. 410, de l'étage turonien.

Fig. 13. — *Astrea Argus*, Michelin, t. IV, p. 411, du terrain miocène.

Fig. 14. — *Solenastrea turonensis*, Edwards et Haime (*Astrea turonensis*, Michelin), de l'étage miocène de Touraine. — *a*, grandeur naturelle ; *b*, quelques polypiérites grossis.

Fig. 15. — *Isastrea helianthoides*, d'Orbigny (*Astrea helianthoides*, Goldfuss), t. IV, p. 413, de l'étage oxfordien.

Fig. 16. — *Plerastrea tessellata*, Edwards et Haime (*Astrea tessellata*, Michelin), t. IV, p. 415, du terrain éocène du département de l'Oise. — *a*, grandeur naturelle ; *b*, quelques polypiérites grossis.

Fig. 17. — *Morphastrea Ludoviciana*, d'Orbigny (*Agaricia Ludoviciana*, Michelin), t. IV, p. 415, du cénomanien du Mans.

Fig. 18. — *Thamnastrea micraxona* (*Astrea micraxona*, Michelin), t. IV, p. 416, de l'étage cénomanien.

Fig. 19. — *Parastrea lifoliana*, Edwards et Haime (*Astrea lifoliana*, Michelin), t. IV, p. 418, du terrain corallien.

Fig. 19 *bis*. Quelques polypiérites du *Parastrea meandrites*, (Mich.) Edwards et Haime.

Fig. 20. — *Cryptangia Woodi*, Edwards et Haime, t. IV, p. 419, du crag. — *a*, une masse de cellépores dans laquelle les polypiérites sont engagés ; *b*, un polypiérite isolé.

Fig. 21. — *Rhizangia brevissima*, Edwards et Haime (*Astrea brevissima*, Deshayes), t. IV, p. 420, de l'éocène de Gap.

Fig. 22. — *Cladangia semisphærica*, Edwards et Haime (*Astrea semisphærica*, Defrance), t. IV, p. 420, du terrain miocène de la Touraine.

PLANCHE CVI.

POLYPES ZOANTHAIRES APORES, PERFORÉS ET TABULÉS. — FUNGIDES, MADRÉPORIDES, PORITIDES, MILLÉPORIDES.

Fig. 1. — *Micrabacia coronula*, Edwards et Haime (*Fungia coronula*, Goldfuss), t. IV, p. 421, du grès vert d'Angleterre.

Fig. 2. — *Anabacia Bouchardi*, Edwards et Haime, t. IV, p. 421, de la grande oolithe. — *a*, vu en dessus ; *b*, vu en dessous ; *c*, une partie grossie.

Fig. 3. — *Genabacia stellifera*, Edwards et Haime (*Fungia stellifera*, d'Archiac), t. IV, p. 422, de la grande oolithe.

Fig. 4. — *Cyclolites elliptica*, Lamarck, t. IV, p. 423, de l'étage turonien.

Fig. 5. — *Palæocyclus Fletcheri*, Edwards et Haime, t. IV, p. 424, du terrain silurien supérieur.

Fig. 6. — *Cycloseris andianensis*, d'Archiac, t. IV, p. 424, du terrain nummulitique de Biarritz.

Fig. 7. — *Cyathoseris Valmondoisiaca*, Edwards et Haime (*Meandrina Valmondoisiaca*, Michelin), t. IV, p. 425, du terrain éocène supérieur de Valmondois.

Fig. 8. — *Comoseris vermicularis*, (Mac Coy) Edwards et Haime, t. IV, p. 426, de la grande oolithe d'Angleterre.

Fig. 9. — *Eupsammia trochiformis*, Edwards et Haime (*Turbinolia elliptica*, Brongniart), t. IV, p. 427, du calcaire grossier du bassin de Paris.

Fig. 10. — *Endopachys Maclurii*, (Lea) Edwards et Haime, t. IV, p. 428, du terrain éocène de l'Alabama.

Fig. 11. — *Stephanophyllia agaricioides*, (Risso) Michelin, t. IV, p. 429, du terrain pliocène d'Asti.

Fig. 12. — *Dendrophyllia digitalis*, Blainville, t. IV, p. 429, du terrain miocène.

Fig. 13. — *Stereopsammia humilis*, Edwards et Haime, t. IV, p. 430, de l'argile de Londres.

Fig. 14. — *Madrepora cariosa*, Goldfuss (*M. Solanderi*, Defrance), t. IV, p. 430, de l'étage éocène supérieur.

Fig. 15. — *Turbinaria cyathiformis* (*Gemmipora cyathiformis*, Blainville), t. IV, p. 431, du terrain miocène.

Fungides, Madréporides, Poritides, Milléporides.

POLYPES ZOANTHAIRES Tabulés et Rugueux

Favositides, Sériatoporides, Thécides, Staurides, Cyathaxonides et Cyathophyllides.

Publié par J. B. Baillière et fils, Libraires à Paris

Fig. 16. — *Astreopora asperrima*, (Michelin) Edwards et Haime, t. IV, p. 431, du terrain éocène supérieur. — *a*, quelques polypiérites grossis.

Fig. 17. — *Porites incrustans*, Defrance (*P. Collegniana*, Michelin), t. IV, p. 432, du terrain miocène. — *a*, quelques polypiérites grossis.

Fig. 18. — *Litharea Ameliana*, Edwards et Haime, t. IV, p. 432, du calcaire grossier de Paris.

Fig. 19. — *Microsolena porosa*, Lamouroux (*Alveopora microsolena*, Michelin), t. IV, p. 433, de la grande oolithe de Caen. — *a*, fragment grossi.

Fig. 20. — *Pleurodyctium problematicum*, Goldfuss, t. IV, p. 434, du terrain dévonien. — *a*, échantillon de grandeur naturelle; *b*, grossissement; *c*, coupe verticale.

Fig. 21. — *Heliolites interstincta*, Edwards et Haime (*Madrepora interstincta*, Linné), t. IV, p. 438, du terrain dévonien. — *a*, quelques polypiérites grossis.

Fig. 22. — Coupe verticale de l'*Heliolites Murchisoni*, Edwards et Haime, du terrain silurien supérieur.

Fig. 23. — *Fistulipora minor*, Mac Coy, t. IV, p. 438, du terrain carbonifère d'Angleterre.

Fig. 24. — *Axopora parisiensis*, Edwards et Haime (*Alveolites parisiensis*, Michelin), t. IV, p. 439, du calcaire grossier de Grignon.

PLANCHE CVII.

POLYPES ZOANTHAIRES TABULÉS ET RUGUEUX. — FAVOSITIDES, SÉRIATOPORIDES, THÉCIDES, STAURIDES, CYATHAXONIDES ET CYATHOPHYLLIDES.

Fig. 1. — *Favosites Gothlandica*, Lamarck, t. IV, p. 440, du terrain silurien.

Fig. 2. — *Michelinia tenuisepta*, Phillips, t. IV, p. 441, du terrain carbonifère. — *a*, coupe longitudinale d'un polypiérite.

Fig. 3. — *Chaetetes Trigeri*, Edwards et Haime, t. IV, p. 442, du terrain dévonien. — *a*, grandeur naturelle; *b*, coupe grossie.

Fig. 4. — *Monticulipora papillata*, Edwards et Haime, t. IV, p. 443, du terrain silurien supérieur. — *a*, grandeur naturelle; *b*, grossissement d'une partie de la surface.

Fig. 5. — *Beaumontia Egertoni*, Edwards et Haime, t. IV, p. 443, du terrain carbonifère; grandeur naturelle.

Fig. 6. — *Cœnites intertextus*, Eichwald, t. IV, p. 444, du terrain silurien supérieur. — *a*, grandeur naturelle; *b*, une portion grossie.

Fig. 7. — *Halysites catenularia*, Fischer, t. IV, p. 445, du terrain silurien. — *a*, surface supérieure de grandeur naturelle; *b*, coupe verticale.

Fig. 8. — *Syringopora geniculata*, Phillips, t. IV, p. 445, du terrain carbonifère; de grandeur naturelle.

Fig. 9. — *Dendropora explicita*, Michelin, t. IV, p. 446, du terrain dévonien de Ferques.

Fig. 10. — *Rhabdopora megastoma*, Edwards et Haime, t. IV, p. 447, du terrain carbonifère d'Angleterre. — *a*, grandeur naturelle; *b*, une portion grossie.

Fig. 11. — *Tachypora Davidsoni*, Edwards et Haime, t. IV, p. 447, du terrain dévonien de Ferques. — *a*, de grandeur naturelle; *b*, une portion grossie.

Fig. 12. — *Columnaria Gothlandica*, Edwards et Haime, t. IV, p. 448, du terrain silurien supérieur. — *a*, vue de profil; *b*, vue en dessus; de grandeur naturelle.

Fig. 13. — *Stauria astreiformis*, Edwards et Haime, t. IV, p. 449, du silurien supérieur. — *a*, grandeur naturelle; *b*, un calice grossi.

Fig. 14. — *Metriophyllum Bouchardi*, Edwards et Haime, t. IV, p. 450, du terrain dévonien de Ferques. — *a*, vue de profil, de grandeur naturelle; *b*, calice grossi.

Fig. 15. — *Cyathaxonia cornu*, Michelin, t. IV, p. 451, du terrain carbonifère. — *a*, grandeur naturelle; *b*, grossissement.

Fig. 16. — *Zaphrentis Phillipsi*, Edwards et Haime, t. IV, p. 452, du terrain carbonifère. — *a*, vue de profil, de grandeur naturelle; *b*, calice grossi.

Fig. 17. — *Amplexus cornu-bovis*, Michelin, t. IV, p. 452, du terrain carbonifère. — *a*, vu de profil, de grandeur naturelle; *b*, calice; *c*, coupe grossie.

Fig. 18. — *Lobophyllum Dumonti*, Edwards et Haime, t. IV, p. 453, du terrain carbonifère de Belgique. — *a*, vu de profil, de grandeur naturelle; *b*, calice grossi.

Fig. 19. — *Anisophyllum Agassizi*, Edwards et Haime, t. IV, p. 453, du terrain dévonien d'Amérique.

Fig. 20. — *Aulacophyllum mitratum*, Edwards et Haime, t. IV, p. 454, du terrain silurien supérieur, calice grossi.

PLANCHE CVIII.

POLYPES ZOANTHAIRES ET ALCYONAIRES. — CYATHOPHYLLIDES, AULOPORIDES, ALCYONIDES, GRAPTOLITHIDES.

Fig. 1. — *Cyathophyllum heterophyllum*, Edwards, t. IV, p. 455, du dévonien de l'Eifel. — *a*, de profil; *b*, coupe verticale.

Fig. 2. — *Chonophyllum perfoliatum*, Edwards et Haime, t. IV, p. 457, du terrain dévonien.

Fig. 3. — *Acervularia pentagona*, Edwards et Haime, t. IV, p. 457, du terrain dévonien.

Fig. 4. — *Lithostrotion Stokesi*, Edwards et Haime, t. IV, p. 460, du terrain carbonifère de l'Amérique septentrionale.

Fig. 5. — Coupe verticale de l'*Axophyllum radicatum*, Edwards et Haime (*Cyathophyllum radicatum*, de Koninck), t. IV, p. 461, du terrain carbonifère de Belgique.

Fig. 6. — *Lonsdalia floriformis*, Edwards et Haime, t. IV, p. 462, du terrain carbonifère.

Fig. 7. — Coupe verticale du *Cystiphyllum siluriense*, Lonsdale, t. IV, p. 462, du silurien supérieur d'Angleterre.

Fig. 8. — *Pyrgia Michelini*, Edwards et Haime, du carbonifère de Belgique.

Fig. 9. — *Aulopora tubæformis*, Goldfuss, t. IV, p. 463, du terrain dévonien (sur une valve de Brachiopode).

Fig. 10. — *Cladochonus crassus*, Mac Coy, (*Jania crassa*, idem), t. IV, p. 463, du terrain carbonifère.

Fig. 11. — *Distichopora antiqua*, Defrance, t. IV, p. 466, du calcaire grossier de Chaumont.

Fig. 12. — *Isis melitensis*, Goldfuss, t. IV, p. 467, des terrains récents de Sicile. Deux articles, *a* et *b*, moitié de grandeur naturelle.

Fig. 13. — *Mopsea costata*, Edwards et Haime, t. IV, p. 467, du terrain éocène d'Angleterre. — *a*, grandeur naturelle; *b*, un fragment grossi.

Fig. 14. — *Graphularia Whetherelli*, t. IV, p. 468, de l'argile de Londres. — *a*, grandeur naturelle; *b*, fragment grossi.

Fig. 15. — *Graptolithus priodon*, t. IV, p. 473, du terrain silurien. — *a*, grandeur naturelle; *b*, fragment grossi vu de côté; *c*, section longitudinale du même; *d*, le même vu du côté du dos; *e*, le même vu du côté des cellules.

Fig. 16. — *Graptolithus nuntius*, Barrande, du terrain silurien, de grandeur naturelle.

Fig. 17. — *Graptolithus turriculatus*, Barrande, du terrain silurien, de grandeur naturelle.

Fig. 18. — *Rastrites Linnæi*, Barrande, t. IV, p. 473, du terrain silurien de Bohême. — *a*, grandeur naturelle; la plus grande impression représente l'individu adulte, la plus petite le jeune; *b*, deux cellules grossies.

Fig. 19. — *Diprion palmeus*, Barrande, t. IV, p. 474, du terrain silurien de Bohême. — *a*, grandeur naturelle; *b*, fragment grossi.

Fig. 20. — *Diprion pristis*, Hisinger, du terrain silurien. — *a*, grandeur naturelle; *b*, fragment grossi.

Fig. 21. — *Cladograpsus furcatus*, Hall, t. IV, p. 474, du silurien inférieur d'Amérique, de grandeur double.

Fig. 21 *bis*. *Cladograpsus ramosus*, Hall, du même gisement.

Fig. 22. — *Didimograpsus Forchameri*, Geinitz, t. IV, p. 474, du terrain silurien supérieur, grandeur naturelle.

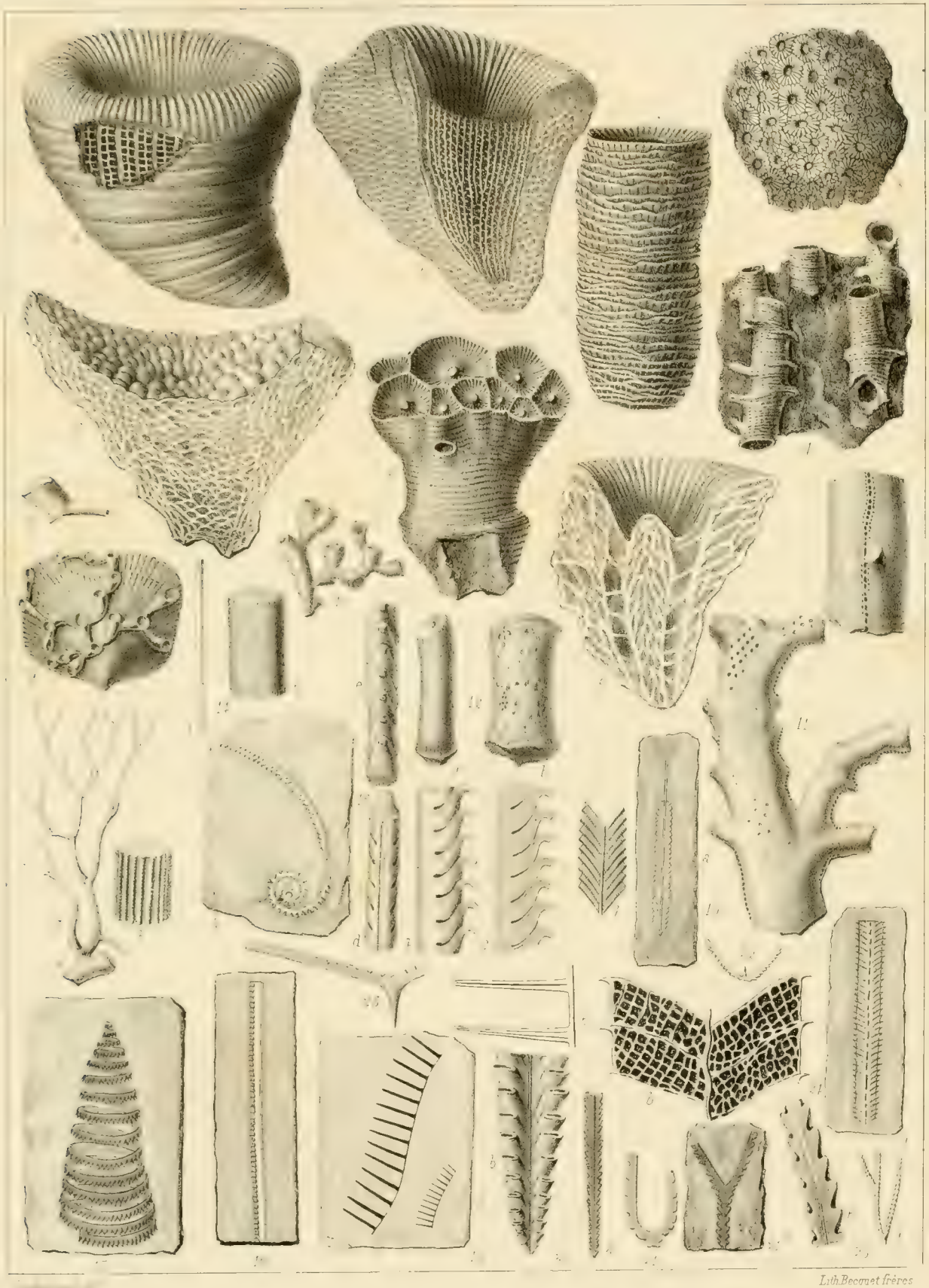

Lith. Becquet frères

Cyathophyllides, Auloporides, Alcyonides, Graptolithides.

ibraires à Paris

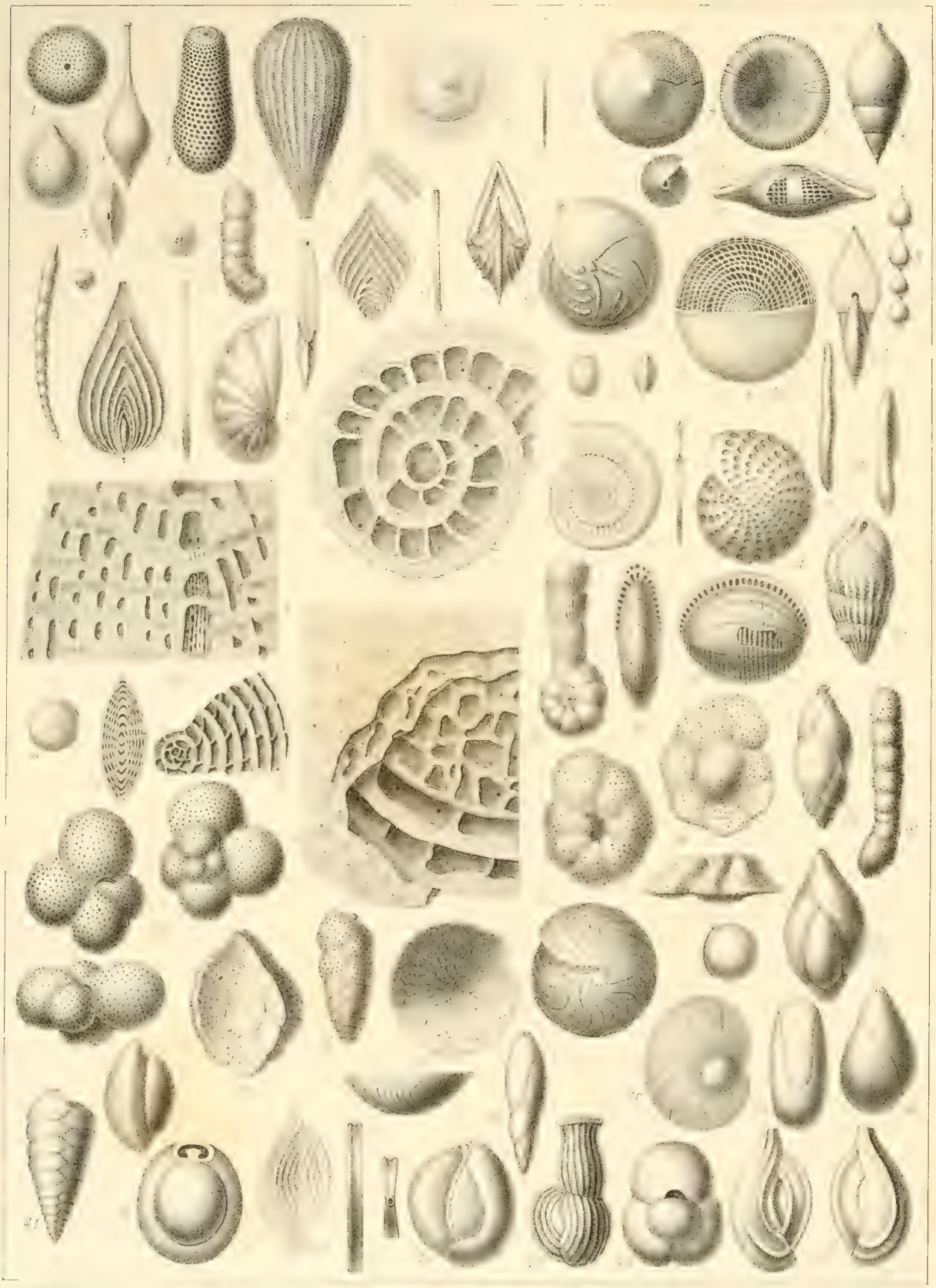

Lith. Becquet frères

Foraminifères.

Publié par J.B. Baillière et fils, Libraires à Paris

Fig. 23. — *Didimograpsus serratulus*, Hall, du silurien d'Amérique, de grandeur double.
Fig. 24. — *Gladiolites Geinitzianus*, Barrande, t. IV, p. 475, du terrain silurien. — *a*, grandeur naturelle; *b*, fragment grossi.
Fig. 25. — *Webbsteria crisioides*, Edwards et Haime, t. IV, p. 347, de l'argile de Londres. — *a*, grandeur naturelle; *b*, fragment grossi.

PLANCHE CIX.

FORAMINIFÈRES.

N. B. Toutes les figures de cette planche sont très fortement grossies à l'exception des figures 4, 5 et 19 à 23, dont les grossissements sont indiqués.

Fig. 1. — *Orbulina universa*, d'Orbigny, t. IV, p. 483, du terrain tertiaire de Vienne.
Fig. 2. — *Oolina clavata*, d'Orbigny, t. IV, p. 483, du même terrain.
Fig. 3. — *Fissurina alata*, Reuss, t. IV, p. 483, du terrain tertiaire éocène des environs de Berlin.
Fig. 4. — *Dactylopora cylindracea*, Lamarck, t. IV, p. 484, du calcaire grossier de Paris, de grandeur double.
Fig. 5. — *Conodictyum striatum*, Munster, t. IV, p. 484, du terrain corallien de Streitberg; au même grossissement.
Fig. 6. — *Cyclolina cretacea*, d'Orbigny, t. IV, p. 485, du terrain cénomanien, fortement grossie. — *a*, grossissement encore plus fort de deux tours consécutifs.
Fig. 7. — *Orbitolina lenticulata*, Lamarck, t. IV, p. 486, du terrain aptien de la perte du Rhône. — *a*, grandeur naturelle; *b*, côté convexe en partie usé, pour montrer la disposition des loges; *c*, côté concave.
Fig. 8. — *Glandulina ovula*, d'Orbigny, t. IV, p. 487, du terrain miocène de Vienne.
Fig. 9. — *Nodosaria rudis*, d'Orbigny, t. IV, p. 488, du même gisement. (C'est par erreur que le texte, t. IV, p. 488, indique la figure 10.)
Fig. 10. — *Dentalina elegans*, d'Orbigny, t. IV, p. 489, du même gisement.
Fig. 11. — *Frondicularia folium*, Alth, t. IV, p. 490, de la craie de Lemberg.
Fig. 12. — *Marginulina cristellarioides*, Czjzek, t. IV, p. 491, du terrain miocène de Vienne.
Fig. 13. — *Cristellaria reniformis*, d'Orbigny, t. IV, p. 494, du terrain miocène de Vienne.
Fig. 14. — *Flabellina rugosa*, d'Orbigny, t. IV, p. 496, de la craie supérieure.
Fig. 15. — *Robulina ornata*, d'Orbigny, t. IV, p. 496, du terrain miocène de Vienne.
Fig. 16. — *Fusulina cylindrica*, Fischer, t. IV, p. 497, du terrain carbonifère de Russie.
Fig. 17. — *Nonionina Boueana*, d'Orbigny, t. IV, p. 497, du terrain miocène de Vienne.
Fig. 18. — Coupe de la *Nummulites granulosa*, d'Archiac, t. IV, p. 498, du groupe des *Assilina* grossi 16 fois.
Fig. 19. — *Nummulites Puschi*, d'Archiac. — *a*, vue par sa tranche; *b*, surface en partie enlevée de manière à montrer la coupe sur la moitié de l'étendue; grandeur naturelle.
Fig. 20. — *Nummulites Garansensis*, Joly et Leymerie, du terrain nummulitique des Landes. — *a*, grandeur naturelle; *b*, segment de la spire grossi huit fois; *c*, coupe transverse grossie 4 fois; *d*, portion de la même grossie trente fois; *e*, portions de tours découverts et portions de la lame grossies trente fois; d'après MM. d'Archiac et Haime.
Fig. 21. — *Nummulites lævigata*, Lamarck, variété subglobuleuse du calcaire grossier, de grandeur naturelle.
Fig. 22. — *Nummulites Lyelli*, d'Archiac et Haime, du Véronais, grandeur naturelle.
Fig. 23. — *Operculina plicata*, Czjzek, t. IV, p. 504, du terrain miocène de Vienne.
Fig. 24. — *Polystomella rugosa*, d'Orbigny, t. IV, p. 504, du même gisement.
Fig. 25. — *Spirolina austriaca*, d'Orbigny, t. IV, p. 505, du même gisement.

Fig. 26. — *Orbiculina rotella*, d'Orbigny, t. IV, p. 506, du même gisement.
Fig. 27. — *Alveolina Haueri*, d'Orbigny, t. IV, p. 507, du même gisement.
Fig. 28. — *Rotalia calembergensis*, d'Orbigny, t. IV, p. 507, du même gisement.
Fig. 29. — *Globigerina bulloides*, d'Orbigny, t. IV, p. 509, du même gisement.
Fig. 30. — *Truncatulina lobulata*, d'Orbigny, t. IV, p. 510, du terrain pliocène d'Italie.
Fig. 31. — *Bulimina Buchiana*, d'Orbigny, t. IV, p. 513, du terrain miocène de Vienne.
Fig. 32. — *Uvigerina urnula*, d'Orbigny, t. IV, p. 513, du même gisement.
Fig. 33. — *Clavulina communis*, d'Orbigny, t. IV, p. 514, du même gisement.
Fig. 34. — *Gaudryina siphonella*, Reuss, t. IV, p. 514, du tertiaire éocène de Berlin.
Fig. 35. — *Amphistegina mamillata*, d'Orbigny, t. IV, p. 515, du terrain miocène de Vienne.
Fig. 36. — *Heterostegina simplex*, d'Orbigny, t. IV, p. 516, du même gisement.
Fig. 37. — *Guttulina austriaca*, d'Orbigny, t. IV, p. 517, du même gisement.
Fig. 38. — *Globulina guttula*, Reuss, t. IV, p. 518, du terrain éocène de Berlin.
Fig. 39. — *Polymorphina lanceolata*, Reuss, t. IV, p. 519, du même gisement.
Fig. 40. — *Chilostomella cylindroides*, Reuss, t. IV, p. 520, du même gisement. Le texte porte par erreur le mot *cylindrops* au lieu de *cylindroides*.
Fig. 41. — *Textularia Meyeriana*, d'Orbigny, t. IV, p. 521, du terrain miocène de Vienne.
Fig. 42. — *Biloculina turgida*, Reuss, t. IV, p. 523, du terrain éocène de Berlin.
Fig. 43. — *Spiroloculina canaliculata*, d'Orbigny, t. IV, p. 524, du terrain miocène de Vienne.
Fig 44. — *Triloculina enoplostoma*, Reuss, t. IV, p. 524, du tertiaire éocène de Berlin.
Fig. 45. — *Articulina gibbosula*, d'Orbigny, t. IV, p. 525, du terrain miocène de Gallicie.
Fig. 46. — *Sphæroidina variabilis*, Reuss, t. IV, p. 525, du tertiaire éocène de Berlin.
Fig. 47. — *Quinqueloculina Maria*, d'Orbigny, t. IV, p. 526, du terrain miocène de Vienne.

PLANCHE CX.

SPONGIAIRES. — CLIONIDES, PÉTROSPONGIDES.

Fig. 1. — Perforations produites par la *Cliona Duvernoyi*, Michelin, sur une valve d'huître, t. IV, p. 535, du terrain miocène des environs de Tours.
Fig. 2. — Bélemnitelle de la craie blanche, percée par des *Talpina* et des *Dendrina*, t. IV, p. 535. — *a*, *Talpina ramosa*, de Hagenow ; *b*, *Dendrina*.
Fig. 3. — *Coscinopora cupuliformis*, d'Orbigny, t. IV, p. 537, de la craie blanche ; un tiers de la grandeur naturelle. — *a*, grossissement d'une portion du test.
Fig. 4. — *Guettardia angularis* (*Brachiolites angularis*, T. Smith ; *Ventriculites quadrangularis*, Mantell), t. IV, p. 537, de la craie blanche, moitié de la grandeur naturelle.
Fig. 5. — *Ocellaria decurrens* (*Ventriculites decurrens*, T. Smith), t. IV, p. 538, de la craie supérieure d'Angleterre.
Fig. 6. — *Cephalites longitudinalis*, T. Smith, t. IV, p. 538, du groupe des *Annulati*, provenant de la craie blanche.
Fig. 7. — *Cephalites campanulatus*, T. Smith, du groupe des *Dilatati*, provenant également de la craie blanche.
Fig. 8. — *Cribrospongia reticulata*, (Goldfuss) d'Orbigny, t. IV, p. 539, du terrain corallien, moitié de la grandeur naturelle. — *a*, grossissement d'une partie du test.
Fig. 9. — *Cœloptychium agaricioides*, Goldfuss, t. IV, p. 539, de la craie supérieure d'Allemagne, moitié de la grandeur naturelle.
Fig. 10. — Fragment du *Porospongia marginata*, Goldfuss, t. IV, p. 540, du terrain jurassique de Mandach.

Clionides et Pétrospongides.

Fig. 11. — *Eudea clavata*, Lamouroux (*Eudea cribaria*, Michelin), t. IV, p. 541, de la grande oolithe, de grandeur naturelle. — *a*, grossissement d'une partie du test.

Fig. 12. — *Eudea lagenaria*, Lamouroux, de la grande oolithe.

Fig. 13. — *Hippalimus Bronni*, d'Orbigny, t. IV, p. 542, du terrain corallien du Wurtemberg. — *a*, fragment grossi. (Voyez, sur ces trois dernières espèces, la note de la page 542.)

Fig. 14. — *Cnemidium stellatum*, Goldfuss, t. IV, p. 544, du terrain oxfordien du mont Randen, moitié de la grandeur naturelle.

Fig. 15. — *Siphonia ficus*, Goldfuss (*Siphonia pyriformis*, Sowerby), t. IV, p. 544, du grès vert de Blackdown. — *a*, un échantillon entier, moitié de la grandeur naturelle; *b*, une tête un peu plus petite que nature; *c*, coupe de la même.

Fig. 16. — *Hallirhoa costata*, Lamouroux, t. IV, p. 545, de l'étage cénomanien; genre à réunir aux *Siphonia*, un tiers de la grandeur naturelle.

Fig. 17. — *Hippalimus fungioides*, Lamouroux, t. IV, p. 545, du terrain cénomanien du Calvados, un tiers de la grandeur naturelle.

Fig. 18. — *Lymnorea Michelini*, d'Orbigny, t. IV, p. 547, de la grande oolithe de Normandie.

Fig. 19. — *Actinospongia manon*, (Munster) Pictet, (*Hellispongia*, d'Orbigny), t. IV, p. 548, du terrain saliférien de Saint-Cassian. — *a*, vu de profil; *b*, vu en dessous.

Fig. 20. — *Chenendopora reticulata*, (Goldfuss) d'Orbigny, t. IV, p. 549, du terrain corallien de Streitberg, moitié de la grandeur naturelle. — *a*, un fragment grossi.

Fig. 21. — *Ierea pistillum*, (Goldfuss) d'Orbigny, t. IV, p. 550, de la craie blanche d'Allemagne; deux cinquièmes de la grandeur naturelle.

Fig. 22. — *Verrucospongia armata*, d'Orbigny (*Scyphia armata*, Klipstein), t. IV, p. 551, du terrain saliférien de Saint-Cassian. Le trait indique la grandeur naturelle.

Fig. 23. — *Sparsispongia concinna*, d'Orbigny (*Cnemidium concinnum*, Klipstein), t. IV, p. 551, du même gisement. — *a*, fragment grossi.

Fig. 24. — *Stellispongia substellata*, d'Orbigny (*Tragos stellatum*, Goldfuss), dessinée d'après un échantillon de la craie cénomanienne d'Essen. — *a*, grandeur naturelle.

Fig. 25. — *Amorphospongia tuberosa*, (Goldfuss) d'Orbigny, t. IV, p. 555, du terrain corallien; moitié de la grandeur naturelle.

Fig. 26. — *Stromatopora concentrica*, Lonsdale, t. IV, p. 556, du terrain silurien supérieur d'Angleterre. — *a*, portion d'une coupe verticale.

FIN DE L'EXPLICATION DES PLANCHES.

Paris. — Imprimerie de L. MARTINET, rue Mignon, 2.

ERNST MAYR LIBRARY
3 2044 110 323 276